



Вестник

Уральского
государственного
университета
путей сообщения

Научный журнал

Herald
of the Ural State University
of Railway Transport

Scientific journal



Научный журнал
«Вестник Уральского государственного
университета путей сообщения»
№ 3 (15), 2012 год

Главный редактор,
научный редактор
Василий Михайлович Сай

Литературный и выпускающий редактор
Людмила Станиславовна Барышникова

Техническое редактирование и верстка
Ольга Петровна Игнатьева

Дизайн обложки
Ольга Петровна Игнатьева

Учредитель и издатель:
Уральский государственный
университет путей сообщения
(УрГУПС)

Адрес для корреспонденции:
620034, Екатеринбург,
ул. Колмогорова, 66, УрГУПС,
редакция журнала
«Вестник УрГУПС»

Телефон редакции: (342) 221-25-60.
Веб-сайт: www.vestnik.usurt.ru;
e-mail: vestnik@usurt.ru.

Журнал издается по решению
ученого совета университета
©УрГУПС

Свидетельство о регистрации
средства массовой информации
Роскомнадзора ПИ № ФС77–38188
от 30 ноября 2009 г.

Отпечатано в издательстве
Уральского государственного
университета путей сообщения,
620034, Екатеринбург,
ул. Колмогорова, 66.

Подписано в печать 25.10.2012.

Тираж 300. 1-й з-д.: 1–100.
Формат 70×100/16.
Заказ 263

Scientific journal «Herald of the
Ural State University
of Railway Transport»
№ 3 (15), 2012

Editor-in-chief,
Science editor
Vasily M. Say

Script and copy editor
Lyudmila S. Baryshnikova

Technical editing and make-up
Olga P. Ignatjeva

Cover design
Olga P. Ignatjeva

Founder and publisher:
The Ural State University
of Railway Transport
(USURT)

Correspondence address:
«Herald of USURT» editorial office
The Ural State University of
Railway Transport»
66 Kolmogorov Street,
620034, Ekaterinburg,

Telephone: +7 (342) 221-25-60.
Web-site: www.vestnik.usurt.ru;
e-mail: vestnik@usurt.ru.

The journal is published by the decision of
University Academic Board
©USURT

Certificate of registration of mass media
by the Federal Service for Supervision
in the sphere of communications,
information technology and mass communications
(Roskomnadzor) PI № FS77–38188
of November 30, 2009.

Printed in the Publishing house
of the Ural State University of
Railway Transport
66 Kolmogorov Street,
620034, Ekaterinburg.

Passed for printing 25.10.2012.

Circulation 300. 1-й з-д.: 1–100.
Format 70×100/16.
Order 263

Международный редакционный совет

Кейт Бурнхам, профессор, Университет г. Ковентри, факультет машиностроения и вычислительной техники, Великобритания

Владимир Анциферов, д-р техн. наук, профессор, академик РАН, Пермь, Россия

Петер Копачек, профессор, Венский технологический университет, Венский институт транспорта и робототехники, интеллектуальный транспорт и робототехника, Вена, Австрия

Владимир Цыганов, д-р техн. наук, профессор, Институт проблем управления Российской академии наук, Москва, Россия

Марек Ситаж, профессор, Силезский технический университет, транспортный факультет, кафедра «Железнодорожный транспорт», Польша

Клаус Беккер, профессор, Университет прикладных наук г. Кельна, Институт автомобильной техники, лаборатория NVH, Германия

Василий Сай, д-р техн. наук, профессор, Уральский государственный университет путей сообщения, Екатеринбург, Россия

Редколлегия

Вовк Алексей Александрович, д-р экон. наук, профессор, МГУПС, Москва

Воскресенская Тамара Петровна, д-р техн. наук, профессор, СибГИУ, Новокузнецк

Воробьев Александр Алексеевич, д-р техн. наук, профессор, МГУПС, Москва

Ефимов Александр Васильевич, канд. техн. наук, профессор, УрГУПС, Екатеринбург

Корнилов Сергей Николаевич, д-р техн. наук, профессор, МГТУ, Магнитогорск

Нестеров Валерий Леонидович, д-р техн. наук, профессор, УрГУПС, Екатеринбург

Сапожников Валерий Владимирович, д-р техн. наук, профессор, С.-ПГУПС, Санкт-Петербург

Черемисин Василий Титович, д-р техн. наук, профессор, ОмГУПС, Омск

Щурин Константин Владимирович, д-р техн. наук, профессор, ОГУ, Оренбург

Тимофеева Галина Адольфовна, д-р физ.-мат. наук, профессор, УрГУПС, Екатеринбург

International editorial board

Keith Burnham, professor, Coventry University, Faculty of Engineering and Computing, Great Britain

Vladimir Antsiferov, DSc, professor, academician of Russian Academy of Sciences, Perm, Russia

Peter Kopachek, professor, Vienna University of Technology, Vienna Institute of Transportation and Robotics, Intelligent Transportation and Robotics, Vienna, Austria

Vladimir Tsyganov, DSc, professor, Russian Academy of Sciences, Institute of Control Sciences, Moscow, Russia

Marek Sitarz, professor, Silesian University of Technology, Faculty of Transport, Railway Engineering Department, Poland

Klaus Becker, professor, Cologne University of Applied Science, Institute of Automotive Engineering, NVH Laboratory, Germany

Vasily Say, DSc, professor, The Ural State University of Railway Transport, Ekaterinburg, Russia

Editorial board

Vovk Alexei Aleksandrovich, DSc, professor, Moscow State University of Railway Transport, Moscow

Voskresenskaya Tamara Petrovna, DSc, professor, Siberian State Industrial University, Novokuznetsk

Vorobjev Alexander Alexeevich, DSc, professor, Moscow State University of Railway Transport, Moscow

Efimov Alexander Vasilievich, DSc, professor, The Ural State University of Railway Transport, Ekaterinburg

Kornilov Sergey Nikolaevich, DSc, professor, Magnitogorsk State Technical University, Magnitogorsk

Nesterov Valery Leonidovich, DSc, professor, The Ural State University of Railway Transport, Ekaterinburg

Sapozhnikov Valery Vladimirovich, DSc, professor, Saint-Petersburg State University of Railway Transport, Saint-Petersburg

Cheremisin Vasily Titovich, DSc, professor, Omsk State University of Railway Transport, Omsk

Shchurin Konstantin Vladimirovich, DSc, professor, Orenburg State University, Orenburg

Timofeeva Galina Adolfovna, DSc, professor, The Ural State University of Railway Transport, Ekaterinburg

Содержание

МАТЕМАТИЧЕСКИЕ МОДЕЛИ ТЕХНОЛОГИЧЕСКИХ ПРОЦЕССОВ

- 4 И. А. Добычин, М. Ю. Градинаров. Динамический анализ тележки грузового вагона как изменяемого твердого тела с внутренними степенями свободы
- 16 И. Ю. Крутова. Трехмерный стационарный поток газа в условиях действия сил тяжести и Кориолиса в окрестности непроницаемой горизонтальной плоскости

УПРАВЛЕНИЕ В ТЕХНИЧЕСКИХ СИСТЕМАХ

- 24 С. Г. Герман-Галкин. Исследование электромагнитных и энергетических свойств машины двойного питания
- 35 Л. Шихта. Влияние системы управления насосной станцией на водопроводную сеть в пределах наибольшей эффективности

ОРГАНИЗАЦИЯ И ЛОГИСТИКА

- 43 В. М. Сай, С. В. Сизый. О моделировании взаимодействия автомобильного, авиационного (малая авиация) и железнодорожного транспорта в области пассажирских перевозок
- 54 Д. И. Кочнева. Моделирование продолжительности нахождения контейнера в региональной контейнерной транспортно-логистической системе
- 62 М. А. Журавская, Р. Р. Горяев, П. А. Парсюроева. Моделирование логистической цепи поставок в условиях неопределенности
- 70 К. В. Корсаков, Е. В. Щелконогова. Виктимологическая профилактика преступлений, совершаемых на транспорте, в условиях предкриминальных ситуаций

УПРАВЛЕНИЕ. ЭКОНОМИКА

- 76 А. А. Вовк, С. Н. Остапенко, Ю. А. Вовк. Экономическое обоснование выбора инвестиционных проектов на железнодорожном транспорте
- 83 В. М. Сай, И. Д. Громов. Об организации взаимодействия хозяйствующих субъектов в сетях с разделенными интересами (на примере компании ОАО «РЖД»)
- 95 В. М. Воронин, З. А. Наседкина. Моделирование готовности оператора к экстренному действию на основе теории обнаружения сигналов
- 103 М. Т. Крючков, А. А. Конов, Б. И. Мацкевич. Анализ модернизации железнодорожного транспорта на Урале в 1956–1991 гг.

ОРГАНИЗАЦИЯ ОБРАЗОВАТЕЛЬНОГО ПРОЦЕССА

- 120 О. В. Куликова, Н. П. Чув. Развитие творческих способностей и культуры мышления студентов вуза при изучении математики
- 129 Б. С. Сергеев. Креативность как результат воспитания

АСПИРАНТСКАЯ ТЕТРАДЬ

- 136 И. М. Пышный. Блок управления для системы гребнесмазывания локомотивов

Contents

MATHEMATIC MODELS OF TECHNOLOGICAL PROCESSES

- 4 I. A. Dobychin, M. Yu. Gradinarov. Dynamic analysis of freight car truck as a variable solid body with internal degrees of freedom
- 16 I. Yu. Krutova. Three-dimensional stationary gas flow under impact of forces of gravity and Coriolis in the neighbourhood of impervious horizontal plane

CONTROL IN ENGINEERING SYSTEMS

- 24 S. G. German-Galkin. Studying electromagnetic and energetic properties of a double-current machine
- 35 L. Szychta. Influence of the range of highest efficiencies control system of pump station on water plant

ORGANIZATION AND LOGISTICS

- 43 V. M. Say, S. V. Sizy. On modelling the interaction of automotive, aviation (light aircraft) and railway transport in field of passenger transportation
- 54 D. I. Kochneva. Modelling duration of container stay in the regional container transport & logistic system
- 62 M. A. Zhuravskaya, R. R. Goryaev, P. A. Parsyurova. Modelling the logistical supply chain in conditions of indeterminacy
- 70 K. V. Korsakov, E. V. Schelkonogova. Victimologic prevention of crimes on transport in conditions of pre-criminal situations

MANAGEMENT. ECONOMICS

- 76 A. A. Vovk, S. N. Ostapenko, Yu. A. Vovk. Economic justification of investment project selection on railway transport
- 83 V. M. Say, I. D. Gromov. On organization of economic entities' interaction in the networks with separated interests (by the example of JSC «Russian Railways»)
- 95 V. M. Voronin, Z. A. Nasedkina. Modelling operator's readiness to immediate response based on the signal detection theory
- 103 M. T. Kryuchkov, A. A. Konov, B. I. Matskevitch. Analyzing railway transport upgrade in the Urals in 1956–1991

STUDY PROCESS ORGANIZATION

- 120 O. V. Kulikova, N. P. Chuyev. Developing students' creativity and culture of thought during the study of mathematics
- 129 B. S. Sergeyev. Creativity as a result of upbringing

RESEARCH OF YOUNG SCIENTISTS

- 136 I. M. Pyshnyi. Control unit for locomotive crest lubrication system

МАТЕМАТИЧЕСКИЕ МОДЕЛИ ТЕХНОЛОГИЧЕСКИХ ПРОЦЕССОВ

УДК 639.4.015

И. А. Добычин, М. Ю. Градинаров

Динамический анализ тележки грузового вагона как изменяемого твердого тела с внутренними степенями свободы

UDC 639.4.015

I. A. Dobychin, M. Yu. Gradinarov

Dynamic analysis of freight car truck as a variable solid body with internal degrees of freedom

Аннотация

Тележка грузового вагона рассматривается как изменяемое твердое тело с дополнительными степенями свободы и неголономными связями колес с рельсами. Получены дифференциальные уравнения движения свободного репера тележки, а также дифференциальные уравнения сдвига, деформации и собственных вращений колесных пар. Уравнения геометрических и неголономных (кинематически неинтегрируемых) связей используются как для определения координат точек мгновенного контакта колес с рельсами, так и для определения мгновенных контактных сил. Данная работа продолжает исследования, начатые в работах [1, 2].

Ключевые слова:

тележка грузового вагона, механика рельсовых экипажей, математическое моделирование, динамический анализ.

Abstract

The freight car truck is considered as a variable solid body with additional degrees of freedom and nonholonomic links of wheels with rails. The differential equations of movement of the free truck reference stake were obtained, as well as differential equations of displacement, warping and self-rotations of wheel sets. Equations of geometric and nonholonomic (kinematically non-integrable) links are used to determine both the coordinates of the points of momentary contact of the wheels with rails and momentary contact forces. This paper continues the research outlined in papers [1, 2].

Key words:

freight car truck, mechanics of rail carriages, mathematical modelling, dynamic analysis.

Иван Александрович Добычин, д-р техн. наук, профессор; научно-производственное предприятие «Тормо»; Екатеринбург, Россия. Тел.: 8 (919)-360-65-02.

Михаил Юрьевич Градинаров, инженер; научно-производственное предприятие «Тормо»; Екатеринбург, Россия. E-mail: urff@list.ru.

Ivan Alexandrovitch Dobychin, DSc in Engineering, Professor; Scientific and Production Plant «Tormo»; Ekaterinburg, Russia. Tel.: 8 (919)-360-65-02.

Mikhail Yuryevitch Gradinarov, Engineer; Scientific and Production Plant «Tormo»; Ekaterinburg, Russia. E-mail: urff@list.ru.

В работе [1] рассмотрена динамика колесной пары с позиций неголономной механики как элемента системы «экипаж — рельсовый путь», а в работе [2] предложена и описана модель тележки грузового вагона как изменяемого твердого тела с внутренними степенями свободы и неголономными связями колес с рельсами, для которой проведен подробный геометрический анализ.

В настоящей статье, посвященной развитию указанной модели тележки, получены дифференциальные уравнения движения собственного репера тележки, а также дифференциальные уравнения сдвига, деформации и собственных вращений колесных пар. Уравнения геометрических и неголономных связей колес с рельсами используется как для определения координат точек мгновенного контакта колес с рельсами, так и для мгновенных контактных сил.

Дифференциальные уравнения движения собственного репера тележки $\{\bar{e}_O\}$

Воспользуемся общими теоремами динамики: теоремой о движении центра масс в путевой системе координат $O\xi\eta\zeta$ и теоремой об изменении кинетического момента в собственной системе координат Sx_{Cyz} . Получим

$$\begin{cases} \bar{M}\{\bar{a}_C\} = \{\bar{F}^{(e)}\}_O, \\ \bar{J}_C\{\dot{\bar{\omega}}_C\} + \\ + (\bar{J}_C + \bar{\Omega}_C \bar{J}_C)\{\bar{\omega}_C\} = \{\bar{M}_C^{(e)}\}_C. \end{cases} \quad (1)$$

Здесь \bar{a}_C , $\bar{\omega}_C$ — абсолютное ускорение центра масс C и абсолютная скорость репера $\{\bar{e}_O\}$. При этом [2]

$$\begin{aligned} \{\bar{a}_C\} &= \{\bar{a}_{O'}\} + \{\ddot{\bar{u}}\} + \\ &+ 2\bar{\Omega}_O\{\dot{\bar{u}}\} + [\dot{\bar{\Omega}}_O + \bar{\Omega}_O^2]\{\bar{u}\}, \end{aligned} \quad (2)$$

где $\{\bar{a}_{O'}\} + \{\bar{a}_{\bar{O}}\} + [\dot{\bar{\Omega}}_O + \bar{\Omega}_O^2]\{\bar{p}_{O'}\}$ — ускорение точки базового положения центра масс O' ; $\{\bar{a}_{\bar{O}}\}$ — ускорение начала \bar{O} путевой системы координат;

$\bar{\Omega}_O$ — тензорное представление угловой скорости $\{\bar{\omega}_O\}$ путевого репера. Учитывая, что $(\dot{s} = 0)$

$$\{\bar{a}_{\bar{O}}\} = \begin{Bmatrix} 0 \\ \frac{R-f_O}{R^2}(\dot{s})^2 \cos \varphi_O \\ \frac{R-f_O}{R^2}(\dot{s})^2 \sin \varphi_O \end{Bmatrix}, \quad (3)$$

$$\{\bar{\omega}_O\} = \begin{Bmatrix} 0 \\ \frac{\dot{s}}{R} \sin \varphi_O \\ \frac{\dot{s}}{R} \cos \varphi_O \end{Bmatrix}, \quad \dot{\bar{\Omega}}_O = 0,$$

получим для ускорения \bar{a}_C следующее подробное выражение:

$$\{\bar{a}_C\} = \begin{Bmatrix} \ddot{x} + \frac{\dot{s}}{R}(\dot{z} \sin \varphi_O - \dot{y} \cos \varphi_O) - \\ - \frac{R-f_O}{R} \left(\frac{\dot{s}}{R} \right)^2 [x \sin^2 \varphi_O + \\ + (z - h_{O'}) \sin \varphi_O \cos \varphi_O] \\ \ddot{y} + \frac{\dot{s}}{R} \dot{x} \cos \varphi_O + \\ + \frac{R-f_O}{R} \left(\frac{\dot{s}}{R} \right)^2 (R \cos \varphi_O - y) \\ \ddot{z} - \frac{\dot{s}}{R} \dot{x} \sin \varphi_O - \frac{R-f_O}{R} \left(\frac{\dot{s}}{R} \right)^2 \times \\ \times [(R + x \cos \varphi_O) \sin \varphi_O + \\ + (z - h_{O'}) \cos^2 \varphi_O] \end{Bmatrix}. \quad (4)$$

Угловая скорость $\{\bar{\omega}_C\}$ имеет вид

$$\begin{aligned} \{\bar{\omega}_C\} &= \begin{Bmatrix} \dot{\varphi} - (\dot{\psi} + \dot{\psi}_O) \sin \chi \\ \dot{\chi} \cos(\varphi + \varphi_O) + \\ + (\dot{\psi} + \dot{\psi}_O) \cos \chi \sin(\varphi + \varphi_O) - \\ - (\dot{\psi} + \dot{\psi}_O) \cos \chi \cos(\varphi + \varphi_O) - \\ - \dot{\chi} \sin(\varphi + \varphi_O) \end{Bmatrix} = \\ &= \begin{Bmatrix} \dot{\varphi} \\ \dot{\chi} \\ \dot{\psi} + \dot{\psi}_O \end{Bmatrix}, \end{aligned} \quad (5)$$

где $\dot{\psi}_O = \frac{\dot{s}}{R}$; A_{ω} — невырождающаяся матрица

$$A_{\omega} = \begin{bmatrix} 1 & 0 & -\sin \chi \\ 0 & \cos(\varphi + \varphi_O) & \cos \chi \sin(\varphi + \varphi_O) \\ 0 & -\sin(\varphi + \varphi_O) & \cos \chi \cos(\varphi + \varphi_O) \end{bmatrix}, \quad (6)$$

$$|A_{\omega}| = \cos \chi.$$

Используя представление (5), имеем [2]

$$\begin{aligned}\{\bar{\omega}_C\} &= A_\omega \{\dot{\bar{\vartheta}} + \dot{\bar{\vartheta}}_O\}, \\ \{\dot{\bar{\omega}}_C\} &= A_\omega \{\ddot{\bar{\vartheta}}\} + \dot{A}_\omega \{\dot{\bar{\vartheta}} + \dot{\bar{\vartheta}}_O\},\end{aligned}\quad (7)$$

а уравнения (1) перепишем в виде, разрешенном относительно старших производных

$$\begin{cases} \{\ddot{u}\} = -\frac{1}{m} \{\{\bar{a}_O\} + 2\bar{\Omega}_O \{\dot{u}\} + \bar{\Omega}_O^2 \{u\}\} + \\ + \frac{1}{m} \{\bar{F}^{(e)}\}_O, \\ \{\ddot{\bar{\vartheta}}\} = -A_\omega^{-1} \dot{A}_\omega \{\dot{\bar{\vartheta}} + \dot{\bar{\vartheta}}_O\} - \\ - A_\omega^{-1} [\bar{J}_C^{-1} \dot{\bar{J}}_C + \bar{J}_C^{-1} \bar{\Omega}_C \bar{J}_C] \times \\ \times A_\omega \{\dot{\bar{\vartheta}} + \dot{\bar{\vartheta}}_O\} + A_\omega^{-1} \bar{J}_C^{-1} \{\bar{M}_C^{(e)}\}_C. \end{cases}\quad (8)$$

Здесь $\{u\} = (x, y, z)^T$, $\{\bar{\vartheta}\} = (\varphi, \chi, \psi)^T$ — поступательное и угловое перемещение репера \bar{e}_C соответственно; $m = 2 (m_{\text{кп}} + m_{\text{бр}})$ — масса системы, \bar{J}_C — тензор инерции тележки, определенный ранее (см. выражения (49) работы [2]); $\bar{F}^{(e)}$, $\bar{M}_C^{(e)}$ — главный вектор и главный момент относительно центра C всех сил, приложенных к тележке (необрессоренной части тележки); $\bar{\Omega}_C$ — тензорное представление угловой скорости $\bar{\omega}_C$.

На тележку со стороны рельсовых нитей действуют контактные силы $\bar{R}_{*ij} = -\bar{R}_{*ij}^O$, $\bar{M}_{*ij} = -\bar{M}_{*ij}^O$, сила тяжести $\bar{G} = m\bar{g}$ и силы взаимодействия необрессоренной части тележки со шкворневыми балками, которые обозначим через \bar{R}_{Bj} и будем считать представленными в собственных координатах боковин и приложенными в точках B_j , определяемых радиус-векторами \bar{r}_{Bj}^j , а также моменты \bar{M}_{Bj} .

Мгновенные контактные силы $\bar{R}_{*ij} = -\bar{R}_{*ij}^O$, $\bar{M}_{*ij} = -\bar{M}_{*ij}^O$ представляются собой главный вектор и главный момент сил на контактной площадке $\pi_{*ij} = \pi_{*ij}^O$ (рис. 1, где опущены индексы ij), действующие со стороны

рельса в точке K_{*ij} колеса и в локальных реперах $\{\bar{e}_{*ij}^O\}$ и $\{\bar{e}_{*ij}\}$ площадок контакта представимы в виде [1]

$$\begin{cases} \{\bar{R}_{*ij}^O\} = N_{*ij}^O \{\bar{\lambda}_{*ij}^O\}, \\ \{\bar{M}_{*ij}^O\} = N_{*ij}^O \{\bar{\lambda}_{*ij}^{O \text{ пов}}\}, \\ \{\bar{R}_{*ij}\} = -N_{*ij}^O \{\bar{\lambda}_{*ij}\}, \\ \{\bar{M}_{*ij}\} = -N_{*ij}^O \{\bar{\lambda}_{*ij}^{\text{пов}}\}, \end{cases}\quad (9)$$

где N_{*ij}^O — проекция контактной силы \bar{R}_{*ij}^O на общую нормаль в точке контакта (нормальная контактная сила); $\bar{\lambda}_{*ij}^O$, $\bar{\lambda}_{*ij}^{O \text{ пов}}$, $\bar{\lambda}_{*ij}$, $\bar{\lambda}_{*ij}^{\text{пов}}$ — направляющие векторы контактных сил и контактных (поворотных) моментов на рельсе и колесе соответственно, имеющие вид [1]

$$\begin{cases} \{\bar{\lambda}_{*ij}^O\} = \begin{Bmatrix} \mu_{*ij} \cos \vartheta_{*ij}^O \\ \mu_{*ij} \sin \vartheta_{*ij}^O \\ 1 \end{Bmatrix}, \\ \{\bar{\lambda}_{*ij}^{\text{пов}}\} = \begin{Bmatrix} \lambda_{1*ij}^{\text{пов}} \\ \lambda_{2*ij}^{\text{пов}} \\ \lambda_{3*ij}^{\text{пов}} \end{Bmatrix}, \\ \{\bar{\lambda}_{*ij}\} = \Psi_{\theta*ij}^T \{\bar{\lambda}_{*ij}^O\}, \\ \{\bar{\lambda}_{*ij}^{O \text{ пов}}\} = \Psi_{\theta*ij} \{\bar{\lambda}_{*ij}^{\text{пов}}\}, \end{cases}\quad (10)$$

где μ_{*ij} — коэффициенты трения по закону Кулона;

$$\begin{aligned}\lambda_{v*ij} &= \delta_{v*ij} \text{sign}(\Delta \omega_{*ij}^O \cdot \bar{e}_{v*ij}), \\ v &= 1, 2, 3,\end{aligned}\quad (11)$$

коэффициенты поворотного трения (при $v = 1, 2$ — это коэффициенты трения качения, а при $v = 3$ — коэффициенты трения верчения).

Угол $\vartheta_{*ij}^O = (\bar{e}_{1*ij}^O, \hat{\bar{x}}_{*ij}^{\text{ск}})$ определяет вектор скольжения колеса по рельсу (рис. 1)

$$\begin{aligned}\bar{v}_{*ij}^{\text{ск}} &= v_{*ij}^{\text{ск}} \bar{\tau}_{*ij}^O = \\ &= v_{*ij}^{\text{ск}} (\bar{e}_{1*ij}^O \cos \vartheta_{*ij}^O + \bar{e}_{2*ij}^O \sin \vartheta_{*ij}^O),\end{aligned}\quad (12)$$

где

$$\begin{cases} v_{*ij}^{\text{ск}} = \sqrt{(\Delta \bar{v}_{*ij}^O \cdot \bar{e}_{1*ij}^O)^2 + (\Delta \bar{v}_{*ij}^O \cdot \bar{e}_{2*ij}^O)^2}, \\ \text{tg} \vartheta_{*ij}^O = (\Delta \bar{v}_{*ij}^O \cdot \bar{e}_{1*ij}^O) / (\Delta \bar{v}_{*ij}^O \cdot \bar{e}_{2*ij}^O). \end{cases}\quad (13)$$

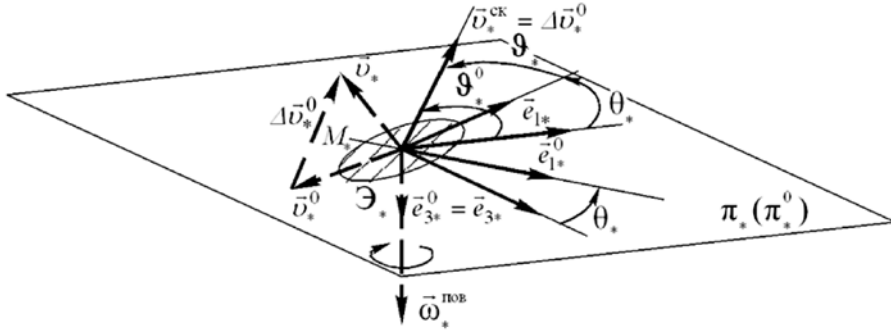


Рис. 1. Схема контакта колеса с рельсом

Относительные скорости $\Delta \vec{\omega}_{*ij}^O$ и $\Delta \vec{v}_{*ij}^O$ при неподвижных рельсах будут

$$\Delta \vec{\omega}_{*ij}^O = \vec{\omega}_i, \quad \Delta \vec{v}_{*ij}^O = \vec{v}_{*ij}, \quad (14)$$

где $\vec{\omega}_i$ — угловая скорость i -й колесной пары (собственного репера $\{\vec{e}_{C_i}\}$), а \vec{v}_{*ij} — скорость мгновенно фиксированных точек контакта K_{*ij} на колесах, определяемые выражениями (82) и (84) работы [2].

Нормальные контактные силы N_{*ij}^O в (9) заранее не известны и их определение сопряжено с определением координат точек мгновенного контакта колес с рельсами $K_{*ij} = K_{*ij}^O = M_{*ij}$ (см. рис. 1).

Для уточнения направляющих векторов контактных сил (10) воспользуемся тем, что в локальных реперах площадок контакта π_{*ij} и π_{*ij}^O (рис. 1) для скоростей $\vec{\omega}_i$, \vec{v}_{*ij} (14) имеем

$$\begin{aligned} \{\vec{\omega}_i\}_{*ij} &= \begin{Bmatrix} (\vec{\omega}_i \cdot \vec{e}_{1*ij}) \\ (\vec{\omega}_i \cdot \vec{e}_{2*ij}) \\ (\vec{\omega}_i \cdot \vec{e}_{3*ij}) \end{Bmatrix}, \\ \{\vec{v}_{*ij}\}_{*ij}^O &= \begin{Bmatrix} (\vec{v}_{*ij} \cdot \vec{e}_{1*ij}^O) \\ (\vec{v}_{*ij} \cdot \vec{e}_{2*ij}^O) \\ (\vec{v}_{*ij} \cdot \vec{e}_{3*ij}^O) \end{Bmatrix}. \end{aligned} \quad (15)$$

С другой стороны,

$$\begin{aligned} \{\vec{\omega}_i\}_{*ij} &= X_{\alpha_{*ij}}^T \Phi_{\beta_{*ij}}^T \{\vec{\omega}_i\} = \\ &= X_{\alpha_{*ij}}^T \Phi_{\beta_{*ij}}^T A_{\omega_i} \{\dot{\vartheta}_i + \dot{\theta}_i\}, \\ \{\vec{v}_{*ij}\}_{*ij}^O &= \Phi_{\beta_{*ij}^O} \{\vec{v}_{*ij}\}_{O_i} = \\ &= \Phi_{\beta_{*ij}^O} \Psi_{(-1)^i \frac{a}{R}} \{v_{*ij}\}, \end{aligned} \quad (16)$$

где Φ , X , Ψ — матрицы элементарных поворотов на указанные углы; $A_{\omega_i} = A_{\omega}$ по (6) при углах $\varphi = \varphi_i$, $\psi = \psi_i$, определяемых в виде

$$\{\vec{\vartheta}_i\} = \begin{Bmatrix} \varphi_i \\ 0 \\ \psi_i \end{Bmatrix} = \begin{Bmatrix} \varphi + (-1)^{i-1} \Delta / 2e_2 \\ 0 \\ \psi + \gamma + (-1)^i a / R \end{Bmatrix}, \quad (17)$$

а углы α_{*ij} , β_{*ij} характеризуют положение репера e_{*ij} на поверхности катания колеса [1];

$$\begin{aligned} \{\vec{v}_{*ij}\} &= \{\vec{v}_{O'}\} + \{\dot{\vec{u}}\} + \vec{\Omega}_{O'} \{\vec{u}\} + \\ &+ \Psi X \Phi \{\dot{\vartheta}_{C_i}\} + \vec{\mathfrak{R}}_{C_i} A_{\omega} \{\dot{\vartheta} + \dot{\vartheta}_O\} + \\ &+ \Psi_{\psi+\gamma} \Phi_{\varphi+(-1)^i \frac{\Delta}{2e_2}} \vec{\mathfrak{R}}_{i*ij} \{\dot{\vartheta} + \dot{\vartheta}_i^{(r)} + \dot{\theta}_i^{(r)}\}, \end{aligned} \quad (18)$$

где (см. (79), (44) и (30) работы [2]) $\{\vec{v}_{O'}\} = \{\vec{v}_O\} + \vec{\Omega}_O \{\vec{r}_O\}$ — скорость базового положения центра масс тележки O ;

$$\begin{aligned} \{\vec{r}_{C_i}\} &= \begin{Bmatrix} (-1)^{i-1} e_1 / 2 \\ (-1)^i \lambda h_{\delta} \Delta / 2e_2 \\ -\lambda h_{\delta} \end{Bmatrix}; \\ \{\vec{\vartheta}_i^{(r)}\} &= \begin{Bmatrix} (-1)^i \Delta / 2e_2 \\ -\chi \\ \gamma \end{Bmatrix} \end{aligned} \quad (19)$$

(можно принять $e_1 \approx 2a$, $e_2 \approx 2b$) и обозначено

$$\vec{\mathfrak{R}}_{C_i} = \begin{bmatrix} 0 & -z_{C_i} & y_{C_i} \\ z_{C_i} & 0 & -x_{C_i} \\ -y_{C_i} & x_{C_i} & 0 \end{bmatrix},$$

$$\tilde{\mathbf{R}}_{i*ij} = \begin{bmatrix} 0 & -z_{i*ij} & y_{i*ij} \\ z_{i*ij} & 0 & -x_{i*ij} \\ -y_{i*ij} & x_{i*ij} & 0 \end{bmatrix}. \quad (20)$$

Векторы скольжения колес по рельсам $\vec{v}_{*ij}^{\text{ск}}$ и углы ϑ_{*ij}^O с учетом (16) определяются в виде

$$\begin{cases} v_{*ij}^{\text{ск}} = \sqrt{\vec{v}_{*ij}^2 + (v_{*ij} \cos \bar{\beta}_{*ij}^O - \\ - v_{*ij} \zeta_{*ij} \sin \bar{\beta}_{*ij}^O)^2}, \\ \text{tg} \vartheta_{*ij}^O = \frac{v_{*ij} \zeta_{*ij}}{v_{*ij} \eta_{*ij} \cos \bar{\beta}_{*ij}^O - v_{*ij} \zeta_{*ij} \sin \bar{\beta}_{*ij}^O}. \end{cases} \quad (21)$$

Существенным моментом является зависимость динамических переменных модели тележки между собой.

Действительно, геометрические связи колес с рельсами в случае состоявшегося контакта, описываемые равенствами

$$\bar{\rho}_{i*ij}^O = \bar{\rho}_{i*ij}, \quad \bar{e}_{3*ij}^O = \bar{e}_{3*ij}, \quad (22)$$

с одной стороны приводят к системе двух уравнений (см. равенства (71) работы [2])

$$\begin{cases} \mathfrak{N}_{i*ij}[y_{i*ij}^O, y_{i*ij}, \bar{q}_{ij}(t)] = 0, \\ \mathfrak{N}_{i*ij}^O[y_{i*ij}, \bar{q}_{ij}^O(t)] = 0 \end{cases} \quad (23)$$

относительно координат y_{i*ij}^O , где $\bar{q}_{ij}(t)$, $\bar{q}_{ij}^O(t)$ — совокупности динамических переменных задачи движения тележки и определения углов забегания точек контакта на колесах α_{*ij} , углов $\theta_{*ij} = (\bar{e}_{1*ij}^O \hat{e}_{2*ij}^O)$ и углов $\bar{\beta}_{*ij}^O$, а также остальных координат x_{i*ij}^O , z_{i*ij}^O и x_{i*ij} , z_{i*ij} (см. формулы (62)–(63) и (73), (74) работы [2]).

С другой стороны, фиксируя найденные координаты точек контакта колес с рельсами в соответствии с принципом мгновенной склеронизации связей и рассматривая первые равенства в (22) как уравнения связи между динамическими переменными, найдем связь вектора перемещений $\{\vec{u}\} = (x, y, z)^T$ с углами сферического поворота $\{\vec{\delta}\} = (\varphi, \chi, \psi)^T$ и параметрами перекося тележки γ, Δ в виде

$$\vec{u} = \vec{u}(t, \varphi, \chi, \psi, \gamma, \Delta; x_{i*ij}, y_{i*ij}, \dots, z_{i*ij}^O) \quad (24)$$

или (см. выражения (54) работы [2])

$$\begin{aligned} \{\vec{u}\} = \frac{1}{4} \sum_{*ij} \left\{ \{\bar{\rho}_{O_i} - \bar{\rho}_{O'}\} + \Psi_{(-1)^{i-1} \frac{a}{R}} \{\bar{\rho}_{i*ij}^O\} \dots \right. \\ \left. - \Psi X \Phi \{\bar{r}_{C_i}\} - \Psi_{\varphi+\gamma} \Phi_{\varphi+(-1)^i \frac{\Delta}{2e_2}} \{\bar{r}_{i*ij}\} \right\}, \end{aligned} \quad (25)$$

где $\{\bar{\rho}_{O_i} - \bar{\rho}_{O'}\} = ((-1)^{i-1} e_1 / 2, a^2 / R, -\lambda h_8)^T$, $\{\bar{\rho}_{i*ij}\} = (\xi_{i*ij}^O, \eta_{i*ij}^O, \zeta_{i*ij}^O)^T$, $\{\bar{r}_{C_i}\}$ дано по (20).

В координатной форме выражение (25) представляется в виде

$$\begin{aligned} \begin{Bmatrix} x \\ y \\ z \end{Bmatrix} = \begin{Bmatrix} 0 \\ a^2 / R \\ -\lambda h \end{Bmatrix} + \\ + \frac{1}{4} \sum_{*ij} \left\{ \begin{Bmatrix} \xi_{i*ij}^O \\ \eta_{i*ij}^O + (-1)^i \frac{a}{R} \zeta_{i*ij}^O \\ \zeta_{i*ij}^O - (-1)^i \frac{a}{R} \eta_{i*ij}^O \end{Bmatrix} \dots \right. \\ \left. - \Psi X \Phi \begin{Bmatrix} 0 \\ 0 \\ -\lambda h_8 \end{Bmatrix} - \right. \\ \left. - \frac{1}{4} \Psi_{\varphi+\gamma} \Phi \sum_{*ij} \begin{Bmatrix} x_{i*ij} \\ y_{i*ij} - (-1)^i \frac{\Delta}{2e_2} z_{i*ij} \\ z_{i*ij} + (-1)^i \frac{\Delta}{2e_2} y_{i*ij} \end{Bmatrix} \right\}. \end{aligned} \quad (26)$$

Таким образом, направляющие векторы контактных сил (10) полностью определены, а контактные силы (9) определены с точностью до нормальных контактных сил N_{*ij}^O , которые определим в дальнейшем, используя уравнения неголономных связей колес с рельсами в точках мгновенного контакта $K_{*ij} = K_{*ij}^O$

$$(\vec{v}_{*ij} \cdot \bar{e}_{3*ij}^O) = 0, \quad (\alpha_{*ij} \cdot \bar{e}_{3*ij}^O) = 0. \quad (27)$$

Отметим также, что первая группа уравнений (27) в соответствии с равенствами (16) имеет вид

$$\begin{aligned} (\vec{v}_{*ij} \cdot \vec{e}_{*ij}^O) &= v_{*ij} \cos \bar{\beta}_{*ij}^O - \\ &- v_{*ij} \sin \bar{\beta}_{*ij}^O = 0. \end{aligned} \quad (28)$$

Уравнения (28) могут быть эффективно использованы для доопределения начальных условий соответствующей задачи Коши для дифференциальных уравнений движения тележки.

Контактные силы \vec{R}_{*ij} и \vec{M}_{*ij} (9) в путевой и собственной системах координат тележки и колесных пар представляются в виде

$$\begin{cases} \{\vec{R}_{*ij}\}_O = N_{*ij}^O \{\vec{\Lambda}_{*ij}^O\}, \\ \{\vec{R}_{*ij}\}_C = N_{*ij}^O \{\vec{\Lambda}_{*ij}^C\}, \\ \{\vec{R}_{*ij}\}_{C_i} = N_{*ij}^O \{\vec{\Lambda}_{*ij}^{C_i}\}, \\ \{\vec{M}_{*ij}\}_C = N_{*ij}^O \{\vec{\Lambda}_{*ij}^M\}, \\ \{\vec{M}_{*ij}\}_{C_i} = N_{*ij}^O \{\vec{\Lambda}_{*ij}^{M_i}\}, \end{cases} \quad (29)$$

где обозначено

$$\begin{cases} \{\vec{\Lambda}_{*ij}^O\} = -\Psi_{(-1)^{j-1} \frac{a}{R}} \Phi_{\bar{\beta}_{*ij}^O} \{\vec{\lambda}_{*ij}^O\}, \\ \{\vec{\Lambda}_{*ij}^C\} = -\Psi_{\Psi + (-1)^j \frac{a}{R}}^T \Phi_{\Phi \cdot \bar{\beta}_{*ij}^O} \{\vec{\lambda}_{*ij}^O\}, \\ \{\vec{\Lambda}_{*ij}^{C_i}\} = -X_{\alpha_{*ij}} \Phi_{\beta_{*ij}} \Psi_{\theta_{*ij}}^T \{\vec{\lambda}_{*ij}^O\}, \\ \{\vec{\Lambda}_{*ij}^M\} = -\Psi_{\Psi + (-1)^j \frac{a}{R}}^T \Phi_{\Phi \cdot \bar{\beta}_{*ij}^O} \Psi_{\theta_{*ij}} \{\vec{\lambda}_{*ij}^{\text{пов}}\}, \\ \{\vec{\Lambda}_{*ij}^{M_i}\} = -X_{\alpha_{*ij}} \Phi_{\beta_{*ij}} \{\vec{\lambda}_{*ij}^{\text{пов}}\}. \end{cases} \quad (30)$$

Главный вектор и главный момент всех внешних сил в уравнениях (1), (2) с учетом (29) представляются в виде

$$\begin{aligned} \{\vec{F}^{(e)}\}_O &= \sum_{*ij} N_{*ij}^O \{\vec{\Lambda}_{*ij}^O\} + \\ &+ \sum_j \{\vec{R}_{B^j}\}_O + \{\vec{G}\}_O, \\ \{\vec{M}_C^{(e)}\}_C &= \sum_{*ij} N_{*ij}^O \{\tilde{\mathfrak{R}}_{*ij} \{\vec{\Lambda}_{*ij}^C\} + \{\vec{\Lambda}_{*ij}^M\}\} + \\ &+ \sum_j \{\tilde{\mathfrak{R}}_{B^j} \{\vec{R}_{B^j}\}_C + \{\vec{M}_{B^j}\}_C\}, \end{aligned} \quad (31)$$

где $\tilde{\mathfrak{R}}_{*ij}$, $\tilde{\mathfrak{R}}_{B^j}$ — матричные представления радиус-векторов (по аналогии с (20));

$$\begin{cases} \{\vec{r}_{*ij}\} = \{\vec{r}_{C_i}\} + \Psi_{\gamma} X^T \Phi_{(-1)^j \frac{\Delta}{2e_2}} \{\vec{r}_{*ij}\}, \\ \{\vec{r}_{B^j}\} = \{\vec{r}_{C^j}\} + X_{(-1)^{j-1} \frac{\Delta}{2e_1}} \Phi_{\delta_j} \{\vec{r}_{B^j}\}, \end{cases} \quad (32)$$

где \vec{r}_{C_i} дано по (19),

$$\text{а } \{\vec{r}_{C^j}\} = \begin{cases} (-1)^j \left[\frac{e_2}{2} \gamma - \frac{\Delta}{2e_1} (1 - \lambda) h_{\delta} \right] \\ (-1)^{j-1} \frac{e_2}{2} + \delta_j (1 - \lambda) h_{\delta} \\ (1 - \lambda) h_{\delta} \end{cases},$$

$$\{\vec{r}_{B^j}\} = \begin{cases} x_{B^j}^j \\ y_{B^j}^j \\ z_{B^j}^j \end{cases};$$

$$(\vec{G})_O = mg(0, \sin \varphi_O, \cos \varphi_O)^T;$$

$$\{\vec{R}_{B^j}\}_C = X_{(-1)^{j-1} \frac{\Delta}{2e_1}} \Phi_{\delta_j} \{\vec{R}_{B^j}\},$$

$$\{\vec{M}_{B^j}\}_C = X_{(-1)^{j-1} \frac{\Delta}{2e_1}} \Phi_{\delta_j} \{\vec{M}_{B^j}\}$$

(далее принято $\delta_i = 0$, $e_1 \approx 2a$, $e_2 \approx 2b$).

Суммирование в (31) ведется по всем точкам контакта $K_{*ij} = K_{*ij}^O$, при этом $*$ = 1, 2, ..., n_{ij} ; i, j = 1, 2.

Силы $\vec{F}^{(e)}$, $\vec{M}_C^{(e)}$ носят мгновенный характер и пока определены с точностью до мгновенных контактных сил N_{*ij}^O и сил \vec{R}_{B^j} , \vec{M}_{B^j} , которые действуют со стороны обрессоренных частей вагона, в частности наддрессорной балки, через рессорные комплекты (более подробно эти силы в данной статье не рассматриваются и считаются заданными).

Дифференциальные уравнения сдвига, деформации и собственных вращений колесных пар

При составлении дифференциальных уравнений для величин γ , Δ и $\dot{\theta}_j$ (j = 1, 2) ограничимся частным случаем прямоугольной базовой площадки тележки ($\lambda_1 = \lambda_2 = \mu_1 = \mu_2 = 1/2$, $k_1 = k_2 = 1$ в формулах (10) работы [2]) и воспользуемся уравне-

ниями Лагранжа, которые в данном случае имеют вид

$$\begin{aligned} \frac{d}{dt} \frac{\partial T}{\partial \dot{\gamma}} - \frac{\partial T}{\partial \gamma} &= Q_\gamma, \\ \frac{d}{dt} \frac{\partial T}{\partial \dot{\Delta}} - \frac{\partial T}{\partial \Delta} &= Q_\Delta, \\ \frac{d}{dt} \frac{\partial T}{\partial \dot{\theta}_i} &= Q_{\theta_i} \quad (i=1,2). \end{aligned} \quad (33)$$

Кинетическая энергия тележки T имеет вид

$$\begin{aligned} 2T &= m(\bar{v}_C)^2 + \{\bar{\omega}_C\}^T \bar{J}_C \{\bar{\omega}_C\} + \\ &+ \sum_{i=1}^2 [m_{\text{кп}}(\bar{v}_{C_i}^{(r)})^2 + \{\bar{\omega}_i^{(r)}\}^T \bar{J}_{C_i} \{\bar{\omega}_i^{(r)}\}] + \\ &+ \sum_{j=1}^2 [m_{\text{бп}}(\bar{v}_{C_j}^{(r)})^2 + \{\bar{\omega}^{j(r)}\}^T \bar{J}_{C_j} \{\bar{\omega}^{j(r)}\}], \end{aligned}$$

где

$$\{\bar{v}_C\} = \{\bar{v}_O\} + \{\dot{\bar{u}}\} + \bar{\Omega}_O \{\bar{\rho}_O + \bar{u}\},$$

$$\{\bar{v}_O\} = \left(\frac{R-f_O}{R} \dot{s}, 0, 0 \right)^T,$$

$$(\bar{v}_{C_i}^{(r)})^2 = \frac{\lambda^2 h_\delta^2}{16b^2} \dot{\Delta}^2,$$

$$(\bar{v}_{C_j}^{(r)})^2 = \left[b\dot{\gamma} - \dot{\Delta} \frac{(1-\lambda)h_\delta}{4a} \right]^2,$$

$$\{\bar{\omega}_i^{(r)}\} = \left\{ \begin{aligned} &(-1)^i \frac{\dot{\Delta}}{2b} + \dot{\gamma} \sin \chi \\ &\dot{\theta}_i - \dot{\chi} + (-1)^i \dot{\gamma} \frac{\Delta}{2b} \cos \chi \\ &\dot{\gamma} \cos \chi + (-1)^i \dot{\chi} \frac{\Delta}{2b} \end{aligned} \right\},$$

$$\{\bar{\omega}^{j(r)}\} = \left\{ \begin{aligned} &0 \\ &(-1)^{j-1} \frac{\dot{\Delta}}{2a} \\ &0 \end{aligned} \right\},$$

$J_C = J(\gamma, \Delta)$ — переменный тензор инерции тележки; J_{C_i} , J_{C_j} — тензоры инерции колесных пар и боковых рам соответственно (формулы (45), (46) работы [2]); $\{\bar{\omega}_C\}$ дана по (5); $\{\bar{\omega}_i^{(r)}\}$ — относительные угловые скорости колесных пар, а $\{\bar{\omega}^{j(r)}\}$ — относительные угловые скорости боковых рам.

После вычисления левых частей уравнений (33) получаем

$$\begin{aligned} &2(J_z + m_{\text{бп}} b^2) \ddot{\gamma} - m_{\text{бп}} \frac{b(1-\lambda)h_\delta}{2a} \ddot{\Delta} + \\ &+ J_y (\ddot{\theta}_2 - \ddot{\theta}_1) \frac{\Delta}{2b} \cos \chi + \\ &+ J_y (\dot{\theta}_2 - \dot{\theta}_1) \frac{\dot{\Delta}}{2b} \cos \chi - 2m_{\text{бп}} b^2 \gamma \omega_z^2 - \\ &- (J_z - J_y + m_{\text{бп}} b^2) \omega_x \omega_y = Q_\gamma; \\ &- m_{\text{бп}} \frac{b(1-\lambda)h_\delta}{2a} \ddot{\gamma} + \\ &+ \left(\frac{J_x}{b^2} + \frac{J_y}{a^2} + m_{\text{кп}} \frac{\lambda^2 h_\delta^2}{4b^4} + \right. \\ &+ \frac{1}{2} \left(\frac{(1-\lambda)^2 h_\delta^2}{4a^4} + m_{\text{бп}} \frac{h_\delta^2}{4a^4} \right) \ddot{\Delta} + \\ &+ \left[\frac{J_z^* - J_x^*}{b^2} (\omega_x^2 + \omega_y^2) + \right. \\ &+ \frac{J_z - J_y}{a^2} (\omega_y^2 + \omega_z^2) - \\ &- m_{\text{бп}} \omega_x^2 - m_{\text{кп}} \omega_y^2 - \\ &- (m_{\text{бп}} + m_{\text{кп}}) \omega_z^2 \left. \right] \Delta = Q_\Delta; \\ &J_y (\ddot{\theta}_i - \ddot{\chi}) = Q_{\theta_i} \quad (i=1,2), \end{aligned} \quad (34)$$

где учтено, что $J_x = J_z$, $\{\bar{\omega}_C\} = (\omega_x, \omega_y, \omega_z)^T$.

Обобщенные мгновенные силы Q_γ , Q_Δ определены в виде

$$Q_\gamma = Q_\gamma^{\text{cont}} + Q_\gamma^{\text{Б}}, \quad Q_\Delta = Q_\Delta^{\text{cont}} + Q_\Delta^{\text{Б}}, \quad (35)$$

где

$$\begin{aligned} Q_\gamma^{\text{cont}} &= \sum_{*ij} N_{*ij}^O \left(\left\{ \bar{\Lambda}_{*ij}^C \right\}^T \left\{ \frac{\partial \bar{r}_{*ij}}{\partial \gamma} \right\} + \right. \\ &\quad \left. + \left\{ \bar{\Lambda}_{*ij}^M \right\}^T \left\{ \frac{\partial \bar{\vartheta}_i^{(r)}}{\partial \gamma} \right\} \right); \\ Q_\Delta^{\text{cont}} &= \sum_{*ij} N_{*ij}^O \left(\left\{ \bar{\Lambda}_{*ij}^C \right\}^T \left\{ \frac{\partial \bar{r}_{*ij}}{\partial \Delta} \right\} + \right. \\ &\quad \left. + \left\{ \bar{\Lambda}_{*ij}^M \right\}^T \left\{ \frac{\partial \bar{\vartheta}_i^{(r)}}{\partial \Delta} \right\} \right); \\ Q_\gamma^{\text{Б}} &= \sum_j \left(\left\{ \bar{R}_{\text{Б}^j} \right\}^T X_{(-1)^j \frac{\Delta}{4a}} \left\{ \frac{\partial \bar{r}_{\text{Б}^j}}{\partial \gamma} \right\} + \right. \\ &\quad \left. + \left\{ \bar{M}_{\text{Б}^j} \right\}^T \left\{ \frac{\partial \bar{\vartheta}^{j(r)}}{\partial \gamma} \right\} \right); \\ Q_\Delta^{\text{Б}} &= \sum_j \left(\left\{ \bar{R}_{\text{Б}^j} \right\}^T X_{(-1)^j \frac{\Delta}{4a}} \left\{ \frac{\partial \bar{r}_{\text{Б}^j}}{\partial \Delta} \right\} + \right. \\ &\quad \left. + \left\{ \bar{M}_{\text{Б}^j} \right\}^T \left\{ \frac{\partial \bar{\vartheta}^{j(r)}}{\partial \gamma} \Delta \right\} \right), \end{aligned} \quad (36)$$

а также

$$\begin{aligned} \left\{ \frac{\partial \vec{r}_{*ij}}{\partial \gamma} \right\} &= \begin{Bmatrix} -y_{*ij} \\ x_{*ij} \\ 0 \end{Bmatrix}, \\ \left\{ \frac{\partial \vec{r}_{*ij}}{\partial \Delta} \right\} &= \begin{Bmatrix} (-1)^j \Delta / 4a \\ (-1)^{i-1} \left(\lambda h_{\delta} / 4 - z_{*ij} / 2 \right) / b \\ (-1)^j x_{*ij} / 2b \end{Bmatrix}, \\ \left\{ \frac{\partial \vec{r}_{Bj}}{\partial \gamma} \right\} &= \begin{Bmatrix} (-1)^j b \\ 0 \\ 0 \end{Bmatrix}, \\ \left\{ \frac{\partial \vec{r}_{Bj}}{\partial \Delta} \right\} &= \begin{Bmatrix} (-1)^{j-1} \left((1-\lambda) h_{\delta} / 4 + z_{Bj}^j / 2 \right) / a \\ (-1)^j \Delta / 4b \\ (-1)^j (\Delta / 4b + x_{Bj}^j / 2a) \end{Bmatrix}, \quad (36^*) \\ \left\{ \frac{\partial \vec{\vartheta}_i^{(r)}}{\partial \gamma} \right\} &= \begin{Bmatrix} 0 \\ 0 \\ 1 \end{Bmatrix}, \\ \left\{ \frac{\partial \vec{\vartheta}_i^{(r)}}{\partial \Delta} \right\} &= \begin{Bmatrix} (-1)^j / 4b \\ 0 \\ 0 \end{Bmatrix}, \\ \left\{ \frac{\partial \vec{\vartheta}_i^{(r)}}{\partial \gamma} \right\} &= \begin{Bmatrix} 0 \\ 0 \\ 0 \end{Bmatrix}, \\ \left\{ \frac{\partial \vec{\vartheta}_i^{(r)}}{\partial \gamma} \Delta \right\} &= \begin{Bmatrix} 0 \\ (-1)^j / 4a \\ 0 \end{Bmatrix} \end{aligned}$$

и следует учесть (30).

Обобщенные мгновенные силы Q_{θ_i} определены в виде

$$\begin{aligned} Q_{\theta_i} &= \sum_{*ij} N_{*ij}^O \left(\left\{ \tilde{\mathbf{X}}_{*ij} \left\{ \bar{\Lambda}_{*ij}^{C_i} \right\} + \right\}^T \left\{ \vec{J}_i \right\} \right) + \\ &+ \sum_j M_{ij}^{\text{bear}}, \quad i = \text{const}, \end{aligned} \quad (37)$$

где M_{ij}^{bear} — моменты сопротивления в подшипниках, \vec{J}_i — орты осей колесных пар и следует учесть (30).

Таким образом, в общем виде получены уравнения движения для динамических переменных тележки:

$$\{\bar{u}\} = (x, y, z)^T, \quad \{\bar{\vartheta}\} = (\varphi, \chi, \psi)^T, \quad \gamma, \Delta, \dot{\theta}_1, \dot{\theta}_2.$$

Из последних двух уравнений в (34) видно, что

$$\begin{cases} J_y (\ddot{\theta}_2 - \ddot{\theta}_1) = Q_{\theta_2} - Q_{\theta_1}, \\ \ddot{\theta}_1 = \frac{1}{2} \ddot{\chi} + Q_{\theta_1} / J_y, \\ \ddot{\theta}_2 = \frac{1}{2} \ddot{\chi} + Q_{\theta_2} / J_y. \end{cases} \quad (38)$$

Используя первое равенство в (38), разрешим первые два уравнения в (34) относительно старших производных в виде

$$\begin{cases} D\ddot{\gamma} = \sum_{*ij} N_{*ij}^O D_{\gamma *ij} + D_{\gamma}, \\ D\ddot{\Delta} = \sum_{*ij} N_{*ij}^O D_{\Delta *ij} + D_{\Delta}, \end{cases} \quad (39)$$

где

$$\begin{cases} D_{\gamma} = C(Q_{\gamma}^B - q_{\gamma}) - B(Q_{\Delta}^B - q_{\Delta}), \\ D_{\Delta} = A(Q_{\Delta}^B - q_{\Delta}) - B(Q_{\gamma}^B - q_{\gamma}), \\ D_{\gamma *ij} = \left\{ \bar{\Lambda}_{*ij}^C \right\}^T \left\{ C \left\{ \frac{\partial \vec{r}_{*ij}}{\partial \gamma} \right\} - B \left\{ \frac{\partial \vec{r}_{*ij}}{\partial \Delta} \right\} \right\} + \\ + \left\{ \bar{\Lambda}_{*ij}^M \right\}^T \left\{ C \left\{ \frac{\partial \vec{\vartheta}_i^{(r)}}{\partial \gamma} \right\} - B \left\{ \frac{\partial \vec{\vartheta}_i^{(r)}}{\partial \Delta} \right\} \right\} + \\ + (-1)^{i-1} \frac{C\Delta}{2b} \left\{ \tilde{\mathbf{X}}_{*ij} \left\{ \bar{\Lambda}_{*ij}^{C_i} \right\} + \left\{ \bar{\Lambda}_{*ij}^{M_i} \right\}^T \left\{ \vec{J}_i \right\} \right\}, \\ D_{\Delta *ij} = \left\{ \bar{\Lambda}_{*ij}^C \right\}^T \left\{ A \left\{ \frac{\partial \vec{r}_{*ij}}{\partial \Delta} \right\} - B \left\{ \frac{\partial \vec{r}_{*ij}}{\partial \gamma} \right\} \right\} + \\ + \left\{ \bar{\Lambda}_{*ij}^M \right\}^T \left\{ A \left\{ \frac{\partial \vec{\vartheta}_i^{(r)}}{\partial \Delta} \right\} - B \left\{ \frac{\partial \vec{\vartheta}_i^{(r)}}{\partial \gamma} \right\} \right\} + \\ + (-1)^i \frac{B\Delta}{2b} \left\{ \tilde{\mathbf{X}}_{*ij} \left\{ \bar{\Lambda}_{*ij}^{C_i} \right\} + \left\{ \bar{\Lambda}_{*ij}^{M_i} \right\}^T \left\{ \vec{J}_i \right\} \right\}, \end{cases} \quad (40)$$

также обозначено

$$\begin{cases} A = 2(J_z + m_{\text{bp}} b^2), \\ B = -m_{\text{bp}} b(1-\lambda) h_{\delta} / 2a, \\ C = \frac{1}{2} \left(\frac{J_x}{b^2} + \frac{J_y}{a^2} + m_{\text{кп}} \frac{\lambda^2 h_{\delta}^2}{4b^2} + \right. \\ \left. + m_{\text{bp}} \frac{(1-\lambda)^2 h_{\delta}^2}{4a^2} \right), \\ q_{\gamma} = J_y (\dot{\theta}_2 - \dot{\theta}_1) \frac{\dot{\Delta}}{2b} - 2m_{\text{bp}} b^2 \gamma \omega_z^2 - \end{cases}$$

$$\begin{pmatrix} -(J_z - J_y + m_{\text{бп}} b^2) \omega_x \omega_z \\ \frac{J_z^* - J_x^*}{b^2} (\omega_x^2 + \omega_y^2) + \\ + \frac{J_z - J_y}{a^2} (\omega_y^2 + \omega_z^2) - \\ - m_{\text{бп}} \omega_x^2 - m_{\text{кп}} \omega_y^2 - \\ - (m_{\text{бп}} + m_{\text{кп}}) \omega_z^2 \end{pmatrix} \Delta. \quad (40^*)$$

В (40) следует учесть выражения (30), (36), (36*) и также принято, что моменты сопротивления во всех подшипниках одинаковые ($M_{ij}^{\text{bear}} = M^{\text{bear}}$).

Определение мгновенных контактных сил

Для определения нормальных контактных сил N_{*ij}^O воспользуемся уравнениями кинематических негोलомных связей колес с рельсами (7), в форме условия продолжающегося контакта

$$(\vec{v}_{*ij} \cdot \vec{e}_{3*ij}^O) \Big|_{t=0} = 0, \quad (\vec{a}_{*ij} \cdot \vec{e}_{3*ij}^O) = 0. \quad (41)$$

В путевой системе координат тележки $\bar{O}\xi\eta\zeta$ можем записать

$$(\vec{a}_{*ij} \cdot \vec{e}_{3*ij}^O) = \{\vec{e}_{3*ij}^O\}_O^T \{\vec{a}_{*ij}\}_O = 0 \quad (42)$$

или подробнее в виде

$$\begin{pmatrix} a_{*ij\zeta} \sin \left((-1)^i \frac{a}{R} \right) - \\ - a_{*ij\eta} \cos \left((-1)^i \frac{a}{R} \right) \end{pmatrix} \times \\ \times \sin \bar{\beta}_{*ij}^O + a_{*ij\zeta} \cos \bar{\beta}_{*ij}^O = 0,$$

где $* = 1, 2, \dots, n_{ij}$; $i, j = 1, 2$; n_{ij} — число точек контакта на i, j -м колесе.

Представим абсолютные угловые скорости колесных пар $\vec{\omega}_i$ (в отличие от выражений (82) работы [2]) в виде

$$\begin{cases} \{\vec{\omega}_i\} = \Pi_C^{C_i} \{\vec{\omega}_C\} + \{\vec{\omega}_i^{(r)}\}, \\ \{\dot{\vec{\omega}}_i\} = -\dot{\vec{\Theta}}_i^{(r)} \{\vec{\omega}_C\} + \\ + [\vec{E} - \vec{\Theta}_i^{(r)}] \{\dot{\vec{\omega}}_C\} + \{\dot{\vec{\omega}}_i^{(r)}\}, \end{cases} \quad (43)$$

где

$$\{\vec{\omega}_i^{(r)}\} = \{\dot{\vec{\Theta}}_i^{(r)} + \dot{\vec{\Theta}}_i^T\} = \begin{Bmatrix} (-1)^i \dot{\Delta} / 4b \\ \dot{\Theta} - \dot{\chi} \\ \dot{\gamma} \end{Bmatrix},$$

$$\vec{E} - \vec{\Theta}_i^{(r)} = \Pi_C^{C_i}, \quad (43^*)$$

$$\vec{\Theta}_i^{(r)} = \begin{bmatrix} 0 & -\gamma & \chi \\ \gamma & 0 & (-1)^{i-1} \Delta / 4b \\ -\chi & (-1)^i \Delta / 4b & 0 \end{bmatrix},$$

\vec{E} — единичная матрица.

Используя стандартные формулы

$$\begin{cases} \vec{v}_{*ij} = \vec{v}_{C_i} + \vec{\omega}_i \times \vec{r}_{i*ij}, \\ \vec{a}_{*ij} = \vec{a}_{C_i} + \dot{\vec{\omega}}_i \times \vec{r}_{i*ij} + \\ + \vec{\omega}_i \times \vec{\omega}_i \times \vec{r}_{i*ij} \end{cases} \quad (44)$$

для ускорений \vec{a}_{*ij} , в путевой системе координат тележки $\bar{O}\xi\eta\zeta$ получим выражения, которые представим в виде

$$\begin{aligned} \{\vec{a}_{*ij}\} = \{\vec{a}_C\} - \Pi_C^O &+ \left[\vec{E} - \vec{\Theta}_i^{(r)} \right] \vec{\mathfrak{R}}_{i*ij} \times \left\{ \begin{aligned} &\vec{\mathfrak{R}}_{*ij} \{\dot{\vec{\omega}}_C\} + \\ &\times \{\dot{\vec{\omega}}_i^{(r)}\} + \{\ddot{\vec{r}}_{C_i}\} \end{aligned} \right\} + \\ + \Pi_C^O &\left\{ \begin{aligned} &2\ddot{\vec{\Omega}}_C \{\dot{\vec{r}}_{C_i}\} + \ddot{\vec{\Omega}}_C^2 \{\vec{r}_{C_i}\} + \\ &+ \vec{\mathfrak{R}}_{i*ij} \vec{\Theta}_i^{(r)} \{\vec{\omega}_C\} + \\ &+ [\vec{E} - \vec{\Theta}_i^{(r)}] \ddot{\vec{\Omega}}_i^2 \{\vec{r}_{i*ij}\} \end{aligned} \right\}, \end{aligned} \quad (45)$$

где $\Pi_C^O = \Psi X \Phi$; \vec{r}_{C_i} даны выражениями (19), при этом существенно, что

$$\{\ddot{\vec{r}}_{C_i}\} = \frac{\lambda h_{\mathfrak{S}}}{2b} \{(-1)^i \ddot{\Delta} \vec{j}\},$$

и следует учесть (43) (остальные обозначения известны).

Далее используем дифференциальные уравнения движения тележки (1) с учетом выражений (31), уравнения (39) и последние два уравнения в (34) из которых получим выражения для \vec{a}_C , $\vec{\omega}_C$, $\vec{\omega}_i^{(r)}$ и $\ddot{\vec{r}}_{C_i}$ в виде

$$\left\{ \begin{aligned} \{\bar{a}_c\} &= \frac{1}{m} \sum_{*ij} N_{*ij}^O \{\bar{\Lambda}_{*ij}^O\} + \\ &+ \frac{1}{m} \{\bar{R}_{A^i}\}_O + \{\bar{g}\}_O, \\ \{\dot{\bar{\omega}}_c\} &= \sum_j \bar{J}_C^{-1} \{\bar{\mathfrak{R}}_{*ij} \{\bar{\Lambda}_{*ij}^C\} + \{\bar{\Lambda}_{*ij}^M\}\} + \\ &+ \sum_{*ij} N_{*ij}^O \bar{J}_C^{-1} \{\bar{\mathfrak{R}}_{A^i} \{\bar{R}_{A^i}\}_C + \{\bar{M}_{A^i}\}_C\} - \\ &- \bar{J}_C^{-1} \bar{J}_C \{\bar{\omega}_c\} - \bar{J}_C^{-1} \bar{\Omega}_C \bar{J}_C \{\bar{\omega}_c\}, \\ \{\dot{\bar{\omega}}_i^{(r)}\} &= \sum_{*ij} N_{*ij}^O \{\bar{D}_{*ij}^{(r)}\} + \{\bar{D}^{(r)}\}, \\ \{\ddot{r}_{c_i}\} &= \sum_{*ij} N_{*ij}^O (-1)^i \frac{h_\delta D_{\Delta *ij}}{2bD} \{\bar{j}\} + \\ &+ (-1)^i \frac{h_\delta D_{\Delta}}{2bD} \{\bar{j}\}, \end{aligned} \right. \quad (46)$$

где обозначено

$$\left\{ \begin{aligned} \{\bar{D}_{*ij}^{(r)}\} &= \left\{ \begin{aligned} &(-1)^i D_{\Delta *ij} / (4bD) \\ &\left(\frac{1}{J_y} \right) \left\{ \bar{\mathfrak{R}}_{*ij} \{\bar{\Lambda}_{*ij}^{C_i}\} + \right. \\ &\quad \left. + \{\bar{\Lambda}_{*ij}^{M_i}\} \right\} \\ &D_{\gamma *ij} / D_{\gamma} \end{aligned} \right\}^T \{\bar{j}_i\}, \\ \{\bar{D}^{(r)}\} &= \left\{ \begin{aligned} &(-1)^i D_{\Delta} / (4bD) \\ &\left(\frac{1}{J_y} \right) \sum_j M_{ij}^{\text{bear}} \\ &D_{\gamma} / D \end{aligned} \right\}, \end{aligned} \right. \quad (46^*)$$

и следует учесть обозначения (40), (40*), (36), (36*) и (30).

Подставляя теперь выражения (46) в (45), а затем в равенства (42), получим систему линейных алгебраических уравнений относительно нормальных контактных сил N_{*ij}^O в виде

$$\sum_{v,\mu=1}^2 \sum_{*v\mu=1}^{n_{v\mu}} \mathbf{A}_{*ij,*v\mu} N_{*v\mu}^O = \mathbf{B}_{*ij}, \quad (47)$$

$$(i, j = 1, 2; \quad *ij = 1, 2, \dots, n_{ij}),$$

где

$$\left\{ \begin{aligned} \mathbf{A}_{*ij,*v\mu} &= \frac{1}{m} \{\bar{e}_{*ij}^O\}_O^T \{\bar{\Lambda}_{*v\mu}^O\} - \\ &- \{\bar{e}_{*ij}^O\}_O^T \Psi \mathbf{X} \Phi \left[\bar{\mathfrak{R}}_{*v\mu} \bar{J}^{-1} \times \right. \\ &\quad \left. \times \left\{ \bar{\mathfrak{R}}_{*v\mu} \{\bar{\Lambda}_{*ij}^C\} + \right. \right. \\ &\quad \left. \left. + \{\bar{\Lambda}_{*ij}^M\} \right\} \right] + \end{aligned} \right.$$

$$\left\{ \begin{aligned} &+ \left(\bar{E} + \bar{\Theta}_v^{(r)} \right) \bar{\mathfrak{R}}_{*v\mu} \{\bar{D}_{*v\mu}^{(r)}\} + \\ &+ (-1)^v \frac{h_\delta \bar{D}_{\Delta *v\mu}^{(r)}}{2bD} \{\bar{j}\} \end{aligned} \right\}, \quad (48)$$

$$\left\{ \begin{aligned} \mathbf{B}_{*ij} &= \{\bar{e}_{*ij}^O\}_O^T \left\{ \frac{1}{m} \{\bar{R}_{B^i}\}_O + \{\bar{g}\}_O \right\} - \\ &- \{\bar{e}_{*ij}^O\}_O^T \Psi \mathbf{X} \Phi \bar{\mathfrak{R}}_{*v\mu} \bar{J}_C^{-1} \times \\ &\times \left[\sum_{\mu} \left\{ \bar{\mathfrak{R}}_{B^i} \{\bar{R}_{B^i}\}_C + \{\bar{M}_{B^i}\}_C \right\} + \right. \\ &\left. + \left(\bar{J}_C + \bar{\Omega}_C \bar{J}_C \right) \{\bar{\omega}_c\} + (-1)^v \frac{h_\delta \bar{D}_{\Delta}}{2bD} \{\bar{j}\} \right]. \end{aligned} \right.$$

Количество уравнений (47) совпадает с количеством точек мгновенного контакта $K_{*ij} = K_{*ij}^O$ всех колес тележки с рельсами ($n = \sum_{ij} n_{ij}$), которое в общем случае является переменным.

Относительно решения системы (47) справедливы все те же замечания, что и для отдельной колесной пары [1]. Если в процессе решения системы (47) окажется, что какая-либо нормальная сила $N_{*ij} < 0$, то эту точку контакта, то есть соответствующее уравнение из системы (47), следует исключить, а решение повторить. Если оказывается, что точек контакта колеса с рельсом слишком много ($n_{ij} > 2$), то эти точки можно сгруппировать путем осреднения по зонам: на поверхности катания рельса (колеса) и боковой грани рельса (колеса). Таким образом, в практических расчетах число уравнений в (47) всегда можно сделать от четырех до восьми.

Отметим, что система уравнений (47) определена на шаге интегрирования τ (то есть для промежутка времени $[t, t + \tau]$), при этом координаты точек контакта $x_{i*ij}, y_{i*ij}, z_{i*ij}$, полученные из уравнений (23) на предыдущем шаге интегрирования, мгновенно фиксированы для момента времени t , а найденные из (47) значения контактных сил N_{*ij}^O подставляются в уравнения движения (8) и (34), (39) для их интегрирования на шаге.

В уравнения (47) входят только независимые динамические переменные: углы $\{\bar{\vartheta}\} = (\varphi, \chi, \psi)^T$ и пара-

метры перекоса тележки γ и Δ для момента t .

Пересчет для момента $t = t + \tau$ осуществляется по формулам

$$\begin{cases} \hat{\vartheta} = \bar{\vartheta}(t + \tau) = \bar{\vartheta}(t) + \tau \dot{\bar{\vartheta}}(t), \\ \hat{\gamma} = \gamma(t + \tau) = \gamma(t) + \tau \dot{\gamma}(t), \\ \hat{\Delta} = \Delta(t + \tau) = \Delta(t) + \tau \dot{\Delta}(t), \\ \hat{\theta}_i = \theta_i(t + \tau) = \theta_i(t) + \tau \dot{\theta}_i(t). \end{cases} \quad (49)$$

Для новых значений динамических переменных (49) после их подстановки в уравнения (23) находят новые значения координат мгновенных точек контакта \hat{x}_{i*ij} , \hat{y}_{i*ij} , \hat{z}_{i*ij} (подробнее см. [2]) и далее из (47) соответствующие им новые значения нормальных контактных сил \hat{N}_{i*ij}^O .

Таким образом, задача определения нормальных контактных сил N_{i*ij}^O сопряжена с задачей определения мгновенных координат точек контакта колес с рельсами и представляет собой внутришаговую процедуру при интегрировании дифференциальных уравнений движения тележки. Процедура определения мгновенных координат точек контакта колес с рельсами для отдельной колесной пары подробно рассмотрена в работе [1].

Доопределение начальных условий

При доопределении начальных условий в задаче Коши для системы дифференциальных уравнений движения тележки следует воспользоваться первой группой условий (41) и уравнениями связи (25).

Обозначим левую часть равенства (27) в виде

$$\mathfrak{M}_{i*ij} = \{\bar{e}_{3*ij}^O\}_O^T \{\bar{v}_{i*ij}\} = 0, \quad (50)$$

где

$$\{\bar{e}_{3*ij}^O\}_O^T = \begin{cases} \sin\left((-1)^i \frac{a}{R}\right) \sin \bar{\beta}_{i*ij}^O \\ \cos\left((-1)^i \frac{a}{R}\right) \sin \bar{\beta}_{i*ij}^O \\ \cos \bar{\beta}_{i*ij}^O \end{cases},$$

а $\{\bar{v}_{i*ij}\} = \{v_{i*ij\xi}, v_{i*ij\eta}, v_{i*ij\zeta}\}^T$, даны выра-

жением (18). Тогда уравнения неголономных связей (41) примут вид

$$\mathfrak{M}_{i*ij} \begin{bmatrix} x_{i*ij}, y_{i*ij}, z_{i*ij}, x_{i*ij}^O, y_{i*ij}^O, z_{i*ij}^O, \\ s, \dot{s}, \bar{u}, \bar{\dot{u}}, \bar{\vartheta}, \dot{\bar{\vartheta}}, \gamma, \dot{\gamma}, \\ \dot{\Delta}, \dot{\theta}_1, \dot{\theta}_2 \end{bmatrix} = 0, \quad (51)$$

где $\{\bar{\vartheta}\} = (\varphi, \chi, \psi)^T$, а перемещение $\{\bar{u}\} = (x, y, z)^T$ связано уравнениями связи (25), (26), при этом

$$\bar{u} = \bar{u} \begin{bmatrix} \varphi, \chi, \psi, \gamma, \Delta, \bar{x}_*, \bar{y}_*, \\ \bar{z}_*, \bar{x}_*^O, \bar{y}_*^O, \bar{z}_*^O \end{bmatrix}, \quad (52)$$

где « $\bar{}$ » означает осреднение по всем точкам контакта колес с рельсами (согласно (26)).

Принимая для начального момента времени, например,

$$t = 0 \Rightarrow \varphi_0 = \chi_0 = \psi_0 = \gamma_0 = \Delta_0 = 0; \quad (53)$$

$$\dot{\theta}_{i0} = \dot{s}(0) / \bar{r}_i$$

находим соответствующие координаты точек начального контакта $K_{i*ij0} = K_{i*ij0}^O$ и после подстановки этих координат и выражений (52) в равенства (53), получаем систему алгебраических уравнений вида

$$\mathfrak{M}_{i*ij} \begin{bmatrix} x_{i*ij0}, y_{i*ij0}, z_{i*ij0}, x_{i*ij0}^O, y_{i*ij0}^O, z_{i*ij0}^O, \\ z_{i*ij0}^O, s(0), \dot{s}(0), \dot{\varphi}_0, \dot{\chi}_0, \\ \dot{\psi}_0, \dot{\gamma}_0, \dot{\Delta}_0 \end{bmatrix} = 0 \quad (54)$$

для оставшихся начальных условий $\dot{\varphi}_0, \dots, \dot{\Delta}_0$.

Если из равенств (54) не удастся выделить достаточное количество уравнений, то можно задать дополнительное начальное условие еще для какой-либо из скоростей, например, $t = 0, \dot{\gamma} = 0$.

Минимальное число уравнений в (54) при безотрывном движении равно четырем. В (54) учтено, что время входит через дуговую координату $s = s(t)$.

Таким образом, основная задача динамики тележки как изменяемого твердого тела с неголономными связями колес с рельсами полностью определена.

Литература

1. Добычин И. А., Градинаров М. Ю. Неголономная динамика колесной пары//Вестник УрГУПС, 2012, № 1 (13). С. 31–36. ISSN 2070-0392.
2. Добычин И. А., Градинаров М. Ю. Кинематический анализ тележки грузового вагона как изменяемого тела с внутренними степенями свободы//Вестник УрГУПС, 2012, № 2 (14). С. 14–33. ISSN 2070-0392.
3. Добычин И. А., Смольянинов А. В., Павлюков А. Э. Теоретические основы нелинейной механики рельсовых экипажей. Екатеринбург : Издатель Г. П. Калинина, 2009, 278 с. ISBN 978-5-901487-53-2.

References

1. I. A. Dobychin, M. Yu. Gradinarov. Negolonomnaya dinamika kolesnoy pary [Nonholonomic dynamics of wheel set]//Vestnik UrGUPS, 2012, No. 1 (13). S. 31–36. ISSN 2070-0392.
2. I. A. Dobychin, M. Yu. Gradinarov. Kinematichesky analiz telezhki грузового vagona kak izmenyaemogo tela s vnutrennimimi stepenyami svobody [Kinematic analysis of the freight car truck as a variable body with internal degrees of freedom]//Vestnik UrGUPS, 2012, No. 2 (14). S. 14–33. ISSN 2070-0392.
3. I. A. Dobychin, A. V. Smolyaninov, A. E. Pavlyukov. Teoreticheskiye osnovy nelineynoy mekhaniki relsovykh ekipazhey [Theoretical bases of nonlinear mechanics of rail carriages]. Ekaterinburg : Publisher G. P. Kalinina, 2009, 278 s. ISBN 978–5-901487–53–2.

Статья сдана в редакцию 9 августа 2012 года

И. Ю. Крутова

Трехмерный стационарный поток газа в условиях действия сил тяжести и Кориолиса в окрестности непроницаемой горизонтальной плоскости

UDC 519.63+533.6

I. Yu. Krutova

Three-dimensional stationary gas flow under impact of forces of gravity and Coriolis in the neighbourhood of impervious horizontal plane

Аннотация

Математически моделируются трехмерные стационарные течения идеального политропного газа в условиях действия сил тяжести и Кориолиса. Для системы уравнений газовой динамики поставлена начально-краевая задача, решение которой описывает течение, возникающее при плавном стоке газа через поверхность вертикального цилиндра заданного ненулевого радиуса в окрестности непроницаемой плоскости $z = 0$. Доказано, что данная задача является характеристической задачей Коши стандартного вида, и поэтому при условии аналитичности входных данных у нее существует единственное аналитическое решение. Начальный отрезок ряда, задающий это аналитическое решение, используется для моделирования трехмерного стационарного придонного течения таких природных вихрей, как торнадо и тропические циклоны. Коэффициенты начальных отрезков рядов численно строятся при решении соответствующих систем обыкновенных дифференциальных уравнений. Распределения газодинамических параметров исследуемых течений представлены в виде графиков. Проведено их сравнение для торнадо различных классов и среднего по своим характеристикам тропического циклона. Данная работа продолжает исследования, представленные в работах [1, 2].

Ключевые слова:

система уравнений газовой динамики, сила Кориолиса и сила тяжести, закрутка газа, торнадо, тропический циклон.

Abstract

Three-dimensional stationary flows of ideal polytropic gas under the impact of forces of gravity and Coriolis are modelled mathematically. An initial boundary value problem was set for the gas dynamics equation system; its solution describes the flow occurring at smooth gas runoff through the surface of a vertical cylinder of the given non-zero radius in the neighbourhood of impervious plane $z = 0$. It is proved that this problem is a characteristic Cauchy problem of standard type, therefore, it has an only analytic solution on condition of input data analyticity. The initial row section setting this analytic solution is used to model three-dimensional stationary bottom flow of such natural whirls as tornado and tropical cyclones. Coefficients of initial row sections are formed numerically when solving the corresponding ordinary differential systems. Distributions of fluid dynamics parameters of flows under study are given as graphs. They are compared for tornadoes of various classes and a tropical cyclone of average characteristics. This paper continues the research presented [1, 2].

Key words:

gas dynamics equation system, Coriolis force and force of gravity, gas whirl, tornado, tropical cyclone.

Ирина Юрьевна Крутова, научный сотрудник Национального ядерного университета (МИФИ), Снежинского физико-технического института; Снежинск, Россия. E-mail: IKrutova@math.usurt.ru.

Irina Yuryevna Krutova, research engineer, National research Nuclear University (MEPhI), Snezhinsk Institute of Physics and Technology, Snezhinsk, Russia. E-mail: IKrutova@math.usurt.ru.

Постановка начально-краевой задачи

Система уравнений газовой динамики (СУГД) для изэнтропических нестационарных обших пространственных течений политропного газа в условиях действия сил тяжести и Кориолиса имеет следующий вид [3, 4]:

$$\left\{ \begin{aligned} & c_t + uc_r + \frac{v}{r}c_\varphi + wc_z + \\ & + \frac{(\gamma-1)}{2}c \left(u_r + \frac{u}{r} + \frac{v_\varphi}{r} + w_z \right) = 0 \\ & u_t + uu_r + \frac{v}{r}u_\varphi - \frac{v^2}{r} + \\ & + wu_z \frac{2}{(\gamma-1)}cc_r = av + bw \cos \varphi, \\ & v_t + uv_r + \frac{uv}{r} + \frac{v}{r}v_\varphi + wv_z + \\ & + \frac{2}{(\gamma-1)}\frac{c}{r}c_\varphi = -au + bw \sin \varphi, \\ & w_t + uw_r + \frac{v}{r}w_\varphi + ww_z + \\ & + \frac{2}{(\gamma-1)}cc_z = bu \cos \varphi - \\ & -bv \sin \varphi - g. \end{aligned} \right. \quad (1)$$

В системе (1): t — время; x, y, z — декартовы независимые переменные и в плоскости переменных x, y введена полярная система координат (r, φ) ; $c = \rho^{(\gamma-1)/2}$ — скорость звука газа; $\gamma = \text{const} > 1$ — показатель политропы газа в уравнении состояния $p = \rho^\gamma/\gamma$, где p и ρ — давление и плотность газа; u, v, w соответственно радиальная, окружная и вертикальная составляющие вектора скорости газа; $a = \Omega \sin \Psi$; $b = \Omega \cos \Psi$; $\Omega = |\mathbf{\Omega}|$ — модуль угловой скорости вращения Земли; Ψ — широта точки O на поверхности Земли; если точка O — начало прямоугольной системы координат лежит в Северном полушарии, то $0 < \Psi \leq \pi/2$; если в Южном, то $-\pi/2 \leq \Psi < 0$; на экваторе $\Psi = 0$; $g = \text{const} > 0$ — постоянное ускорение свободного падения. В данной работе, как и в [3, 4], в системе (1)

не учитывается центробежное ускорение: $-\mathbf{\Omega} \times (\mathbf{\Omega}(\mathbf{R}+\mathbf{r}))$, где \mathbf{R} — вектор, соединяющий центр Земли и точку O , \mathbf{r} — радиус-вектор текущей точки в системе координат x, y, z .

Для системы (1) на плоскости $z = 0$ ставятся следующие начальные данные:

$$\left\{ \begin{aligned} & c(t, r, \varphi, z) |_{z=0} = c_0(t, r, \varphi) \\ & u(t, r, \varphi, z) |_{z=0} = u_0(t, r, \varphi) \\ & v(t, r, \varphi, z) |_{z=0} = v_0(t, r, \varphi) \\ & w(t, r, \varphi, z) |_{z=0} = 0. \end{aligned} \right. \quad (2)$$

Последнее из начальных условий (2) обеспечивает условие непротекания газа через плоскость $z = 0$.

Решения рассматриваемой задачи (1), (2) будем строить в виде бесконечного ряда

$$\begin{aligned} U(t, r, \varphi, z) &= \sum_{k=0}^{\infty} U_k(t, r, \varphi) \frac{z^k}{k!}; \\ U_k(t, r, \varphi) &= \frac{\partial^k U(t, r, \varphi, z)}{\partial z^k} \Big|_{z=0}, \end{aligned} \quad (3)$$

где вектор U имеет в качестве координат искомые функции c, u, v, w .

К задаче (1), (2) добавляются условия

$$\left\{ \begin{aligned} & u_{0t} + u_0 u_{0r} + \frac{v_0}{r} u_{0\varphi} - \\ & - \frac{2}{(\gamma-1)} c_0 c_{0r} = av_0 \\ & v_{0t} + u_0 v_{0r} + \frac{u_0 v_0}{r} + \frac{v_0}{r} v_{0\varphi} + \\ & + \frac{2}{(\gamma-1)} \frac{c_0}{r} c_{0\varphi} = -au_0, \end{aligned} \right. \quad (4)$$

которые являются необходимыми условиями разрешимости рассматриваемой характеристической задачи Коши (ХЗК) (1), (2) [2, 5, 6].

Если предполагать существование решения у задачи (1), (2), то эти два выписанных соотношения (4) должны выполняться. То есть c_0, u_0, v_0 не могут быть произвольными, а должны удовлетворять этим двум выписанным соотношениям (4).

Возникновение условий (4) связано с тем, что задача (1), (2) является ХЗК и плоскость $z = 0$ в этой задаче есть характеристика кратности два [5, 6].

Теорема о существовании и единственности аналитического решения у ХЗК стандартного вида для системы уравнений газовой динамики с начальными данными на контактной поверхности (то есть поверхности, через которую газ не течет, в данном случае $z = 0$) приведена в [6].

Поскольку в данной работе будут рассматриваться течения с условиями заданного притока на цилиндре ненулевого радиуса, то переформулировка теоремы из [6] для данного случая следующая:

Теорема. *Задача (1), (2) есть ХЗК стандартного вида с данными на характеристике кратности два, имеющая в случае аналитичности всех входных данных единственное аналитическое решение при выполнении необходимых условий разрешимости ХЗК (4) и задании двух дополнительных условий вида*

$$\begin{cases} u(t, r, \varphi, z)|_{r=r_{in}} = u^0(t, \varphi, z) < 0, \\ v(t, r, \varphi, z)|_{r=r_{in}} = v^0(t, \varphi, z); \\ r_{in} = \text{const} > 0 \end{cases} \quad (5)$$

с аналитическими функциями $u^0(t, \varphi, z)$, $v^0(t, \varphi, z)$, согласованными с условиями (2) при $z = 0$, $r = r_{in}$:

$$\begin{cases} u_0(t, r, \varphi)|_{r=r_{in}} = u^0(t, \varphi, z)|_{z=0} \\ v_0(t, r, \varphi)|_{r=r_{in}} = v^0(t, \varphi, z)|_{z=0}. \end{cases} \quad (6)$$

Построение первых коэффициентов ряда (3)

Далее строятся стационарные решения задачи (1), (2), (5), (6), то есть полагается $\partial / \partial t = \partial / \partial \varphi = 0$. В работе [2] приведено описание построения коэффициентов

$$c_0 = c_0(r); u_0 = u_0(r); v_0 = v_0(r)$$

как решений соответствующей СОДУ с конкретными начальными условиями.

С помощью коэффициентов U_0 коэффициенты w_1 , c_1 определяются единственным образом [2]. В работе [2] выписаны задачи Коши для СОДУ, из которых определяются $u_{11}(r)$, $u_{12}(r)$, $v_{11}(r)$, $v_{12}(r)$. С помощью этих функций однозначно определяются w_2 , c_2 и

$$\begin{aligned} u_1 &= u_{11}(r) \cos \varphi + u_{12}(r) \sin \varphi, \\ v_1 &= v_{11}(r) \cos \varphi + v_{12}(r) \sin \varphi. \end{aligned} \quad (7)$$

Коэффициенты $u_2(r, \varphi)$, $v_2(r, \varphi)$, $w_3(r, \varphi)$ и $c_3(r, \varphi)$ ищутся в следующем виде:

$$\begin{aligned} w_3(r, \varphi) &= -\frac{2}{(\gamma-1)} \frac{1}{c_0(r)} \times \\ &\times \left\{ c_{2t} + u_2 c_{0r} + 2u_1 c_{1r} + u_0 c_{2r} + \right. \\ &+ \frac{1}{r} [v_2 c_{0\varphi} + 2v_1 c_{1\varphi} + v_0 c_{2\varphi}] + \\ &+ w_2 c_1 + \frac{(\gamma-1)}{2} c_2 \left[u_{0r} + \frac{u_0}{r} + \frac{v_{0\varphi}}{r} \right] + \\ &+ (\gamma-1) c_1 \left[u_{1r} + \frac{u_1}{r} + \frac{v_{1\varphi}}{r} + w_2 \right] + \\ &+ \frac{(\gamma-1)}{2} c_0 \left[u_{2r} + \frac{u_2}{r} + \frac{2v_{2\varphi}}{r} \right] \Bigg\}; \\ c_3(r, \varphi) &= \frac{(\gamma-1)}{2} \frac{1}{c_0} \left[bu_2 \cos \varphi - \right. \\ &bv_2 \sin \varphi - (u_0 w_{2r} + \frac{1}{r} v_0 w_{2\varphi} + \\ &\left. + \frac{6c_1 c_2}{(\gamma-1)}) \right]. \end{aligned} \quad (8)$$

В результате имеем СОДУ из десяти уравнений для десяти искомым функций $u_{20}(r)$, $u_{21}(r)$, $u_{22}(r)$, $u_{23}(r)$, $u_{24}(r)$, $v_{20}(r)$, $v_{21}(r)$, $v_{22}(r)$, $v_{23}(r)$, $v_{24}(r)$:

$$\begin{aligned} u_{20}' &= \frac{1}{u_0} [-u_{0r} u_{20} - u_{11} u_{11r} - u_{12} u_{12r} - \\ &- \frac{1}{r} v_{11} u_{12} + \frac{1}{r} v_{12} u_{11} + \frac{1}{r} v_{11}^2 - \frac{1}{r} v_{12}^2 + \\ &+ \frac{2}{r} v_0 v_{20} - \frac{1}{2} w_{21} u_{11} - \frac{1}{2} w_{22} u_{12} - \\ &- \frac{2}{(\gamma-1)} c_{0r} c_{20} - \frac{4}{(\gamma-1)} c_{10} c_{10r} - \end{aligned}$$

$$\begin{aligned}
 & -\frac{2}{(\gamma-1)}c_{11}c_{11r} - \frac{2}{(\gamma-1)}c_{12}c_{12r} - \\
 & -\frac{2}{(\gamma-1)}c_0c_{20r} + av_{20} - \frac{1}{2}bw_{21} \Big]; \\
 u_{21}' &= \frac{1}{u_0} \left[-u_{0r}u_{21} - \frac{1}{r}v_0u_{22} + \right. \\
 & + \frac{2}{r}v_0v_{21} - w_{20}u_{11} - \frac{2}{(\gamma-1)}c_{0r}c_{21} - \\
 & - \frac{4}{(\gamma-1)}c_{10}c_{11r} - \frac{4}{(\gamma-1)}c_{11}c_{10r} - \\
 & - \frac{2}{(\gamma-1)}c_0c_{21r} + av_{21} - bw_{20} \Big]; \\
 u_{22}' &= \frac{1}{u_0} \left[-u_{0r}u_{22} + \frac{1}{r}v_0u_{21} + \frac{2}{r}v_0v_{22} - \right. \\
 & - w_{20}u_{12} - \frac{2}{(\gamma-1)}c_{0r}c_{22} - \frac{4}{(\gamma-1)}c_{10}c_{12r} - \\
 & - \frac{4}{(\gamma-1)}c_{12}c_{10r} - \frac{2}{(\gamma-1)}c_0c_{22r} + av_{22} \Big]; \\
 u_{23}' &= \frac{1}{u_0} \left[-u_{0r}u_{23} - u_{11}u_{11r} + u_{12}u_{12r} - \right. \\
 & - \frac{1}{r}v_{11}u_{12} - \frac{1}{r}v_{12}u_{11} - \frac{2}{r}v_0u_{24} + \frac{1}{r}v_{11}^2 - \\
 & - \frac{1}{r}v_{12}^2 + \frac{2}{r}v_0v_{23} - \frac{1}{2}w_{21}u_{11} + \frac{1}{2}w_{22}u_{12} - \\
 & - \frac{2}{(\gamma-1)}c_{0r}c_{23} - \frac{2}{(\gamma-1)}c_{11}c_{11r} + \\
 & + \frac{2}{(\gamma-1)}c_{12}c_{12r} - \frac{2}{(\gamma-1)}c_0c_{23r} + \\
 & + av_{23} - \frac{1}{2}bw_{21} \Big]; \\
 u_{24}' &= \frac{1}{u_0} \left[-u_{0r}u_{24} - u_{11}u_{12r} - u_{12}u_{11r} + \right. \\
 & + \frac{1}{r}v_{11}u_{11} - \frac{1}{r}v_{12}u_{12} + \frac{2}{r}v_0u_{23} + \frac{2}{r}v_{11}v_{12} + \\
 & + \frac{2}{r}v_0v_{20} + \frac{2}{r}v_0v_{24} - \frac{1}{2}w_{21}u_{12} - \frac{1}{2}w_{22}u_{11} - \\
 & - \frac{2}{(\gamma-1)}c_{0r}c_{24} - \frac{2}{(\gamma-1)}c_{11}c_{12r} - \\
 & - \frac{2}{(\gamma-1)}c_{12}c_{11r} - \frac{2}{(\gamma-1)}c_0c_{24r} + \\
 & + av_{24} - \frac{1}{2}bw_{22} \Big];
 \end{aligned} \tag{9}$$

$$\begin{aligned}
 v_{20}' &= \frac{1}{u_0} \left[-v_{0r}u_{20} - u_{12}v_{12r} - \frac{1}{r}v_0u_{20} - \right. \\
 & - \frac{1}{r}u_{11}v_{11} - \frac{1}{r}u_{12}v_{12} - \frac{1}{r}u_0v_{20} - \frac{1}{r}w_{21}v_{11} - \\
 & - \frac{1}{r}w_{22}v_{12} - au_{20} + \frac{1}{2}bw_{22} \Big]; \\
 v_{21}' &= \frac{1}{u_0} \left[-v_{0r}u_{21} - \frac{1}{r}v_0u_{21} - \frac{1}{r}u_0v_{21} - \right. \\
 & - \frac{1}{r}v_0v_{22} - w_{20}v_{11} - \frac{4}{(\gamma-1)}\frac{1}{r}c_{10}c_{12} - \\
 & - \frac{2}{(\gamma-1)}\frac{1}{r}c_0c_{22} - av_{21} \Big]; \\
 v_{22}' &= \frac{1}{u_0} \left[-v_{0r}u_{22} - \frac{1}{r}v_0u_{22} - \frac{1}{r}u_0v_{22} + \right. \\
 & + \frac{1}{r}v_0v_{21} - w_{20}v_{12} + \frac{4}{(\gamma-1)}\frac{1}{r}c_{10}c_{11} + \\
 & + \frac{2}{(\gamma-1)}\frac{1}{r}c_0c_{21} - au_{22} + bw_{20} \Big]; \\
 v_{23}' &= \frac{1}{u_0} \left[-v_{0r}u_{23} - u_{11}v_{11r} + u_{12}v_{12r} - \right. \\
 & - \frac{1}{r}v_0u_{23} - \frac{1}{r}u_{11}v_{11} + \frac{1}{r}u_{12}v_{12} - \frac{1}{r}u_0v_{23} - \\
 & - \frac{2}{r}v_{11}v_{12} - \frac{2}{r}v_0v_{24} - \frac{1}{2}w_{21}v_{11} + \frac{1}{2}w_{22}v_{12} - \\
 & - \frac{2}{(\gamma-1)}\frac{1}{r}c_{11}c_{12} - \frac{2}{(\gamma-1)}\frac{1}{r}c_{12}c_{11} - \\
 & - \frac{4}{(\gamma-1)}c_0c_{24} - au_{23} - \frac{1}{2}bw_{22} \Big]; \\
 v_{24}' &= \frac{1}{u_0} \left[-v_{0r}u_{24} - u_{11}v_{12r} - u_{12}v_{11r} - \right. \\
 & - \frac{1}{r}v_0u_{24} - \frac{1}{r}u_{11}v_{12} - \frac{1}{r}u_{12}v_{11} - \frac{1}{r}u_0v_{24} + \\
 & + \frac{1}{r}v_{11}^2 - \frac{1}{r}v_{12}^2 + \frac{2}{r}v_0v_{23} - \frac{1}{2}w_{21}v_{12} - \\
 & - \frac{1}{2}w_{22}v_{11} + \frac{2}{(\gamma-1)}\frac{1}{r}c_{11}^2 - \frac{2}{(\gamma-1)}\frac{1}{r}c_{12}^2 + \\
 & + \frac{4}{(\gamma-1)}c_0c_{23} - au_{24} + \frac{1}{2}bw_{21} \Big].
 \end{aligned}$$

Если решение этой СОДУ, полученное при начальных данных (2), будет известно, то для приближенного описания течений газа в окрес-

тности плоскости $z = 0$ будут использоваться следующие представления:

$$\begin{aligned} c(r, \varphi, z) &\approx c_0(r) + [c_{10}(r) + c_{11}(r) \cos \varphi + \\ &+ c_{12}(r) \sin \varphi] z + \frac{(\gamma-1)}{2} \frac{1}{c_0(r)} [bu_1(r) \cos \varphi - \\ &- bv_1(r) \cos \varphi - \frac{2}{(\gamma-1)} (c_{10}(r) + c_{11}(r) \cos \varphi + \\ &+ c_{12}(r) \sin \varphi)^2] \frac{z^2}{2} + c_3(r, \varphi) \frac{z^3}{6}; \\ u(r, \varphi, z) &\approx u_0(r) + [u_{11}(r) \cos \varphi + \\ &+ u_{12}(r) \sin \varphi] z + [u_{20} + u_{21}(r) \cos \varphi + \\ &+ u_{22}(r) \sin \varphi + u_{23}(r) \cos 2\varphi + \\ &+ u_{24}(r) \sin 2\varphi] \frac{z^2}{2}; \\ v(r, \varphi, z) &\approx v_0(r) + [v_{11}(r) \cos \varphi + \\ &+ v_{12}(r) \sin \varphi] z + [v_{20} + v_{21}(r) \cos \varphi + \\ &+ v_{22}(r) \sin \varphi + v_{23}(r) \cos 2\varphi + \\ &+ v_{24}(r) \sin 2\varphi] \frac{z^2}{2}; \\ w(r, \varphi, z) &\approx w_2(r, \varphi) \frac{z^2}{2} + w_3(r, \varphi) \frac{z^3}{6}. \end{aligned}$$

Естественно, что построение решений задачи Коши для приведенных выше СОДУ можно осуществить численным образом.

Результаты расчетов

В работах [7–10] приведены данные статистической обработки показателей интенсивности торнадо различных классов, а также интенсивности тропических циклонов, и в первую очередь по скоростям движения в них воздушных масс — по скорости ветра. Также в работе [8] сделаны некоторые общие выводы об отдельных особенностях функционирования тропических циклонов.

1. Тропические циклоны в Атлантике и в северо-западной части Тихоокеанского региона имеют почти одинаковую интенсивность, а также совпадающие времена возрастания и убывания скорости ветра.

2. Существует примерно равная вероятность того, что любой тропи-

ческий циклон может достичь любой интенсивности (любой скорости ветра), но не более своей потенциальной интенсивности.

Под потенциальной интенсивностью подразумевается верхняя оценка максимума скорости ветра. А она, в свою очередь, диктуется балансом между энергией генерации и диссипации поверхностных потоков, большинство из которых происходят в атмосфере пограничного слоя.

3. Данные наблюдений свидетельствуют о том, что причиной большой интенсивности тропических циклонов в западной части Тихого океана является большая длина пути циклона над теплой водой.

4. По результатам исследований установлено, что средние темпы снижения интенсивности тропических циклонов над теплой и холодной водой очень похожи. Кроме того, около половины снижения интенсивности тропического циклона приходится на сушу.

Поскольку торнадо ежегодно приносят многочисленные разрушения и, к сожалению, жертвы, то различными исследованиями этого природного явления занимаются достаточно давно, вкладывая значительные интеллектуальные, технические и финансовые ресурсы.

Однако приходится, к сожалению, констатировать, что дальше детальных измерений различных параметров отдельных торнадо, сбора многочисленных статистических данных и попыток надежно прогнозировать появления очередных торнадо дело не идет. А главное — осмысление причин возникновения торнадо и определение природных источников энергии для их устойчивого функционирования практически остается на уровне гипотез, не подтвержденных ни экспериментами, ни надежным математическим моделированием.

Для того чтобы в рамках предложенного в книге [4] подхода математически смоделировать течения газа в придонной части торнадо, будет ис-

пользована так называемая шкала Фудзиты в виде таблицы [7, 9, 10].

Класс торнадо	Скорость ветра, м/с	Ширина следа, м	Средняя длина пути, км	Среднее время жизни, мин
F0	19–32	5–15	1,9	2,4
F1	33–50	16–50	4,2	5,2
F2	51–70	51–160	8,7	10,8
F3	71–92	161–508	16,1	20,0
F4	93–116	547–1448	43,8	54,4
F5	117–142	1609–4989	57,1	71,0

Анализ числовых данных скорости ветра свидетельствует о том, что разделение торнадо на различные классы проведено по значениям скоростей движения воздуха в окрестности вертикальной части торнадо. При этом построение таблицы при разделении на классы проведено почти с постоянным шагом изменения этого параметра.

Из таблицы видно, что ширина следа меняется непрерывно от скорости ветра (исключение — данные двух последних строк третьего столбца). Это может служить гипотезой о существовании функциональной зависимости между этими параметрами, причем нелинейной.

Если среднюю длину пути торнадо поделить на среднее время его жизни и умножить на 50/3 для перехода к другим единицам измерения, то получится таблица скоростей (измеряемых в м/с) движения по поверхности Земли торнадо, принадлежащих разным классам:

F0	F1	F2	F3	F4	F5
13,19	13,46	13,42	13,42	13,42	13,40

Поскольку получились практически одинаковые значения скоростей для торнадо, принадлежащих разным классам, можно сделать следующее предположение.

Скорость движения вертикальной части торнадо по поверхности

Земли и длина следа торнадо являются величинами, хорошо определяемыми по данным натурных наблюдений. Поэтому возможно, что среднее время жизни торнадо определено не по данным натурных наблюдений, а вычислено с использованием скорости его движения по поверхности Земли, практически одинаковой для торнадо разных классов, и длиной следа, оставляемого торнадо, принадлежащего разным классам.

Из этих рассуждений, да и вообще из здравого смысла следует, что последний столбец таблицы должен называться не «Время жизни» торнадо, а «Время разрушительного действия торнадо», результатом которого является в том числе и след, оставляемый основанием вертикальной части торнадо на поверхности Земли.

Достаточно очевидно, что идущая на разрушения кинетическая энергия движущегося в торнадо воздуха не появилась вдруг и вся сразу — нет натурных наблюдений, подтверждающих это. Следовательно, данная энергия накопилась с течением времени в результате каких-то объективно существующих процессов. Эта стадия существования торнадо — стадия накопления кинетической энергии движущегося в нем воздуха — остается, как правило, вне исследований. Именно об этом и говорит исходное название пятого столбца таблицы.

Предложенная в [4] схема возникновения восходящего закрученного потока и их устойчивого функционирования как раз и объясняет, что если восходящий над ровной поверхностью конвективный поток воздуха будет существовать достаточно долго, то вращение Земли через действие силы Кориолиса за это продолжительное время закрутит воздух в придонной части до очень больших значений скоростей.

Чтобы с помощью численных расчетов смоделировать процесс нестационарной закрутки газа в придонной части восходящего закрученного потока и тем самым определить

время выхода на стационарный режим и характер нарастания скорости движения газа в этих течениях, использована схема, описанная в [7, 10]. Чтобы увязать эти расчеты с данными натурных наблюдений различных торнадо, использованы данные из таблицы — шкалы Фудзито.

По полученным формулам были произведены расчеты газодинамических параметров и траекторий движения отдельных частиц газа для всей таблицы Фудзито и тропического циклона при следующих безразмерных значениях входных параметров: $\sin\Psi = 0,7071$, $\gamma = 1,4$, $r_{in} = 1$, $c(r_{in}) = 1$, $u(r_{in}) = -0,001$, $v(r_{in}) = 0$.

На рис. 1, 2 приведены отдельные траектории движения частицы газа соответственно при начальной высоте $z = 0$ для торнадо класса F5 и тропического циклона.

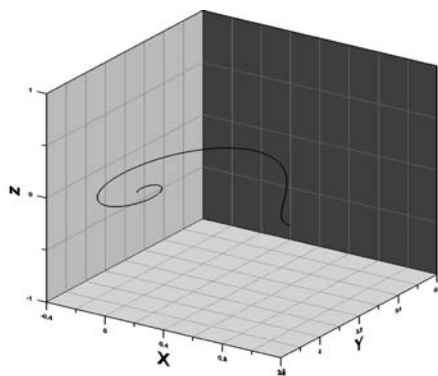


Рис. 1

Проведенные расчеты показали, при высоте $z > 0,01$ (соответствует высоте в 160 м) полученные приближе-

ния хуже передают реальную картину течения.

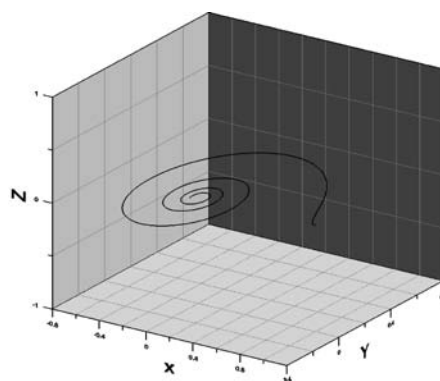


Рис. 2

Заключение

В работе развит метод построения трехмерных стационарных течений, моделирующих течение воздуха в придонных частях природных восходящих закрученных потоках, таких как торнадо и тропические циклоны. Проведено сравнение основных газодинамических характеристик воздушных потоков как в торнадо разных классов, так и в среднем тропическом циклоне, в том числе построены траектории движения отдельных частиц воздуха, имеющие локальные немонотонности по высоте. Однако воздушная масса в придонном течении до высоты 50–100 метров движется практически горизонтально.

Выражаю благодарность своему научному руководителю, профессору С.П. Баутину за внимание и поддержку.

Литература

1. Баутин С.П., Крутова И.Ю. Задача о плавном стоке в переменных r и t как характеристическая задача Коши стандартного вида//Вестник УрГУПС, 2011. № 1 (9). С. 4–13. ISSN 2070-0392.
2. Крутова И.Ю. Задача о движении газа в условиях действия сил тяжести и Кориолиса в окрестности непроницаемой горизонтальной плоскости//Вестник УрГУПС, 2012. № 1 (13). С. 14–21. ISSN 2070-0392.
3. Кочин Н.Е., Кибель И.А., Розе Н.В. Теоретическая гидромеханика. Ч. 1. М.: Физматгиз, 1963. 403 с.
4. Баутин С.П. Торнадо и сила Кориолиса. Новосибирск: Наука, 2008. 96 с. ISBN 978-5-02-023326-2.
5. Баутин С.П. Характеристическая задача Коши для квазилинейной аналитической системы//Дифференциальные уравнения, 1976. Т. 12, № 11. С. 2052–2063.

6. Баутин С.П. Характеристическая задача Коши и ее приложения в газовой динамике. Новосибирск: Наука, 2009. 368 с. ISBN 978-5-02-023204-4.
7. Баутин С.П., Обухов А.Г. Моделирование спиральных течений в придонной части восходящего закрученного потока. Екатеринбург: УрГУПС, 2011. 80 с.
8. Emanuel K.A. A statistical Analysis of Tropical Cyclone Intensity//Journ. of the Atmospheric Sciences, 2000. V. 128. P. 1139–1152.
9. Tatom F.B., Witton S.J. The transfer of energy from tornado into the ground//Seismological Research Letter, 2001. V. 72. № 1. P. 12–21.
10. Баутин С.П., Обухов А.Г. Математическое моделирование разрушительных атмосферных вихрей. Новосибирск : Наука, 2012. 152 с. ISBN 978-5-02-019072-6.

References

1. S.P. Bautin, I. Yu. Krutova. Zadacha o plovnom stoke v peremennykh r i t kak kharakteristicheskaya zadacha Koshi standartnogo vida [Problem of smooth runoff in variables r and t as a characteristic Cauchy problem of standard type]//Vestnik UrGUPS, 2011. № 1 (9). S. 4–13. ISSN 2070-0392.
2. I. Yu. Krutova. Zadacha o dvizhenii gaza v usloviyakh deystviya sil tyazhesty i Koriolisa v okrestnosti neproniцаемой gorizontальной ploskosti [Problem of gas flow under impact of forces of gravity and Coriolis in the neighbourhood of impervious horizontal plane]//Vestnik UrGUPS, 2012. No. 1 (13). S. 14–21. ISSN 2070-0392.
3. N. E. Kochin, I. A. Kibel, N. V. Rose. Teoreticheskaya gidromekhanika [Theoretical hydro-mechanics]. Ch. 1. M. : Fizmatgiz, 1963. 403 s.
4. S.P. Bautin. Tornado i sila Koriolisa [Tornado and Coriolis force]. Novosibirsk: Nauka, 2008. 96 s. ISBN 978-5-02-0233266-2.
5. S.P. Bautin. Kharakteristicheskaya zadacha Koshi dlya kvazilineynoy analiticheskoy sistemy [Characteristic Cauchy problem for quasilinear analytical system]//Differentsialnye uravneniya, 1976. T. 12, № 11. S. 2052–2063.
6. S.P. Bautin. Kharakteristicheskaya zadacha Koshi i ee prilozheniya v gazovoy dinamike [Characteristic Cauchy problem and its applications in gas dynamics]. Novosibirsk : Nauka, 2009. 368 s. ISBN 978-5-02-023204-4.
7. S.P. Bautin, A. G. Obukhov. Modelirovaniye spiralnykh techeniy v pridonnoy chasti voskhodyaschego zakruchennogo potoka [Modelling spiral currents in the bottom part of upward swirling flow]. Ekaterinburg : UrGUPS, 2011. 80 s.
8. Emanuel K.A., A statistical Analysis of Tropical Cyclone Intensity//Journ. of the Atmospheric Sciences, 2000. V. 128. P. 1139–1152.
9. Tatom F.B., Witton S.J. The transfer of energy from tornado into the ground//Seismological Research Letter, 2001. V. 72. № 1. P. 12–21.
10. S.P. Bautin, A. G. Obukhov. Matematicheskoye modelirovaniye razrushitelnykh atmosferynykh vikhrey [Mathematical modelling of destructive atmospheric vortexes]. Novosibirsk: Nauka, 2012. 152 s. ISBN 978-5-02-019072-6.

Статья сдана в редакцию 20 июля 2012 года

УПРАВЛЕНИЕ В ТЕХНИЧЕСКИХ СИСТЕМАХ

УДК 62.503.51, 62.503.54, 62.503.55

С. Г. Герман-Галкин

Исследование электромагнитных и энергетических свойств машины двойного питания

UDC 62.503.51, 62.503.54, 62.503.55

S. G. German-Galkin

Studying electromagnetic and energetic properties of a double-current machine

Аннотация

Машиной двойного питания в отечественной и зарубежной литературе называют асинхронную машину с фазным ротором. В роторную цепь такой машины включен полностью управляемый активный преобразователь. Полностью управляемый активный преобразователь позволяет управлять потоками активной и реактивной мощности как в асинхронной машине, так и в питающей сети переменного тока. Принципиальная целесообразность использования МДП наблюдается при построении двигательных и генераторных установок с переменной скоростью вращения механического вала. К таким установкам относятся валогенераторы различных транспортных установок, ветроэлектрические установки и малые гидростанции. Перспективным является также применение МДП в нагрузочных установках для испытания дизельных двигателей и двигателей внутреннего сгорания. Несмотря на значительное количество работ, свойства МДП еще до конца не изучены. Статья посвящена исследованию электромагнитных и энергетических характеристик МДП в различных режимах работы.

Ключевые слова:

машина двойного питания, активный полупроводниковый преобразователь, электромагнитные и энергетические характеристики.

Abstract

A double-current machine in Russian and foreign literature means an asynchronous machine with a phase-wound rotor. The rotor circuit of such machines includes a fully controlled active transducer. The fully controlled active transducer allows controlling active and reactive power flows both in the asynchronous machine and in the AC supply mains. Conceptual practicality of DCM use is observed when making propulsion and generating sets with variable rotation speed of the mechanical shaft. Such sets include shaft generators of various transport plants, wind-electric sets and small hydraulic plants. Also promising is the DCM use in loading sets for diesel engine and internal combustion engine testing. Despite the significant number of papers, DCM properties have not yet been studied in full. The article studies electromagnetic and energetic properties of DCM in various operating modes.

Key words:

double-current machine, active semiconductor transducer, electromagnetic and energetic properties.

Сергей Германович Герман-Галкин, д-р тех. наук, профессор; Институт инженеров по электротехнике и автоматике Морского университета. Щецин, Польша. E-mail: ggsg@yandex.ru.
Sergey German-Galkin, DSc in Engineering, Professor, Institute of Electrical Engineering and Automation. Maritime University. Szczecin, Poland. E-mail: ggsg@yandex.ru.

1. Введение

Начало современным работам в области теории и принципов построения систем с машиной двойного питания (МДП) было положено исследованиями, проведенными в конце 60-х — начале 70-х годов прошлого века лабораторией машин двойного питания ВНИИЭ под руководством докторов техн. наук М.М. Ботвинника и Ю.Г. Шакаряна [1].

Разработка вопросов теории и инженерная отработка принципов построения таких систем проводились во ВНИИЭМ, НИИХЭМЗ, ВНИИ-электропривод, Гипроуглеавтоматизация, МЭИ и другими научными коллективами.

В результате разработаны основы теории, структурных схем, принципов построения, создан также ряд опытных и промышленных установок, позволивших провести инженерную отработку и эксплуатационную проверку систем с МДП.

Важнейшая часть рассматриваемых систем — полупроводниковый преобразователь, включаемый в роторную цепь асинхронной машины с фазным ротором. Этот преобразователь служит импульсным элементом с дискретно изменяющимися параметрами, при исследовании которого используются основные положения теории вентильных систем, предложенные А.А. Булгаковым [2, 3]. Разработка общей теории вентильных каскадов предполагает применение основной идеи метода А.А. Булгакова — выделение непрерывной полезной составляющей тока и напряжения и их использование для анализа установившихся и переходных процессов в системе.

В машинах двойного питания энергия от питающей сети подводится (или отводится) и к статорным, и к роторным обмоткам. Статорные обмотки подключаются к питающей сети непосредственно, а роторные — через регулируемый активный полупроводниковый преобразователь (АПП). В качестве АПП используют-

ся два транзисторных инвертора, объединенных звеном постоянного тока с емкостным фильтром (рис. 1). Такие структуры позволяют управлять потоком активной и реактивной мощности машины двойного питания.

Принципиальная целесообразность использования МДП наблюдается при построении генераторных установок с переменной скоростью вращения механического вала [5, 6, 9–11]. К таким установкам относятся валогенераторы различных транспортных систем, ветроэлектрические установки и малые гидростанции. Перспективно также применение МДП в нагрузочных установках для испытания дизельных двигателей и двигателей внутреннего сгорания [9–11]. Несмотря на значительное количество работ, свойства МДП еще до конца не изучены. Изучение свойств МДП ее электромагнитных и энергетических характеристик чрезвычайно важно для построения энергетически эффективных транспортных систем. Особенностью этих систем является длительная работа как в двигательном, так и в генераторном режиме с рекуперацией энергии в сеть в широком диапазоне изменения скорости вращения.

2. Состав машины двойного питания

Машина двойного питания состоит из асинхронной машины с фазным ротором (АФ, рис. 1). Статорные обмотки машины подключаются непосредственно к сети ($U_1 = \text{const}$, $f_1 = \text{const}$), а роторные — через два активных преобразователя, объединенных звеном постоянного тока с емкостным фильтром. Активным преобразователем является трехфазная мостовая схема, выполненная на транзисторах. Основное свойство активного преобразователя — способность к двусторонней передаче активной мощности. При передаче мощности со стороны переменного тока АП выполняет роль активно-управляемого выпрямителя (АВ). При передаче мощности со стороны

звена постоянного тока АП выполняет роль автономного инвертора (АИ). Такие структуры позволяют управлять потоком активной и реактивной мощности между питающей сетью и МДП.

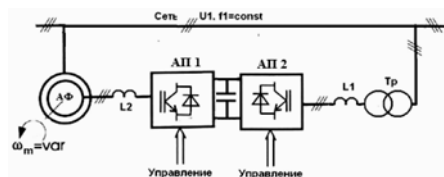


Рис. 1. Функциональная схема МДП¹

Управление АП осуществляется в замкнутой системе регулирования. При этом АП2 управляется так, чтобы напряжение в звене постоянного тока оставалось постоянным.

Основные преимущества МДП состоят в следующем:

- управление производится по цепи ротора, за счет этого мощность управления, равная мощности скольжения, значительно (при малых скольжениях) меньше мощности в сети (статоре машины). Этим обусловлена высокая энергоэффективность системы на скоростях, близких к синхронной скорости;

МДП может работать на скоростях выше и ниже синхронной как в двигательном режиме, так и в генераторном. Поэтому при использовании МДП в качестве генератора не возникает сложностей со стабилизацией параметров генерируемого напряжения при изменении скорости вращения вала.

3. Режимы работы, векторные и энергетические диаграммы машины двойного питания

Ниже подробно рассмотрены все режимы работы МДП:

- двигательный (при скорости ниже синхронной (подсинхронной)),

- двигательный (при скорости выше синхронной (надсинхронной)),

- генераторный (при скорости ниже синхронной),

- генераторный (при скорости выше синхронной).

Во всех режимах система уравнений, описывающая электромагнитные процессы машины в установившемся режиме с использованием метода результирующего вектора [6], имеет вид

$$\begin{aligned}\bar{U}_1 &= R_s \bar{I}_1 + jX_{ls} \bar{I}_1 + \bar{E}_1, \\ \frac{\bar{U}_2}{s} &= \frac{R_r}{s} \bar{I}_2 + jX_{lr} \bar{I}_2 + \bar{E}_2, \\ \bar{I}_m &= \bar{I}_1 + \bar{I}_2,\end{aligned}\quad (1)$$

где \bar{U}_1 — напряжение в сети; $\bar{I}_1, \bar{E}_1 = j\omega_1 \bar{\Psi}_m = jX_m \bar{I}_m$ — ток и ЭДС в обмотке статора; $\bar{U}_2, \bar{I}_2, \bar{E}_2 = j\omega_2 \bar{\Psi}_m = jX_m \bar{I}_m$ — приведенные напряжение, ток и ЭДС в обмотке ротора; \bar{I}_m — ток намагничивания; $R_s, X_{ls} = \omega_1 L_{ls}$ — активное и индуктивное сопротивление рассеяния статора; $R_r, X_{lr} = \omega_1 L_{lr}$ — приведенные активное и индуктивное сопротивление рассеяния ротора; $X_m = \omega_1 L_m$ — индуктивное сопротивление ветви намагничивания; s — скольжение.

Схема замещения МДП, составленная по уравнению (1), приведена на рис. 2, а.

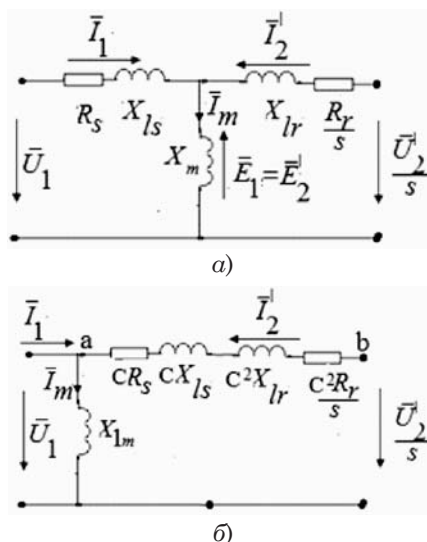


Рис. 2. Схемы замещения МДП

¹ Здесь и далее качество иллюстраций соответствует качеству предоставленных оригиналов.

Автономный инвертор представляется преобразователем, первая гармоника результирующего вектора напряжения на выходе которого равна [7]

$$\begin{aligned}\bar{U}_2^1 &= \frac{m}{2} U_d \exp(j\delta) = \\ &= \frac{m}{2} U_d (\cos \delta + j \sin \delta),\end{aligned}\quad (2)$$

где m — коэффициент модуляции; δ — фаза напряжения \bar{U}_2^1 по отношению к напряжению \bar{U}_1 сети.

Для качественной оценки свойств МДП предварительно рассмотрим векторные и энергетические диаграммы. Для этого преобразуем Т-образную схему замещения МДП в Г-образную схему замещения [4], представленную на рис. 2, б. Для Г-образной схемы замещения значение коэффициента C определяется из уравнения $C = 1 + \frac{X_{ls}}{X_m}$ и для

асинхронных машин мощностью 10 кВт и выше $C = 1$ [4].

Математическое описание Г-образной схемы замещения:

$$\begin{aligned}\bar{U}_2^1 &= \bar{U}_1 + R_2 \bar{I}_2^1 + jX_2 \bar{I}_2^1, \\ \bar{U}_1 &= jX_{1m} \bar{I}_m, \quad \bar{I}_m = \bar{I}_1 + \bar{I}_2^1,\end{aligned}\quad (3)$$

где $R_2 = R_s C + \frac{R_r}{s} C_2 \approx R_s + \frac{R_r}{s}$, $X_2 = X_{ls} C + X_{lr} C_2 = X_{ls} + X_{lr}$, $X_{1m} = X_{ls} + X_m$ — активные и индуктивные сопротивления Г-образной схемы замещения.

При оценке энергетических свойств МДП следует учитывать, что:

а) активная мощность в источнике положительна, когда источник отдает энергию, и отрицательна, когда источник потребляет энергию;

б) реактивная мощность в источнике положительна (индуктивная), когда напряжение опережает ток, и отрицательна (емкостная), когда напряжение отстает от тока;

в) механическая мощность на валу положительна в двигательном режиме работы МДП и отрицательна — в генераторном режиме работы МДП.

Активная и реактивная мощности в источниках \bar{U}_1 и \bar{U}_2^1 определяются из выражений

$$\begin{aligned}P_1 &= \frac{3}{2} U_1 I_1 \cos \varphi_1, \\ P_2 &= \frac{3}{2} U_2^1 I_2^1 \cos \varphi_2 - P_m, \\ Q_1 &= \frac{3}{2} U_1 I_1 \sin \varphi_1, \\ Q_2 &= \frac{3}{2} U_2^1 I_2^1 \sin \varphi_2,\end{aligned}\quad (4)$$

где φ_1 — угол между векторами \bar{I}_1 и \bar{U}_1 ; φ_2 — угол между векторами \bar{I}_2^1 и \bar{U}_2^1 ; $P_m = T_e \omega_m$ — механическая мощность на валу машины.

Все режимы работы МДП разделим по направлению потока механической энергии вала на две группы: двигательные и генераторные.

К первой подгруппе отнесем двигательные режимы, при которых скорость ротора ниже синхронной ($n < n_0$). Векторные и энергетические для этого режима построены на рис. 3.

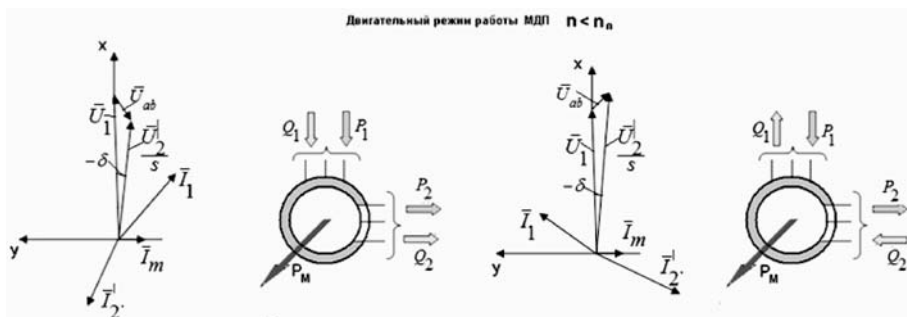


Рис. 3. Векторные и энергетические диаграммы МДП в двигательном режиме работы при $n < n_0$

В этом режиме активная мощность, потребляемая машиной из сети, за исключением потерь в статоре, передается ротору как механическая мощность и частично возвращается (рекуперировать) в сеть через цепь ротора и полупроводниковый преобразователь. В этом режиме асинхронный двигатель потребляет из сети энергии больше, чем необходимо для совершения полезной работы, а остаток, за исключением потерь, возвращает в сеть. Благодаря указанному свойству коэффициент полезного действия МДП существенно не снижается при работе с пониженными скоростями вращения.

В двигательном режиме при скорости выше синхронной ($n < n_0$) активная мощность, потребляемая машиной как по цепи статора, так и по цепи ротора. Сумма этих мощностей, за ис-

ключением потерь, передается ротору как механическая мощность. На рис. 4 представлены векторные и энергетические диаграммы МДП, работающей в двигательном режиме, для этого режима. В надсинхронном режиме работы скольжение отрицательно и вектор $\frac{\bar{U}_2'}{s}$ направлен в противоположную сторону относительно вектора \bar{U}_1 .

Аналогичные диаграммы для генераторного режима работы машины приведены на рис. 5 и 6.

Генераторные режимы работы при скорости ниже синхронной (рис. 5), так же, как и двигательные режимы при скорости выше синхронной, необычны для асинхронной машины режимами работы.

Механическая мощность, сообщаемая валу машины при ($n < n_0$),

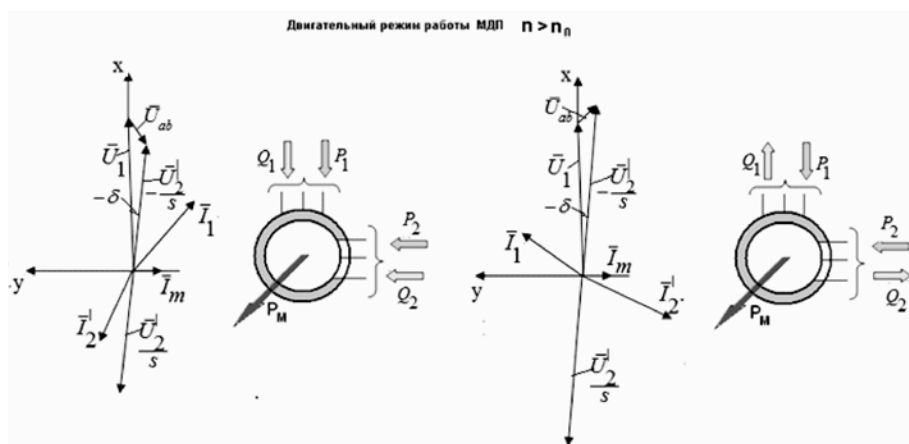


Рис. 4. Векторные и энергетические диаграммы МДП в двигательном режиме работы при $n > n_0$

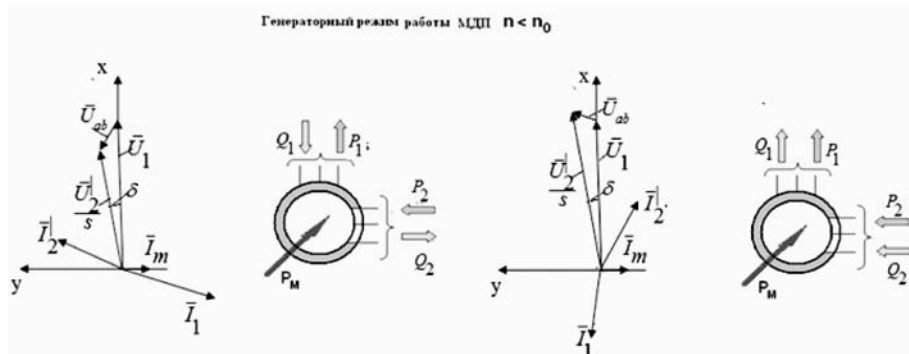
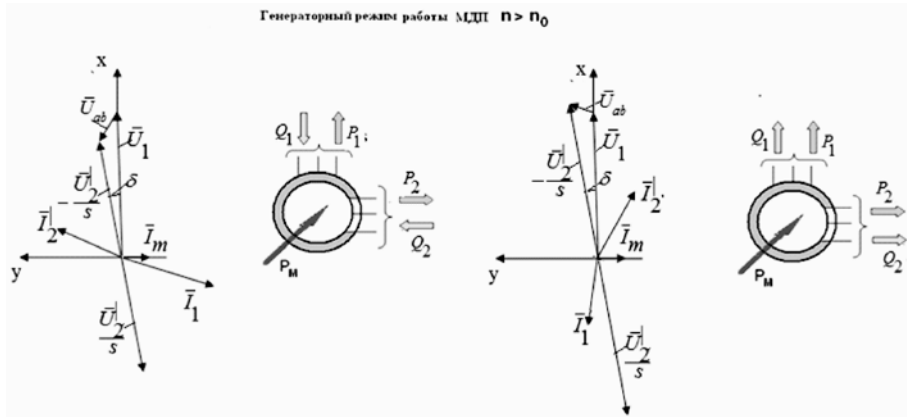


Рис. 5. Векторные и энергетические диаграммы МДП в генераторном режиме работы при $n < n_0$


 Рис. 6. Векторные и энергетические диаграммы АД в генераторном режиме работы при $n < n_0$

и электрическая мощность, получаемая ротором через полупроводниковый преобразователь, передаются статору и за вычетом потерь рекупируются в сеть. Подвод электрической энергии со стороны ротора необходим для того, чтобы дополнить количество энергии, сообщаемой ротору механически до необходимого уровня электромагнитной мощности в зазоре, пропорциональной моменту и синхронной скорости поля статора.

Энергетические диаграммы генераторного режима работы АД при ($n < n_0$) представлены на рис. 6. В этом режиме механическая мощность, поступающая на вал со стороны ротора, преобразуется в электрическую. Часть этой мощности, пропорциональная разности угловых скоростей ротора и электромагнитного поля статора, отдается в сеть со стороны ротора. Другая часть, пропорциональная синхронной скорости поля статора, отдается в статорную цепь в виде электромагнитной мощности и за вычетом потерь рекупируется в сеть.

Анализ векторных и энергетических диаграмм показывает, что основной режим работы АД (двигательный или генераторный) зависит от знака угла сдвига δ между напряжением \bar{U}_1 и \bar{U}_2 . При $\delta < 0$ АД работает в двигательном режиме, при $\delta > 0$ — в генераторном. Баланс ак-

тивных мощностей в АД зависит от режима работы и может быть сведен в таблицу 1.

Таблица 1

Режим	Двигательный режим АД	Генераторный режим АД
$s > 0$	$P_1 = -P_2 + P_m + \Delta P$	$P_2 + P_m = -P_1 + \Delta P$
$s < 0$	$P_1 + P_2 = P_m + \Delta P$	$P_m = -P_1 - P_2 + \Delta P$

Обмотка ротора АД запитывается от инвертора, на выходе которого изменяется величина напряжения, фаза этого напряжения по отношению к напряжению сети и частота этого напряжения $\omega_2 = \omega_1 - p\omega_m$. Законы частотного регулирования по ротору аналогичны законам частотного регулирования асинхронной машины по цепи статора, то есть требуется поддержание определенного соотношения между ω_2 и U_2^l . В дальнейшем рассматриваются свойства АД для простейшего закона частотного регулирования, когда

$$\frac{U_2^l}{s} = \frac{\omega_1 U_2^l}{\omega_2} = U_{2m} = \text{const.}$$

Знак реактивной мощности в статорной цепи АД зависит от соотношения напряжений U_1, U_{2m} . Когда величина напряжения U_1 превышает значение U_{2m} , реактивная мощность, потребляемая машиной из сети, положительна (индуктивная). Если U_{2m}

превышает напряжение U_1 , то реактивная мощность, потребляемая из сети, отрицательна (емкостная).

4. Математический анализ машины двойного питания

Для количественной оценки свойств МДП следует решить систему уравнений (1), (2). Это решение осуществляется во вращающейся системе координат x (вещественная ось), y (мнимая ось). При этом напряжение \bar{U}_1 совмещается с вещественной осью x , а для вторичного напряжения задаются отношение $U_{2m} = \frac{\omega_1 U_2^1}{\omega_2}$

и фаза δ . Важно подчеркнуть, что при совмещении вещественной оси с вектором напряжения вещественная составляющая тока является активным током статора, а мнимая составляющая — реактивным током статора. Токи статора и ротора определяются из решения уравнений (1):

$$\bar{I}_1 = \frac{\bar{U}_1 \left(\frac{R_r}{s} + jX_s \right) - j \frac{\bar{U}_2^1}{s} X_m}{(R_s + jX_s) \left(\frac{R_r}{s} + jX_s \right) - X_m^2}; \quad (5)$$

$$\bar{I}_2 = \frac{\frac{\bar{U}_2^1}{s} (R_s + jX_s) - j \bar{U}_1 X_m}{(R_s + jX_s) \left(\frac{R_r}{s} + jX_s \right) - X_m^2}. \quad (6)$$

Полный ток статора и ротора рассчитывается по выражениям:

$$I_1 = \sqrt{I_{1x}^2 + I_{1y}^2}, \quad I_2^1 = \sqrt{I_{2x}^2 + I_{2y}^2}. \quad (7)$$

Для оценки свойств асинхронной машины используется механическая характеристика (зависимость электромагнитного момента T_e от скольжения). Электромагнитный момент АКЗ определяется из уравнения [8]:

$$\begin{aligned} T_e &= \frac{3}{2} p L_m (\bar{I}_2 \cdot \bar{I}_1) = \\ &= \frac{3}{2} p L_m (I_{2x} I_{1y} - I_{2y} I_{1x}). \end{aligned} \quad (8)$$

Энергетические свойства МДП определяются после расчета токов

из уравнений (1), (2) в соответствии с нижеприведенными выражениями:

$$\begin{aligned} P_1 &= 1,5 \cdot U_1 \cdot I_{x1}, \quad Q_1 = -1,5 \cdot U_1 \cdot I_{y1} \\ Q_2 &= 1,5 \cdot (U_{y2} I_{x2} - U_{x2} I_{y2}), \\ P_m &= T_e \omega_m = T_e \frac{(1-s)\omega_1}{p}, \\ P_2 &= 1,5 \cdot (U_{x2} I_{x2} + U_{y2} I_{y2}) - P_m. \end{aligned} \quad (9)$$

Электромагнитные потери в МДП рассчитываются по выражению:

$$\Delta P = I_1^2 R_s + (I_2^1)^2 R_r. \quad (10)$$

Мощность в цепи ротора P_2 вычисляется в зависимости от режима работы по выражениям таблицы 1.

Дальнейшее исследование осуществлено для МДП, в которой асинхронная машина 215 HP (160 kW), 400 V, 50Hz, 1487 RPM имеет следующие параметры:

$$\begin{aligned} R_s &= 13,79 \cdot 10^{-3} \Omega, L_{ls} = \\ &= 0,152 \cdot 10^{-3} \text{ H}, R_r = \\ &= 7,728 \cdot 10^{-3} \Omega, \\ L_{lr} &= 0,152 \cdot 10^{-3} \text{ H}, L_m = \\ &= 7,69 \cdot 10^{-3} \text{ H}. \end{aligned}$$

Все переменные МДП рассчитываются и строятся в относительных (безразмерных) величинах (pu-per units), которые определяются делением рассчитанных переменных на базовые значения. Для машины с представленными выше параметрами базовые значения переменных рассчитываются по формулам и равны

$$\begin{aligned} P_b &= 160 \text{ kVA}, \quad U_b = 400 \text{ V}, \\ Z_b &= \frac{U_b^2}{P_b} = 1,0 \text{ Ohm}, \\ I_b &= \frac{U_b}{\sqrt{3} Z_b} = 231,2 \text{ A}, \\ \omega_b &= 2\pi f_n = 314 \text{ 1/s}, \\ T_b &= \frac{\sqrt{3} p U_n I_b}{\omega_b} = 1019 \text{ Nm}. \end{aligned}$$

Предварительно оценим свойства рассматриваемой асинхронной машины без управления, когда $U_2 = 0$.

Зависимость активного и реактивного токов статора, а также электромагнитного момента от скольжения для этого случая показана на рис. 7.

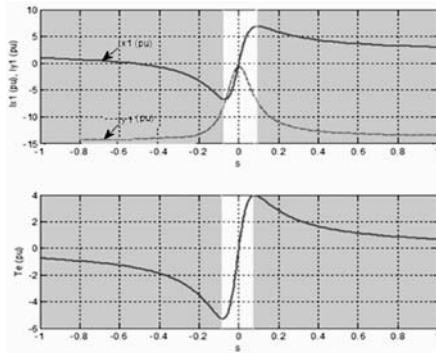


Рис. 7. Естественные характеристики асинхронной машины с короткозамкнутым ротором

Заметим, что активный ток I_{x1} в измененном масштабе есть активная мощность в сети, а реактивный ток I_{y1} — реактивная мощность в сети с обратным знаком. Характеристики (рис. 7) соответствуют естественным характеристикам асинхронной короткозамкнутой машины (АКЗ). Оценивая свойства АКЗ, можно сделать следующие выводы:

зона устойчивой работы, где $\frac{\Delta T_e}{\Delta s} > 0$, находится в диапазоне изменения скольжения приблизительно от $-0,08$ до $+0,08$;

область допустимой работы по току, моменту и мощности находится в диапазоне изменения скольжения приблизительно от $-0,008$ до $+0,008$.

Результаты исследования МДП приведены на рис. 8–12.

На рис. 8 и 9 приведены зависимости активных и реактивных токов в сети (статоре машины) и электромагнитного момента от скольжения в двигательном режиме работы МДП при изменении скольжения в диапазоне от -1 до $+1$. Электромагнитные процессы, показанные на рис. 8, соответствуют случаю, когда имеет место соотношение $U_{2m} \leq U_1$. Электромагнитные процессы, показан-

ные на рис. 9, соответствуют случаю при $U_{2m} > U_1$.

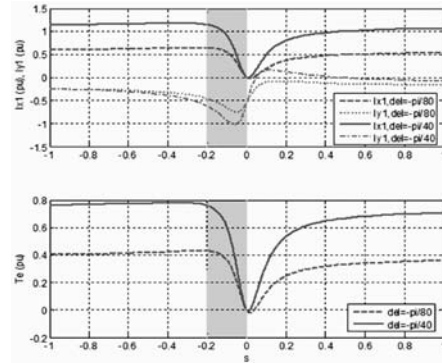


Рис. 8. Двигательный режим работы МДП;
 $U_{2m} \leq U_1$

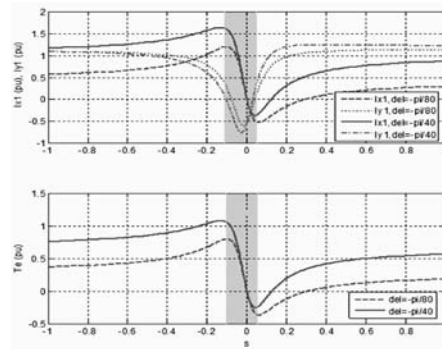


Рис. 9. Двигательный режим работы МДП;
 $U_{2m} > U_1$

Характеристики рассчитывались для двух значений $\delta = -\pi/80$ и $\delta = -\pi/40$.

Оценивая свойства МДП в двигательном режиме, можно сделать следующие выводы:

область неустойчивой работы (заштрихованные области на рис. 8, 9), находится в зоне малых скольжений;

область допустимой работы по току, моменту и мощности находится в диапазоне изменения скольжения от -1 до $+1$;

при $U_{2m} \leq U_1$ (рис. 8) в диапазоне изменения скольжения от 0 до $+1$ реактивная мощность, потребляемая из сети по цепи статора, практически равна нулю, а при $U_{2m} > U_1$ (рис. 9) реактивная мощность, пот-

ребляемая из сети по цепи статора, отрицательна (емкостная);

при значительных скольжениях МДП представляет собой источник момента, поэтому при построении электропривода необходимо использовать внешний скоростной контур.

В генераторном режиме характеристики рассчитывались для двух значений: $\delta = \pi / 80$ и $\delta = \pi / 40$.

Оценивая свойства МДП в генераторном режиме работы в области устойчивой работы, можно сделать следующие выводы:

при $U_{2m} \leq U_1$ (рис. 10) реактивная мощность, потребляемая из сети по цепи статора, положительная (индуктивная);

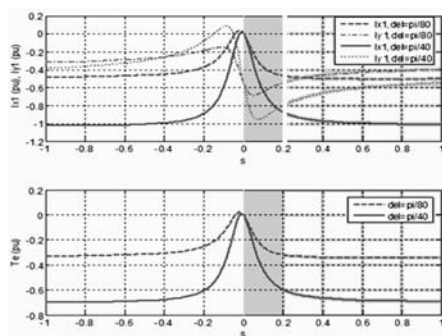


Рис. 10. Генераторный режим работы МДП;
 $U_2 \leq U_1$

при $U_{2m} > U_1$ (рис. 11) реактивная мощность, потребляемая из сети

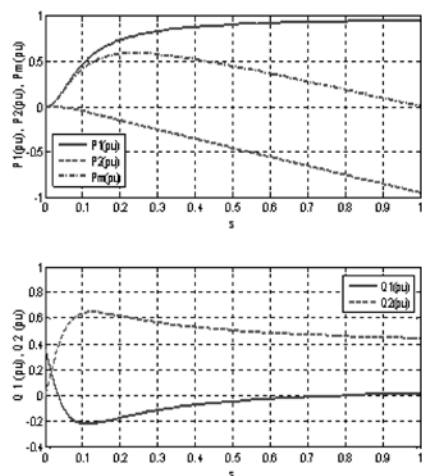


Рис. 12. Энергетические характеристики МДП

по цепи статора, отрицательная (емкостная);

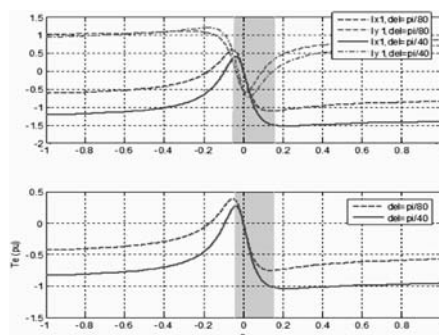
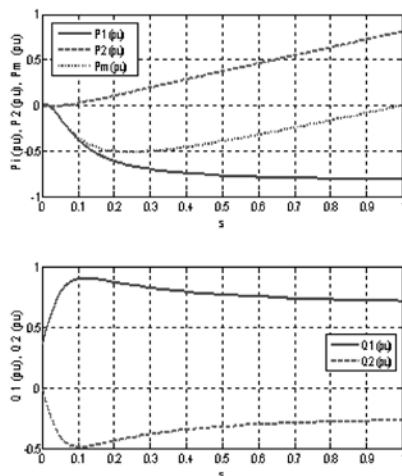


Рис. 11. Генераторный режим работы МДП
при $U_2 > U_1$

при значительных скольжениях МДП представляет собой источник момента; это свойство чрезвычайно полезно при выполнении МДП функции генератора и нагрузочного устройства, когда скорость вала изменяется в широких пределах.

Особенности свойств МДП проявляются при больших скольжениях. В отличие от АКЗ, в которой устойчивая работа имеет место при малых скольжениях, МДП при малых скольжениях работает неустойчиво. Этих режимов работы при проектировании электропривода или генераторной установки следует избегать.

При проектировании системы в каждом конкретном случае необ-



ходимо уточнять свойства МДП и конкретные условия работы.

Далее рассмотрен конкретный пример исследования энергетических свойств МДП в двигательном и генераторном режимах работы в диапазоне скольжений $0 \rightarrow +1$, что обеспечивает диапазон изменения скорости вала от нуля до синхронной.

На рис. 12 приведены результаты расчета активных и реактивных мощностей МДП, работающей в двигательном режиме при $\delta = -p\dot{i}/30$ (рис. 12, а) и генераторном режиме при $\delta = p\dot{i}/30$ (рис. 12, б) и при $U_{2m} = 300\text{ В}$.

В МДП обмен активной мощностью происходит между питающей сетью и механическим валом. При этом активный преобразователь АП2 поддерживает заданное напряжение в звене постоянного тока, автоматически переходя из режима активного выпрямителя в режим сетевого инвертора.

Из рис. 12 следует, что во всем диапазоне изменения скольжения в двигательном режиме работы МДП «лишняя» активная мощность, потребляемая из сети статорной цепью, возвращается в ту же сеть по цепи ротора (рис. 12, а). В генераторном режиме работы МДП при $0 < s < 1$ «недостающая» активная мощность потребляется из сети по цепи ротора и отдается в сеть по цепи статора.

Реактивной мощностью в цепи ротора асинхронная машина обменивается с конденсатором, включенным в звено постоянного тока, посредством АП1 (см. рис. 1). При этом АП2 мо-

жет управляться так, чтобы, поддерживая необходимый баланс активных мощностей, потреблять из сети реактивную мощность любой величины и любого знака. Анализ всех возможных вариантов управления МДП еще предстоит изучить, но предвзительно можно утверждать, что реактивную мощность в цепи статора можно при необходимости скомпенсировать (или управлять) посредством АП2 по цепи ротора.

При построении транспортных систем на базе МДП не возникает проблем рекуперации механической энергии в сеть переменного тока при торможении. Для перехода из двигательного режима в режим торможения с рекуперацией энергии в сеть достаточно изменить только угол управления δ с отрицательного на положительный.

При этом мощность преобразования значительно меньше мощности, которая преобразуется в известных системах при разгоне и торможении [12].

Представленный анализ энергетических свойств мехатронной системы с МДП является основой для разработки модели системы и последующего модельного эксперимента. Правильность разработанной модели проверяется по совпадению результатов моделирования с результатами теоретического анализа. Если это совпадение состоялось, то в дальнейшем модель может быть использована для решения более широкого круга задач, необходимых инженеру-проектировщику.

Литература

1. Ботвинник М.М., Шакарян Ю.Г. Управляемая машина переменного тока. М. : Наука, 1969.
2. Булгаков А.А. Основы динамики управляемых вентильных систем. М. : Изд-во АН СССР, 1963.
3. Булгаков А.А. Новая теория управляемых выпрямителей. М. : Наука, 1970.
4. Кулик Ю.А. Электрические машины. М. : Высшая школа, 1966.
5. Онищенко Г.Б., Локтева И.Л. Асинхронные вентильные каскады и двигатели двойного питания. М. : Энергия, 1979.
6. Плесков В.И., Хватов С.В., Дерюжкова Н.Е., Сахаров В.Л. Исследование асинхронного реверсивного привода с частотным управлением со стороны ротора//Труды Горьковского политехнического института, 1969. № 15. С. 18–20.

7. Розанов Ю. К. Силовая электроника. М. : Изд. дом МЭИ. 2007.
8. Системы подчиненного регулирования электропривода переменного тока с вентильными преобразователями/О. В. Слежановский, Л. Х. Дацковский, И. С. Кузнецов, Е. Д. Лебедев, Л. М. Тарасенко/М. : Энергоатомиздат, 1983.
9. Хватов С. В., Титов В. Г., Поскобко А. А. Асинхронно-вентильные нагружающие устройства. М. : Энергоиздат, 1986.
10. Хватов С. В. Электрооборудование промышленных установок//Труды Нижегородского государственного технического университета, 2002.
11. Хватов С. В., Титов В. Г. К вопросу о повышении коэффициента мощности асинхронного вентильного каскада//Труды Горьковского политехнического института, № 15, 1969, т. 25, С. 92–95.
12. German-Galkin S. Model study of the secondary electric power source of a semiconductor drive with energy recovery in the network//Вестник УГUPS, № 4 (8), 2010. ISSN 2079-0392.

References

1. M. M. Botvinnik, Yu. G. Shakaryan. Upravlyаемая mashina peremennogo toka [Controlled AC machine]. M. : Nauka, 1969.
2. A. A. Bulgakov. Osnovy dinamiki upravlyaemykh ventilnykh sistem [Basics of dynamics of controlled gate systems]. M. : Izd-vo AN SSSR, 1963.
3. A. A. Bulgakov. Novaya teoriya upravlyaemykh vypryamiteley [A new theory of controlled rectifiers]. M. : Nauka, 1970.
4. Yu. A. Kulik. Elektricheskiye mashiny [Electrical machines]. M.: Vysshaya shkola, 1996.
5. G. B. Onischenko, I. L. Lokteva. Asinkhronnye ventilnye kaskady i dvigateli dvoynogo pitaniya [Wound-rotor slip recovery systems and double-fed motors]. M. : Energiya, 1979.
6. V. I. Pleskov, S. V. Khvatov, N. E. Deryuzhkova, V. L. Sakharov. Issledovaniye asinkhronnogo reversivnogo privoda s chastotnym upravleniyem so storony rotora [Studying asynchronous reverse drive with variable frequency control on the rotor side]//Trudy Gorkovskogo politekhnicheskogo instituta, 1969. № 15. S. 18–20.
7. Yu. K. Rozanov. Silovaya elektronika [Power electronics]. M. : Izd. dom MEI. 2007.
8. Sistemy podchinennogo regulirovaniya elektroprivoda peremennogo toka s ventilyami preobrazovatelyami [Systems of subordinate control of AC drive with gate inverters]/O. V. Sle-zhanovsky, L. H. Datskovsky, I. S. Kuznetsov, E. D. Lebedev, L. M. Tarasenko/M. : Ener-goatomizdat, 1983.
9. S. V. Khvatov, V. G. Titov, A. A. Poskobko. Asinkhronno-ventilnye nagruzhayushchiye ustroystva [Asynchronous-gate loading devices]. M. : Energoizdat, 1986.
10. S. V. Khvatov. Elektrooborudovaniye promyshlennykh ustanovok [Electric equipment of industrial plants]//Trudy Nizhegorodskogo gosudarstvennogo tekhnicheskogo universiteta, 2002.
11. S. V. Khvatov, V. G. Titov. K voprosu o povyshenii koeffitsienta moschnosti asinkhronno-ventilnogo kaskada [Concerning the increase of power coefficient of a wound-rotor slip recovery system]//Trudy Gorkovskogo politekhnicheskogo instituta, № 15, 1969, t. 25, S. 92–95.
12. German-Galkin S. Model study of the secondary electric power source of a semiconductor drive with energy recovery in the network//Vestnik UrGUPS, № 4 (8), 2010. ISSN 2079-0392.

Статья сдана в редакцию 16 июля 2012 года

Л. Шихта

Влияние системы управления насосной станцией на водопроводную сеть в пределах наибольшей эффективности

UDC 62–531.32

L. Szycha

Influence of the range of highest efficiencies control system of pump station on water plant

Аннотация

В статье проведен анализ воздействия системы управления в пределах наибольшей эффективности PNS насосной станции на изменения давления в водопроводной сети. Исследование проводилось с помощью имитационной программы Applied Flow Technology Impulse. В программе использованы дифференциальные уравнения движения и непрерывности течения. В исследованиях принята водопроводная сеть с мембранным баком и без него. Насосная станция состоит из одного или трех насосов. Результаты расчетов представлены в виде изменений давлений и течений на выходе насосной станции и в выпускном отверстии.

Ключевые слова:

система управления, насосная водопроводная станция, гидравлические удары.

Abstract

The effect of PNS pump station control system on pressure variation in a water supply system is analyzed in the range of highest efficiencies. Simulation software, Applied Flow Technology Impulse, is utilized. Motion and flow continuity differential equations are used in the software. A water supply system with and without a membrane vessel are assumed. The pump station consists of one or three pumps. Calculation results are presented in the form of pressure and flow variations at the input and at the outflow of the pump station.

Key words:

control system, pump station, water hammers.

Введение

Непрерывный рост населения приводит к тому, что доставка воды к местам жительства и предприятиям приобретает особое значение; необходимо экономное и безаварийное перекачивание воды.

Водопроводная система надежна, если она при заданных условиях окружающей среды, в определенном интервале времени работает безупречно. Надежность системы снижает возможность возникновения явлений, которые могут привести к ограничению либо временной остановке ее действия. Повреждения имеют стохастический характер и могут быть непредсказуемыми [4, 9, 11]. Системы снабжения водой отличаются высокой степенью сложности, при этом они постоянно совершенствуются (подвергаются непрерывной модернизации), что приводит к серьезным затруднениям при оценке степени надежности их работы [14].

Лешек Шихта, д-р техн. наук, профессор; факультет транспорта и электротехники технологического и гуманитарного университета им. К. Пулаского; г. Радом Польша. E-mail: l.szycha@pr.radom.pl.

Leszek Szycha, DSc in Engineering, Professor; Faculty of Transport and Electric Engineering of Technological and Humanistic University named by K. Pulaski; Radom, Poland. E-mail: l.szycha@pr.radom.pl.

Надежность действия водопроводных систем

Анализ надежного функционирования водопроводной системы является интегральной частью всех решений, касающихся ее планирования и проектирования. Обычно ее безаварийная работа улучшается благодаря таким действиям, как проведение двух параллельных веток сети между теми же узлами либо благодаря использованию трубопроводов диаметром, большим, чем требуемый, получаемым на основе вычислений [9]. Повреждение трубопровода либо взаимодействующих с ним элементов может возникнуть под влиянием динамических изменений давления в результате любого изменения скорости течения воды. В статье представлены результаты имитационных изменений давления и течения жидкости в водопроводной сети, вызываемых системой управления в пределах наивысшей эффективности. Эта система является оригинальной разработкой автора [13].

Аварийность действия водопроводных систем

Возрастание и падение давления вызываются инерционностью массы воды, протекающей в трубопроводе, в результате более или менее резких изменений скорости. Большие перепады давления называются гидравлическими ударами. Нет и не может быть однозначно определенной границы, указывающей на то, какое давление следует называть гидравлическими ударами, а какое нет. В литературе, в зависимости от величины генерируемых перепадов давления, говорится о малых и больших гидравлических ударах [7]. Однако эти понятия однозначно не разграничиваются.

Анализ повреждений и их причин для магистральных и распределительных чугунных трубопроводов диаметром от 100 мм до 500 мм представлен в [3]. Исследования показали, что в случае генерирования сис-

темой управления внезапных изменений давления возникали аварии корродированных сегментов и трубных соединений. Исследования показали, что 80 % аварий возникали в результате гидравлических ударов в трубопроводах больших водопроводных сетей, не снабженных глушителями, и только 20 % возникали по другим причинам [1]. Прирост давлений, связанных с гидравлическими ударами, можно ограничить, если применять систему управления, оборудованную современными приводными системами. Такие системы содержат преобразователи частоты или системы мягкого пуска и торможения. Ограничивать амплитуду давления могут также водно-воздушные емкости. Эффект гашения волны давления зависит от объема этих емкостей [8]. В статье проведен анализ влияния водно-воздушных (диафрагменных) емкостей на изменение давления и течения в водопроводной сети во время применения системы управления в пределах наибольшей эффективности PNS_N.

Описание динамических состояний в водопроводной сети

Изменение состояния работы насосов связано со стремлением к сохранению запланированного показателя давления в нагнетательном трубопроводе. Существенную роль в ходе изменений давления играет также их частота, вызываемая неравномерностью разбора. Впоследствии могут появиться быстрые колебания (осцилляции) давления как результат накладывания последующих изменений состояния работы насоса.

Разработки относительно разнообразных аспектов гидравлических ударов представлены в [1, 2, 10, 15]. Однако никто не занимался влиянием системы управления работой насосов на динамику изменений давления в водопроводных системах. Изменения давления в короткое время, как известно, являются причиной ускоренного повреждения устройств во-

доснабжения и трубопроводов, а также значительного ухудшения условий использования арматуры.

Для определения влияния системы управления PNS на динамику изменений давления в водопроводных системах были использованы известные зависимости, применяемые в анализе хода гидравлических ударов. Не определенные в трубопроводах потоки описаны при заданных условиях с помощью двух дифференциальных уравнений [7, 16]:

— уравнение движения

$$g \frac{\partial H}{\partial x} + v \frac{\partial v}{\partial x} + \frac{\partial v}{\partial t} + \frac{\lambda |V| \cdot V}{2D} = 0; \quad (1)$$

— уравнение непрерывности потока

$$\frac{a^2}{g} \frac{\partial v}{\partial x} + v \frac{\partial H}{\partial x} + \frac{\partial H}{\partial t} + v \cdot \sin \alpha = 0, \quad (2)$$

где α — угол наклона трубопровода по отношению к горизонтальной плоскости, t — время; x — координаты пункта трубопровода; H — высота подъема насоса; v — скорость течения жидкости; V — объем; a — скорость фронта волны гидравлического удара; D — внутренний диаметр трубопровода; λ — линейный коэффициент сопротивления трубопроводов.

Уравнение (1) описывает динамическое равновесие жидкости в поперечном сечении провода, а (2) является уравнением неразрывности течения потока в упругодеформированном трубопроводе. Эти уравнения создают систему квазилинейных дифференциальных уравнений с частными производными гиперболического типа с двумя независимыми переменными x и t , а также зависимыми переменными $H(x, t)$, $V(x, t)$. Эти уравнения должны быть проведены одновременно во всех поперечных сечениях трубопровода. Изменение плотности и деформируемость провода учитывают скорость распространения фронта волны давления, определяемую уравнением [7]:

$$a = \frac{\sqrt{\frac{K}{\rho}}}{\sqrt{1 + \frac{K D}{E e} \Psi}}, \quad (3)$$

где K — модуль упругости жидкости; E — модуль линейной упругости трубопровода; e — толщина стенок провода; Ψ — поправочный коэффициент, принимающий различные значения в зависимости от способа крепления трубопровода.

Пространственно-структуральные различия водопроводных сетей, а также различные гидравлические характеристики отдельных элементов — причина того, что нет двух идентичных сетей. Анализ изменения давления и течения в произвольной сети проведен на основе имитационных исследований с использованием компьютерной программы AFT Impulse. Эта программа, главным образом, применяется в исследованиях неуставленных состояний в водопроводных сетях, в частности, при анализе гидравлических ударов. В этой программе используются общеизвестные дифференциальные уравнения (1) и (2).

Система управления работой насосной станции в пределах наивысшей эффективности PNS_N

Во время управления работой насосной станции в пределах наивысшей эффективности PNS_N применяется структура гидравлическо-электрических соединений (рис. 1).

Насосы P1-P4 работают от двигателей M1-M4. Скорости вращения этих двигателей могут быть различными, поскольку питаются от независимых преобразователей частоты Pcz1-Pcz4. Заданием системы управления является поддержание заданной величины давления p насосной станции в нагнетательном коллекторе, измеряемого преобразователем давления. В результате вычислений в запрограммированном командоконтроллере PLC в соответствующем ал-

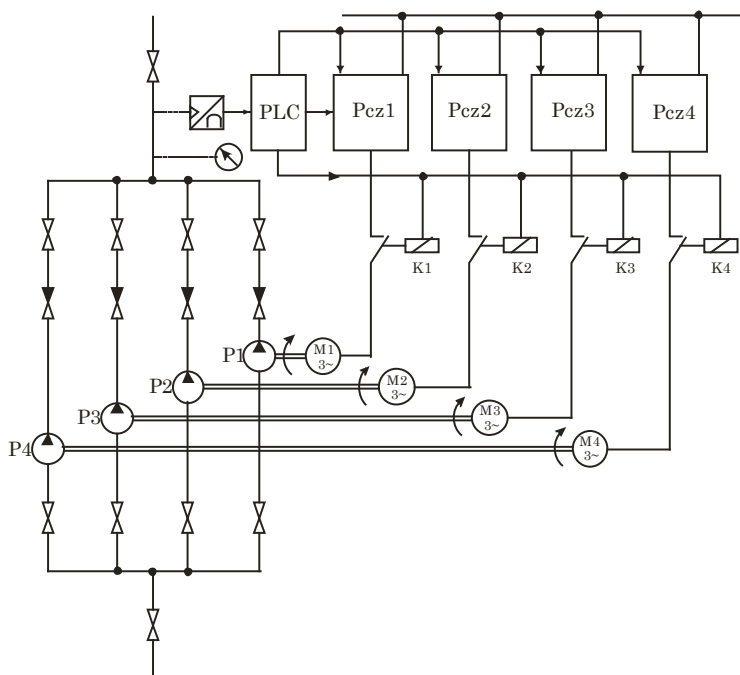


Рис. 1. Структура гидравлическо-электрических соединений насосной станции с управлением PNS

горитме определяется оптимальная скорость насоса, а также происходит разделение на ведущий и дополнительные насосы. Скорость вращения дополнительных насосов — постоянная, оптимальная. Ведущий насос работает с переменной скоростью вращения n в ограниченном диапазоне: $n \in (n_{\min}, n_{\max})$ [13]. Диапазон изменений скорости вращения зависит от принятого минимального КПД η_{\min} насоса, а также указывает на изменения производительности Q_p этого насоса: $Q_p \in (Q_{\min}, Q_{\max})$. Если Q_x находится в этом диапазоне производительности, то работа насосного комплекса постоянна, а значит, не возникает состояние перманентного подключения и выключения насосного комплекса. Зависимость, определяющую расход воды Q_x для непрерывной работы насосной станции в общем виде:

$$Q_x = Q_p + (m - 1)Q_d, \text{ для } m = 1, 2 \dots (4)$$

где m — количество работающих насосов; Q_d — оптимальная производительность дополнительного насоса.

Во время непрерывной работы насосной станции давление в нагнетательном коллекторе постоянно. Если производительность ведущего насоса $Q_{p1} \notin (Q_{\min}, Q_{\max})$, то насосная станция работает в прерываемом режиме. Это значит, что в тот момент, когда ведущий насос достигает минимальной производительности Q_{\min} , а давление в нагнетаемом коллекторе больше от заданного $p_{\text{зад}}$, то насос выключается. Давление в водопроводной сети в результате расхода уменьшается. Если его величина достигнет минимального значения p_{\min} , то ведущий насос подключается к работе, что приводит к повышению производительности насосной станции и одновременно к увеличению давления в на-

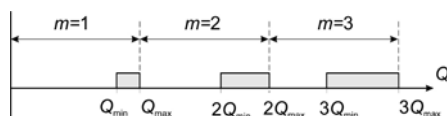


Рис. 2. Диапазон работы насосов во время управления PNS_N для непрерывной работы насосной станции

гнетаемом коллекторе. Диапазон изменений давления во время прерываемой работы находится в пределах $p \in (p_{\min}; p_{\text{зад}})$. Недостаток такой системы управления — частые перепады входного давления насосной станции, которые могут быть причиной возрастания аварийности всей водопроводной системы. Кроме того, частые перепады давления требуют большей мощности и ухудшают условия пользования водой. Чтобы определить диапазон перепадов давления в нагнетаемом коллекторе насосной станции, проведены имитационные исследования в программе AFT Impulse.

Метод анализа изменений давления в водопроводной сети

Система управления PNS_N — оригинальное решение автора, поэтому нет готового блока, содержащего соответствующий вычислительный алгоритм в программе AFT Impulse. Нами использованы доступные в программе управляющие элементы в форме насосов и клапанов, при этом мы создавали свою структуру соединений, позволяющую получить изменения производительности насосов, адекватных работе насосной станции во время использования системы управления PNS_N.

Анализ влияния управления работой насосной станции на водопроводную сеть должен проводиться для каждой сети индивидуально, в зависимости от существующих условий. Приняты следующие условия, которым отвечает анализируемая модель водопроводной сети: а) существует отдельный переменный пропуск, с помощью которого осуществляется разделение воды; б) поверхность выпускного отверстия подбирается в зависимости от эффективности работающих насосов; в) структура сети максимально проста (уравнительная емкость, набор насосов, который состоит из трех насосов, возвратный клапан, трубопровод, отдельное вы-

пускное отверстие); г) задана работа сети с мембранной емкостью и без нее; д) насосный комплект реализует систему управления в пределах наивысшей эффективности PNS_N; е) насосная станция питается из уравнительной емкости неограниченного объема.

Благодаря использованию известных базовых компонентов, содержащихся в программе, были установлены структуры водопроводных сетей, выполняющие вышеперечисленные концепции. В каждой конфигурации есть один ведущий и дополнительные насосы. Введены следующие обозначения насосных станций, работающих совместно с водопроводной сетью: 0+1 — в сети находится один ведущий насос без дополнительного насоса, 2+1 — в сети находится один ведущий насос и два дополнительных насоса.

Водопроводная сеть состоит из трех секций труб, разделенных двумя конфузорами. Изменение диаметра трубопровода необходимо для получения минимального значения частного диаметров $D/d \geq 0,5$, выпускного отверстия D и диаметра d трубы, содержащей выпускное отверстие. На основе [6] принято, что локальные гидравлические потери ζ_1 для свободного воздействия равны: $\zeta_1 = 5,51$, для $D/d = 0,5$. Коэффициент течения C_d составляет: $C_d = 0,39$. Для анализа принята сеть общей длиной 15 000 м.

В состав насосной станции входит набор насосов с тремя насосами типа CR16-40. Производительность насосной станции, а значит, соответствующее количество работающих насосов m , приспособлена к разделению воды Q_x . Разделение воды моделируется через выпускное отверстие. Например, для насосной станции типа 0+1 приняты площадь выпускного отверстия $A = 3 \text{ см}^2$ и коэффициент течения $C_d = 0,2$. В случае работающих трех насосов площадь выпускного отверстия равняется $A = 12 \text{ см}^2$ и коэффициент течения — $C_d = 0,4$.

Результаты имитации динамики изменений давления в водопроводной сети

В имитационных исследованиях принята система управления PNS_N, в которой предполагается, что насосы работают с постоянной скоростью вращения, составляющей 90 % от номинальной. Принято, что работа насосной станции имеет прерываемый характер. Диапазон изменений входного давления составляет $p \in (0,45 - 0,47)$ МПа [5, 12, 13].

На рис. 3–6 представлены изменения давления и течения при управлении PNS_N для сети 2+1. Давление на выходе имеет большую динамику изменений (рис. 3, а) для времени 1_1¹, чем для времени 10_10 (рис. 3, б).

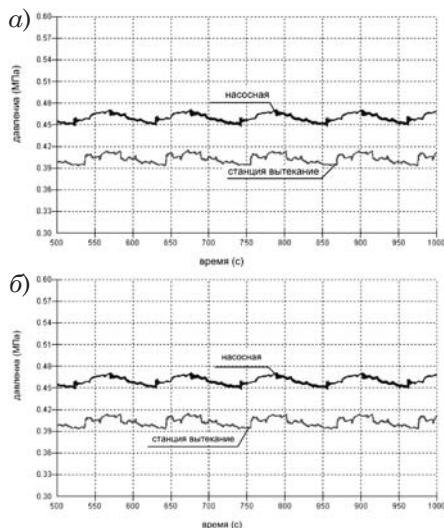


Рис. 3. Давление на выходе насосной станции и непосредственно перед вытеканием во время управления PNS_N для длинной сети, насосной станции типа 2+1 без мембранной емкости
а — для времени 1_1; б — для времени 10_10

Это влияет на динамику вытекания из водопроводной сети (рис. 4). Диапазон изменений вытекания в выходном отверстии не превышает $2 \text{ м}^3/\text{ч}$, не приводя при этом к ухудшению ус-

ловий пользования водой. Применение мембранной емкости ограничило собственную пульсацию давления (рис. 5), а также уменьшило динамику изменений течения (рис. 6).

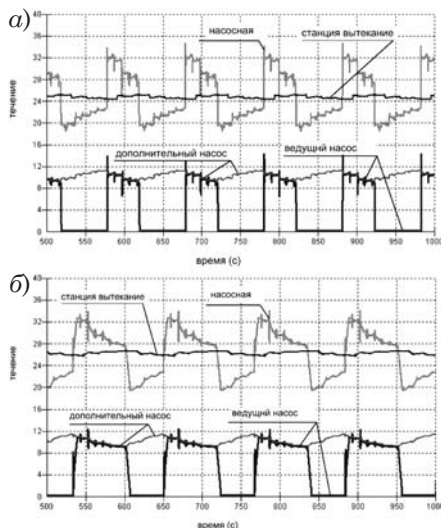


Рис. 4. Эффективность ведущего, дополнительного насоса, насосной станции и разделение на вытекании во время управления PNS_N для длинной сети, насосной станции типа 2+1 без мембранной емкости
а — для времени 1_1; б — для времени 10_10

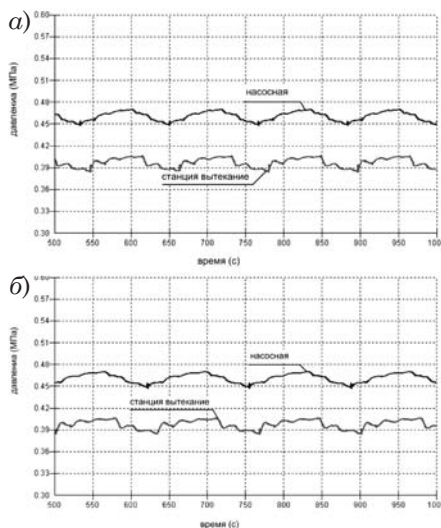


Рис. 5. Давление на выходе насосной станции и непосредственно перед вытеканием во время управления PNS_N для длинной сети, насосной станции типа 2+1 с мембранной емкостью
а — при времени 1_1; б — при времени 10_10

¹ Число 1 или 10 соответствует времени, выраженному в секундах, в котором совершается пуск (первое число) или торможение (второе число) ведущего насоса.

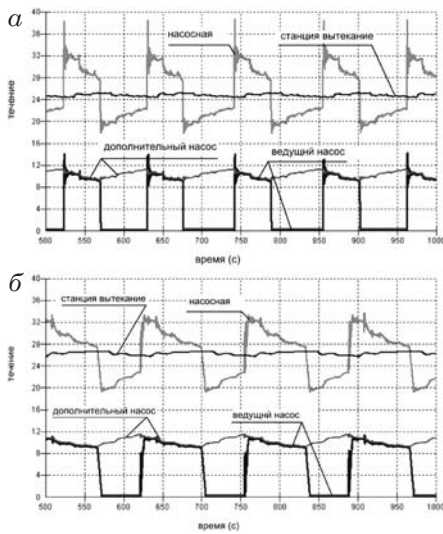


Рис. 6. Эффективность ведущего, дополнительного насоса, насосной станции и разделение на вытекании во время управления PNS_N для длинной сети, насосной станции типа 2+1 с мембранной емкостью
а — при времени 1_1; б — при времени 10_10

Выводы

Во время управления насосной станцией в пределе наивысшей эффективности происходят изменения давления в заданном пределе. Управ-

ление PNS_N реализуется в допустимом диапазоне изменений давления, что отвечает изменениям давления $\Delta p = 0,02$ МПа. Из проведенного анализа следует, что во время постоянной работы ведущего насоса пульсации давления нет. Незначительные изменения давления, возникающие во время управления PNS_N, связанные с прерываемой работой ведущего насоса, не ухудшают условия пользования водой и не влияют на аварийность водопроводной сети. Нет также отрицательного влияния системы на соединения и корродированные элементы старой сети. Дополнительное применение мембранных емкостей значительно ограничивает пульсацию давления, свидетельствуя о пригодности исследуемого метода управления PNS_N в работе насосных станций. Проведенные имитационные исследования указывают на пригодность представленного метода анализа изменений давления и течения для оценки влияния системы управления на потребительские и эксплуатационные свойства водопроводной сети.

Литература

1. Бонетинский К., Вишневска-Орачевска И. Стратегия предупреждения неблагоприятных последствий гидравлического удара в водопроводных сетях//Газ, вода и санитарная техника, № 8. 2001.
2. Dongwei S., Jianbo D., Yong Z. Investigation of pressure in pipe subjected to axial-symmetric pulse loading//International Journal of Impact Engineering, № 25. 2001.
3. Хотлощ Х., Мельцажевич Е. В. Интенсивность повреждений и стоимость ремонтов проводов водопроводных сетей//GWiTS, № 1.1996.
4. Kansal M. L., Kumar A., Sharma P. B. Reliability analysis of water distribution systems under uncertainty//Reliability Engineering and System Safety № 50. 1995.
5. Люфт М., Шихта Э., Шихта Л. Method of designing ZVS boost converter//Proceedings of the 13th International Power Electronics and Motion Control Conference, 1–3 September 2008. Poznań — Poland. — PP. 478–482.
6. Мельцажевич Е. В. Расчет систем снабжения водой/Варшава: Arkady O. O. O., 2000.
7. Нелацны М. Гидравлические удары/Познань : Изд-во Познаньского политехнического университета, 2002.
8. Нелацны М., Вишневска-Орачевска И. Гидравлические удары в водопроводной сети. Экспериментальные исследования//Газ, вода и санитарная техника, № 12. 2003.
9. Ostfeld A., Reliability analysis of regional water distribution systems//Urban Water, № 3. 2001.
10. Sreejith B., Jayaraj K., Ganesan N., Padmanabhan C., Chellapandi P., Selvaraj P. Finite element analysis of fluid-structure interaction in pipe systems//Nuclear Engineering and Design, № 227. 2004.
11. Шихта Э. Control characteristics of multiresonant ZVS boost converter//Przegląd Elektrotechniczny, № 2. 2007.

12. Шихта Э. Мультирезонансные преобразователи ZVS постоянного напряжения на постоянное напряжение. Польша, Зелена Гура : Изд. Зеленогурского университета, 2006.
13. Шихта Л. Принципы выбора системы управления водонасосными станциями: монография. Польша, Радом : Радомский политехнический университет, 2006.
14. Вечисты А., Иваненко Р. Определение требуемой степени надежности объектов системы снабжения водой//GwiTS, № 2. 1996.
15. Wood D.J., Asce S., Jones S.E. Water-hammer charts for various types of valves//Journal of the Hydraulics Division, Proceedings of the American Society of Civil Engineers, January, 1973.
16. Фокс Д.А. Гидравлический анализ неустановившегося течения в трубопроводах. М. : Энергоиздат, 1981.

References

1. K. Bonetinski, I. Visznevskaja-Oraczewska. Strategiya preduprezhdeniya neblagopriyatnykh posledstviy gidravlicheskogo udara v vodoprovodnykh setyakh [Strategy for preventing adverse effects of hydraulic hammer in water mains]//Gaz, voda i sanitarnaya tekhnika, № 8. 2001.
2. Dongwei S., Jianbo D., Yong Z. Investigation of pressure in pipe subjected to axial-symmetric pulse loading//International Journal of Impact Engineering, № 25. 2001.
3. Hotlosz H., Melcarzevicz E.V. Intensivnost povrezhdeniy i stoimost remontov provodov vodoprovodnykh setey [Damage rate and repair cost of wires of water mains]//GwiTS, № 1. 1996.
4. Kansal M.L., Kumar A., Sharma P.B. Reliability analysis of water distribution systems under uncertainty//Reliability Engineering and System Safety № 50. 1995.
5. Luft M., Szychta E., Szychta L. Method of designing ZVS boost converter/Proceedings of the 13th International Power Electronics and Motion Control Conference, 1–3 September 2008. Poznań, Poland. — PP. 478–482.
6. E.V. Melcarzevicz. Raschet sistem snabzheniya vodoi [Designing water supply systems]//Warszawa : Arkady O.O.O., 2000.
7. M. Nelacny. Gidravlicheskiye udary [Hydraulic hammers]//Poznań: Izd-vo Poznanskogo politekhnicheskogo universiteta, 2002.
8. Nelacny M., Visznevskaja-Oraczewska I. Gidravlicheskiye udary v vodoprovodnoi seti [Hydraulic hammers in water mains]. Eksperimentalnye issledovaniya//Gaz, voda i sanitarnaya tekhnika, № 12. 2003.
9. Ostfeld A., Reliability analysis of regional water distribution systems//Urban Water, № 3. 2001.
10. Sreejith B., Jayaraj K., Ganesan N., Padmanabhan C., Chellapandi P., Selvaraj P. Finite element analysis of fluid-structure interaction in pipe systems//Nuclear Engineering and Design, № 227. 2004.
11. Szychta E. Control characteristics of multiresonant ZVS boost converter//Przegląd Elektrotechniczny, № 2. 2007.
12. Szychta E. Multiresonansnye preobrazovateli ZVS postoyannogo napryazheniya na postoyannoye napryazheniye [DC/DC voltage multiresonant ZVS converters]. Pol'sha, Zelena Gura : Izd. Zelenogurskogo universiteta, 2006.
13. Szychta L. Printsipy vybora sistemy upravleniya vodonasosnymi stantsiyami: monografiya [Principles for selecting water pump station control system: monograph]. Pol'sha, Radom: Radomskiy politekhnicheskii universitet, 2006.
14. Wieczysty A., Ivanenko R. Opredeleniye trebuemoy stepeni nadezhnosti obyektov sistem snabzheniya vodoi [Determining the required reliability of water supply system facilities]//GwiTS, № 2. 1996.
15. Wood D.J., Asce S., Jones S.E. Water-hammer charts for various types of valves//Journal of the Hydraulics Division, Proceedings of the American Society of Civil Engineers, January, 1973.
16. Fox D.A. Gidravlicheskiy analiz neustanovivshegosya techeniya v truboprovodakh [Hydraulic analysis of unstable flow in pipelines]. M. : Energoizdat, 1981.

Статья сдана в редакцию 1 августа 2012 года

Редакция благодарит А.А. Косякова, канд. техн. наук за помощь в работе над статьей.

Пер. с польск. автора

ОРГАНИЗАЦИЯ И ЛОГИСТИКА

УДК 658.014

В. М. Сай, С. В. Сизый

О моделировании взаимодействия автомобильного, авиационного (малая авиация) и железнодорожного транспорта в области пассажирских перевозок

UDC 658.014

V. M. Say, S. V. Sizy

On modelling the interaction of automotive, aviation (light aircraft) and railway transport in field of passenger transportation

Аннотация

Взаимодействие хозяйствующих субъектов автомобильного, авиационного (малая авиация), железнодорожного транспорта и региональных властных структур представлено как элементы некоторой объемной сети. Слои многослойной сетевой модели представлены в виде транспортных сетей на территории области, сети населенных пунктов, размещения производств, перспективы экономического развития и др. При этом каждая плоскость интерпретируется как самостоятельная сетевая под-модель. Графически модель взаимодействия видов транспорта и региональных властных структур будет представлена как многослойная сетевая модель (сэндвич-модель).

Преимущества предлагаемой модели заключаются в возможности выполнения над моделью различных гомоморфных преобразований; детализации модели за счет дальнейшего «расслоения» рассматриваемых плоскостей, разделение их на несколько уровней и др. Сетевая диаграмма модели соответствует географическому расположению моделируемой сети автомобильных и железных дорог, сети воздушных сообщений, административно-территориальным образованиям.

Сетевая модель является наиболее подходящим аппаратом представления и моделирования системы организации взаимодействия видов транспорта, правительства субъекта Российской Федерации и хозяйствующими субъектами, расположенными на их территории.

Ключевые слова:

взаимодействие видов транспорта, объемные сетевые модели, сэндвич-модель, транспортные сети.

Abstract

Interaction of economic entities of automotive, aviation (light aircraft), railway transport and regional authorities is represented as elements of some volumetric network. The layers of a multilayer network model are represented as transport networks in the region, populated settlement network, production location, prospects of economic development etc. The result, each plane is interpreted as in independent network submodel. Graphically, the model of interaction between transport kinds and regional authorities will be represented as a multilayer network model (sandwich model).

Advantages of the suggested model are the possibility of subjecting the model to various homomorphic transformations; model detailing due to further layering of the planes under consideration, their separation into several layers etc. The model network diagram corresponds to the geographic location of the modelled network of highways and railroads, airline system, and political subdivisions.

The network model is the most suitable apparatus for representing and modelling the system of organizing the interaction between transport kinds, government of a Russian Federation constituent entity and economic entities located in them.

Key words:

interaction between transport kinds, volumetric network models, sandwich model, transport networks.

Сергей Викторович Сизый, д-р техн. наук, доцент; кафедра алгебры и дискретной математики Уральского федерального университета; Екатеринбург, Россия. E-mail: sergey.sizy@usu.ru.

Василий Михайлович Сай, д-р техн. наук, профессор; кафедра «Путь и железнодорожное строительство» Уральского государственного университета путей сообщения; Екатеринбург, Россия. E-mail: vsay@usurt.ru.

Sergey Viktorovich Sizyi, DSc in Engineering, Assistant Professor; Algebra and Discrete Mathematics Chair of Ural Federal University; Ekaterinburg, Russia. E-mail: sergey.sizy@usu.ru.

Vasily Mikhailovitch Say, DSc in Engineering, Professor; Railway Construction and Railway Track Chair of Ural State University of Railway Transport; Ekaterinburg, Russia. E-mail: vsay@usurt.ru.

Изменение в стране производственных отношений изменило целеполагание деятельности транспортных компаний — основной их задачей стало получение прибыли. Одновременно они выполняют государственный социальный заказ: перевозят население. Однако сама суть коммерческой организации противоречит безвозмездному или частично финансируемому предоставлению услуг.

Сегодня важно обосновать выстроенные взаимоотношения между компаниями и территориально-административными образованиями области, несущими ответственность за социальное положение проживающего на данной территории населения, реализацию социальных программ, развитие производственной и транспортной инфраструктуры и др. [1].

Главная цель Свердловской области как субъекта Российской Федерации в области транспорта состоит не только и не столько в получении сиюминутных доходов транспортными хозяйствующими субъектами, функционирующими на ее территории, сколько в планомерном развитии транспортных услуг, эффективном развитии транспортной инфраструктуры, создании благоприятной для компаний конъюнктуры рынка и, как следствие, в достижении больших бюджетных поступлений.

Для достижения этой цели необходимы научное обоснование, разработка и организация долгосрочного взаимодействия транспортных компаний с территориально-административными образованиями области в современных условиях рыночной экономики, при оптимальном сочетании интересов транспортных компаний, правительства области и хозяйствующих субъектов на их территории, с учетом социально-экономических особенностей Свердловской области [1, 2].

Система взаимоотношений транспортных компаний с властными

структурами Свердловской области должна учитывать:

а) интересы как правительства Свердловской области, так и хозяйствующих субъектов, функционирующих на ее территории. Она должна быть направлена на увеличение транспортного обслуживания Свердловской области и на увеличение доходности транспортных компаний;

б) комплексный подход, то есть рассматриваются не разрозненные проекты, а оптимизируются программы (комплект проектов). Такой комплект должен быть универсальным, то есть пригодным для использования всеми видами транспорта во взаимоотношениях с правительством области и с муниципальными образованиями;

в) строиться на долгосрочной основе, быть гибкой — адекватно реагировать на изменение внешних воздействий [3, 4].

Для реализации системы взаимоотношений предложена комплексная программа организации взаимодействия, которая включает:

организационную структуру взаимосвязей всех видов транспорта и территориально-административными образованиями области;

обратные связи и учет региональных интересов и особенностей [5, 6];

математическую модель взаимоотношений транспортных компаний, других хозяйствующих субъектов с территориально-административными образованиями области;

методики моделирования и расчетов, методы оценки взаимодействия [7, 8];

компьютерные программы, позволяющие формировать и анализировать различные хозяйственные ситуации, проигрывать возможные производственные ситуации и выдавать практические рекомендации по принятию решений.

При моделировании взаимодействия между компаниями и субъектами Российской Федерации применялись сетевые модели, аппарат дис-

кретного сетевого анализа, теории вероятностей, графов и дискретной оптимизации [4–6, 11].

Представим взаимодействие хозяйствующих субъектов автомобильного, авиационного (малая авиация), железнодорожного транспорта и региональных властных структуры как элементы некоторой объемной сети [3, 9]. Тогда процессы взаимодействия между ними будут интерпретированы некоторыми связями.

Такую объемную сложную систему (сеть) будем строить как совокупность простых подсистем, размещенных на плоскости. Таким образом, графически модель взаимодействия всех видов транспорта и региональных властных структур будет представлена как многослойная сетевая модель — сэндвич-модель [4].

Содержательная интерпретация составляющих элементов сэндвич-модели (как составляющие общей сэндвич-модели): правительство Свердловской области; инфраструктура автомобильного транспорта; инфраструктура железнодорожного транспорта; инфраструктура малой авиации; пассажирские перевозки; перевозки грузов и почты; авиационной работы в интересах МЧС России на территории Свердловской области; лесоавиационной работы, авиационно-химической работы в сельском хозяйстве, воздушные съемки, строительно-монтажные и погрузо-разгрузочные работы; полеты спортивной авиации; социально-территориальная (сети населенных пунктов, муниципальных образований и т. п.); региональные хозяйства и промышленные предприятия; административно-управленческая плоскость.

При этом каждая плоскость интерпретируется как самостоятельная сетевая модель (рис. 1).

На рис. 2 показано, как из этих четырех сетевых структур Свердловской области образуется (путем наложения отдельных самостоятельных сетевых слоев) единая комплек-

сная сэндвич-модель транспортной структуры.

Применение таких сэндвич-моделей обусловлено необходимостью отражать в используемых моделях наличие, наложение и взаимодействие на одной территории различных видов транспорта со своими развитыми организационными сетями.

Сэндвич-модель представляет из себя раскрашенную сеть $G = (N, A)$ с помеченными узлами и ребрами, состоящую из k штук слоев (или плоскостей). Здесь $N = N_1 \cup N_2 \cup \dots \cup N_k$ — множество узлов (или вершин), разбитое на k подмножеств (слоев, плоскостей); A — множество дуг (или ребер), соединяющих узлы из множества N . Узлы сети $G = (N, A)$ будем обозначать буквами p_{ij} , где i — номер плоскости, содержащей данный узел, j — номер узла.

Таким образом, $p_{ij} \in N_i$. Ребро, соединяющее узлы p_{ij} и p_{kl} , договоримся обозначать символами $r_{(ij)(kl)}$ или $(ij) \rightarrow (kl)$ [4].

На рис. 3 приведена диаграмма трехслойной сэндвич-модели. Представление модели в компьютерном виде осуществляется традиционным способом — в виде матриц смежности и меток. Метками узлов и ребер служат векторы, то есть кортежи из числовых данных, характеристик и параметров помечаемого объекта. В дальнейшем будем называть такие кортежи вектор-метками, или векторами параметров. Вектор-метки узлов p_{ij} и ребер $r_{(ij)(kl)}$ договоримся обозначать теми же самыми буквами со стрелочками: $\vec{p}_{(ij)}$ и $\vec{r}_{(ij)(kl)}$ соответственно.

Приведем краткое описание различных элементов сэндвич-моделей и смысловые интерпретации этих элементов.

Узлы сэндвич-модели p_{ij} на диаграмме — это населенные пункты, административные единицы, транспортные узлы (автовокзалы, аэродромы, железнодорожные станции), хозяйствующие субъекты, управленческие структуры, банки, дру-



а)



б)



в)



г)

Рис. 1. Примеры слоев многослойной сетевой модели

а — населенные пункты; б — сеть автомобильных дорог; в — сеть территориально-административных образований; г — сеть железных дорог

гие организации и т.п. Вектор-метка $\vec{p}_{(ij)}(\alpha_1, \alpha_2, \dots)$ узла p_{ij} представляет собой набор параметров $(\alpha_1, \alpha_2, \dots)$, характеризующих данный узел. Это различные числовые характеристики рассматриваемого узла (тип, географическое расположение, мощность, приоритет, финансовые активы, устойчивость, коэффициенты выполнения обязательств и т.п.). Конкретный

выбор таких параметров обусловлен решаемыми задачами.

Ребра рассматриваемой сэндвич-модели могут быть нескольких типов — автомобильная или железная дорога, воздушные коридоры между узлами, информационные связи (в том числе директивное подчинение), контрактные (договорные) связи, иные производственные, фи-

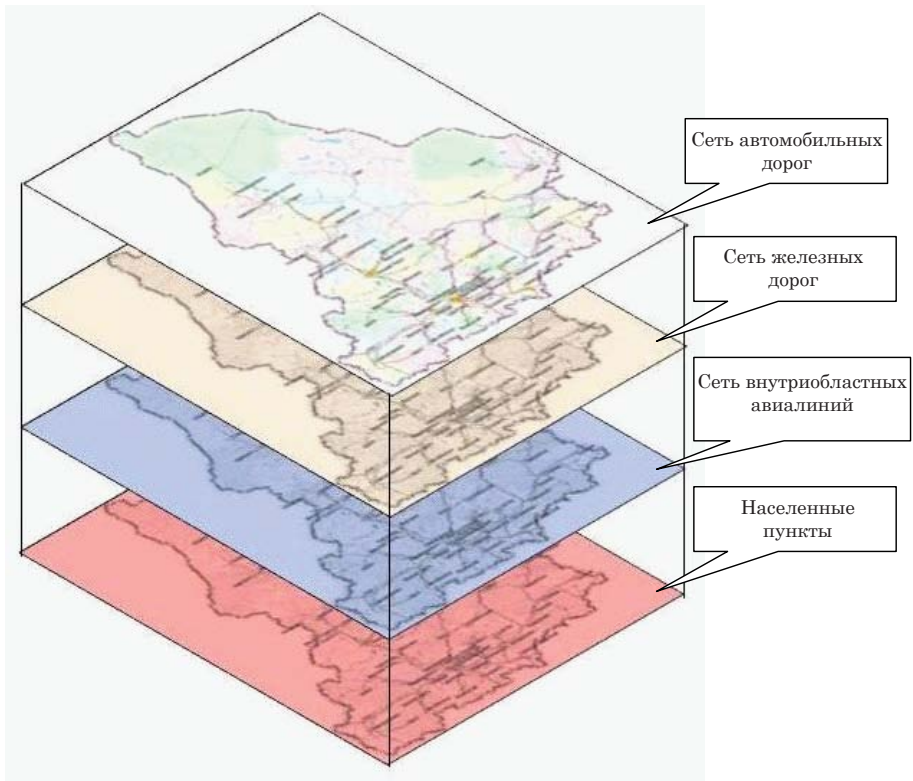


Рис. 2. Фрагмент общей сэндвич-модели транспортной системы Свердловской области

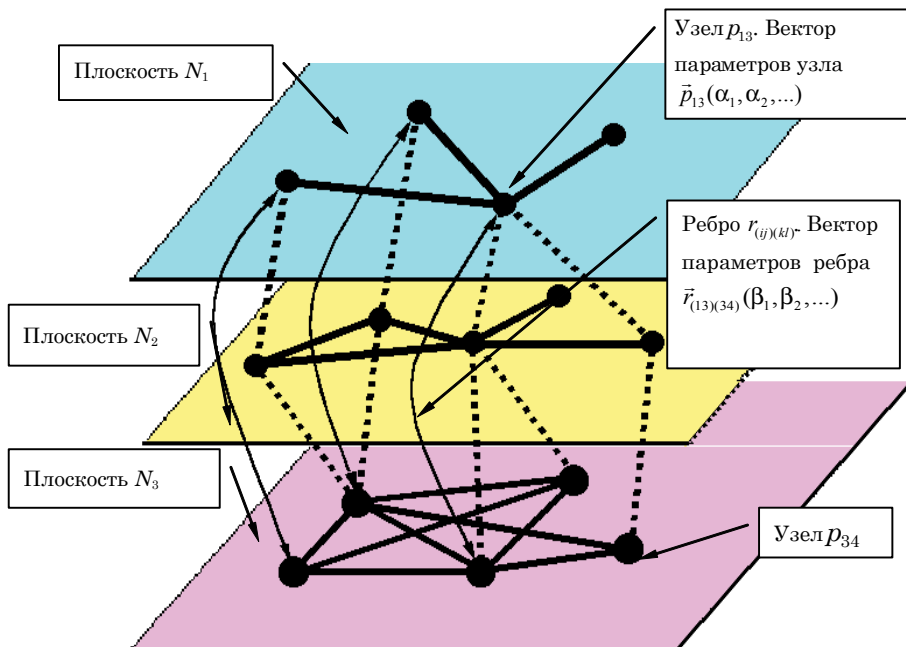


Рис. 3. Пример диаграммы трехслойной сэндвич-модели [4]

нансовые и административные связи между рассматриваемыми субъектами.

Так, например, ребрами сэндвич-модели для малой авиации могут быть: социально значимые перевозки; бизнес-перевозки; оказание помощи пострадавшим в ДТП, проведение противопожарных работ, тушение природных пожаров; обеспечение оперативного круглосуточного использования малой авиации в режиме скорой медицинской помощи; туризм; спортивное направление.

Таким образом, представленная сэндвич-модель может отражать все необходимое многообразие связей и все необходимые аспекты взаимодействия между видами транспорта, хозяйствующими субъектами и административными структурами.

Ребра $r_{(kj)(kl)}$ между узлами, лежащими на одной плоскости N_k — внутрисетевые связи одной из рассматриваемых сетей (автомобильный, воздушный, железнодорожный транспорт, хозяйствующие субъекты, населенные пункты и т. д.; см. рис. 1). Это могут быть директивно-распорядительные связи, договорные отношения, финансовые и ресурсные потоки, информационные связи и т. д. Вектор-метки $\vec{r}_{(kj)(kl)}(\beta_1, \beta_2, \dots)$ указанных ребер содержат численные характеристики и показатели $(\beta_1, \beta_2, \dots)$ такого сорта связей: их тип, стоимость перевозок, длину путей между узлами, величины ресурсных или финансовых потоков, количественные показатели контрактов и договорных обязательств между узлами, сроки и объемы поставок и т. п.

Ребра $r_{(ij)(kl)}$ между узлами p_{ij} и p_{kl} , лежащими в разных плоскостях N_i и N_k , — связи между узлами различных сетей, отражающие и формализующие взаимодействие различных рассматриваемых структур. Ребра между узлами различных плоскостей могут символизировать законодательные и нормативные отношения между рассматриваемыми субъектами, информационные связи меж-

ду ними, договорные отношения, финансовые и ресурсные потоки и т. д., словом, все те аспекты взаимодействия между различными плоскостями экономики регионов и структур железнодорожного транспорта, которые подлежат моделированию и изучению. Вектор-метки $\vec{r}_{(ij)(kl)}(\beta_1, \beta_2, \dots)$ таких ребер содержат численные характеристики $(\beta_1, \beta_2, \dots)$ и показатели взаимодействия между элементами различных плоскостей: величины финансовых и ресурсных потоков, суммы кредитов и задолженностей, претензии сторон, параметры договорных связей, информационных связей и т. п.

На основе предлагаемой модели можно разработать интегральные характеристики взаимодействия между различными видами транспорта (плоскостями), которые складываются из показателей отдельных вектор-меток связей между рассматриваемыми плоскостями.

Преимущества предлагаемой модели заключаются в возможности ее детализации за счет дальнейшего «расслоения» рассматриваемых плоскостей — разделения их на несколько уровней. Такая процедура соответствует формализации и выделению в отдельное рассмотрение различных подструктур конкретного вида транспорта или различных функциональных направлений отдельного вида транспорта.

Предусмотрена возможность внесения в модель (в метки узлов и ребер) любого количества интересующих параметров, могущих влиять на исследуемые процессы взаимодействия. Это обстоятельство весьма существенно, так как на начальном этапе исследований еще не ясно, какие из характеристик и параметров существенны, а какие второстепенны.

Имеется возможность выполнения над моделью различных гомоморфных преобразований (детализация или укрупнение масштаба, внесение дополнительных узлов или их

удаление, объединение узлов в группы и т. д.).

Модель легко может быть реализована на компьютере, а в силу своего сетевого (графического) характера она очень наглядна — в ней хорошо просматриваются организация и хранение числовых данных.

Сетевая диаграмма модели соответствует географическому расположению моделируемой сети автомобильных и железных дорог, сети воздушных сообщений, административно-территориальным образованиям.

Предлагаемая сетевая модель обозрима и вполне доступна в исследовании (в частности, с применением традиционных методов сетевого анализа, теории графов и теории вероятностей).

Итак, в рассматриваемой транспортной сэндвич-модели всегда присутствуют связи двух типов:

— горизонтальные (внутрисетевые, между узлами, находящимися внутри одной функциональной плоскости (одного вида транспорта), не выходящие за ее пределы, не идущие к узлам других видов транспорта (плоскостей));

— вертикальные (между элементами различных функциональных плоскостей (видами транспорта, административно-территориальными образованиями и др.).

Каждый слой сэндвич-модели представляет собой сетевую модель функциональных структур со своими узлами и связями между ними.

Вертикальные связи между плоскостями сэндвич-модели (узлами видов транспорта и административно-управленческими узлами), а также их численные характеристики отражают процессы взаимодействия рассматриваемых плоскостей между собой, а в итоге формализуют различные аспекты взаимоотношений транспортного комплекса с экономическими и административно-управленческими структурами (плоскостями) региона.

При решении прикладных задач может потребоваться более детальное рассмотрение какого-то фрагмента общей сэндвич-модели. Такие подмодели при небольшом количестве элементов и связей должны сохранять все моменты, необходимые для решения поставленных задач. Графически это можно представить как вертикальное сечение общей сэндвич-модели.

Под вертикальным сечением, трубкой или вертикальным цилиндром называют произвольную подмодель $V = (M, A|_M)$ сэндвич-модели $G = (N, A)$, которая сама является сэндвич-моделью со всеми соответствующими связями как в выделенных фрагментах каждой из плоскостей, так и между фрагментами различных плоскостей. Здесь $M \subseteq N$; $M = M_1 \cup M_2 \cup \dots \cup M_k$ — соответствующее исходной модели $G = (N, A)$ разбиение узлов сечения по плоскостям, то есть $M_i \subseteq N_i$ для всех $1 \leq i \leq k$; $A|_M$ означает ограничение множества связей A исходной модели лишь на узлы подмножества M [5].

В зависимости от поставленной задачи исследований вполне допустимо рассмотрение более простых образований — частичных подмоделей (обедненных подмоделей), получающихся из различных вертикальных сечений общей сэндвич-модели.

Частичной вертикальной трубкой, или обедненной подмоделью, будем называть произвольную подмодель $V = (M, B)$ сэндвич-модели $G = (N, A)$, также являющуюся сэндвич-моделью; при этом $M \subseteq N$, а $B \subseteq A|_M$ — некоторое подмножество из общего числа связей между элементами соответствующей.

Пример диаграммы вертикального сечения некоторой общей сэндвич-модели представлен на рис. 4.

При формировании вертикального сечения общей сэндвич-модели сначала выбирается некоторая базовая плоскость, на которой выделяется соответствующая плоскостная подструктура (например, административное

образование, территория и т. д.). Затем в данную вертикальную трубку заносятся все хозяйствующие субъекты, взаимодействующие с выделенным фрагментом базовой плоскости.

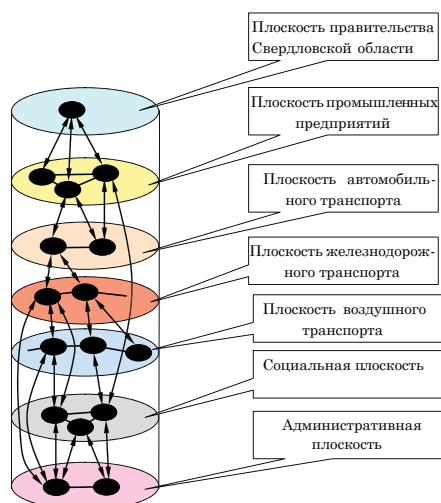


Рис. 4. Пример диаграммы вертикального сечения общей сэндвич-модели

Для обоснования транспортной системы Свердловской области рассмотренная графоаналитическая сэндвич-модель позволяет рассчитывать транспортную сеть, оценивать ее, формировать методики количественных оценок взаимодействия видов транспорта, сравнивать деятельность транспортных компаний в различных районах области, проигрывать на компьютере различные производственные сценарии и оценивать их, то есть формировать транспортную политику в регионе.

Предлагаемое модельное представление [10, 14] позволяет исследовать транспортную систему Свердловской области на прочность, устойчивость транспортных связей [12, 13], достаточность транспортных связей между территориями [11, 12], определять степень транспортной безопасности предприятий и регионов [15].

Еще одним важнейшим преимуществом предлагаемой модели является возможность вычисления и сведения баланса потоков — грузопо-

токов, пассажиропотоков, иных возможных перевозок и коммуникаций [11, 13]. Это крайне необходимо для определения достаточной обеспеченности транспортных связей транспортными средствами и выявления узких мест в транспортной системе Свердловской области.

Для обоснования организации работы по взаимодействию всех видов транспорта и оценки такого взаимодействия необходимо разработать ряд экономико-математических моделей процессов взаимодействия видов транспорта между собой и с правительством субъекта Российской Федерации.

Таким образом, необходимо:

выполнить анализ внутриотраслевого взаимодействия видов транспорта и их взаимоотношения с правительством субъекта Российской Федерации,

выявить интересы взаимодействия каждого вида транспорта с другими видами и с правительством субъекта Российской Федерации,

исследовать на территории субъекта Российской Федерации варианты мультимодальных перевозок,

выполнить прогноз развития процессов взаимодействия между видами транспорта,

определить роль правительства субъекта Российской Федерации в развитии процессов взаимодействия,

обосновать несколько пионерных схем развития процессов взаимодействия, организовать их внедрение,

разработать параметры оценки сотрудничества и сравнительные характеристики взаимодействия,

оценить существующие схемы взаимодействия видов транспорта, их эффективность и качество,

выработать основные приемы и подходы организационного воздействия правительства субъекта Российской Федерации на транспортные хозяйствующие субъекты с целью внедрения ими схем взаимодействия,

предложить механизм самонастраивания взаимодействия видов транспорта, правительства субъекта Российской Федерации, территориально-административных образований.

Решение поставленных задач возможно при разработке экономико-математических моделей и на их основе формирования пакетов программ, что позволит многократное проигрывание производственных сценариев развития транспортной системы субъекта РФ.

К экономико-математическим моделям процессов взаимодействия видов транспорта, правительства субъекта Российской Федерации и территориально-административных образований предъявляются следующие требования: адекватность модели описываемому процессу, учет всех интересующих факторов, наглядность модели и простота ее восприятия, возможность компьютерной реализации, проведения численных экспериментов, проигрывание производственных ситуаций, модель должна обладать возможностью расширения и детализации во всех аспектах взаимодействия, комплексный подход, учет как внутрикорпоративных связей, так и связей с внешним окружением, модель должна являться основным рабочим объектом (рабочей средой) и одновременно базой данных по вопросам взаимодействия компании с регионами.

Итак, с точки зрения поставленных исследовательских задач, сандвич-модели являются наиболее под-

ходящим аппаратом представления и моделирования системы организации взаимодействия видов транспорта, правительства субъекта Российской Федерации и хозяйствующими субъектами, расположенными на их территории.

В результате анализа отечественного опыта установлено следующее. К настоящему моменту отсутствует комплексный подход к моделированию и анализу процессов взаимодействия между собой видов транспорта в области пассажирских перевозок. Отсутствуют универсальные модели и методы, позволяющие изучать разнообразные производственные ситуации взаимодействия с единой точки зрения.

Разработки отечественных ученых дают возможность провести необходимые теоретические исследования и осуществить разработку комплексной системы взаимоотношений видов транспорта.

Предварительный анализ показывает возможность выработки достаточно универсальной системы критериев оценки эффективности взаимодействия видов транспорта.

До настоящего времени не проводились исследования и не выявлялись управляемые и независимые параметры, определяющие сами процессы взаимодействия видов транспорта. Не было проведено структурирование таковых параметров и не изучались механизмы их влияния на конечный результат. Вместе с тем актуальность и выполнимость таких исследований не вызывает сомнений.

Литература

1. Сай В. М., Сизый С. В., Шутюк С. В. Анализ выразительных возможностей методики формирования коэффициентов состоятельности регионов//Транспорт: наука, техника, управление. 2006. № 11. С. 7–12. ISSN 0236-1914.
2. Сай В. М., Шутюк С. В. Методика формирования коэффициентов и способ оценки априорной состоятельности региона//Транспорт Урала. 2008. № 3. С. 2–12. ISSN 1815-9400.
3. Сай В. М., Шутюк С. В. Моделирование оценки взаимодействия компании «Российские железные дороги» с субъектами Российской Федерации. Монография. М. : ВИНТИ РАН, 2005. С. 140. ISBN 5-902928-06-0.
4. Сай В. М., Шутюк С. В. Моделирование комплексной системы взаимоотношений компании «Российские железные дороги» с регионами//Транспорт Урала. 2004. № 1. С. 11–16. ISSN 1815-9400.

5. Сай В.М., Шутюк С.В., Афанасьева Н.А. Методологические подходы моделирования взаимоотношений компании «Российские железные дороги» с регионами//Транспорт: наука, техника, управление. 2004. № 12. С. 12–15. ISSN 0236-1914.
6. Сай В.М., Шутюк С.В. Интегрированный коэффициент эффективности серии проектов при одновременном взаимодействии ОАО «РЖД» с рядом региональных хозяйствующих субъектов//Транспорт Урала. 2005. № 1. С. 11–6. ISSN 1815-9400.
7. Сай В.М., Сизый С.В., Афанасьева Н.А. Согласование программ развития ОАО «РЖД» с региональными программами развития транспортной инфраструктуры//Транспорт Урала. 2010. № 1. С. 13–16. ISSN 1815-9400.
8. Шутюк С.В., Сай В.М., Афанасьева Н.А. Математическая модель согласования программ развития ОАО «РЖД» в регионе и субъекта РФ//Экономика железных дорог, 2005. № 12. С. 18. ISSN 1727-6500.
9. Сай В.М. Организация содержания транспортной инфраструктуры в сетях с разделенными интересами с применением математической теории автоматов/Сай В.М., Сизый С.В., Вихарев С.В., Варанкина К.А.//Вестник Уральского государственного университета путей сообщения, 2011. № 3. С. 42–53. ISSN 2079-0392.
10. Сай В.М., Сизый С.В. Математическая модель региональной планетарной структуры управления железнодорожным транспортом/Организационно-экономические проблемы транспорта в условиях реформирования: сб. тр. «Фундаментальные и прикладные исследования транспорта»; Вып. 20 (102). — Екатеринбург : УрГУПС, 2002. — С. 372–391.
11. Филлипс Д. Методы анализа сетей/Д. Филлипс, А. Гарсиа-Диаз. — М. : Мир, 1984. — 496 с.
12. Сай В.М., Сизый С.В. Геометрические характеристики организационных сетей//Мир транспорта, 2010. № 4 (32). — С. 10–17. ISSN 1992-3252.
13. Сизый С.В., Маевский В.В. Геометрическая прочность сетей. Признаки и показатели надежности сетевых структур//Транспорт, наука, техника, управление, 2010. — № 11. — С. 13–20.
14. Сай В.М., Сизый С.В. Организационные структуры как мультиоператорные сети. Задачи прочности и устойчивости//Транспорт Урала, 2009. № 2 (21). С. 5–9. ISSN 1815-9400.
15. Сизый С.В. Устойчивость и стабильность предприятий в организационных сетях//Вестник РГУПС, 2010. № 3. — С. 122–127. ISSN 0201-7272.

References

1. Shutyuk S. V., Say V. M. Modelirovaniye otsenki vzaimodeystviya kompanii «Rossiyskiye zheleznye dorogi» s subyektami Rossiyskoy Federatsii/Monografiya [Modelling the assessment of interaction between Russian Railways and Russian Federation constituent entities. Monograph]. Ekaterinburg : UrGUPS, 2005. S. 140. ISSN 0236-1914.
2. Say V. M., Shutyuk S. V. Modelirovaniye kompleksnoy sistemy vzaimootnosheniy kompanii «Rossiyskiye Zheleznye dorogi» s regionami [Modelling the complex system of interrelations between Russian Railways and regions]//Transport Urala, 2004. № 1. S. 11–16. ISSN 1815-9400.
3. Say V. M., Shutyuk S. V., Afanasyeva N. A. Metodologicheskiye podkhody modelirovaniya vzaimootnoscheniy kompanii «Rossiyskiye zheleznye dorogi» s regionami [Methodological approaches to modelling interrelations between Russian Railways and regions]//Transport, nauka, tekhnika, upravleniye. M. : VINITI RAN, 2004. № 12. S. 12–15. ISBN 5-902928-06-0.
4. Say V. M., Shutyuk S. V. Integrirovanny koeffitsient effektivnosti serii proyektov pri odnovernennom vzaimodeystvii ОАО «RZhD» s ryadom regionalnykh khozyastvuyuschikh subyektov [Integrated efficiency coefficient of a series of designs in case of simultaneous interaction between JSC RZD and a number of regional economic entities]//Transport Urala, 2005. № 1 (5). S. 11–6. ISSN 1815-9400.
5. Say V. M., Sizyi S. V., Shutyuk S. V. Analiz vyrazitelnykh vozmozhnostey metodiki formirovaniya koeffitsientov sostoyatelnosti regionov [Analyzing expression possibilities of the method for generating regions' coefficients of consistence]//Transport: nauka, tekhnika, upravleniye. 2006. № 11. S. 7–12. ISSN 0236-1914.
6. Shutyuk S. V., Say V. M., Afanasyeva N. A. Matematicheskaya model soglasovaniya program razvitiya ОАО «RZhD» v regione i subyektah RF [Mathematical model for coordination of development programs of JSC RZD in the region and RF constituent entities] Ekonomika zheleznykh dorog. 2005. № 12. S. 18.

7. Say V.M., Sizyi S.V., Afanasyeva N.A. Soglasovaniye programm razvitiya OAO «RZhD» s regionalnymi programmami razvitiya transportnoy infrastruktury [Coordinating development programs of JSC RZD with regional development programs of transport infrastructure] Transport Urala. 2010. № 1. S. 13–16.
8. Say V.M., Shutyuk S.V. Metodika formirovaniya koeffitsientov i sposob otsenki aprior-noy sostoyatel'nosti regiona [Method for generating coefficients and assessing the region's a priori consistence] Transport Urala. 2008. № 3. S. 2–12.
9. Say V.M., Shutyuk S.V. Metodika formirovaniya koeffitsientov i sposob otsenki aprior-noy sostoyatel'nosti regiona [Method for generating coefficients and assessing the region's a priori consistence] Transport Urala. 2005. № 3. S. 2–12.
10. Say V.M., Sizy S.V. Matematicheskaya model regionalnoj planetarnoy struktury upravleni-ja zheleznodorozhnym transportom [Mathematical model of regional planetary structure of railway transport management]/Organizatsionno-ekonomicheskie problemy transporta v usloviyakh reformirovaniya: sb. tr. Fundamentalnye i prikladnye issledovaniya transportu: — Vyp. 20 (102). — Ekaterinburg : UrGUPS. — 2002. — S. 372–391.
11. Fillips D. Metody analiza setej [Methods of networks' analysis]/D. Fillips, A. Garsia-Di-as. — M. : Mir, 1984. — 496 s.
12. Say V.M., Sizy S.V. Geometricheskie kharakteristiki organizatsionnykh setej. [Geomet-rical characteristics of organizational networks]/Mir transporta. 2010, № 4 (32). — S. 10–17. ISSN 1992-3252.
13. Sizy S.V., Maevskij V.V. Geometricheskaya prochnost setej. Priznaki i pokazateli nade-zhnosti setevykh struktur. [Networks' geometrical durability]/Transport, nauka, tekhnika, upravlenie. — 2010. — № 11. — S.13–20.
14. Say V.M., Sizy S.V. Organizatsionnye struktury kak multioperatornye seti. Zadachi proch-nosti i ustojchivosti. [Organizational structures as multioperational network. Durability and sustainability tasks]/Transport Urala. 2009. № 2 (21). S. 5–9. ISSN 1815-9400.
15. Sizy S.V. Ustojchivost i stabilnost predpriyatij v organizatsionnykh setjakh [Steadiness and stability of enterprises in organizational networks]/Vestnik RGUPS, — 2010, — № 3, — S.122–127. ISSN 0201-7272.

Статья сдана в редакцию 19 августа 2012 года

Д. И. Кочнева

Моделирование продолжительности нахождения контейнера в региональной контейнерной транспортно-логистической системе

UDC 656.078.8

D. I. Kochneva

Modelling duration of container stay in the regional container transport & logistic system

Аннотация

Представлена методика прогнозирования времени нахождения контейнера в региональной контейнерной транспортно-логистической системе с учетом объемов контейнерооборота в системе пропускной способности терминальной инфраструктуры, а также альтернативных способов организации движения контейнеропотока.

Представлены выражения для расчета длительности отдельных операций по переработке контейнеров на терминалах системы с учетом времени ожидания грузовых операций. В качестве математического аппарата для разработки методики использованы элементы теории систем массового обслуживания.

Использование данной методики позволяет выявлять зависимости времени оборота контейнера от различных организационных и технических параметров функционирования региональной контейнерной транспортно-логистической системы, что является основой для принятия управленческих решений.

Ключевые слова:

транспортно-логистическая система, контейнерные перевозки, оборот контейнера, прогнозирование.

Аннотация

A method is given for forecasting the time of container stay in the regional container transport & logistic system with account of the container turnover volumes in the system, terminal infrastructure capacity, as well as alternative methods of container flow organization.

Formulas are given to calculate the duration of single operations in container handling at the system terminals with account of time of waiting for cargo operations. The mathematical apparatus for method development includes elements of the mass service system theory.

This method allows revealing dependencies of the time of container turnover on various organizational and technical parameters of functioning of the regional container transport & logistic system, which is a basis for making management decisions.

Key words:

transport & logistic system, container shipping, container turnover, forecasting.

Дарья Ивановна Кочнева, аспирант; кафедра «Мировая экономика и логистика» Уральского государственного университета путей сообщения; Екатеринбург, Россия. E-mail: dana_rich@mail.ru.

Daria Ivanovna Kochneva, Postgraduate; Logistics and World Economy Chair of Ural State University of Railway Transport; Ekaterinburg, Russia. E-mail: dana_rich@mail.ru.

Основной тенденцией в развитии мирового и отечественного транспорта является быстрый рост контейнерных перевозок, которые в максимальной степени соответствуют требованиям рыночной экономики. Преимуществами контейнеризации является снижение общих транспортных издержек, повышение сохранности перевозимых грузов, а также обеспечение логистического сервиса по принципу «от двери до двери» [1].

В ходе структурной реформы железнодорожного транспорта созданы условия для развития рынка контейнерных перевозок, вместе с тем большие размеры страны, разнообразие природных, ресурсных, экономических, производственных условий обуславливают необходимость анализа рынка контейнерных перевозок на уровне региона.

Множество компаний, осуществляющих деятельность по организации контейнерных перевозок на территории региона, а также технические средства и объекты транспортной инфраструктуры в совокупности образуют систему.

Опираясь на определения «система», приведенные в [2–3], исследования в области транспортной логистики [4–5] и сетевого организационного дизайна [6–8] введем понятие «региональная контейнерная транспортно-логистическая система» (РКТЛС). РКТЛС — совокупность взаимодействующих хозяйствующих субъектов, совместно участвующих в продвижении генерируемых в регионе, поступающих в регион и транзитных контейнеропотоков и представляющих собой интегрированную организационную сеть.

Авторское графоаналитическое представление региональной контейнерной транспортно-логистической системы приведено в работе [9].

В настоящей работе процесс функционирования РКТЛС рассматривается на примере Екатеринбургского железнодорожного узла.

Важнейшим показателем эффективности функционирования региональной контейнерной транспортно-логистической системы является время нахождения контейнера регионе — от момента его прибытия до момента отправления. Данный промежуток времени составляет значительную часть полного цикла оборота контейнера. Поэтому ускорение контейнерного потока в рамках отдельного региона оказывает прямое влияние на повышение эффективности контейнерных перевозок страны.

Время нахождения контейнера в РКТЛС зависит от объемов контейнерооборота в системе, пропускной способности терминальной инфраструктуры, а также логистической цепи движения контейнеропотока в системе.

Под логистической цепью движения контейнеропотока будем понимать множество линейно упорядоченных звеньев, осуществляющих переработку контейнеропотока в рамках региональной системы (рис. 1).

Введем обозначения.

Пусть $u, u + 1 \dots U$ — номера обрабатываемых системой потоков контейнеров; $v, v + 1 \dots V$ — номера терминалов принимающих контейнеры к обработке; $i, i + 1 \dots N$ — номера альтернативных логистических цепей по организации движения контейнера в рамках РКТЛС.

Среднее время нахождения каждого u -го контейнера в системе рассчитывается как средневзвешенное время нахождения контейнера в каждой логистической цепочке:

$$t_{\text{сист}}^u = \sum_{i=1}^N t_i^u \cdot \omega_i^u,$$

где t_i^u — время прохождения u -го типа контейнера по i -й логистической цепи; ω_i^u — доля совокупного потока u -го типа, проходящего по i -й логистической цепи.

Время нахождения контейнера в логистической цепи складывается из составляющих:

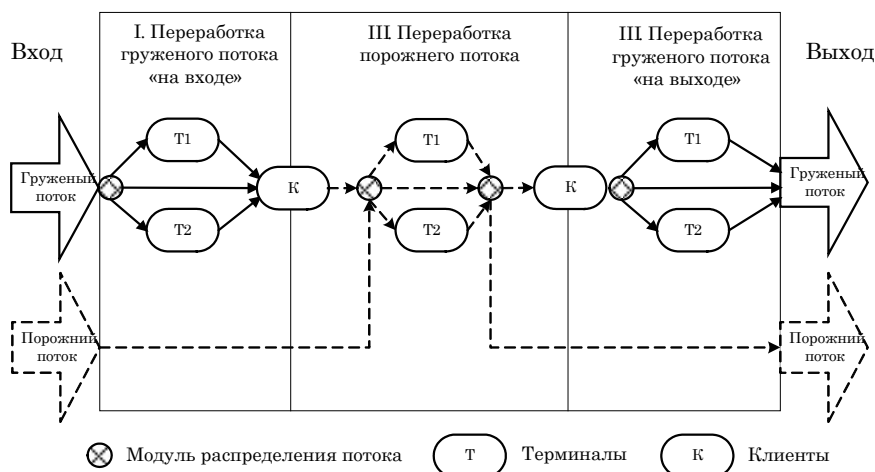


Рис. 1. Движение контейнеропотока в рамках РКТЛС

$$t_i^u = t_{\text{пр.}}^u + t_{\text{пер.}}^{uv} + t_{\text{кл.}}^u + t_{\text{отпр.}}^u,$$

где $t_{\text{пр.}}^u$ — время на операции, связанные с прибытием контейнера на станцию до момента его подачи на контейнерный терминал, ч; $t_{\text{пер.}}^{uv}$ — время на операции по переработке контейнера на терминалах системы, ч; $t_{\text{кл.}}^u$ — время нахождения контейнера под операциями у клиентов, ч; $t_{\text{отпр.}}^u$ — время на операции, связанные с отправлением контейнера со станции, ч.

Величины $t_{\text{пр.}}^u$, $t_{\text{отпр.}}^u$, $t_{\text{кл.}}^u$ не зависят от пропускной способности терминальной инфраструктуры; для их моделирования воспользуемся выражениями, полученными на основе статистических испытаний [9].

Время на осуществление каждой операции по переработке контейнера в логистической цепи складывается из двух составляющих: время ожидания контейнером операции и время осуществления операции с контейнером.

Время осуществления грузовой операции с контейнером $t_{\text{г.о.}}^{uv}$ для каждого v -го терминала нормируется и зависит от производительности механизмов терминала. Время ожидания контейнером операции $t_{\text{ож.}}^{uv}$ вычисляется на основе методов теории систем массового обслуживания.

Среднее время ожидания контейнера в очереди рассчитывается по формуле Литтла:

$$t_{\text{ож.}} = \frac{q_{\text{оч.}}}{q_{\text{вых.}}},$$

где $q_{\text{оч.}}$ — средняя очередь контейнеров в ожидании обслуживания; $q_{\text{вых.}}$ — средняя интенсивность обслуживания.

Предполагается, что объем поступления контейнеров в очередь $q_{\text{вх.}}$ и объем выбытия контейнеров из очереди $q_{\text{вых.}}$ в среднем равны. Очередь возникает в связи с неравномерностью поступления и выбытия контейнеров в течение времени.

Имитационная модель РКТЛС, представленная в работах [10, 11], позволяет анализировать накопление очереди на терминалах в суточном разрезе. Однако для более точного вычисления длины очереди требуется учитывать неравномерность обслуживания и режим работы терминала течение суток.

Введем параметры: $p_{\text{вх.},r}$ — вероятность поступления заявки в очередь в r -й час в течение суток; $p_{\text{вых.},r}$ — вероятность выбытия заявки из очереди в r -й час в течение суток.

Тогда в общем виде выражение для вычисления среднечасовой длины очереди примет вид

$$q_{оч} = \frac{\sum_{r=1}^{24} (\Delta q_{r-1} + q_{вх} p_{вхr} - q_{вых} p_{выхr})}{24},$$

где Δq_r — количество контейнеров в очереди в r -й час в течение суток.

Рассмотрим порядок вычисления продолжительности операций составляющих время переработки контейнеров в системе:

$$t_{пер.}^{uv} = t_{выгр.}^{uv} + t_{выв.}^{uv} + t_{пор.}^{uv} + t_{под.}^{uv} + t_{гр.}^{uv} + t_{погр.}^{uv},$$

где $t_{выгр.}^{uv}$ — время нахождения контейнера под операциями выгрузки на терминал, ч; $t_{выв.}^{uv}$ — время нахождения контейнера на терминале от момента выгрузки до вывоза грузополучателем, ч; $t_{пор.}^{uv}$ — время выгрузки порожнего контейнера с транспорта клиента, ч; $t_{под.}^{uv}$ — время подачи порожнего контейнера клиентам под погрузку, ч; $t_{гр.}^{uv}$ — время выгрузки груженого контейнера с транспорта клиента, ч; $t_{погр.}^{uv}$ — время нахождения контейнера под операциями погрузки на железнодорожный транспорт, ч.

Среднее время нахождения груженого контейнера под операциями выгрузки:

$$t_{выгр.}^{uv} = t_{о.в.}^{uv} + t_{г.о.}^{uv},$$

где $t_{о.в.}^{uv}$ — время нахождения контейнера на вагоне в ожидании выгрузки, ч;

$$t_{о.в.}^{uv} = \frac{q_{оч}^{uv}}{N_{ч}^{uv}},$$

$N_{ч}^{uv}$ — среднечасовой объем выгрузки груженных контейнеров на терминал; $q_{о.в.}^{uv}$ — среднечасовая длина очереди контейнеров к выгрузке на терминал.

$$q_{о.в.}^v = \frac{1}{24} \times \sum_{h=1}^{H^v} \sum_{r=1+I(h-1)}^{Ih} (\Delta Q_{r-1}^v + \frac{Q_{сут}^v}{I^v} - p_{жд,r}^v N_{сут}^v),$$

где ΔQ_r^v — длина очереди груженных контейнеров в ожидании выгрузки в r -й час в течение суток, $\Delta Q_0^v = \Delta Q_{сут}^v$;

$Q_{сут}^v$ — среднесуточное число контейнеров, поступающих на терминал под выгрузку; $N_{сут}^v$ — среднесуточный объем выгрузки контейнеров; H^v — число подач вагонов с контейнерами на выгрузочные пути терминала; I — интервал времени между подачами контейнеров, час; $p_{жд,r}^v$ — вероятность погрузки/выгрузки контейнера с железнодорожного транспорта в r -й час в течение суток.

Аналогично рассчитывается среднее время выгрузки порожних контейнеров, прибывших железной дорогой ($t_{выгр.п}^{uv}$).

Среднее время нахождения контейнера на терминале от момента выгрузки до вывоза грузополучателем, ч:

$$t_{выв.}^{uv} = t_{о.выв.}^{uv} + t_{г.о.}^{uv},$$

где $t_{о.выв.}^{uv}$ — среднее время ожидания контейнером вывоза, ч;

$$t_{о.выв.}^v = \frac{q_{о.выв}^v}{R_{ч}^v},$$

где $R_{ч}^v$ — средний объем вывоза контейнеров, конт./ч; $q_{о.выв}^v$ — среднее число груженных контейнеров, ожидающих вывоза на контейнерных площадках, конт./ч.

$$q_{о.выв}^v = \frac{1}{24} \times$$

$$\times \sum_{r=1}^{24} (\Delta N_{r-1}^v + N_{сут}^v p_{жд,r}^v - R_{сут}^v p_{кл,r}^v),$$

где ΔN_r^v — средняя очередь контейнеров к вывозу в r -й час, $\Delta N_0^v = \Delta N_{сут}^v$; $R_{сут}^v$ — среднесуточный объем вывоза контейнеров; $p_{кл,r}^v$ — вероятность обслуживания клиента в r -й час в течение суток.

Среднее время выгрузки на терминал освободившегося порожнего контейнера с автотранспорта:

$$t_{пор.}^{uv} = t_{о.пор.}^{uv} + t_{г.о.}^{uv},$$

где $t_{о.пор.}^{uv}$ — среднее время нахождения порожнего контейнера на автотранспорте в ожидании выгрузки, ч,

$$t_{\text{о.пор}}^{uv} = \frac{q_{\text{о.пор}}^{uv}}{Y_{\text{ч}}^{uv}},$$

где $Y_{\text{ч}}^{uv}$ — средний объем выгрузки порожних контейнеров с автотранспорта, конт./ч; $q_{\text{о.пор}}^{uv}$ — среднее число порожних контейнеров на автотранспорте, ожидающих выгрузки, конт.-ч.

$$q_{\text{о.пор}}^{uv} = \frac{1}{24} \times \sum_{r=1}^{24} (\Delta G_r^{uv} + G_{\text{сут}}^{uv} p_{\text{авт.г}}^v - Y_{\text{сут}}^{uv} p_{\text{кл.г}}^v),$$

где ΔG_r^{uv} — средняя длина очереди контейнеров на автотранспорте в r -й час, $\Delta G_0^{uv} = \Delta G_{\text{сут}}^{uv}$; $G_{\text{сут}}^{uv}$ — среднесуточный объем возврата порожних контейнеров на терминал; $p_{\text{авт.г}}^v$ — вероятность подачи автотранспорта в r -й час в течение суток.

Среднее время подачи порожних контейнеров под погрузку:

$$t_{\text{под}}^{uv} = t_{\text{о.под}}^{uv} + t_{\text{г.о.}}^{uv},$$

где $t_{\text{о.под}}^{uv}$ — среднее время ожидания контейнером подачи под погрузку, ч;

$$t_{\text{о.под}}^{uv} = \frac{q_{\text{о.под}}^{uv}}{K_{\text{ч}}^{uv} + C_{\text{ч}}^{uv}},$$

где $K_{\text{ч}}^{uv}$ — средний объем подачи порожних контейнеров под погрузку клиентам, конт./ч; $C_{\text{ч}}^{uv}$ — средний объем выбытия порожних контейнеров из системы, конт./ч; $q_{\text{о.под}}^{uv}$ — среднее число порожних контейнеров на терминале, ожидающих подачи под погрузку, конт.-ч.

$$q_{\text{о.под}}^{uv} = \frac{1}{24} \sum_{r=1}^{24} (\Delta A_r^{uv} + Y_{\text{сут}}^{uv} p_{\text{кл.г}}^v + H_{\text{сут}}^{uv} p_{\text{жд.г}}^v - K_{\text{сут}}^{uv} p_{\text{кл.г}}^v - C_{\text{сут}}^{uv} p_{\text{жд.г}}^v),$$

где ΔA_r^{uv} — среднее число порожних контейнеров на терминале в r -й час, $\Delta A_0^{uv} = \Delta A_{\text{сут}}^{uv}$; $H_{\text{сут}}^{uv}$ — среднесуточный объем выбытия порожних контейнеров в другие регионы.

Среднее время выгрузки груженых контейнеров на терминал с транспорта клиентов:

$$t_{\text{гр.}}^{uv} = t_{\text{о.гр.}}^{uv} + t_{\text{г.о.}}^{uv},$$

где $t_{\text{о.гр.}}^{uv}$ — среднее время нахождения груженого контейнера на автотранспорте, в ожидании выгрузки, ч.

$$t_{\text{о.гр.}}^{uv} = \frac{q_{\text{о.гр.}}^{uv}}{M_{\text{ч}}^{uv}},$$

где $M_{\text{ч}}^{uv}$ — средний объем выгрузки груженых контейнеров с автотранспорта, конт./ч; $q_{\text{о.гр.}}^{uv}$ — среднее число груженых контейнеров на автотранспорте, ожидающих выгрузки, конт.-ч.

$$q_{\text{о.гр.}}^{uv} = \frac{1}{24} \sum_{r=1}^{24} (\Delta S_r^{uv} + S_{\text{сут}}^{uv} p_{\text{авт.г}}^v - M_{\text{сут}}^{uv} p_{\text{кл.г}}^v),$$

где ΔS_r^{uv} — средняя очередь груженых контейнеров, ожидающих выгрузку с автотранспорта в r -й час, $\Delta S_0^{uv} = \Delta S_{\text{сут}}^{uv}$; $S_{\text{сут}}^{uv}$ — среднесуточный объем возврата груженых контейнеров на терминал.

Среднее время погрузки груженых контейнеров в вагоны:

$$t_{\text{погр.}}^{uv} = t_{\text{о.погр.}}^{uv} + t_{\text{г.о.}}^{uv},$$

где $t_{\text{о.погр.}}^{uv}$ — среднее время ожидания контейнером погрузки на терминале, ч.

$$t_{\text{о.погр.}}^{uv} = \frac{q_{\text{о.погр.}}^{uv}}{L_{\text{ч}}^{uv}},$$

где $L_{\text{ч}}^{uv}$ — средний объем погрузки груженых контейнеров в вагоны, конт./ч, определяется на основе данных имитационной модели РКТЛС; $q_{\text{о.погр.}}^{uv}$ — среднее число груженых контейнеров на терминале, ожидающих погрузки, конт.-ч;

$$q_{\text{о.погр.}}^{uv} = \frac{1}{24} \sum_{r=1}^{24} (\Delta B_r^{uv} + M_{\text{сут}}^{uv} p_{\text{кл.г}}^v - L_{\text{сут}}^{uv} p_{\text{кл.г}}^v),$$

где ΔB_r^{uv} — среднее число контейнеров к погрузке на терминале в r -й час, $\Delta B_0^{uv} = \Delta B_{\text{сут}}^{uv}$.

Аналогично рассчитывается среднее время погрузки порожних контейнеров на железнодорожный транспорт ($t_{\text{погр.п}}^{uv}$).

Время осуществления грузовой операции с контейнером $t_{г.о.}^{uv}$ нормируется для каждого u -го терминала и зависит от производительности погрузочных механизмов.

Величины $Q_{сут}^v$, $\Delta Q_{сут}^v$, $N_{сут}^v$, $\Delta N_{сут}^v$, $R_{сут}^v$, $G_{сут}^{uv}$, $\Delta G_{сут}^{uv}$, $Y_{сут}^{uv}$, $H_{сут}^{uv}$, $K_{сут}^{uv}$, $C_{сут}^{uv}$, $\Delta A_{сут}^{uv}$, $M_{сут}^{uv}$, $S_{сут}^{uv}$, $\Delta S_{сут}^{uv}$, $L_{сут}^{uv}$, $\Delta B_{сут}^{uv}$ рас-

считываются по алгоритмам имитационной модели РКГЛС [10, 11].

Значения вероятностей $p_{жд,r}^v$, $p_{кл,r}^v$, $p_{авт,r}^v$ определяются на основе анализа статистики терминалов.

На рис. 2–4 представлены данные о работе терминала «ТрансКонтейнер» на станции Екатеринбург-Товарный в течение суток.

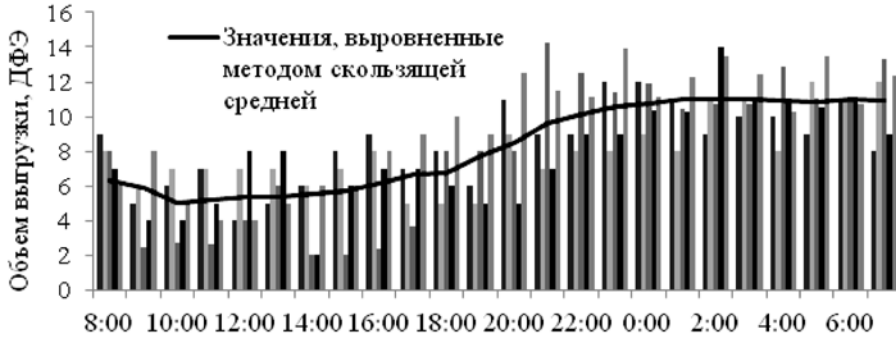


Рис. 2. Распределение работы по выгрузке контейнеров в течение суток на терминале «ТрансКонтейнер»

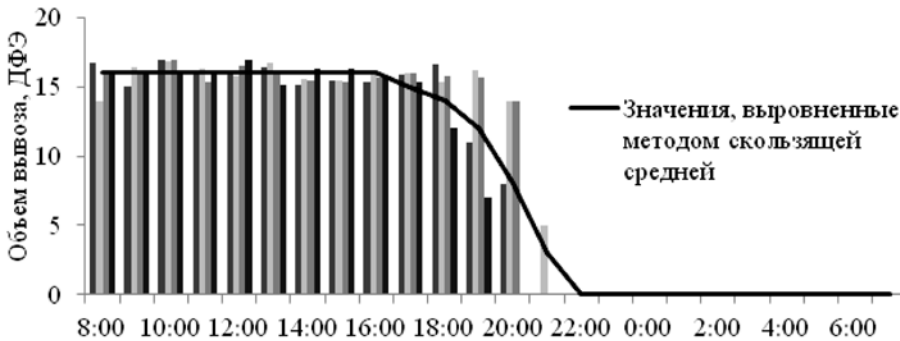


Рис. 3. Распределение работы по обслуживанию клиентов в течение суток на терминале «ТрансКонтейнер»

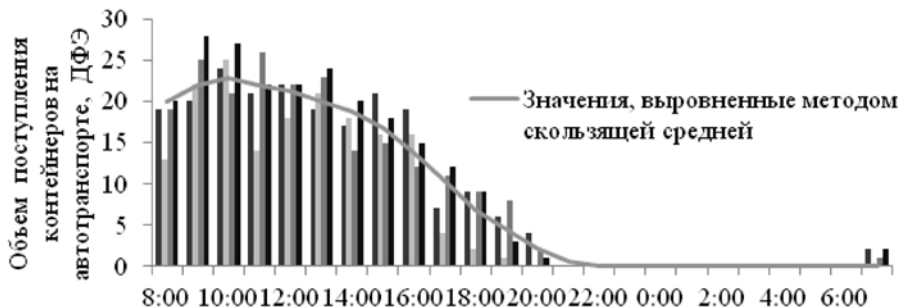


Рис. 4. Распределение подачи автотранспорта на терминал «ТрансКонтейнер» в течение суток

Для других терминалов примем равномерный режим работы в течение смены.

На основе приведенных данных установим следующие средние значения вероятностей (таблица 1).

Таблица 1

Средние значения параметров

$$P_{\text{жд.г}}^v, P_{\text{кл.г}}^v, P_{\text{авт.г}}^v$$

г	Время	$P_{\text{жд.г}}^v$		$P_{\text{кл.г}}^v$		$P_{\text{авт.г}}^v$	
		терминал «Транс-Контейнер»	другие терминалы	терминал «Транс-Контейнер»	другие терминалы	терминал «Транс-Контейнер»	другие терминалы
1	8:00	0,03	0,08	0,08	0,08	0,10	0,08
2	9:00	0,03	0,08	0,08	0,08	0,11	0,08
3	10:00	0,03	0,08	0,08	0,08	0,11	0,08
4	11:00	0,03	0,08	0,08	0,08	0,11	0,08
5	12:00	0,03	0,08	0,08	0,08	0,10	0,08
6	13:00	0,03	0,08	0,08	0,08	0,10	0,08
7	14:00	0,03	0,08	0,08	0,08	0,09	0,08
8	15:00	0,03	0,08	0,08	0,08	0,08	0,08
9	16:00	0,03	0,08	0,08	0,08	0,07	0,08
10	17:00	0,03	0,08	0,08	0,08	0,05	0,08
11	18:00	0,03	0,08	0,07	0,08	0,03	0,08
12	19:00	0,04	0,08	0,06	0,08	0,02	0,08
13	20:00	0,04	0	0,04	0	0,01	0
14	21:00	0,05	0	0,02	0	0,00	0
15	22:00	0,05	0	0,00	0	0,00	0
16	23:00	0,05	0	0,00	0	0,00	0
17	0:00	0,05	0	0,00	0	0,00	0

г	Время	$P_{\text{жд.г}}^v$		$P_{\text{кл.г}}^v$		$P_{\text{авт.г}}^v$	
		терминал «Транс-Контейнер»	другие терминалы	терминал «Транс-Контейнер»	другие терминалы	терминал «Транс-Контейнер»	другие терминалы
18	1:00	0,06	0	0,00	0	0,00	0
19	2:00	0,06	0	0,00	0	0,00	0
20	3:00	0,06	0	0,00	0	0,00	0
21	4:00	0,05	0	0,00	0	0,00	0
22	5:00	0,05	0	0,00	0	0,00	0
23	6:00	0,06	0	0,00	0	0,00	0
24	7:00	0,06	0	0,00	0	0,00	0

Таким образом, разработана методика прогнозирования времени нахождения контейнера в региональной контейнерной транспортно-логистической системе с учетом объемов контейнерооборота в системе, пропускной способности терминальной инфраструктуры, а также альтернативных способов организации движения контейнеропотока. Использование данной методики совместно с имитационной моделью движения контейнеропотока, представленной в [11], дает возможность нахождения зависимостей времени оборота контейнера от различных организационных и технических параметров функционирования РКТЛС, что является основой для принятия управленческих решений.

Литература

1. Москвичев О. В. Кластерная политика в повышении конкурентоспособности контейнерно-транспортной системы страны // Транспорт: наука, техника, управление, 2009. № 1. С. 31–33. ISSN 0236-1914.
2. Садовский В. Н. Системный анализ в экономике и организации производства / Под ред. С. А. Валуева, В. Н. Волкова, А. П. Градова и др. — Л. : Политехника, 1991. 398 с.
3. Спицнадель В. Н. Основы системного анализа: учеб. пособие. — СПб : «Изд. дом «Бизнес-пресса», 2000. 326 с.
4. Леонтьев Р. Г. Введение в аксиоматику транспортной логистики. — Хабаровск: Изд-во Тихоокеан. гос. ун-та, 2007. 58 с. ISBN 978-5-7389-0544-5.
5. Николашин В. М. Логистические транспортно-грузовые системы. — М. : Изд. центр «Академия», 2003. 304 с. ISBN 5-7695-1085-4.
6. Сай В. М., Сизый С. В. Организационные структуры как мультиоператорные сети. Задачи прочности и устойчивости // Транспорт Урала, 2009. № 2. С. 5–8. ISSN 1815-9400.
7. Сай В. М. Методология построения сетевых организационных структур на железнодорожном транспорте // Дисс. на соиск. уч. степени д-ра техн. наук / Екатеринбург, 2003.

8. Сай В.М., Сизый С.В., Вихарев С.В., Варанкина К.А. Организация содержания транспортной инфраструктуры в сетях с разделенными интересами с применением математической теории автоматов//Вестник УрГУПС, 2009. № 3. С. 42–53. ISSN 2079-0392.
9. Югова Д.И. Моделирование продолжительности логистических цепей при организации контейнерных перевозок//Вестник УрГУПС, 2010, № 4. С. 72–81. ISSN 2079-0392.
10. Югова Д.И., Сизый С.В., Сай В.М. Имитационная модель контейнерного терминала — элемента региональной транспортно-логистической сети//Транспорт Урала. 2011. № 2 (29). С. 31–38. ISSN 1815-9400.
11. Кочнева Д.И., Сай В.М. Имитационная модель региональной контейнерной транспортно-логистической системы//Вестник РГУПС, 2012. № 1. С. 143–152. ISSN 0201-727X.

References

1. Moskvichev O.V. Klasternaya politika v povyshenii konkurentosposobnost konteinerно-transportnoi sistemy strany [Cluster policy in competitive recovery of country's container transport system]//Transport: nauka, tekhnika, upravleniye, 2009. № 1. S. 31–33. ISSN 0236-1914
2. Sadovsky V.N. Sistemnyy analiz v ekonomike i organizatsii proizvodstva [System analysis in economics and organization of production]/Pod. red. [Ed. by] S.A. Valuyeva, V.N. Volkova, A.P. Gradova etc. — L. : Politehnika, 1991. 398 s.
3. Spitsnadel V.N. Osnovy sistemnogo analiza [System analysis basics]: ucheb. posobiye. — SPb : Izd. dom Bizness-prensa, 2000. 326 s.
4. Leontyev R.G. Vvedeniye v aksiomatiku transportnoy logistiki [Introduction to axiomatics of transport logistics]. — Khabarovsk : Izd-vo Tikhookean. gos. un-ta, 2007. 58 s ISBN 978-5-7389-0544-5.
5. Nikolashin V.M. Logisticheskiye transportno-gruzovyye sistemy [Logistic transport cargo systems]. — M. : Izd. centr Akademiya, 2003. 304 s ISBN 5-7695-1085-4.
6. Say V.M., Sizi S.V. Organizatsionnyye struktury kak multioperatornyye seti. Zadachi prochnosti i ustoychivosti [Organizational structures as multioperator networks. Strength and stability problems]//Transport Urala, 2009. № 2. S. 5–8 ISSN 1815-9400.
7. Say V.M. Metodologiya postroyeniya setevykh organizatsionnykh struktur na zheleznodorozhnom transporte [Methods of making network organizational structures on railway transport]//Diss. ... na soisk. uch. stepeni d-ra tekhn. nauk/Ekaterinburg, 2003.
8. Say V.M., Sizi S.V., Vikharev, K.A. Varankina. Organizatsiya transportnoy infrastruktury v setyakh s razdelennymi interesami s primeneniem matematicheskoy teorii avtomatov [Organizing maintenance of transport infrastructure in networks with separated interests using the mathematical automata theory]//Vestnik UrGUPS, 2009. № 3. S. 42–53. ISSN 2079-0392
9. Yugova D.I. Modelirovaniye prodolzhitelnosti logisticheskikh tsepej pri organizatsii kontejnernykh perevozok [Modeling logistic chains length when organizing container transportation]// Vestnik UrGUPS, 2009. № 3. S. 42–53. ISSN 2079-0392.
10. Yugova D.I., Sizi S.V., Say V.M. Imitatsionnaya model kontejnernogo terminala — elementa regionalnoy transportno-logisticheskoy seti [Simulation model of container terminal as an element of regional transportation logistic network]// Transport Urala. 2011. № 2 (29). S. 31–38. ISSN 1815-9400.
11. Kochneva D.I., Say V.M. Imitatsionnaya model regionalnoy kontejnernoy transportno-logisticheskoy sistemy [Simulation model of regional container transportation and logistic system]// Vestnik RGUPS, 2012. № 1. S. 143–152. ISSN 0201-727X.

Статья сдана в редакцию 4 августа 2012 года

М. А. Журавская, Р. Р. Горяев, П. А. Парсюрова

Моделирование логистической цепи поставок в условиях неопределенности

UDC 656.073

M. A. Zhuravskaya, R. R. Goryaev, P. A. Parsyurova

Modelling the logistical supply chain in conditions of indeterminacy

Аннотация

Предложен метод для практической логистики при моделировании логистических цепей поставок в условиях, когда неизвестны точные сроки выполнения операций в различных звеньях этой цепи, но известен временной диапазон. Для разработки всех возможных вариантов доставки грузов рассмотрена концептуальная постановка задачи планирования и управления логистической цепью на основе теории графов, преобразованных в дерево решений. Выбор оптимального маршрута доставки затруднен тем, что время выполнения логистических операций заранее неизвестно и зависит от случайных факторов, а также тем, что время доставки груза — не единственный критерий для выбора оптимального варианта. Разработанный оригинальный метод сочетает решение многокритериальной задачи с определением компромиссной точки для всего временного диапазона конкретной цепи поставок. В результате выполнения работы определена оптимальная логистическая цепь, учитывающая как неопределенность по времени, так и стоимостные затраты в каждом звене цепи.

Ключевые слова:

моделирование, оптимизация, логистическая цепь, управление цепями поставок, многокритериальный подход.

Abstract

A method is offered for practical logistics during modelling logistic supply chains in conditions of unknown exact operation deadlines for various chain links but with known time range. To elaborate all possible cargo delivery options, it is considered a conceptual setting of the problem of logistic chain planning and control based on the theory of graphs transformed into a solution tree. Selection of the optimal delivery route is complicated by the fact that the time of logistic operation fulfilment is not known in advance and depends on random factors, as well as by the fact that cargo delivery time is not the sole criterion for selecting the optimal option. The elaborated original method combines the solution of a multiobjective problem with determination of a set-off point for the whole time range of the specific supply chain. Fulfilment of the work allowed determining the optimal logistic chain accounting for both the time indeterminacy and expenses in each chain link.

Key words:

modelling, optimization, logistic chain, supply chain management, multiobjective approach.

Марина Аркадьевна Журавская, канд. техн. наук, доцент; кафедра «Управление эксплуатационной работой» Уральского государственного университета путей сообщения, Екатеринбург, Россия. E-mail: MZhuravskaya@usurt.ru.

Руслан Рафкатович Горяев, аспирант; кафедра «Станции, узлы и грузовая работа» Уральского государственного университета путей сообщения, Екатеринбург, Россия. E-mail: RRGoryaev@mail.ru.

Полина Александровна Парсюрова, студент; кафедра «Управление эксплуатационной работой» Уральского государственного университета путей сообщения, Екатеринбург, Россия. E-mail: PParsyurova@usurt.ru.

Marina Arkadyevna Zhuravskaya, PhD in Engineering, Assistant Professor; Logistics and World Economy Chair of Ural State University of Railway Transport; Ekaterinburg, Russia. E-mail: MZhuravskaya@usurt.ru.

Ruslan Rafkatovitch Goryaev, Postgraduate; Stations, Junctions and Freight Work Chair of Ural State University of Railway Transport; Ekaterinburg, Russia. E-mail: RRGoryaev@mail.ru.

Polina Alexandrovna Parsyurova, Engineer; Logistics and World Economy Chair of Ural State University of Railway Transport; Ekaterinburg, Russia. E-mail: PParsyurova@usurt.ru.

Работа выполнена при поддержке РФФИ (грант № 11–07–00245).

Современное состояние развития логистических цепей (ЛЦ) поставок часто требует принятия управленческих решений в условиях неопределенности. Это задачи, в которых формат оптимизационной модели предполагает, что необходимые для принятия решения статистические данные отсутствуют или имеются существенный разброс в данных, что вызывает недоверие к получаемым на их основе рекомендациям [1].

В настоящей статье предложен оригинальный метод для логистов-практиков по выбору оптимального варианта принятия решения при моделировании ЛЦ поставок в условиях неопределенности.

Как правило, в любой торговой сделке участвует несколько посредников, но особенно много участников в международной сделке, где работает до двух десятков посредников: экспортеры, импортеры, транспортные, агентские, экспедиторские и страховые компании, банки, оптовые торговые посредники и др. При этом используется до 40 видов документов, создание которых связано с большими трудозатратами. Большинство отечественных и зарубежных компаний, работающих на российском рынке, закрыты для внешней среды и других членов цепей поставок. Коммерческая тайна окружает почти каждую компанию. Фокусная компания и остальные участники цепи поставок выступают по отношению друг к другу своеобразными чёрными ящиками — известны лишь тарифы на услуги и некоторые параметры сервиса, объявляемые открыто. Для того чтобы эффективно планировать и управлять цепью поставок, этого явно недостаточно. Выбор пути доставки груза представляет собой задачу со многими неизвестными [2].

Для доставки груза необходимо выполнить физико-географическое линейное перемещение груза и «точечное» транспортно-экспедиционное обслуживание, состоящее из сложных и трудоёмких операций: груз

подготавливается к отправке и грузится в транспортное средство, переваливается с одного вида транспорта на другой, если требуется — хранится на складе, выгружается из транспортного средства и, наконец, сдаётся получателю. Одновременно выполняются требования различных государственных служб, инспекций и санитарно-экологического контроля [3].

Ужесточение требований клиентов к временным параметрам и надёжности доставки грузов потребовали от экспедиторских компаний отказаться от традиционной схемы перевозки грузов каждым видом транспорта изолированно друг от друга и перейти к интегрированным логистическим технологиям доставки. Нами проведена работа по созданию и оптимизации цепи поставок на примере доставки оборудования из Китая в Екатеринбург в условиях неопределённости по времени оказания услуг различными участниками процесса. В качестве объекта исследования выбрано направление г. Чунцзын (Китай) — Екатеринбург (Россия) [4].

Для разработки всех возможных вариантов доставки оборудования по маршруту Китай — Екатеринбург рассмотрена концептуальная постановка задачи планирования и управления логистической цепью.

Пусть логистическая цепь состоит из множества $B = \{B_\mu, \mu \in M\}$ предприятий, в рамках которых выполняется множество операций $E = \{E_j, j \in L\}$. Тогда для элементов множеств B и E используем понятие «компетенция», под которой будем понимать пару (B_μ, E_j) , то есть если μ -предприятие может выполнять j -операцию, то оно обладает компетенцией $k_{\mu j}$. Каждая компетенция характеризуется такими свойствами, как доступные производственные мощности $\chi_{\mu j}(t)$ на каждом из интервалов времени t , стоимость выполнения работы $c_{\mu j}$.

Моделью логистической цепи будет ориентированный граф, в котором вершины являются компетенциями предприятий, а рёбрами

обозначены технологические связи между ними [5].

Представим перечень всех альтернативных решений задачи разработки возможных маршрутов из Китая в Екатеринбург в виде ориентированного графа (рис. 1).

Применение различных вычислений, производимых на графе, позволяет найти кратчайший путь и спланировать оптимальный маршрут. Достоинство метода графов состоит в возможности описания в наглядной графической форме сложных алгоритмов управления, обладающих параллелизмом.

Однако в теории графов существуют ограничения и недостатки. В частности, параллельные процессы в большинстве случаев должны быть синхронизированы, а для многих алгоритмов управления этого не требуется. Позиции графов операций рекомендуется пометать только теми значениями выходных переменных, которые изменяются в соответствующей позиции. Применение умолчаний затрудняет чтение алгоритма и анализа всех его функциональных возможностей.

Поиск пути по графу сводится к поиску кратчайшего пути; цель же данной статьи — рассмотрение всех возможных вариантов доставки. Поэтому граф преобразуется в дерево решений (метод дерева возможностей или метод дерева альтернатив). Идея метода — в расщеплении вершин; ветви дерева решений, растущие из одного корня, не пересекаются.

Тогда задача составления плана ЛЦ состоит из двух этапов. На первом для каждой технологической операции каждого отдельного заказа определяются возможные исполнители работы (то есть формируется множество альтернативных вариантов логистических цепей). На втором оцениваются альтернативные варианты логистических цепей с учетом соответствия требованиям заказчика по срокам и стоимости работ.

Из множества оставшихся вариантов ЛЦ выбирается единственный на основе многокритериального подхода, при котором находится решение, наилучшим образом приближающееся в пространстве критериев к множеству несовместимых оп-

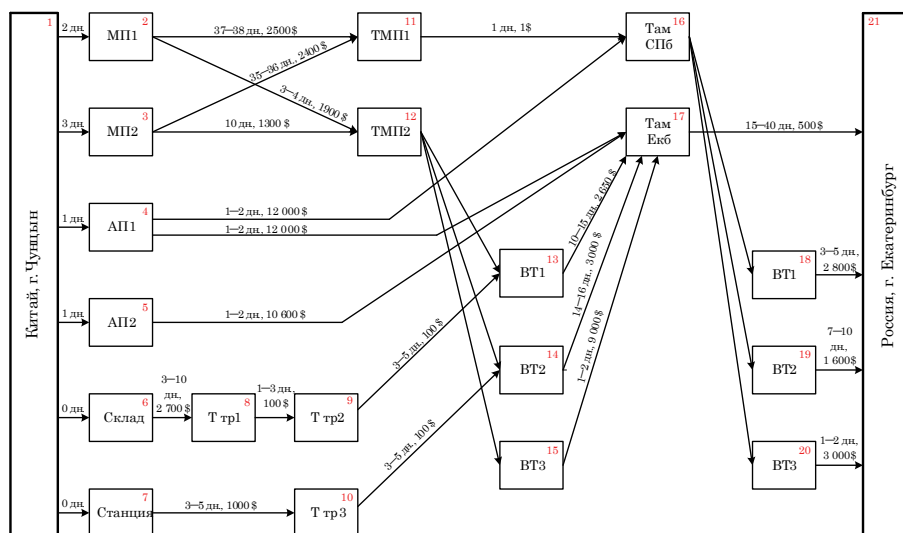


Рис. 1. Возможные варианты доставки оборудования из Китая в Екатеринбург

МП — морской порт; АП — аэропорт; Т тр — транзитная таможенная служба; ТМП — транзитный морской порт; ВТ — вид транспорта; Там. СПб — таможня Санкт-Петербурга; Там. Екб — таможня Екатеринбурга

тимумов частных критериев (метод идеальной точки) [6]. При этом в качестве компромиссной точки $A_{\text{ком}}^{\text{ид}}$ целесообразно принять решение, минимизирующее сумму квадратов относительных отклонений целевых функций от своих достижимых индивидуальных оптимальных значений

$$A_{\text{ком}}^{\text{ид}} = \left\{ \min_{A_i} \left[\sum_{j=1}^k \left(\frac{F_j(A_i) - F_j}{F_j} \right)^2 \right] \right\}, \quad (1)$$

где A_i — множество допустимых значений оптимизируемых параметров; $i = 1, \dots, n$ — количество оптимизируемых параметров; $j = 1, \dots, k$ — количество критериев оптимальности; $F_j(A_i)$ — допустимые значения критериев оптимальности; F_j — индивидуальные оптимальные значения критериев.

Минимизация суммы квадратов относительных отклонений функционалов позволяет эффективно решать задачу в случае, когда критерии оптимальности имеют разную размерность.

В результате решения данной задачи управленческое решение об оптимальных технико-технологических параметрах ЛЦ принимается с учетом данных двух критериев оптимальности: стоимость доставки и время.

Результат планирования работ — это нахождение ЛЦ для каждого из заказов клиентов, однако трудность заключается в том, что временной разброс оказался значителен, а выбор ЛЦ при разных затратах времени не однозначен. Задача выбора оптимальной цепи поставок в данном случае решается полным перебором и оценкой всех возможных вариантов доставки и выполняется на ЭВМ методами математического программирования. Однако в реальных условиях лицу, принимающему решение, необходимо реагировать на ситуацию быстро, и данный метод может оказаться неприемлемым, так как число возможных

вариантов по мере увеличения временного диапазона, а с ним и трудоёмкость решения растут по экспоненте. Гораздо менее трудоёмок субоптимальный (близкий к оптимальному) метод выбора ЛЦ. Этот метод эффективен для решения больших практических задач. Он не обеспечивает отыскания оптимального решения, однако даёт хорошие, близкие к оптимальным результаты при невысокой сложности вычислений.

Для снабжения практической логистики простым и при этом адекватным алгоритмом принятия управленческого решения авторами настоящей статьи разработан оригинальный метод, сочетающий определение компромиссной точки при решении многокритериальной задачи в трех точках: минимальной, максимальной и средней, по аналогии расчета площади криволинейной трапеции по формуле Симпсона.

На примере поставки оборудования из Китая в Екатеринбург, где фактор времени нечётко определён и задан в виде диапазона, проведен численный эксперимент. По всем возможным вариантам доставки оборудования были собраны необходимые для исследования данные: время доставки и стоимость перевозки на каждом этапе в отдельности. Решение многокритериальной задачи выполнено на основе использования формулы (1). Результаты численного эксперимента приведены в таблицах 1–4, где рассчитаны временные затраты t_i и стоимость доставки груза c_i в каждом звене ЛЦ. Всего разработано 19 вариантов, 9 из которых проложены через таможню Санкт-Петербурга — звено № 16, а 10 — через таможню Екатеринбурга — звено № 17 (рис. 1). Поскольку время выполнения операций в различных звеньях логистической цепи сильно варьирует (таможенные процедуры в Екатеринбурге составляют 15–40 дн.), то принятие управленческого решения приравнивается к условиям неопределенности и требу-

ет построения имитационной модели с большим объемом вычислений [7, 8], что далеко не всегда возможно на практике. А это негативно влия-

ет на оперативность и точность решения ответственного за ЛЦ лица.

Чтобы не проводить вычисления для каждого отдельного значения

Таблица 1

Результаты вычислений при минимальных значениях времени

№ в-та	Звенья в ЛЦ							t_i	$t_i - t_{\min}$	$A(t_i)$	c_i	$c_i - c_{\min}$	$A(c_i)$	$A_{\text{ком}}$
1	1	2	11	16	18	21	0	53	40	0,57	5801	1351	0,05	0,62
2	1	2	11	16	19	21	0	57	44	0,60	4601	151	0,00	0,60
3	1	2	11	16	20	21	0	51	38	0,56	6001	1551	0,07	0,62
4	1	2	12	13	17	21	0	30	17	0,32	5050	600	0,01	0,34
5	1	2	12	14	17	21	0	34	21	0,38	5400	950	0,03	0,41
6	1	2	12	15	17	21	0	21	8	0,15	11410	6960	0,37	0,52
7	1	3	11	16	18	21	0	52	39	0,56	5701	1251	0,05	0,61
8	1	3	11	16	19	21	0	56	43	0,59	4501	51	0,00	0,59
9	1	3	11	16	20	21	0	50	37	0,55	5901	1451	0,06	0,61
10	1	3	12	13	17	21	0	38	25	0,43	4450	0	0,00	0,43
11	1	3	12	14	17	21	0	42	29	0,48	4800	350	0,01	0,48
12	1	3	12	15	17	21	0	29	16	0,30	10810	6360	0,35	0,65
13	1	4	16	18	21	0	0	15	2	0,02	15300	10850	0,50	0,52
14	1	4	16	19	21	0	0	19	6	0,10	14100	9650	0,47	0,57
15	1	4	16	20	21	0	0	13	0	0,00	15500	11050	0,51	0,51
16	1	4	17	21	0	0	0	17	4	0,06	12500	8050	0,41	0,47
17	1	5	17	21	0	0	0	17	4	0,06	11100	6650	0,36	0,41
18	1	6	8	9	13	17	21	32	19	0,35	6050	1600	0,07	0,42
19	1	7	10	14	17	21	0	35	22	0,40	4600	150	0,00	0,40

Таблица 2

Результаты вычислений при средних значениях времени

№ в-та	Звенья в ЛЦ							t_i	$t_i - t_{\min}$	$A(t_i)$	c_i	$c_i - c_{\min}$	$A(c_i)$	$A_{\text{ком}}$
1	1	2	11	16	18	21	0	58,5	43	0,54	5801	1351	0,05	0,59
2	1	2	11	16	19	21	0	62	46,5	0,56	4601	151	0,00	0,56
3	1	2	11	16	20	21	0	54,5	39	0,51	6001	1551	0,07	0,58
4	1	2	12	13	17	21	0	48	32,5	0,46	5050	600	0,01	0,47
5	1	2	12	14	17	21	0	48	32,5	0,46	5400	950	0,03	0,49
6	1	2	12	15	17	21	0	34,5	19	0,30	11410	6960	0,37	0,68
7	1	3	11	16	18	21	0	57,5	42	0,53	5701	1251	0,05	0,58
8	1	3	11	16	19	21	0	61	45,5	0,56	4501	51	0,00	0,56
9	1	3	11	16	20	21	0	53,5	38	0,50	5901	1451	0,06	0,56
10	1	3	12	13	17	21	0	55,5	40	0,52	4450	0	0,00	0,52
11	1	3	12	14	17	21	0	55,5	40	0,52	4800	350	0,01	0,52
12	1	3	12	15	17	21	0	42	26,5	0,40	10810	6360	0,35	0,74
13	1	4	16	18	21	0	0	19,5	4	0,04	15300	10850	0,50	0,54
14	1	4	16	19	21	0	0	23	7,5	0,11	14100	9650	0,47	0,57
15	1	4	16	20	21	0	0	15,5	0	0,00	15500	11050	0,51	0,51
16	1	4	17	21	0	0	0	30	14,5	0,23	12500	8050	0,41	0,65
17	1	5	17	21	0	0	0	30	14,5	0,23	11100	6650	0,36	0,59
18	1	6	8	9	13	17	21	55	39,5	0,52	6050	1600	0,07	0,59
19	1	7	10	14	17	21	0	50,5	35	0,48	4600	150	0,00	0,48

Таблица 3

Результаты вычислений при максимальных значениях времени

№ в-та	Звенья в ЛЦ							t_i	$t_i - t_{\min}$	$A(t_i)$	c_i	$c_i - c_{\min}$	$A(c_i)$	$A_{\text{ком}}$
1	1	2	11	16	18	21	0	64	46	0,52	5801	1351	0,05	0,57
2	1	2	11	16	19	21	0	67	49	0,53	4601	151	0,00	0,54
3	1	2	11	16	20	21	0	58	40	0,48	6001	1551	0,07	0,54
4	1	2	12	13	17	21	0	66	48	0,53	5050	600	0,01	0,54
5	1	2	12	14	17	21	0	62	44	0,50	5400	950	0,03	0,53
6	1	2	12	15	17	21	0	48	30	0,39	11410	6960	0,37	0,76
7	1	3	11	16	18	21	0	63	45	0,51	5701	1251	0,05	0,56
8	1	3	11	16	19	21	0	66	48	0,53	4501	51	0,00	0,53
9	1	3	11	16	20	21	0	57	39	0,47	5901	1451	0,06	0,53
10	1	3	12	13	17	21	0	73	55	0,57	4450	0	0,00	0,57
11	1	3	12	14	17	21	0	69	51	0,55	4800	350	0,01	0,55
12	1	3	12	15	17	21	0	55	37	0,45	10810	6360	0,35	0,80
13	1	4	16	18	21	0	0	24	6	0,06	15300	10850	0,50	0,57
14	1	4	16	19	21	0	0	27	9	0,11	14100	9650	0,47	0,58
15	1	4	16	20	21	0	0	18	0	0,00	15500	11050	0,51	0,51
16	1	4	17	21	0	0	0	43	25	0,34	12500	8050	0,41	0,75
17	1	5	17	21	0	0	0	43	25	0,34	11100	6650	0,36	0,70
18	1	6	8	9	13	17	21	78	60	0,59	6050	1600	0,07	0,66
19	1	7	10	14	17	21	0	66	48	0,53	4600	150	0,00	0,53

времени, авторами предложено выполнить расчёт при трёх значениях времени: минимальном (таблица 1), среднем (таблица 2) и максимальном (таблица 3). Шрифтовым выделением в таблицах показаны ЛЦ с минимальной суммой квадратов относительных отклонений целевых функций.

Так, при минимальных и средних значениях времени лучшим оказался вариант № 4.

При максимальных значениях времени лучшим оказался вариант № 15. В итоге для выбора оптимальной ЛЦ воспользуемся формулой — вариантом метода взвешенного скользящего среднего, позволяющей учитывать функцию времени в точках минимума, среднего значения и максимума:

$$A_{\text{ид}} = \frac{A(t^{\min}) + 4A(t^{\text{cp}}) + A(t^{\max})}{6}. \quad (2)$$

Схожий поиск решений возникает при построении интерполяционного сплайна и приближённого вы-

числения определенного интеграла (таблица 4).

Оптимальная цепь, согласно формуле (2), имеет минимальное значение $A_{\text{ид}}$. В результате вычислений такой ЛЦ стала цепь, состоящая из морского и автомобильного плеча (вариант № 4 — в таблице 4 выделена жирным). На втором месте оказалось два варианта — № 5 и № 19, оба из которых используют железнодорожный транспорт (в таблице 4 — курсивное выделение).

Все три маршрута (рис. 2) проходят через таможенную Екатеринбурга, поставщики же оборудования наставляли на поставках через таможенную Санкт-Петербурга, мотивируя это тем, что время на таможенные процедуры в Екатеринбурге значительно и занимает до 40 дн. Однако модель не показывает никаких преимуществ Санкт-Петербурга.

В результате выполнения работы определена оптимальная логистическая цепь, учитывающая неопределенность по времени. Стоимость

Таблица 4

Результаты вычислений по формуле (2)

№ в-та	Звенья в ЛЦ							$A(t^{max})$	$A(t^{min})$	$A(t^{cp})$	$A_{нд}$	
1	1	2	11	16	18	21	0	0,62	0,57	0,59	0,60	
2	1	2	11	16	19	21	0	0,60	0,54	0,56	0,56	
3	1	2	11	16	20	21	0	0,62	0,54	0,58	0,58	
4	1	2	12	13	17	21	0	0,34	0,54	0,47	0,46	1
5	1	2	12	14	17	21	0	0,41	0,53	0,49	0,48	2
6	1	2	12	15	17	21	0	0,52	0,76	0,68	0,66	
7	1	3	11	16	18	21	0	0,61	0,56	0,58	0,58	
8	1	3	11	16	19	21	0	0,59	0,53	0,56	0,56	
9	1	3	11	16	20	21	0	0,61	0,53	0,56	0,57	
10	1	3	12	13	17	21	0	0,43	0,57	0,52	0,51	
11	1	3	12	14	17	21	0	0,48	0,55	0,52	0,52	
12	1	3	12	15	17	21	0	0,65	0,80	0,74	0,74	
13	1	4	16	18	21	0	0	0,52	0,57	0,54	0,54	
14	1	4	16	19	21	0	0	0,57	0,58	0,57	0,57	
15	1	4	16	20	21	0	0	0,51	0,51	0,51	0,51	
16	1	4	17	21	0	0	0	0,47	0,75	0,65	0,64	
17	1	5	17	21	0	0	0	0,41	0,70	0,59	0,58	
18	1	6	8	9	13	17	21	0,42	0,66	0,59	0,57	
19	1	7	10	14	17	21	0	0,40	0,53	0,48	0,48	2

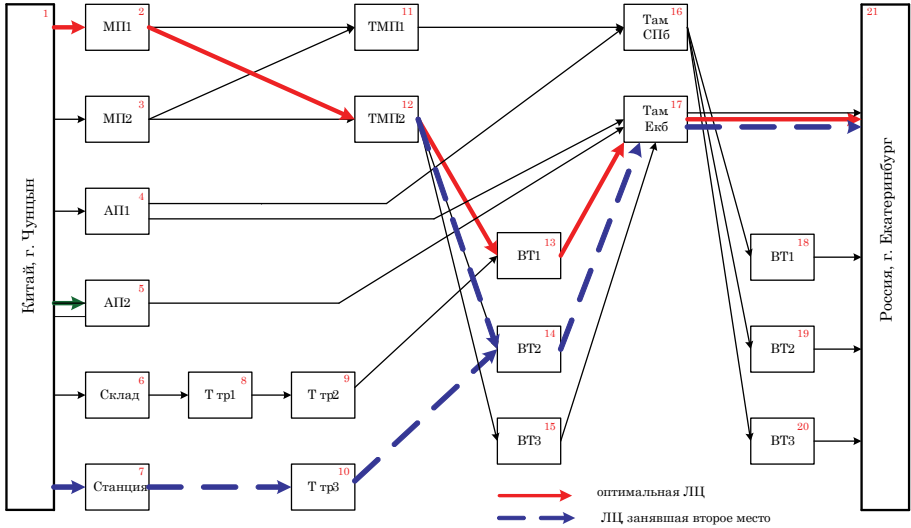


Рис. 2. Оптимальная логистическая цепь при поставке оборудования из Китая в Екатеринбург

доставки груза в этой цепи составит 5050 \$, временные затраты составляют от 30 до 66 дн. В ходе выполнения работы сделан вывод, что подвергать таможенной очистке груз целесообразно в Екатеринбурге, а не в Санкт-Петербурге, как настаивали поставщики.

Необходимо отметить, что метод прошёл проверку на нескольких конкретных задачах, положительно зарекомендовал себя в области практической логистики и может быть использован при моделировании ЛЦП в условиях, когда не известны чёткие

сроки выполнения операций в отдельных звеньях цепи.

Концепция управления цепями поставок — это резерв улучшения бизнеса российских компаний и повышения их конкурентоспособности. Прделанная работа направлена на формирование научно-прикладно-

го потенциала логистики и управления цепями поставок — одной из перспективных задач развития транспортного бизнеса. Следует отметить, что выбор схемы принятия решения носит творческий характер и должен учитывать конкретные особенности моделирования реального объекта.

Литература

1. Бродецкий Г.Л. системный анализ в логистике: выбор в условиях неопределенности: учеб. для студ. учреждений высш. проф. образования/Г.Л. Бродецкий. — М.: Издательский центр «Академия», 2010. — 336 с. ISBN 978-5-7695-5972-3.
2. Сергеев В.И. Управление цепями поставок в России — миф или реальность//Логистика и управление цепями поставок. 2004. № 1 (1). С. 14–33. ISSN 1727-6349.
3. Клименко В.В. Операционная интеграция в логистических центрах//Логистика и управление цепями поставок. 2011. № 1 (42). С. 49–54. ISSN 1727-6349.
4. Журавская М.А., Горяев Р.Р., Парскурова П.А. Моделирование и оптимизация логистической транспортной цепи на примере поставки оборудования из Китая в Екатеринбург//Транспорт XXI века: исследования, инновации, инфраструктура: Матер. научн.-техн. конф., посв. 55-летию УрГУПС. Екатеринбург, 2011. — Вып. 97 (180). — Т. 1. — С. 985–994.
5. Иванов Д.А. Логистика. Стратегическая кооперация. М. : Вершина, 2006. 176 с. ISBN 5-9626-0022-3.
6. Логистические транспортно-грузовые системы: учебник для студ. высш. учеб. заведений/В.И. Апатцев, С.Б. Лёвин, В.М. Николашин и др.; Под ред. В.М. Николашина. М. : Издательский центр «Академия», 2003. 304 с. ISBN 5-7695-1085-4.
7. Кочнева (Югова) Д.И. Моделирование продолжительности логистических цепей при организации контейнерных перевозок//Вестник УрГУПС. 2010. № 4. — С. 72–81. ISSN 2079-0392.
8. Кочнева (Югова) Д.И., Сизый С.В., Сай В.М. Имитационная модель контейнерного терминала — элемента региональной транспортно-логистической цепи//Транспорт Урала. 2011. № 2 (29). С. 31–38. ISSN 1815-9400.

References

1. Brodetsky G. L. Sistemny analiz v logistike: vybor v usloviyakh neopredelennosti [System analysis in logistics: selection in conditions of indeterminacy]: ucheb. dlya stud. uchrezhdeniy vyssh. prof. obrazovaniya/G. L. Brodetsky. — M.: Izd. centr Akademiya, 2010. — 336 s. ISBN 978-5-7695-5972-3.
2. Sergeyev V. I. Upravleniye tsepyami postavok v Rossii — mif ili realnost [Supply chain control in Russia — myth or reality]//Logistika i upravleniye tsepyami postavok, 2004. № 1 (1). S. 14–33. ISSN 1727-6349.
3. Klimenko V. V. Operatsionnaya integratsiya v logisticheskikh tsentrakh [Operations integration in logistic centres]//Logistika i upravleniye tsepyami postavok, 2011. № 1 (42). S. 49–54. ISSN 1727-6349.
4. Zhuravskaya M. A., Goryaev R. R., Parsyurova P. A. Modelirovaniye i optimizatsiya logisticheskoy transportnoy tsepi na primere postavki oborudovaniya iz Kitaya v Ekaterinburg [Modelling and optimizing the logistic transport chain by the example of equipment supply from China to Ekaterinburg]//Transport XXI veka: issledovaniya, innovatsii, infrastruktura: Mater. nauchn.-tekhn. conf., posv. 55-letiyu UrGUPS. Ekaterinburg, 2011. — Vyp. 97 (180). — T. 1. — S. 985–994.
5. Ivanov D. A. Logistika. Strategicheskaya kooperatsiya [Logistics. Strategic cooperation]. M.: Vershina, 2006. 176 s. ISBN 5-9626-0022-3.
6. Logisticheskiye transportno-gruzovyye sistemy [Logistic transport cargo systems]: uchebnyk dlya stud. vyssh. ucheb. zavedeniy/V. I. Apatsev, S. B. Lyovin, V. M. Nikolashin etc; Pod. red. [ed. by] V. M. Nikolashina. M.: Izdatelsky centr Akademiya, 2003. 304 s. ISBN 5-7695-1085-4.
7. Kochneva D. I. Modelirovaniye prodolzhitelnosti logisticheskikh tsepey pri organizatsii konteynernykh perevozok [Modelling logistic chain duration when organizing container carriage]//Vestnik UrGUPS, 2010. № 4. — S. 72–81. ISSN 2079-0392.

К. В. Корсаков, Е. В. Щелконогова

Виктимологическая профилактика преступлений, совершаемых на транспорте, в условиях предкриминальных ситуаций

UDC 300-399-34

K. V. Korsakov, E. V. Schelkonogova

Victimologic prevention of crimes on transport in conditions of pre-criminal situations

Аннотация

В статье в рамках современных виктимологических парадигм рассматривается влияние ситуационных предкриминальных факторов на совершение различного типа преступных посягательств на транспорте, а также анализируется виктимное поведение потерпевших от преступлений в условиях предкриминальной ситуации. Приводятся эффективные и результативные в современных общественно-правовых условиях практические способы, средства и мероприятия виктимологической профилактики. В статье даны сведения о качественно-количественных параметрах и показателях преступности на транспорте в настоящее время.

Автором с опорой на уголовно-правовые статистические данные и полученные в ходе криминологического мониторинга результаты аргументируются и обосновываются предложения и рекомендации, направленные на дальнейшее совершенствование действующего российского законодательства в сфере криминологической и виктимологической профилактики преступных проявлений на транспорте.

Ключевые слова:

безопасность транспортной инфраструктуры; преступления на транспорте; предкриминальная ситуация; личность потерпевшего; виктимологическая профилактика.

Abstract

The article uses the framework of modern victimologic paradigms to consider the impact of pre-criminal factors on perpetration of various criminal assaults on transport, as well as to analyze victim behaviour of the offence victims in conditions of pre-criminal situation. Practical methods, means and activities of victimologic prevention, efficient and successful in the contemporary social and legal conditions, are given. The article gives up-to-date data on qualitative and quantitative parameters and crime rates on transport.

The author draws criminal and legal statistical data and results obtained during criminological monitoring to prove and justify the suggestions and recommendations aimed at further improving the effective Russian laws on criminological and victimologic prevention of criminal offences on transport.

Key words:

safety of transport infrastructure; crimes on transport; pre-criminal situation; victim's identity; victimologic prevention.

Константин Викторович Корсаков, канд. юрид. наук, доцент; кафедра уголовного права Уральской государственной юридической академии; Екатеринбург, Россия. E-mail: ural-criminology1@rambler.ru.

Елена Владимировна Щелконогова, аспирант; кафедра уголовного права Уральской государственной юридической академии; Екатеринбург, Россия. E-mail: ural-criminology2@rambler.ru.

Konstantin Viktorovitch Korsakov, PhD in Law, Assistant Professor; Criminal Law Chair of Ural State Law Academy; Ekaterinburg, Russia. E-mail: ural-criminology1@rambler.ru.

Elena Vladimirovna Schelkonogova, Postgraduate; Criminal Law Chair of Ural State Law Academy; Ekaterinburg, Russia. E-mail: ural-criminology2@rambler.ru.

Общеизвестно, что транспорт наряду с другими инфраструктурными отраслями обеспечивает базовые условия жизнедеятельности любого общества, являясь важным инструментом в деле достижения социальных, экономических и политических целей. Транспортные артерии и коммуникации представляют собой не только отрасль хозяйства, обеспечивающую перемещение грузов и пассажиров, но и целостную межотраслевую систему, значительно влияющую на современные условия жизнедеятельности и благосостояния.

В настоящее время явственно обозначилась системообразующая роль транспорта и взаимозависимость задач его развития с приоритетами социально-экономических преобразований. Начиная с 2000 года в Российской Федерации рост транспортных услуг в сфере пассажирских перевозок в среднем за год составил 6,7%; вместе с тем уровень криминальной безопасности на общественном транспорте по данным криминологического мониторинга по-прежнему остается низким [1]. Об этом, в частности, свидетельствуют результаты специального социологического опроса, проведенного в ноябре 2011 года Всероссийским центром изучения общественного мнения (ВЦИОМ).

Российским респондентам задавался вопрос: «Опасаетесь ли вы других пассажиров (совершения краж, насильственных посягательств и иных преступлений с их стороны), пользуясь общественным транспортом?» Опрос выявил, что наиболее уязвимыми с точки зрения совершения преступлений другими пассажирами являются автобусы (22 %) и электропоезда (18%).

Полученные эмпирические сведения говорят о том, что указанные виды транспорта отличаются повышенной криминогенностью, и прежде всего потому, что в силу большого скопления людей, их постоянного транзитного перемещения

и замкнутого пространства формируют весьма благоприятную обстановку для совершения преступных посягательств. Указанные факторы и детерминанты влияют на возникновение на общественном транспорте таких ситуаций, которые оказывают прямое и непосредственное воздействие на механизм принятия решений и поведение потенциального преступника.

При уголовно-правовом анализе и криминологическом постижении любого преступления нельзя рассматривать поведение преступника в отрыве от той конкретной жизненной ситуации, в которой он находится и действует. Рассматривая и изучая любой преступный акт, мы не можем правильно оценить его в юридическом отношении и социально-психологическом плане до тех пор, пока не рассмотрим самым подробным образом все внутренние взаимосвязи обстоятельств и предпосылок, которые в своей совокупности сделали возможным совершение наказуемого деяния, так или иначе повлияли на результаты преступной деятельности, определили как решимость преступника преступить закон, так и мотивацию его противоправного поведения.

Следует отметить, что предкриминальная ситуация в рамках процесса детерминации может играть как роль причины, так и роль условия, способствующего совершению преступления. Ситуация, в которой совершается преступление, играет центральную, основополагающую роль в формировании предпосылок преступного поведения. При этом «давление» ситуации на делинквента, по нашему мнению, корректнее понимать не как динамику, а как статику — некую характеристику ее объективного содержания, выражающую степень психологического воздействия на лицо, включенное в систему составляющих данную ситуацию обстоятельств и воспринимающее и оценивающее их с большей или меньшей адекватностью.

Вопрос о значении и роли предкриминальной ситуации в механизме совершения преступления детально разрабатывался в отечественной науке о преступном поведении такими учеными, как С. П. Алимов, Ю. М. Антонян, В. Н. Кудрявцев, Л. В. Франк. Все они по-разному определяли ситуацию совершения преступления. Академик РАН В. Н. Кудрявцев рассуждал о конкретной жизненной ситуации, как о «событии или состоянии, вызвавшем решимость совершить общественно опасное действие, которое приводит к преступному результату» [2]. Профессор С. Б. Алимов определял ситуацию, как «комплекс объективных конкретных обстоятельств или более общих факторов, являющихся единым объектом индивидуальной оценки оказывающих прямое и целостное влияние на возникновение, форму и динамику поведения» [3].

Вопрос о влиянии криминогенной ситуации на совершение преступления глубоко исследовался и одним из патриархов российской виктимологии профессором Л. В. Франком, который верно заметил, что «объективно существующая ситуация через свои факторы — как криминогенные, так и виктимогенные — влияет на потенциального преступника и жертву, на линии их поведения, на принятие решения» [4].

В отношении преступлений, совершаемых сегодня на транспорте, можно отметить, что жизненная ситуация, обладающая определенной спецификой в силу особенностей транспортной инфраструктуры, оказывает решающее, наиболее сильное влияние на потенциальных преступников даже в тех случаях, если их антиобщественная установка недостаточно сильна для совершения преступления. Предкриминальная ситуация, возникающая на общественном транспорте, проявляет антиобщественную направленность личности, создавая благоприятные условия реализации ею преступных мотивов.

В связи с этим железнодорожные и автовокзалы как места массового скопления людей привлекают к себе большое число различного рода преступников, поэтому считаются зонами повышенного криминального риска, повышающими личностную виктимность, и требуют повышенного контроля со стороны правоохранительных органов.

Юридическая практика показывает, что именно поведение жертвы нередко служит толчком к совершению в отношении нее какого-либо корыстного или насильственного преступления. В частности, противоправные или аморальные действия потерпевшего могут выражаться в нападении, грубом обращении, хамстве, обмане, оскорблении, провокации, подстрекательстве и других подобных действиях, направленных на будущего причинителя вреда и создавших ситуацию, реализовавшуюся в причинении вреда потерпевшему. Одними из наиболее часто совершаемых сегодня на общественном транспорте преступлений являются карманные кражи, квалифицируемые по ч. 2 ст. 158 УК РФ. В таких случаях поведение потерпевших — пассивное, неосмотрительное, самонадеянное, халатное и некритичное — играет главенствующую виктимологическую роль и предопределяет преступные последствия.

Преступным посягательствам, совершающимся на железнодорожном транспорте, железнодорожных вокзалах и автовокзалах, а равно на общественном транспорте в крупных городах, подвергаются абсолютно все категории граждан. Пожилые люди в силу своей доверчивости к людям чаще подвергаются различного рода мошенническим действиям, а молодые и несовершеннолетние граждане — грабегам и разбойным нападениям, причем, как правило, со стороны своих же сверстников. Лица, ведущие асоциальный образ жизни, чаще, чем другие, терпят

вред от насильственных преступлений, а добропорядочные граждане, наоборот, в основном подвергаются тайным хищениям личного имущества и значительно реже — корыстно-насильственным преступлениям, которые преимущественно совершаются в ночное время суток в отношении людей, прибывающих с целью поездки на железнодорожные вокзалы и автовокзалы.

Из-за ежегодного увеличения пассажиропотока динамика преступности, образованной данными преступлениями, характеризуется долговременным движением в сторону увеличения их числа. В последние десять лет ежегодный прирост рассматриваемых нами преступлений составляет примерно 12%. В настоящее время от преступлений, совершаемых на железнодорожных вокзалах, страдают в основном мужчины (63%); женщины чаще всего становятся жертвами не краж, а мошенничества, грабежей и разбойных нападений. Такая тенденция объясняется прежде всего тем, что при совершении мошенничеств, грабежей и разбойных нападений субъекты этих преступлений, как правило, ориентируются на хищение ювелирных изделий и украшений (сережек, цепочек, колец и др.) и дамских сумочек.

Проводившиеся нами криминологические исследования выявили, что транспортные преступления преимущественно совершаются в отношении несовершеннолетних граждан или лиц зрелого возраста (от 36 до 50 лет). При этом самой виктимной является возрастная группа от 36 до 40 лет, представители которой претерпевают вред и ущерб от преступлений почти в каждом пятом случае (около 18% от общей суммы преступлений).

Повышенной виктимностью также обладают возрастные группы от 41 до 45 лет и от 46 до 50 лет, на долю которых в числе всех изученных нами жертв преступлений приходится соответственно 16% и 14%. Большин-

ство таких преступлений совершается в отношении приезжих граждан (в основном из стран Средней Азии), которые в силу различных причин предпочитают не обращаться за помощью в правоохранительные органы или обнаруживающих последствия совершенного в отношении них преступления в то время, когда они уже находятся далеко от места совершения преступного акта.

Ввиду отмеченных обстоятельств существенное значение обретает в текущий момент времени охрана и защита прав граждан, когда они находятся в нестандартных условиях, в непривычной для них обстановке. В этой связи, как нам представляется, в качестве самостоятельного объекта государственно-правового воздействия и, соответственно, в качестве отдельного предмета криминологических исследований должны рассматриваться преступные посяательства на личность и имущество, совершаемые в момент перемещения человека на транспортных средствах по территории государства.

Одним из центральных направлений предупреждения преступности, когда предупредительные усилия направлены не на поведение преступника, а на поведение потенциальной жертвы преступления, является виктимологическая профилактика. Под ней в отечественной виктимологии понимается включенная в общую систему предупреждения преступлений подсистема общесоциальных и специально-криминологических мер, направленных на снижение индивидуальной и массовой виктимности посредством устранения негативных характеристик поведения и нейтрализации предпосылок виктимизации в виде индивидуально-типологических признаков жертвы, а также совокупность мероприятий, обеспечивающих предупреждение вторичной виктимизации жертвы [5].

Виктимологическая профилактика может осуществляться как в отно-

шении общества в целом или отдельных социальных групп (например, с помощью средств массовой информации), так и конкретных, отдельно взятых физических лиц. Все мероприятия, проводимые в настоящее время в рамках виктимологической профилактики, могут быть объединены в две основные группы. К первой группе относятся мероприятия, направленные на устранение ситуаций, чреватых возможностью причинения преступного вреда (например, распространение специальных памяток, извещение граждан о типичных действиях преступников, о необходимых мерах личной безопасности, помощь в защите имущества, проведение разъяснительных бесед, обеспечение порядка в общественных местах и т. д.). Вторую группу составляют меры воздействия на потенциальную жертву преступления для того, чтобы восстановить или же активизировать ее внутренние защитные возможности (ознакомительные беседы, обучение приемам самообороны, оповещение о предстоящих ситуациях, контроль за поведением потенциальной жертвы, ориентирование на поддержание постоянной связи с правоохранительными органами и другие и мн. др.).

Как показывает общемировой опыт, благодаря слаженной, непрерывно проводящейся и полномасштабной виктимологической профилактике преступлений может быть достигнуто значительное снижение уровня преступности на снижение уровня преступности в общественном транспорте. В настоя-

щее время в целях снижения уровня угроз, исходящих от преступных посягательств на транспорте общего пользования, которые направлены прежде всего против собственности, необходимо бесплатно распространять в общественных местах информацию виктимологического характера в виде листовок, памяток, журналов и брошюр о видах и последствиях хищений, о принципах, по которым преступник выбирает свою жертву, о способах выявления и предупреждения преступлений на транспорте и т. п., а также осуществлять быстрое прохождение оперативной информации по схеме «пассажир — полиция». Для этого прежде всего в электропоездах пригородного назначения должна бесперебойно работать система связи внутривагонной радиотрансляции «пассажир — машинист — полиция».

По нашему мнению, в текущее время требуется безотлагательно провести ревизию и упорядочить российское законодательство в сфере профилактики преступных проявлений на транспорте, в особенности — в части виктимологической профилактики: следует четко распределить обязанности по реализации мер виктимологической профилактики между компетентными органами и должностными лицами, а правовым нормам, прямо касающимся средств и мероприятий виктимологической профилактики, следует придать строго императивный характер и обеспечить их соблюдение надзорными функциями и полномочиями судов и транспортной прокуратуры.

Литература

1. Корсаков К. В. Предупреждение преступных деяний корыстной направленности на железнодорожном транспорте в Российской Федерации // Вестник УрГУПС. 2011. № 4. — С. 50. ISSN 2079-0392.
2. Кудрявцев В. Н. Причины конкретного преступления // Советская юстиция. 1970. № 22. — С. 6.
3. Алимов С. П. Ситуация и преступление // Проблемы борьбы с преступностью. Материалы третьей научной конференции аспирантов и соискателей. М., 1968. — С. 14.
4. Франк Л. В. Потерпевшие от преступления и проблемы советской криминологии. Душанбе, 1977. — С. 102.

5. Корсаков К. В. Криминологическое моделирование и язык криминологической науки//Вестник Южно-Уральского государственного университета. Сер.: «Право»; Вып. 7. 2006. № 5.— С. 156. ISSN 1991-9778.

References

1. Korsakov K. V. Preduprezhdeniye prestupnykh deyanii korystnoy napravlenosti na zheleznodorozhnom transporte v Rossiyskoy Federatsii [Preventing lucrative criminal acts on railway transport in the Russian Federation]//Vestnik UrGUPS, 2011. № 4.— S. 50. ISSN 2079-0392.
2. Kudryavtsev V. N. Prichiny konkretnogo prestupleniya [Causes of a specific offence]//Sovetskaya justitsiya, 1970. № 22.— S. 6.
3. Alimov S. P. Situatsiya i prestupleniye [Situation and crime]//Problemy borby s prestupnostyu. Materialy tretyey nauchnoy konferentsii aspirantov i soiskateley. M., 1968.— S. 14.
4. Frank L. V. Poterpevschiye ot prestupleniya i problemy sovetskoy kriminologii [Crime victims and problems of Soviet criminology]. Dushanbe, 1977.— S. 102.
5. Korsakov K. V. Kriminologicheskoye modelirovaniye i yazyk kriminologicheskoy nauki [Criminological modelling and language of criminology]//Vestnik Yuzhno-Uralskogo gosudarstvennogo universiteta. Ser.: Pravo. Vyp. 7. 2006. № 5.— S. 156. ISSN 1991-9778.

Статья сдана в редакцию 16 июля 2012 года

УПРАВЛЕНИЕ. ЭКОНОМИКА

УДК 338.27

А. А. Вовк, С. Н. Остапенко, Ю. А. Вовк

Экономическое обоснование выбора инвестиционных проектов на железнодорожном транспорте

UDC 338.27

A. A. Vovk, S. N. Ostapenko, Yu. A. Vovk

Economic justification of investment project selection on railway transport

Аннотация

Для экономического обоснования выбора варианта инвестиционного проекта вместо расчета показателей эффективности, которой инвестиционный проект как явление не обладает, предлагается на этапе формирования инвестиционной программы оценивать ожидаемое изменение себестоимости единицы продукции с учетом того, что реализация инвестиционного проекта оказывает различное влияние на динамику разных ее частей. На основе ожидаемых темпов роста себестоимости единицы продукции в части издержек на амортизацию (восстановление) в денежной форме средств (с учетом намеченных ко вложению в орудия труда в процессе реализации инвестиционного проекта) и себестоимости единицы продукции в части издержек на наем рабочей силы предлагается рассчитывать по каждому варианту проекта показатель экономической целесообразности его реализации.

Ключевые слова:

инвестиционный проект, себестоимость продукции, амортизация, экономическая целесообразность.

Abstract

For economic justification of the selected option of an investment project, instead of calculating efficiency indicators (the investment project having no efficiency as a phenomenon), it is suggested to assess the anticipated change of product unit cost at the stage of investment program generation, taking into account the fact that investment project implementation exerts different influence on dynamics of its various parts. It is suggested to calculate the indicator of implementation economic feasibility for each project option based on the anticipated rates of product unit cost growth as regards depreciation (recovery) expenses in the monetary form (subject to those planned to be invested into labour instruments during investment project implementation) and product unit cost as regards expenses on hiring of labour.

Key words:

investment project, product costs, depreciation, economic feasibility.

Алексей Александрович Вовк, д-р экон. наук, профессор; кафедра «Бухгалтерский учет и статистика» Московского государственного университета путей сообщения; Москва, Россия. E-mail: alexejvovk@yandex.ru.

Сергей Николаевич Остапенко, инженер путей сообщения; председатель совета директоров компании «Мостгеоцентр»; Москва, Россия.

Юлия Алексеевна Вовк, канд. экон. наук; начальник отдела ОАО «РЖД»; Москва, Россия. E-mail: vovkja@mail.ru.

Alexey Alexandrovich Vovk, DSc in Economics, Professor; Bookkeeping and Statistics Chair of Moscow State University of Railway Transport; Moscow, Russia. E-mail: alexejvovk@yandex.ru.

Sergey Nikolayevitch Ostapenko, Engineer; Chairman of the Board of Directors at Mostgeocenter; Moscow, Russia.

Julia Alexeyevna Vovk, PhD in Economics, Head of JSC RZD Department; Moscow, Russia. E-mail: vovkja@mail.ru.

В различной экономической литературе по вопросам оценки экономической эффективности инвестиций, осуществляемых в форме капитальных вложений, отражен процесс развития научных взглядов на эту сложную проблему. При этом речь об эффективности инвестиций, которые только еще намечено осуществить в форме капитальных вложений, ведется, как правило, в прошедшем времени, то есть так, как будто уже все намеченное осуществлено и эффективность инвестиций оценивается на основе фактических данных. Нигде не оговорено, что это расчеты ожидаемых результатов реализации инвестиционных проектов, оценка возможной экономики и т. д. и т. п.

Другое, не менее важное обстоятельство, а может быть и главное, свойственное многочисленным публикациям на эту актуальную тему, это то, что ставя вопросы оценки эффективности инвестиций, осуществляемых в форме капитальных вложений, авторы упускают из виду, что инвестиции для инвестора это не процесс, а явление, событие. А поскольку инвестиции не процесс, то и свойством эффективности не обладают. Поэтому разговоры об их эффективности не только преждевременны, но и неправомерны вообще. Инвестиционные проекты, осуществляемые в форме капитальных вложений, обладают только свойством создавать условия для повышения эффективности производственной деятельности. Повышение эффективности и создание условий для ее повышения не одно и то же. Только поэтому, не вдаваясь в детали различных методик оценки эффективности инвестиций, осуществляемых в форме капитальных вложений, можно сделать вывод о некорректности постановки такой задачи.

Говоря об инвестиционных проектах, намечаемых к осуществлению в форме капитальных вложений, необходимо акцентировать вни-

мание именно на оценке возможностей, которые могут быть созданы для повышения эффективности производственной деятельности организаций, в которых они реализуются или в организациях смежных отраслей экономики, и оценивать их возможное влияние на динамику эффективности производства.

По нашему мнению, актуальной является задача не оценки эффективности инвестиционных проектов (инвестиций), а оценки условий, которые могут быть созданы ими после реализации для повышения эффективности производственной деятельности. И вот этой проблеме в экономической литературе уделяется крайне мало внимания. Хотя выбор инвестиционных проектов, принимаемых к реализации, следовало бы производить именно с учетом того, какие возможности они создают для повышения эффективности производственной деятельности. Естественно, с экономических позиций следовало бы выбирать те инвестиционные проекты, которые создают условия для большего повышения эффективности производственной деятельности. Однако при реализации инвестиционных проектов могут решаться также и социальные задачи, и поэтому критерии выбора могут быть несколько расширены. Все зависит от конкретной ситуации. Тем не менее позиция авторов заключается в том, что инвестиции, осуществляемые в форме капитальных вложений, наряду с решением других задач обязательно должны создавать условия для повышения эффективности производственной деятельности. Инвестиции, не решающие поставленной задачи, в условиях рыночных отношений бесполезны.

Естественно, возникает вопрос: что же подразумевается под созданием условий для повышения эффективности производства? Нами предлагается под созданием условий для повышения эффективности производства понимать положение

ние, при котором выполнение определенных изменений в элементах производства (орудия труда, предметы труда и рабочей силе) требует еще дополнительных действий (приведения в действие факторов), обеспечивающих реальное повышение эффективности производства. В такую ситуацию вписывается следующее: например, в результате инвестиций, осуществленных в форме капитальных вложений, произведена замена морально устаревших и физически изношенных объектов основных средств на новые современные объекты. Тем самым только созданы условия для повышения производительности труда и снижения себестоимости единицы продукции, поскольку фактического изменения названных показателей еще не произошло. А вот будут ли использованы эти условия или нет, зависит от действий собственника средств производства или нанятых им менеджеров.

Так, чтобы обновление основных средств повысило производительность труда, а собственник средств производства получил экономический эффект в виде прироста прибыли, надо, чтобы были изменены нормы труда и взамен действовавших ранее установлены новые, учитывающие факт обновления основных средств. Если собственник средств производства этого не сделает, то повышение производительности труда может произойти за счет других факторов, например, личного интереса работников в повышении заработной платы, но уже без снижения себестоимости единицы продукции и, соответственно, без прироста прибыли, поскольку рост производительности труда будет сопровождаться пропорциональным ростом заработной платы работников и весь эффект будет получен ими.

Из этого следует, что недостаточно реализовать инвестиционный проект, надо еще осуществить действия, направленные на использование созданных им условий повышения эф-

фективности производственной деятельности. Именно это важное обстоятельство не учитывается, когда ставится задача оценки эффективности инвестиций.

Создание условий для повышения эффективности производства в результате реализации инвестиционных проектов, осуществляемых в форме капитальных вложений, можно оценить на основе возможных темпов роста одного из показателей эффективности производственной деятельности. Ранее нами было обосновано, что система показателей эффективности производственной деятельности включает производительность труда, производительность коллектива организации, себестоимость единицы продукции, отдачу капитала, авансированного в производство по продукции и рентабельность производства [1].

Динамика каждого показателя по-своему отражает влияние реализации инвестиционных проектов. Однако, по нашему мнению, только один из них может быть использован для оценки созданных условий повышения эффективности производственной деятельности. Таким показателем является себестоимость единицы продукции. Наш вывод обусловлен тем, что различные части этого показателя по-разному реагируют на внедрение инвестиционных проектов. Так, себестоимость единицы продукции в части издержек по амортизации (восстановлению) в денежной форме денежных средств, направленных на обновление основных средств, в результате реализации инвестиционного проекта увеличивается. Это происходит потому, что новые объекты основных средств, как правило, дороже тех, которые они заменяют, а рост масштабов производства продукции, как правило, не пропорционален росту издержек по амортизации (восстановлению) в денежной форме денежных средств, вложенных в производство в результате реализации проекта.

Однако инвестиционный проект, который вызывает рост себестоимости единицы продукции, а следовательно, снижение размера прибыли, поскольку продажа продукции производится по тем же ценам, и, в конце концов, рентабельности производства, экономически не выгоден собственнику средств производства. Для собственника экономически целесообразен тот проект, который обеспечивает снижение себестоимости единицы продукции и, следовательно, рост рентабельности производства.

Для того чтобы в сложившейся ситуации снизить себестоимость единицы продукции, собственник средств производства должен предпринять меры для снижения себестоимости единицы продукции в части издержек на наем рабочей силы. Снижение этой части себестоимости должно быть таким, чтобы оно компенсировало увеличение себестоимости единицы продукции в части издержек по амортизации (восстановлению) в денежной форме денежных средств, вложенных в орудия труда. Таким образом, реализация инвестиционного проекта создает условия для снижения себестоимости единицы продукции тем, что позволяет собственнику средств производства изменять нормы труда в сторону их ужесточения, то есть повышать производительную силу труда. И тем самым обеспечивать экономию труда, а следовательно, и экономию оплаты труда, что, в конце концов, выливается в экономию издержек на наем рабочей силы, как известно, складывающихся из фонда заработной платы, отчислений на социальные нужды и прочих издержек на наем рабочей силы (издержек на подготовку кадров, повышение квалификации работников, содержание жилого фонда и т. п.).

Уровень производительной силы труда работников организации характеризует совокупность действующих норм труда. В силу того, что нормы труда образуют непосредственно

несопоставимую совокупность, дать обобщающую характеристику размера этого показателя путем определения его среднего размера невозможно, а можно характеризовать только его динамику, рассчитывая индекс производительной силы труда, порядок расчета которого обоснован в работе [2]. Таким образом, в процессе выбора варианта инвестиционного проекта должно быть определено, в какой мере должна быть повышена производительная сила труда после его реализации, чтобы обеспечить снижение себестоимости единицы продукции в части издержек на наем рабочей силы и себестоимости единицы продукции в целом.

Критерием выбора инвестиционного проекта для реализации является результат сопоставления ожидаемого темпа роста себестоимости единицы продукции организации в части издержек по амортизации (восстановлению) в денежной форме денежных средств, которые намечается вложить в основные средства $I_{Z_a}^Q$ и темпа роста (по существу — снижения) себестоимости единицы продукции в части издержек на наем рабочей силы $I_{Z_{p.c.}}^Q$, который может быть назван показателем степени экономической целесообразности реализации инвестиционного проекта $k_{э.ц.}$:

$$k_{э.ц.} = I_{Z_a}^Q / I_{Z_{p.c.}}^Q \cdot k_{э.ц.} = I_{Z_a}^Q / I_{Z_{p.c.}}^Q.$$

Такое название показателя полностью согласуется с принципами наименования показателей, изложенными в статье [3].

Поскольку первый показатель, в случае его выражения в процентах, больше ста, а второй — меньше ста, то реализация инвестиционного проекта является целесообразной, если показатель экономической целесообразности больше единицы, при условии, что темп роста себестоимости единицы продукции организации меньше ста или степень ее роста меньше единицы ($I_Z^Q 1$). При этом чем показатель экономической

целесообразности больше единицы, тем значительнее должна быть снижена себестоимость единицы продукции в части издержек на наем рабочей силы за счет роста производительной силы труда.

Наш вывод обусловлен тем, что динамика себестоимости единицы продукции в части издержек на наем рабочей силы, как это обосновано в работе [4], складывается под влиянием следующих факторов: тарифная часовая ставка — в среднем T_c ; размер доплат, премий и компенсаций в расчете на один час труда $e_t^{д.пр.к.}$; соотношение отчислений на социальные нужды и фонда заработной платы $k^{с.н.}$; соотношение прочих издержек на наем рабочей силы и фонда заработной платы; производительная сила труда $I_{нв}$; степень концентрации и специализации производства q/q , взаимосвязь которых отражает формула

$$Z_{pc}^Q = (T_c + e_t^{д.пр.к.})(1 + k^{пр.р.к.}) / (I_{нв}^Q / q).$$

Снижение себестоимости единицы продукции за счет факторов, расположенных в числителе формулы, предполагает проведение мер, непопулярных среди работников организации, поскольку они обуславливают снижение их заработной платы и уровня их социальной защищенности, сокращение финансирования повышения квалификации работников и других социальных программ, действующих в организации. В связи с этим возможным фактором снижения себестоимости единицы продукции в части издержек на наем рабочей силы является производительная сила труда.

Наряду с ростом производительной силы труда снижение себестоимости единицы продукции в части издержек на наем рабочей силы, как следует из формулы, может быть обеспечено за счет повышения степени концентрации и специализации производства. Действие этого фактора не связано с изменением норм тру-

да, а проявляется в том, что организация после реализации инвестиционного проекта в определенных условиях может увеличить масштабы создания продуктов труда, которые благодаря специализации, обусловленной углублением разделения труда, становятся продукцией и тем самым повышают степень концентрации и специализации производства. Это может происходить благодаря созданию дополнительных рабочих мест и на этой основе — привлечению дополнительной рабочей силы.

Из этого следует, что снижение себестоимости единицы продукции в части издержек на наем рабочей силы реально возможно за счет двух факторов: производительной силы труда и степени специализации и концентрации производства. Однако в современных условиях в России возможности повышения степени концентрации и специализации производства ограничены.

Таким образом, выбор варианта инвестиционного проекта должен сопровождаться разработкой плана повышения производительной силы труда, реализация которого сделает вариант проекта экономически целесообразным. В плане должны быть определены участки производства, а может быть и конкретные рабочие места, на которых будут изменены нормы труда и указан ожидаемый размер экономии затрат труда, оплаты за труд и издержек на наем рабочей силы. Намеченные к получению результаты должны быть увязаны с необходимым снижением себестоимости единицы продукции организации.

Такой подход к экономическому обоснованию выбора инвестиционного проекта обуславливает необходимость широкого использования финансовой отчетности организации или группы тех организаций, в которых создаются условия для повышения эффективности производственной деятельности после его реализации.

На основе финансовой отчетности предлагается выполнять расчет показателей себестоимости единицы продукции в целом и ее слагаемых (себестоимости единицы продукции в части издержек: на амортизацию (восстановление) в денежной форме денежных средств, вложенных в используемые орудия труда; на предметы труда; наем рабочей силы для года, предшествующего реализации инвестиционного проекта).

Затем, с учетом увеличения издержек на амортизацию (восстановление) в денежной форме денежных средств, направленных на обновление основных средств, то есть после реализации инвестиционного проекта, ожидаемого срока полезного использования этих объектов и годовых норм амортизации определяется возможный размер себестоимости единицы продукции в части издержек на амортизацию (восстановление) в денежной форме денежных средств, вложенных в основные средства с учетом реализации инвестиционного проекта. На основе полученных результатов рассчитывается ожидаемый темп роста (индекс) этой части себестоимости единицы продукции, используя формулу:

$$I_a^Q = (Z_a^Q / I_{a1}^Q) \cdot 100.$$

$$I_{Z_a}^Q = (Z_{a,0}^Q / Z_{a,1}^Q) \cdot 100.$$

Себестоимость единицы продукции в части издержек на предметы труда для периода, в котором ожидается завершение реализации инвестиционного проекта, принимается равной этому же показателю, рассчитанному для периода начала его реализации.

Необходимый для обеспечения экономической целесообразности реализации инвестиционного проекта темп роста себестоимости единицы продукции в части издержек на наем рабочей силы устанавливается в таком размере, чтобы при этом обеспе-

чивалось снижение себестоимости единицы продукции в целом.

Обоснование темпа роста себестоимости единицы продукции подкрепляется планом повышения производительной силы труда.

В том случае, когда осуществляется выбор варианта инвестиционного проекта из нескольких возможных, вместо расчета показателей так называемой сравнительной эффективности предлагается рассчитывать показатель экономической целесообразности для каждого варианта, а затем путем сопоставления полученных результатов выбирать тот, у которого показатель экономической целесообразности выше, а следовательно, тот вариант, который обеспечивает большее снижение себестоимости единицы продукции. При этом в качестве исходной базы расчетов используется финансовая отчетность года, предшествующего году реализации инвестиционного проекта. Тем самым обеспечивается сопоставимость результатов расчетов показателей экономической целесообразности.

Таким образом, для экономического обоснования выбора инвестиционного проекта, вместо расчета показателей эффективности, которой инвестиционный проект не обладает, предлагается производить оценку ожидаемого влияния его реализации на динамику себестоимости единицы продукции с учетом того, что реализация инвестиционного проекта оказывает различное влияние на изменение разных частей себестоимости единицы продукции. На основе ожидаемых темпов роста себестоимости единицы продукции в части издержек на амортизацию (восстановление) в денежной форме денежных средств, вложенных в орудия труда, и себестоимости единицы продукции в части издержек на наем рабочей силы предлагается рассчитывать показатель экономической целесообразности реализации инвестиционных проектов.

Литература

1. Вовк А. А. Оценка эффективности транспортного производства и резервов ее роста: монография. М. : Крома, 2000. 295 с.
2. Вовк А. А. Факторы роста производительности труда и характеристика их уровня и динамики//Экономика железных дорог, № 2. 2002. С. 59–68. ISSN 1727-6500.
3. Вовк А. А. Проблемы развития терминологии экономики железнодорожного транспорта//Вестник УрГУПС, № 2. 2010. С. 87–95. ISSN 2079-0392.
4. Вовк А. А. Характеристика цены рабочей силы и факторов ее роста//Экономика железных дорог, № 3. 2001. С. 52–62. ISSN 1727-6500.

References

1. Vovk A. A. Otsenka effektivnosti transportnogo proizvodstva i rezervov ee rosta: monografiya [Assessing transport production efficiency and reserves of its growth: monograph]. M. : Kroma, 2000. 295 s.
2. Vovk A. A. Faktory rosta proizvoditelnosti truda i kharakteristika ikh urovnya i dinamiki [Factors of labour productivity growth and description of their level and dynamics]//Ekonomika zheleznnykh dorog, No. 2. 2002. S. 59–68. ISSN 1727-6500.
3. Vovk A. A. Problemy razvitiya terminologii ekonomiki zheleznodorozhnogo transporta [Problems of development of railway transport terminology]//Vestnik UrGUPS, No. 2. 2010. S. 87–95. ISSN 2079-0392.
4. Vovk A. A. Kharakteristika tseny rabochey sily i faktorov ee rosta [Assessing labour price and its growth factors]//Ekonomika zheleznnykh dorog, No. 3. 2001. S. 52–62. ISSN 1727-6500.

Статья сдана в редакцию 13 июля 2012 года

В. М. Сай, И. Д. Громов

Об организации взаимодействия хозяйствующих субъектов в сетях с разделенными интересами (на примере компании ОАО «РЖД»)

UDC 658.014

V. M. Say, I. D. Gromov

On organization of economic entities' interaction in the networks with separated interests (by the example of JSC «Russian Railways»)

Аннотация

Процесс организации работ при содержании и развитии транспортной инфраструктуры представлен как некоторая сеть предприятий (хозяйствующих субъектов), преследующих при выполнении работ свои интересы. В статье поставлена задача и определены пути имитационного моделирования организации взаимодействия хозяйствующих субъектов.

Предложена обобщенная гомоморфная графоаналитическая модель формализации организационных процессов и обоснования взаимодействия хозяйствующих субъектов в сетях с разделенными интересами.

Обозначены некоторые основополагающие характеристики взаимодействия и предложены варианты обоснования исполнителей.

В качестве математического аппарата использован метод многокритериальной оптимизации.

Для оценки процесса взаимодействия и обоснования управленческих решений предлагается воспользоваться интегральным показателем эффективности, включающим показатели эффективности исполнителей и компании ОАО «РЖД», а также уровня их взаимодействия.

Ключевые слова:

организационные сети, взаимодействие в сетях, сети с разделенными интересами, имитационное моделирование.

Abstract

The process of works organization when maintaining and developing transport infrastructure is presented as a network of enterprises (economic entities), which study their own interests by work fulfillment. In the article the task is set and the ways of simulation modeling of organizing economic entities' interaction are identified.

It is offered an integrated homomorphic graph-analytic model of organizational processes and justification of economic entities interaction in the networks with separated interests.

Some fundamental characteristics of interaction are identified and the variants of executors' justification are offered.

Method of multi-criterion optimization is used as a mathematical apparatus.

In order to estimate the interaction process and managerial decisions justification it is offered to use the integral efficiency index, including efficiency indexes of executors and JSC «Russian Railways» and the level of their interaction.

Key words:

organizational networks, interaction in networks, networks with separated interests, simulation modeling.

Василий Михайлович Сай, д-р техн. наук, профессор; кафедра «Путь и железнодорожное строительство» Уральского государственного университета путей сообщения; Екатеринбург, Россия. E-mail: vsay@usurt.ru.

Игорь Дмитриевич Громов, аспирант; кафедра «Путь и железнодорожное строительство» Уральского государственного университета путей сообщения; Екатеринбург, Россия. E-mail: idgromov@gmail.com.

Vasily M. Say — DSc in Engineering, professor; «Track and track facilities» chair; The Ural State University of Railway Transport; Ekaterinburg, Russia. E-mail: VSay@usurt.ru.

Igor D. Gromov — post-graduate student; «Track and track facilities» chair; The Ural State University of Railway Transport; Ekaterinburg, Russia. E-mail: idgromov@gmail.com.

Содержание и развитие транспортной инфраструктуры — процесс кропотливый и трудоемкий не только в технологическом плане, но и в организационном. Процесс существенно усложняется большим количеством его участников и разнообразием форм взаимодействия между ними, а также и тем обстоятельством, что каждой стороной преследуются вполне конкретные интересы, зачастую противоречащие интересам других участников. К тому же, выполнение ремонтно-строительных работ на действующих линиях, как правило, связано с предоставлением «окон» в графике движения поездов. При этом все участники процесса обязаны соблюдать императив отрасли — обеспечение безопасности движения поездов.

Перечисленные факторы, в сущности, определяют организационные особенности реализации ремонтно-строительных работ при содержании и развитии транспортной инфраструктуры.

В организационном плане ремонтно-строительные работы при содержании и развитии транспортной инфраструктуры можно представить как некоторую сеть предприятий, преследующих свои интересы.

В настоящей статье рассматривается проблема организации взаимодействия хозяйствующих субъектов в сетях с разделенными интересами.

Основная задача — сформировать общую схему взаимодействия в сетях с разделенными интересами и предложить общую графоаналитическую модель взаимодействия в таких сетях.

Выделим в сети с разделенными интересами основных участников взаимодействия, чьи интересы затрагиваются при содержании и развитии транспортной инфраструктуры (рис. 1).

На принятие управленческого решения влияют: компания ОАО «РЖД», хозяйствующие субъекты с которыми она взаимодействует, а также субъект Федерации, на террито-

рии которого находится транспортная инфраструктура и производятся ремонтно-строительные работы.

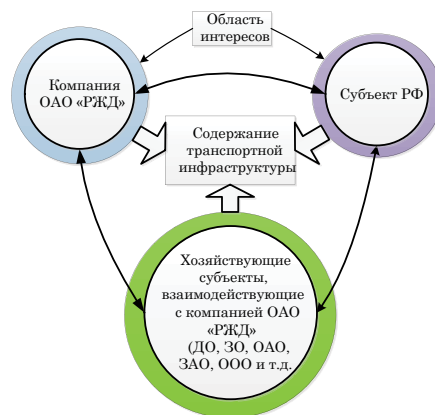


Рис. 1. Основные участники взаимодействия

Взаимодействие между участниками процесса обусловлено множеством связей: информационных, финансовых, технологических, социальных и других.

В рамках данного исследования основное внимание уделено процессам, происходящим между компанией ОАО «РЖД» и хозяйствующими субъектами, так как вопросы о взаимодействии компании с субъектами РФ (регионами) были рассмотрены в работах [1–3]. Результаты этих исследований (в частности методика оценки априорной состоятельности региона) использованы в настоящей работе.

Выстраивание в компании ОАО «РЖД» холдинговых отношений побуждает всесторонне учитывать интересы всех хозяйствующих субъектов. Возможность и необходимость формировать и отстаивать собственные интересы появилась после того как ранее входившие в состав компании ремонтно-строительные и производственные структурные подразделения в процессе реформирования были преобразованы в хозяйствующие субъекты со статусом дочернего и зависимого общества.

Ранее, до реформирования, управление структурными подразде-

лениями осуществлялось на основе организационно-распорядительного воздействия, регламентирования, общей корпоративной культуры и автаркии. Однако после преобразований существование прежней системы взаимоотношений в компании стало невозможным. Это связано с тем, что инфраструктура и хозяйствующие субъекты оказались в разных организационно-правовых полях, и отношения между ними необходимо выстраивать на контрактной основе. Кроме этого, на рынке появились новые ремонтно-строительные и производственные фирмы с широким спектром организационно-правовых форм и собственными интересами [4].

Учитывая кардинально изменившуюся организационную структуру компании, для наиболее полного отражения всех процессов взаимодействия предлагается рассматривать проблему с точки зрения сетевой организации. Мы предлагаем воспользоваться термином «сети с разделенными интересами» [4, 5].

На сегодняшний день вопрос организации работ в сетях с разделенными интересами изучен недостаточно, хотя эта проблема присуща всем без исключения организационным системам, в которых взаимодействуют хозяйствующие субъекты. Это подтверждает актуальность и практическую значимость подобных исследований.

При исследовании такой сложной организационно-экономической системы, как сети с разделенными интересами, сталкиваемся с проблемой невозможности проведения эксперимента непосредственно в процессе формирования сети, организации и производства работ, а уж тем более — неоднократного их повторения.

Исследовать сети с разделенными интересами можно только с использованием имитационного моделирования, позволяющего проигрывать на разработанной модели воз-

можные варианты и схемы организационных сетей и внутрисистемное взаимодействие, опробовать посредством численных экспериментов варианты управленческих решений, оценивать и выбирать среди них наиболее приемлемые с точки зрения как отдельного хозяйствующего субъекта, так и системы в целом. Такие модели гомоморфны, что позволяет сформировать обозримое представление необозримых на первый взгляд организационных сетей.

Следовательно, разрабатываемая имитационная модель должна носить прогнозный характер, позволять проигрывать производственных сценариев, иметь возможность априори оценить последствия принятых решений как для ОАО «РЖД», так и хозяйствующих субъектов.

Сформируем общие предпосылки, которые составят основу имитационной модели.

На базе уже имеющихся разработок и собственного видения предложена графическая модель взаимодействия ОАО «РЖД» с хозяйствующими субъектами в сетях с разделенными интересами (рис. 2).

В качестве основы для графической модели использована радиально-планетарная модель — математическое понятие, введенное авторами работы [6]. Радиально-планетарная модель — это сетевая модель, адаптированная для представления экономического взаимодействия железной дороги с хозяйствующими субъектами.

Основными участниками взаимодействия в сетях с разделенными интересами выступают: ОАО «РЖД» (заказчик) в лице дирекции инфраструктуры, а также хозяйствующие субъекты, являющиеся исполнителями работ по содержанию и развитию транспортной инфраструктуры.

Отметим некоторые принципиальные моменты данной схемы.

Центр модели представлен ОАО «РЖД» в виде укрупненной иерархической структуры. Субъекты эконо-

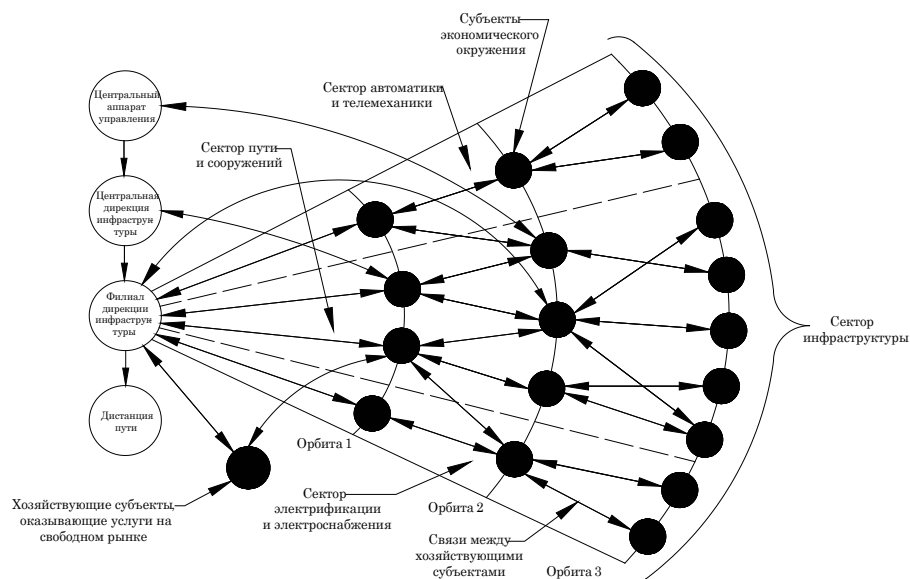


Рис. 2. Графическая модель взаимодействия ОАО «РЖД» с хозяйствующими субъектами в сетях с разделенными интересами

мического окружения сгруппированы по трем орбитам следующим образом.

На текущем этапе реформирования первую орбиту составляют еще не выделенные из организационной структуры ремонтно-строительные подразделения, отвечающие за содержание инфраструктуры. Взаимодействие с ними характеризуется наличием организационно-распорядительного воздействия. В перспективе данные субъекты, скорее всего, будут выполнять функции генподрядчиков.

На второй орбите представлены хозяйствующие субъекты, получившие статус дочерних и зависимых обществ. В цепочке подрядчиков они могут быть как генподрядчиками для субъектов более отдаленных орбит, так и субподрядчиками для первой орбиты.

Третья орбита состоит преимущественно из поставщиков материалов, которые являются подрядчиками для второй орбиты и т. д.

Такое представление отображает факт разделения интересов как по иерархическим уровням ОАО «РЖД», так и по цепочке подрядчиков.

На схеме отражена возможность прямого взаимодействия между ОАО «РЖД» (в т. ч. ее иерархическими уровнями) и субъектами, расположенными на отдаленных орбитах, без участия предприятий, расположенных на ближних орбитах.

Для выполнения некоторых специфических или непрофильных работ схема предполагает взаимодействие с компаниями, оказывающими услуги на свободном рынке.

Как и в любом производственном процессе, при содержании и развитии транспортной инфраструктуры важна стадия обоснования и заключения договора-подряда, потому что, как правило, именно на этой стадии отражаются интересы сторон. Нормативной базой для регулирования взаимоотношений между хозяйствующими субъектами выступает Гражданский кодекс РФ (гл. 37).

Общая структура имитационной модели взаимодействия хозяйствующих субъектов и последовательность ее реализации показана на рис. 3.

В первом блоке предлагается использовать организационно-технические и экономические показа-



Рис. 3

тели, разделенные на три группы в зависимости от источника получения:

показатели компании ОАО «РЖД» (вид и объем работ, выделенные денежные средства, количество и продолжительность «окон», которые могут быть предоставлены и т. д.);

показатели хозяйствующих субъектов (производственная мощность, целевая рентабельность, среднесписочная численность персонала и т. д.);

показатели внешней среды (налоговая нагрузка и др.).

Необходимо понимать, что определение видов и объемов работ по ремонту инфраструктуры, а также капитальное строительство зависят от потребностей региона в перевозочной работе. Это обстоятельство должно быть учтено при сборе данных. Кроме того, для полноценного и объективного расчета ряда экономических показателей деятельности компании и хозяйствующих субъектов необходимы сведения обо всех контрактах исполнителей, в том числе и с субъектами, представленными на рынке.

Значительное количество исходных параметров в имитационной модели открывает большие возможности для дальнейшего исследования их влияния на взаимодействие хозяйствующих субъектов. Проведение численных экспериментов позволит вырабатывать управленческие

решения, направленные на повышение эффективности функционирования как отдельных хозяйствующих субъектов, так и всего холдинга.

Выбор исполнителей очень важный и далеко не простой этап (второй блок, рис. 3) [6]. С одной стороны, компания ОАО «РЖД» заинтересована в качественном и своевременном выполнении работ за приемлемую стоимость, что, как правило, обеспечивается конкурсами, а с другой, вынуждена обеспечивать заказами всех участников холдинга и в первую очередь дочерние и зависимые общества. Для обоснованного выбора подрядчика имитационная модель должна учитывать: общую ситуацию, сложившуюся в холдинге ОАО «РЖД»; возможную стоимость контракта; специфику предприятия; прогнозируемый уровень качества производства работ и историю взаимодействия с ОАО «РЖД»; текущую организационную и экономическую ситуацию на предприятии; техническую оснащенность предприятия; структуру стоимости производства работ; наличие параллельных проектов и т. п.

Отдельно подчеркнем важность такого фактора, как вид организации работ.

При разработке модели предлагается рассматривать четыре наиболее распространенные на практике цепочки исполнителей (рис. 4).

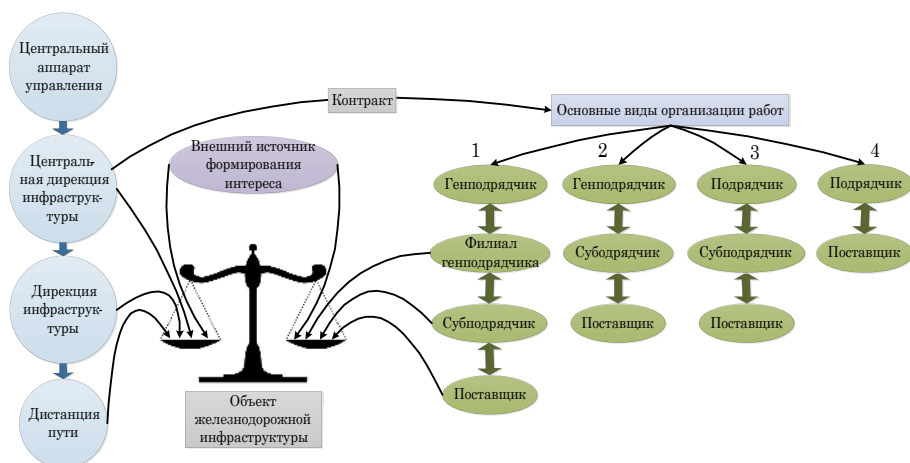


Рис. 4. Принципиальная схема формирования интересов у заказчика и исполнителя в зависимости от вида организации работ

В зависимости от количества участников и связей между ними может существенно изменяться и механизм формирования общего интереса со стороны исполнителя.

В имитационной модели необходимо учитывать производственные мощности хозяйствующих субъектов. На практике может сложиться ситуация, когда производственных мощностей предприятий, входящих в холдинг, недостаточно для выполнения всего объема работ, и заказчику приходится искать дополнительные мощности на свободном рынке. На рис. 5 приведены два возможных варианта распределения объемов работ с учетом производственных мощностей хозяйствующих субъектов, входящих в холдинг, когда собственных мощностей достаточно и недостаточно.

Хозяйствующие субъекты, входящие в холдинг, со всеми работами при первом варианте в состоянии справиться собственными силами. Для выполнения некоторых специализированных работ возможно заключение договоров со сторонними предприятиями. При наличии у хозяйствующих субъектов резервов производственных мощностей их целесообразно использовать для оказания услуг на свободном рынке.

Во втором варианте компания для выполнения всего запланированного объема работ напрямую заключает договор с участником свободного рынка. При этом опять же могут возникать различные схемы организации работ. Отличительная особенность в данном варианте — то, что, согласно внутреннему положению № 2415 р от 31 мая 2004 г., исполнителя работ выбирает конкурсная комиссия, что подразумевает совсем другой механизм взаимодействия, нежели с участниками холдинга.

Интересы хозяйствующих субъектов со свободного рынка учитываются на стадии заключения контракта. Существенное влияние может оказать наличие перспективы вхождения в холдинг хозяйствующего субъекта, а также если субъект является монополистом.

Анализируя текущую ситуацию в холдинге ОАО «РЖД», можно сделать вывод о преобладании первого варианта. Согласно информации о тендерах с сайта ОАО «РЖД», сторонние предприятия практически не выполняют работ по содержанию и развитию транспортной инфраструктуры. Компания пользуется их услугами для выполнения капитальных ремонтов вокзалов, текущего ремонта автотранспорта и некоторой

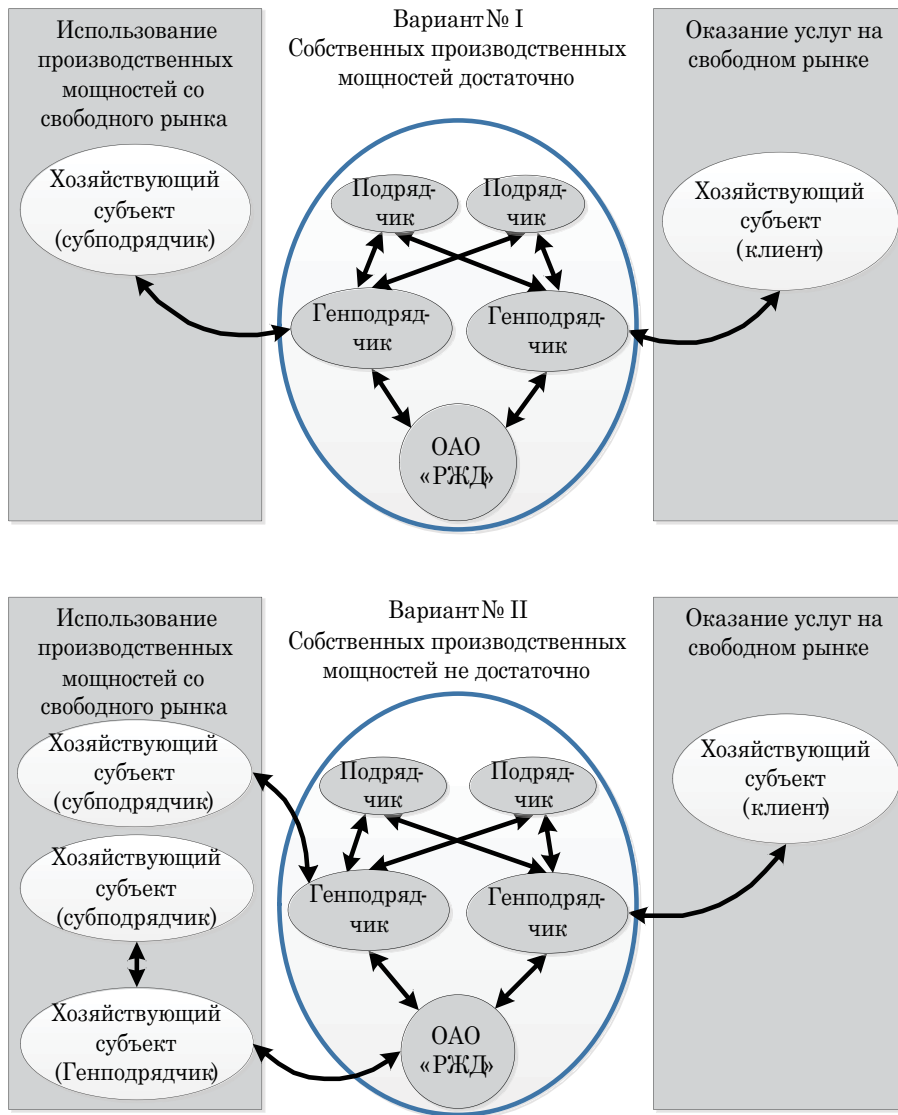


Рис. 5. Варианты механизма взаимодействия выполнения объемов работ с учетом производственных мощностей исполнителей

строительной техники, а также множества других непрофильных работ.

В дальнейших исследованиях будем полагать, что подконтрольных холдингу мощностей достаточно для выполнения работ.

Тогда при моделировании сетей с разделенными интересами организационную модель взаимодействия хозяйствующих субъектов будем представлять так, как показано на рис. 6.

На рис. 6 отражены несколько характерных особенностей взаимодействия:

— каждая связь предполагает собой заключенный договор между субъектами. Здесь заложено условие, при котором участники холдинга не должны оставаться без заказов; доли в общем объеме работ могут варьироваться. Такая организация работ по содержанию и развитию инфраструктуры может снизить эффек-



Рис. 6. Организационная модель взаимодействия хозяйствующих субъектов

тивность деятельности холдинга. Поэтому имитационная модель организации взаимодействия в сетях с разделенными интересами должна позволять урегулирования возможных трудностей при распределении работы;

— для реализации заказов возможно, а зачастую и необходимо выстраивать взаимосвязи между хозяйствующими субъектами одной орбиты. Это связано с достаточно обширным по номенклатуре и объемам комплексу работ, а также специализацией деятельности субъектов.

Наличие множества цепочек взаимодействия заставляет в начале исследования сконцентрироваться на более важных и устойчивых связях первых двух орбит. В дальнейшем при более глубокой прора-

ботке модели планируется включение интересов субъектов с последующих орбит.

Существуют различные подходы к решению задачи поиска исполнителей. Один из них описан в работе [7] и заключается в оценке экономической привлекательности предприятий с использованием линейных форм. Основная идея данного метода состоит в ранжировании предприятий по степени привлекательности и приемлемости для экономического взаимодействия. Оценочными критериями выступают фондоотдача предприятия, стоимость основных фондов, уровень рентабельности, стоимость единицы продукции, доля заемных средств в обороте предприятия, степень износа основных производственных фондов, номенк-

латура продукции, оборачиваемость оборотных средств и т. д. Неоспоримым плюсом данного метода является возможность оценить однопрофильные предприятия с учетом задаваемых стандартов взаимодействия.

Другой подход связан с решением оптимизационной задачи. Для начала выделим три основных категории, в которых заключаются главные интересы сторон при выполнении строительных работ: стоимость, качество и сроки производства. Что касается первых двух, то очевидно следующее: интерес заказчика заключается в получении качественных услуг за приемлемую для себя стоимость, а вот интересы исполнителя — выполнить работу с максимальной для себя степенью экономической эффективности.

Особого внимания заслуживает вопрос о сроках производства работ. Дело в том, что отличительной особенностью работ по содержанию транспортно-инфраструктуры является их выполнение в строго ограниченные по времени и количеству «окна».

Очевидно, что отступления от графика предоставления «окон» оказывают серьезное влияние на ремонтно-строительный процесс как в организационно-техническом плане, так и экономическом. Это приводит к сверхплановым расходам и убыткам, которые могут нести заказчик и подрядчик. И если при функционировании МПС они списывались на затраты производства, то сегодня одна из сторон на основании условий договора вправе потребовать выплаты неустойки или компенсации за срыв или непредоставление «окна».

Итак, крайне важно в процессе подготовки решения прийти к взаимной договоренности по количеству и продолжительности «окон», дате и времени их проведения, определению механизмов расчета неустойки в случае непредоставления, задержки или срыва.

Для ответа на эти вопросы в рамках нашего исследования предстоит

разработка методики оценки влияния предоставления «окон» на выбор исполнителя и результатов его деятельности.

Для выбора исполнителя работ (генподрядчика, подрядчика) ограничимся двумя показателями — стоимостью и качеством. В качестве математического аппарата воспользуемся методом многокритериальной оптимизации.

Функция стоимости производства всего объема работ

$$F_1 = \sum_{i=1}^n \sum_{j=1}^m Ck_{i,j} \cdot a_{i,j} \rightarrow \min, \quad (1)$$

где $Ck_{i,j}$ — удельная стоимость контракта по выполнению i -й работы j -м подрядчиком; $a_{i,j}$ — объем i -й работы, выполняемой j -м подрядчиком.

Функция качества производства всего объема работ

$$F_2 = \sum_{i=1}^n \sum_{j=1}^m k_{i,j} \cdot a_{i,j} \rightarrow \max. \quad (2)$$

Под $k_{i,j}$ в данной формуле подразумеваются заданные в исходных данных комплексные показатели качества. На стадии прогнозирования в роли комплексного показателя качества предлагается использовать некоторый априорный интегральный показатель, который являлся бы обобщающей величиной возможного уровня качества, зависящей от множества факторов (стоимости контракта, сроков производства работ, объемов, трудоемкости и т. д.).

Систему ограничений для данной оптимизационной задачи можно представить в виде

$$\left\{ \begin{array}{l} \sum_{i=1}^n \sum_{j=1}^m a_{i,j} = Q \\ a_{i,j} \ll a_{i,j}^{\text{воз}} \\ F_1 \leq F_{\text{max}} \\ F_2 \geq F_{\text{min}} \\ \sum_{i=1}^n a_{i,j} \neq 0, \end{array} \right. \quad (3)$$

где Q — весь запланированный объем ремонтно-строительных работ на рас-

четный период; $a_{i,j}^{\text{воз}}$ — производственные мощности предприятий исполнителей; F_{max} — максимальный объем освоенных денежных средств; F_{min} — минимальный объем освоенных денежных средств;

В качестве механизма компьютерной реализации может быть принят пакет «Поиск решения» в MS Excel, который осуществляет его методом обобщенного приведённого градиента (ОПГ).

Ясно, что представленный метод многокритериальной оптимизации не всегда позволяет решить поставленные задачи, предъявляемые к блоку выбора исполнителей, то есть потребуются использование других математических аппаратов.

При расчете интегрального показателя эффективности (третий блок) воспользуемся исследованиями, изложенными в [4]. Классифицируем все показатели на три группы.

1. Показатели непосредственной эффективности исполнителей (относятся только к ремонтно-строительным организациям и основаны на внутренних показателях: объем выполненных работ, производительность, рентабельность, фондоотдача и др.), $K_{\text{хс}}$.

2. Показатели уровня взаимодействия. Характеризуют организацию работ и взаимодействия, то есть учитывают интересы железной дороги, ее структурных подразделений и хозяйствующих субъектов, $K_{\text{вз}}$.

3. Показатели, характеризующие последствия для ОАО «РЖД» в результате выполненных работ или оказанных услуг (отражают интересы ОАО «РЖД» в сохранении надлежащего состояния транспортной инфраструктуры в течение всего нормативного срока службы), $K_{\text{ржд}}$.

Для всесторонней оценки процесса взаимодействия и обоснования управленческих решений предлагается воспользоваться некоторым интегральным показателем эффективности $K_{\text{инт}}$.

Таким образом, принципиальную схему интеграционных преобразова-

ний показателей эффективности можно представить в виде уравнения:

$$K_{\text{инт}} = a \cdot K_{\text{хс}} + b \cdot K_{\text{вз}} + c \cdot K_{\text{ржд}}, \quad (4)$$

где a , b , c — некоторые весовые коэффициенты.

В ходе дальнейших исследований предстоит провести обстоятельный анализ каждой из составных частей интегрального показателя, проверить их пригодность для оценки и принятия управленческих решений, на основании численных экспериментов сформировать атлас зависимостей (графиков) интегрального показателя и промежуточных показателей из каждой подсистемы. В качестве основы для отбора показателей в каждую из подсистем могут быть использованы внутренние регламентирующие документы холдинга. Например, для показателей первой подсистемы в компании ОАО «РЖД» данным документом является распоряжение от 30 июля 2007 г. № 1444 р, утверждающее методику расчета целевых (контрольных) показателей эффективности деятельности дочерних обществ ОАО «РЖД».

Последний блок имитационной модели направлен на оценку влияния принятых решений на состоятельность региона и основан на научных разработках, приведенных в работах [1–3]. Учитывая специфику рассматриваемого вопроса, а также результаты, полученные на предыдущих этапах моделирования, возможна корректировка перечня факторов, из которых формируется коэффициент априорной состоятельности. В случае получения положительных результатов о проверке влияния принятых решений на состоятельность региона его можно считать полностью обоснованным и рекомендовать для практической реализации. При неудовлетворительных же результатах вносятся коррективы и согласовываются с компанией ОАО «РЖД» и хозяйствующими субъектами.

Реализация описанной в имитационной модели последовательности

действий должна придать рассматриваемой системе вектор развития, направленный на устойчивое и эффективное функционирование каждого субъекта.

Предложенная графоаналитическая модель предполагает дальнейшее развитие. На ее основе предстоит построить методику оценки эффективности полученных решений, заключающуюся в сопоставление результатов верификации модели.

В заключение отметим, что предложенная в настоящей статье постановочная графоаналитическая мо-

дель организации взаимодействия в сетях с разделенными интересами способствует дальнейшей строгой математической формализации, более детальной проработке всех аспектов взаимодействия, а также формированию конкретных методик принятия управленческих решений в наиболее распространенных ситуациях.

В завершенном виде модель представляет собой целостную систему организации взаимодействия хозяйствующих субъектов в сетях с разделенными интересами.

Литература

1. Шутюк С. В., Сай В. М., Афанасьева Н. А. Математическая модель согласования программ развития ОАО «РЖД» в регионе и субъекта РФ//Экономика железных дорог, 2005. № 3. — С. 35–39. ISSN 1727-6500.
2. Сай В. М., Шутюк С. В. Методика формирования коэффициентов и способ оценки априорной состоятельности региона//Транспорт Урала, 2005. № 3. — С. 2–12. ISSN 1815-9400.
3. Сай В. М., Сизый С. В., Афанасьева Н. А. Согласование программ развития ОАО «РЖД» с региональными программами развития транспортной инфраструктуры//Транспорт Урала, 2010. № 1. — С. 13–16. ISSN 1815-9400.
4. Сай В. М., Сизый С. В., Вихарев С. В., Варанкина К. А. Организация содержания транспортной инфраструктуры в сетях с разделенными интересами с применением математической теории автоматов//Вестник УрГУПС, 2011. № 3. — С. 42–53. ISSN 2079-0392.
5. Щичко А. В., Сизый С. В., Вихарев С. В. Организационные процессы в сетях с разделенными интересами: актуальность, постановка задачи, план исследований//Вестник УрГУПС, 2009. № 1–2. — С. 34–42. ISSN 2079-0392.
6. Сай В. М., Фомин В. К. Моделирование системы взаимоотношений железной дороги с хозяйствующими субъектами//Транспорт Урала, 2008. № 4. — С. 15–19. ISSN 1815-9400.
7. Сизый С. В., Фомин В. К. Оценка экономической привлекательности предприятий с использованием линейных форм//Вестник УрГУПС, 2009. № 3–4. — С. 33–44. ISSN 2079-0392.

References

1. Shutjuk S. V., Say V. M., Afanasjeva N. A. Matematicheskaja model soglasovanija programm razvitija JSC «RZD» v regione i subjekta RF [Mathematical model of matching development programs of JSC «Russian Railways» in the region and RF constituent territories]//Ekonomika zheleznjkh dorog, 2005. № 3. — S. 35–39. ISSN 1727-6500.
2. Say V. M., Shutjuk S. V. Metodika formirovanija koefitsientov i sposob otsenki apriornoj sostojatelnosti regionala//Transport Urala, 2005. № 3. — S. 2–12. ISSN 1815-9400.
3. Say V. M., Sizi S. V., Afanasjeva N. A. Soglasovanie programm razvitija JSC «RZD» s regionalnymi programmami razvitija transportnoj infrastruktury [Coordination of JSC «Russian Railways» development programs with regional transport infrastructure development programs]//Transport Urala, 2010. № 1. — S. 13–16. ISSN 1815-9400.
4. Say V. M., Sizi S. V., Vikharev S. V., Varankina K. A. Organizatsija soderzhanija transportnoj infrastruktury v setjakh s razdelennymi interesami s primeneniem matematicheskoi teorii avtomatov [Railway infrastructure maintenance in the networks of separated interests using mathematical theory of automata]//Vestnik UrGUPS, 2011. № 3. — S. 42–53. ISSN 2079-0392.
5. Tschichko A. V., Sizi S. V., Vikharev S. V. Organizatsionnye protsessy v setjakh s razdelennymi interesami: aktualnost, postanovka zadachi, plan issledovanij [Organizational processes in networks with shared interests: urgency, problem statement, research plan]//Vestnik UrGUPS, 2009. № 1–2. — S. 34–42. ISSN 2079-0392.

6. Say V.M., Fomin V.K. Modelirovaniye sistemy vzaimootnoshenij zheleznoj dorogi s hozjajstvujutschimi subjektami [Modeling of railways interrelation system with economic entities]//Transport Urala, 2008.№ 4.– S.15–19. ISSN 1815-9400.
7. Sizy S.V., Fomin V.K. Otsenka ekonomicheskoy privlekatelnosti predpriyatij s ispolzovaniem linejnykh form [The assessment of enterprises economic attractiveness with the use of linear forms]//Vestnik UrGUPS, 2009. № 3–4.– S. 33–14. ISSN 2070-0392.

Статья сдана в редакцию 28 августа 2012 года

В. М. Воронин, З. А. Наседкина

Моделирование готовности оператора к экстренному действию на основе теории обнаружения сигналов

UDC 656.212:658.382

V. M. Voronin, Z. A. Nasedkina

Modelling operator's readiness to immediate response based on the signal detection theory

Аннотация

В статье предлагается новый подход к определению фундаментального понятия в операторской деятельности — «готовность к экстренным действиям» (ГЭД). Состояние ГЭД необходимо для операторов, работающих в режиме ожидания. Такой режим наиболее важен для современного автоматизированного производства. Состояние ГЭД также необходимо для многих водительских профессий.

Разработанный авторами подход основывается на математической модели, исходящей из теории обнаружения сигналов. На основании моделирования разработаны программно-аппаратный комплекс и методика определения ГЭД. Проведены эксперименты с репрезентативной выборкой студентов пятого курса Уральского государственного университета путей сообщения, показавшие полную пригодность данной методики для профессионального отбора машинистов электровозов скоростного и высокоскоростного движения.

Ключевые слова:

готовность к экстренной деятельности, теория обнаружения сигналов, вероятности правильного обнаружения, пропуска цели, ложной тревоги, правильных отрицаний; программно-аппаратный комплекс.

Abstract

The article offers a new approach to determining the fundamental notion in operator activity — «readiness to immediate response» (RIR). The RIR state is required for operators working in the idle mode. This mode is most important for modern computer-aided production. The RIR state is also required for many driver professions.

The authors' elaborated approach is based on a mathematical model coming from the signal detection theory. Modelling was the ground for developing a soft and hardware package and RIR determination procedure. Experiments were carried out with a representative sample of fifth-year students from Ural State University of Railway Transport, who showed complete suitability of the method for occupational selection of drivers for high-speed electric locomotives.

Key words:

readiness to immediate response, signal detection theory, probabilities of correct detection, missed target, false alarm, correct negations; soft- and hardware package.

Владимир Митрофанович Воронин, д-р психол. наук, профессор; кафедра «Управление эксплуатационной работой» Уральского государственного университета путей сообщения, профессор кафедры общей психологии и психологии личности Уральского федерального университета. Екатеринбург, Россия. E-mail: zanvnm@yandex.ru.

Зинаида Афанасьевна Наседкина, канд. техн. наук, доцент; кафедра механики Российского государственного профессионально-педагогического университета. Екатеринбург, Россия.

Vladimir Mitrofanovitch Voronin, DSc in Psychology, Professor; Management of Exploitation Work Chair of Ural State University of Railway Transport, Professor of General Psychology and Psychology of Personality Chair of Ural Federal University. Ekaterinburg, Russia. E-mail: zanvnm@yandex.ru.

Zinaida Afanasyevna Nasedkina, PhD in Engineering, Assistant Professor; Mechanics Chair of Russian State Vocational Pedagogical University; Ekaterinburg, Russia.

В настоящее время все большее значение придается исследованию индивидуальных особенностей оператора при решении им сенсорно-моторных задач. Это связано с тем, что в условиях развития автоматизации производства и транспорта деятельность человека существенно меняется: основной акцент переносится на его интеллектуальные, мнестические и перцептивные функции. Особенную актуальность эта проблема приобретает в условиях развития железнодорожного транспорта.

Ю. Н. Забродина отмечает, что в литературе (прежде всего, зарубежной), посвященной психологии, существует множество работ, авторы которых пытаются найти соответствие между некоторыми личностными свойствами индивида и характеристиками его восприятия [3]. Эти исследования по большей части оказались безуспешными, поскольку основывались на попытке описать сложные и многоуровневые связи с линейно-детерминистских позиций. Однако накопленный эмпирический материал послужил важным фундаментом для дальнейших исследований, ведущихся с позиций системно-динамического подхода.

В практике железнодорожного транспорта большое значение имеет состояние готовности к экстренной деятельности (ГЭД), а при вождении локомотива именно этот параметр в условиях монотонной работы играет определяющую роль. Анализируя работы, в которых исследовалась ГЭД [4–6], отметим, что в качестве индикатора ГЭД использовались различные вариации времени реакции. Так, общепринятый в отечественной инженерной психологии [6] показатель получил название коэффициента рабочей установки (КРУ): $K_{ру} = \tau_{ср} / \tau_{инд}$, где $\tau_{ср}$ — среднее значение времени реакции; $\tau_{инд}$ — время реакции в данный момент работы (вычисляется по серии измерений). На основании использования этого показателя в указанных

работах обнаружены некоторые закономерности динамики состояния ГЭД у машинистов.

Механизмы внимания интенсивно исследовались в когнитивной психологии. Достоверно установлено, что процессы внимания действуют на двух уровнях: на уровне, где может изменяться сенсорная чувствительность, и на уровне принятия решений, где могут устанавливаться различные критерии. Механизмы внимания могут изменить чувствительность наблюдателя к входному сигналу с помощью внутреннего механизма «управление усилением». Посредством сдвига критерия механизм внимания может также изменить готовность наблюдателя к тому, что при оценивании будет предъявлен конкретный сигнал.

Теория обнаружения сигналов (ТОС) предлагает математический аппарат для описания рассмотренных явлений [1, 2]. Поскольку эти явления очень важны и часто встречаются на практике, стоит более подробно познакомиться с этой теорией.

Согласно ТОС, все перцептивные оценки совершаются в условиях неопределенности, обусловленной наличием в перцептивной системе шума. Под шумом в данном случае понимается любое событие, не связанное причинно-следственными связями с тем сигналом, который пытается обнаружить наблюдатель. В зрительных задачах, например, шум может быть связан с ослеплением наблюдателя, а в слуховых задачах — с влиянием гудения на частоте 60 Гц (частота переменного тока в блоке питания прибора). При вождении локомотива в качестве шума выступают блики от деревьев, мелькание шпал и т. д.

Можно также предположить, что в некотором отделе нервной системы, который связан с измерением сигналов, поступающих от рецепторов, происходит и оценка степени правдоподобия связи возникших ощущений с реальным входным сигналом. Даже при отсутствии реально-

го сигнала на входе уровень возбуждения меняется, что обусловлено как случайными флуктуациями во внешней среде, так и флуктуациями в самой нервной системе. Распределение этого возбуждения представлено на рис 1.



Рис. 1. Распределение вероятностей событий, наблюдаемых в отсутствие входного сигнала¹

Предположим теперь, что когда поступает реальный сигнал, то вызванное им возбуждение складывается с возбуждением, связанным с внутренним шумом нервной системы, в результате чего показанное на рис. 1 распределение в среднем сдвигается вдоль оси величины события (рис. 2).

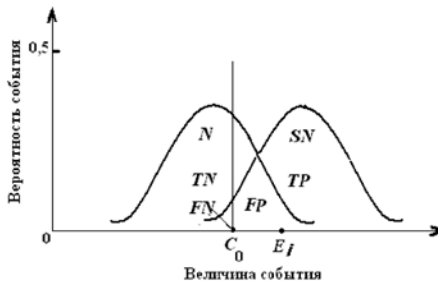


Рис. 2. Иллюстрация к теории обнаружения сигналов

N — распределение вероятностей без входных сигналов; SN — распределение при заданном реальном входе; область TP соответствует вероятности правильного обнаружения; FP — вероятности ложной положительной оценки (ложная тревога); TN — вероятности правильной оценки отсутствия сигнала; FN — вероятности ложной отрицательной оценки (пропуск); C — граничная точка критерия наблюдателя; E — величина неоднозначного стимула

Когда оператор оценивает, имеет-ся входной сигнал или нет, он изучает имеющиеся данные и должен решить, к какому распределению они относятся. Если уровень входного сигнала достаточно высок (S) или уровень шума достаточно низок (N), то принятие правильного решения не вызывает затруднений.

Однако в случае промежуточных уровней принимается статистическое решение (событие E), поскольку событие E может принадлежать любому из двух распределений. В этом случае оператор должен выбрать некоторую точку на оси величины события, которая будет служить ему точкой отсчета и позволит принимать решения. Назовем этот случай C . Если уровень активации оператора больше, чем C , то он должен принять решение: «Да, это был сигнал». Если же этот уровень меньше, чем C , то оператор должен сказать: «Нет, то, что было представлено, — это просто шум». Теперь рассмотрим, где должна располагаться точка отсчета.

Отметим, что после того, как выбраны критерий и соответствующая граничная точка, можно выделить четыре зоны, помеченные на рис. 2 как TP , FP , TN и FN . (Часто эти зоны называют соответственно «правильное обнаружение», «ложная тревога», «правильный отказ» и «пропуск».) Удобно также изображать эти зоны в виде матрицы (рис. 3).

То, что говорит наблюдатель	TP	FP	«Да» (сигнал предъявлен)
	FN	TN	«Нет» (сигнал отсутствует)

Рис. 3

Более строгое изложение математического аппарата ТОС приводится нами в [1], здесь же можно сделать одно интуитивно ясное дополнение, которое подчеркивает важность сформулированной выше концепции обнаружения сигнала оператором. Дело в том, что теперь он имеет возможность рационально выбрать положение точки C . Если оператор знает, что сигналы предъявляются до-

¹ Качество рисунков в статье соответствует качеству предоставленных оригиналов.

вольно часто, то C следует сдвинуть влево вдоль оси величины события, и тогда в сомнительном случае он будет давать ответ: «Сигнал предъявлен». Если последствия ошибки типа FP не очень существенны, а правильный ответ TP очень важен, то опять-таки C нужно сместить влево.

Наоборот, если сигнал появляется редко, то последствия ошибок типа FN значительны, а если выполняется ситуация TN , то C нужно сместить вправо. Если точно известны вероятности появления сигнала и «штраф», соответствующий каждой ситуации, указанной в клетках приведенной выше матрицы решений, то можно точно определить, где именно нужно расположить C .

Вследствие смещения C доля случаев, описываемых ситуацией TF , может сдвинуться от нуля к единице независимо от изменения интенсивности сигнала. Другими словами, в зависимости от ожиданий оператора и воспринимаемых значений TP , FP , TN и FN при обнаружении будут наблюдаться ошибки с заданной вероятностью: с нулевой, единичной или некоторой промежуточной. Это объясняется влиянием некоторых субъективных факторов, связанных влиянием верхних уровней при восприятии на нижние.

Рассмотрим другую ситуацию. Предположим, что мы не меняем положение C , но увеличиваем интенсивность сигнала. Поскольку интенсивность сигнала возрастает, то среднее значение SN сдвигается вправо. Если же интенсивность сигнала уменьшится, то среднее значение распределения SN сдвинется влево. В каждом из этих случаев меняется соотношение обнаруживаемых сигналов (вероятность TP). Таким образом, в ТОС интенсивность сигнала представлена расстоянием между средними значениями распределений (в литературе для этого используют обозначение d'), и этим расстоянием определяется вклад в вероятность обнаружения сигналов фи-

зической стороны решаемой задачи и перцептивных процессов в направлении снизу вверх.

Краеугольный камень данного подхода — допущение того, что все перцептивные оценки имеют статистическую неопределенность. Отсюда следует, что все перцептивные решения должны описываться с помощью двух параметров. Один параметр (интенсивность сигнала) определяется физическими свойствами перерабатываемых сигналов, а другой параметр (C) связан с принятым оператором критерием решения. Более подробный анализ ТОС в связи с задачами профотбора, наблюдения и контроля, а также данные, показывающие, что когда ТОС используется в качестве нормативной модели, рабочие характеристики человека-оператора очень близки к оптимальным, приводятся в [1].

Здесь же достаточно сделать следующее качественное замечание: если перцептивные реакции оператора становятся неадекватными, то причин может быть две. Первая связана со свойствами сигналов, и этим объясняется неэффективность работы оператора. В этом случае нужно обратить внимание на особенности рабочего места, аппаратуры, световых табло и т. д. Вторая причина определяет, что замеченная неэффективность вызвана субъективными факторами и наилучшим способом улучшить перцептивные оценки будет тренировка оператора или изменение его мотивации. В этом случае следует изменить установку оператора в отношении вероятности предъявления сигналов, а также его представление о штрафной матрице, связанной с разными оценками.

Только после того как оптимизирован последний из перечисленных выше факторов, следует обращать внимание на реконструкцию самого оборудования. Ряд допущений, принятых в ТОС, часто не выполняется на практике. Однако общая концепция ТОС более важна, чем вто-

ростепенные детали, от которых зависит возможность или невозможность количественного применения ТОС при решении конкретной задачи. Эта общая концепция выражается в виде следующего принципа: *восприятие определяется взаимодействием физических параметров стимула и субъективных факторов, связанных с механизмами перцептивного управления у оператора.*

Исследование особенностей формирования профессиональных навыков в моделирующем эксперименте

В задачу наших исследований входит изучение психологических особенностей работы машиниста-оператора в условиях как обычных скоростей, так и высокоскоростного движения. С этой целью нами разработаны метод и программно-аппаратный комплекс, которые позволяют оценивать параметры точности и времени перцептивно-моторной деятельности в условиях непрерывного напряженного отслеживания целевого стимула, находящегося в окружении помех.

Проведенный при создании методики профессиографический анализ деятельности машиниста выявил следующие специфические особенности.

1. Высокий удельный вес зрительной информации и в связи с этим ведущая роль зрительного восприятия в обнаружении и опознании значимых сигналов.

Это положение актуально, несмотря на то, что определенный объем информации машинист получает при помощи слухового и тактильно-вибрационного анализаторов. Так, с целью разгрузки зрительного анализатора машиниста и повышения надежности получения им сигнальной информации в некоторых локомотивных приборах безопасности эта информация дублируется речевыми сигналами.

2. Общая монотонность работы, связанная с восприятием большо-

го количества однообразных сигналов и объектов по пути следования состава.

3. Объективная необходимость непрерывного и напряженного внимания, связанная не только с задачами точного восприятия путевых сигналов и знаков, но и с постоянной возможностью внезапного возникновения экстраординарных ситуаций, требующих максимально быстрых управляющих действий.

4. Ведущая роль информации от сигналов и событий, возникающих вне самой управляемой системы. Это объясняется тем, что восприятие приборной информации и осуществление управляющих воздействий выполняются стандартными приемами, высоко автоматизированы, носят периодический характер и протекают как бы на фоне непрерывного и напряженного внешнего наблюдения. Именно результаты внешнего наблюдения в первую очередь диктуют частоту, конкретный момент, направленность и смысловое содержание действий, связанных как с получением приборной, так и с вводом в систему командной информации.

На основе теоретических и экспериментальных исследований нами предлагается новый метод измерения ГЭД, который учитывает не только временные показатели, но и показатели ошибочности операторской деятельности. Одним из вариантов такого учета является определение коэффициента готовности к экстренному действию ($K_{гэд}$) по формуле

$$K_{гэд} = K_{пу} K_{бд},$$

где $K_{бд}$ — коэффициент бдительности, отражающий способность оператора учитывать априорные вероятности появления сигнала и шума и цену, которую придется заплатить за принятые решения.

В развернутом виде коэффициент готовности к экстренному действию выглядит следующим образом:

$$\begin{aligned}
K_{\text{гзд}} = & \\
= K_{\text{py}} [& P(S) P(H) C(H) - \\
& - P(S) P(M_{\text{iss}}) C(M_{\text{iss}}) + \\
& + P(N) P(CR) C(CR) - \\
& - P(N) P(FA) C(FA)],
\end{aligned}$$

где $P(S)$ и $P(N)$ — априорные вероятности появления сигнала и шума; $P(H)$ и $P(FA)$ — вероятности попаданий и ложных тревог; $P(M_{\text{iss}})$ и $P(CR)$ — вероятности пропусков и правильных отрицаний; $C(H)$ и $C(FA)$ — стоимости попаданий и ложных тревог; $C(M_{\text{iss}})$ и $C(CR)$ — стоимости пропусков и правильных отрицаний [1].

Для вычисления количественных показателей испытуемых в условиях моделирующего эксперимента применялся разработанный нами аппаратно-программный комплекс, на котором и были проведены эксперименты. В них приняло участие 72 человека (студенты 5-го курса Уральского государственного университета путей сообщения, прошедшие практику в роли помощников машинистов). Продолжительность эксперимента для каждого испытуемого — 1,5 ч. Высокая монотонная нагрузка в эксперименте создавалась спецификой самого опыта (однообразием и частотой повторяющихся воздействий).

В разных типах экспериментов инструкция к задаче либо сообщала испытуемым априорные вероятности предъявления сигнала и шума, а также стоимости каждого из четырех исходов решения, либо вероятности и стоимости усваивались ими в ходе решения задачи, основываясь на субъективной оценке вероятности предъявления сигнала и информации от программы о качестве его работы. Критерий, которым руководствовались испытуемые, выведенный в рамках ТОС, — максимизировать выигрыш. Стоимости четырех исходов решения могли варьировать, причем для верных ответов они положительные (либо нулевые), для ошибочных — отрицательные (либо

нулевые). Испытуемые должны были учитывать их все для вынесения оптимального решения.

Эксперимент по исследованию бдительности и готовности к экстренному действию в лабораторных условиях был построен следующим образом. Вначале на основе 50 измерений определяется среднее значение времени реакции $\tau_{\text{ср}}$ испытуемого. Экспериментатор устанавливал максимальные значения целевого стимула и времени его экспозиции и минимальный уровень помех, то есть создавал наиболее комфортные условия для испытуемого, способствующие минимизации времени реакции (ВР). Полученные результаты для двух испытуемых А. К. и В. П. составили 320 и 327 мс соответственно при среднем по группе 336 мс.

Данная процедура занимает 5 мин 30 с. После этого можно приступить к основному эксперименту. Необходимые параметры стимуляции запоминаются программой и при запуске очередной серии их изменение не требуется. В ходе предварительной части эксперимента, изменяя значения параметров (размер сигнального стимула, время экспозиции сигнального стимула на фоне помех, яркость помех), экспериментатор устанавливает такой их уровень, при котором вероятность правильного обнаружения $P(H)$ становится отличной от единицы (приблизительно равной 0,85–0,9), а вероятность ложной тревоги $P(FA)$ отличной от нуля. Априорная вероятность предъявления сигнала $P(S)$ при этом устанавливалась равной 0,5.

После этого испытуемый, получив от экспериментатора информацию о вероятностях предъявления сигнала $P(S)$ в сериях и информацию о штрафах за принятые решения о пропуске цели и ложной тревоге и поощрениях за правильное обнаружение и за правильную оценку отсутствия цели, приступает к основному эксперименту.

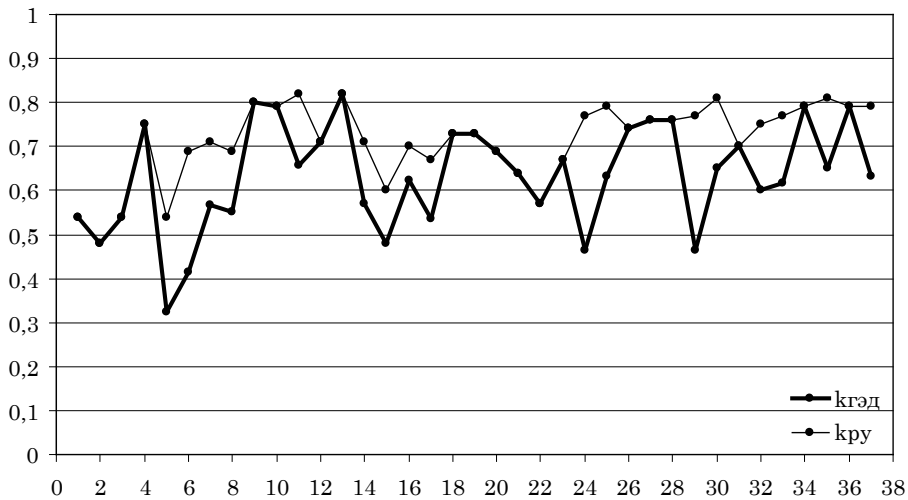


Рис. 4. Динамика изменения коэффициентов готовности к экстренному действию и рабочей установки в ходе эксперимента (40-минутный фрагмент, исп. А. К.)

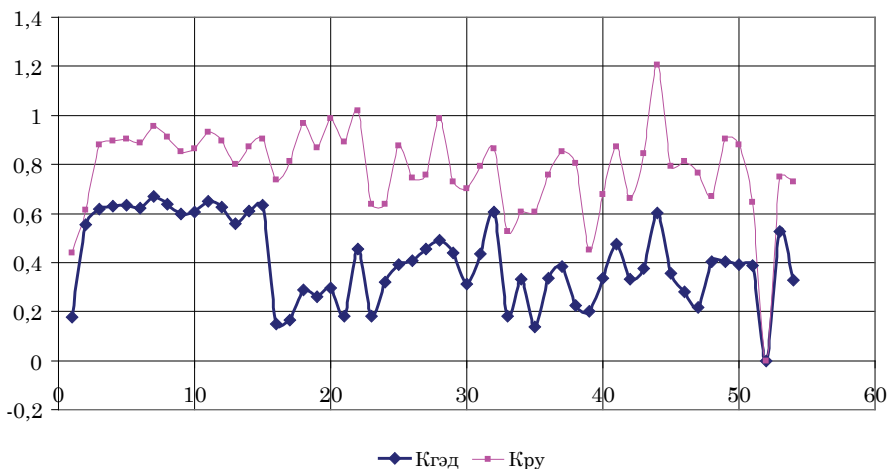


Рис. 5. Динамика изменения коэффициентов готовности к экстренному действию и рабочей установки в ходе эксперимента (55-минутный фрагмент, исп. В. П.)

Фрагменты динамики изменения $K_{ру}$ и $K_{гэд}$ у двух испытуемых А. К. и В. П. в условиях монотонной работы показаны на рис. 4 и 5, на которых отчетлива видна разница этих двух показателей.

Анализ полученных результатов позволяет сделать следующие основные выводы.

Во-первых, кривая коэффициента готовности к экстренному действию ($K_{гэд}$) располагается существенно ниже, чем кривая коэффициен-

та рабочей установки ($K_{ру}$). Из графиков видно, что это в большей степени проявилось у В. П., чем у А. К.

Во-вторых, кривые $K_{гэд}$ и $K_{ру}$ испытуемого не синхронизированы друг с другом, то есть подъемы и впадины на одной кривой не всегда совпадают с подъемами и впадинами на другой. Такая картина отчетливо наблюдается у испытуемого В. П. между 15-й и 23-й минутами и между 33-й и 38-й минутами. В большей или меньшей степени отсутствие син-

хронизации проявилось и у других испытуемых.

В-третьих, различные испытуемые в условиях монотонности характеризуются разным уровнем своего коэффициента готовности к экстренному действию ($K_{гэд}$). Это отчетливо видно при сравнении графиков испытуемых А. К. и В. П. Так, если у А. К.

кривая $K_{гэд}$ располагается в полосе, ограниченной величинами 0,5 и 0,8, то у В. П. — в полосе, ограниченной величинами 0,2 и 0,6.

В заключение отметим, что методика и программно-аппаратный комплекс в настоящее время проходят апробацию с целью практического внедрения.

Литература

1. Воронин В. М. Современная инженерная психология на железнодорожном транспорте: монография/В. М. Воронин. — Екатеринбург : Изд-во УрГУПС, 2011. — С. 280. ISBN 978-5-94614-219-9.
2. Иган Дж. Теория обнаружения сигнала и анализ рабочих характеристик. М. : Наука, 1983. — С. 310.
3. Забродин Ю. М., Лебедев А. Н. Психофизиология и психофизика. М., 1977. — С. 178.
4. Нерсисян Л. С., Конопкин О. А. Инженерная психология и проблема надежности машиниста. М., 1978. — С. 239.
5. Основы инженерной психологии/Под ред. Б. Ф. Ломова. М.: Высшая школа, 1986. — С. 445.
6. Пушкин В. Н., Нерсисян Л. С. Железнодорожная психология. М., 1973. — С. 255.

References

1. Voronin V. M. Sovremennaya inzhenernaya psikhologiya na zheleznodorozhnom transporte: monografiya [Modern engineering psychology on railway transport: monograph]/V. M. Voronin. — Ekaterinburg: Izd-vo UrGUPS, 2011. — S. 280. ISBN 978-5-94614-219-9.
2. Egan J. Teoriya obnaruzheniya signala i analiz rabochikh kharakteristik [Signal detection theory and ROC analysis]. M. : Nauka, 1983. — S. 310.
3. Zabrodin Yu. M., Lebedev A. N. Psikhofiziologiya i psikhofizika [Psychophysiology and psychophysics]. M., 1977. — S. 178.
4. Nersesyan L. S., Konopkin O. A. Inzhenernaya psikhologiya i problema nadezhnosti mashinista [Engineering psychology and problem of driver reliability]. M., 1978. — S. 239.
5. Osnovy inzhenernoy psikhologii [Bases of engineering psychology]/Pod. red. [Ed. by] B. F. Lomova. M. : Vysshaya shkola, 1986. — S. 445.
6. Pushkin V. N., Nersesyan L. S. Zheleznodorozhnaya psikhologiya [Railway psychology]. M., 1973. — S. 255.

Статья сдана в редакцию 30 июня 2012 года

М. Т. Крючков, А. А. Конов, Б. И. Мацкевич

Анализ модернизации железнодорожного транспорта на Урале в 1956–1991 гг.

UDC 656.2 (09)

M. T. Kryuchkov, A. A. Konov, B. I. Matskevitch

Analyzing railway transport upgrade in the Urals in 1956–1991

Аннотация

В статье дан анализ модернизации железнодорожного транспорта на Урале в 1956–1991 гг. Исследованы особенности модернизационных процессов в четырех отраслях материально-технической базы железных дорог на Урале: электрификация, введение новых видов локомотивной тяги, строительство новых железнодорожных линий и вторых путей, введение автоблокировки и электрической централизации стрелок.

По своим многообразным последствиям электрификация превзошла другие направления развития научно-технического прогресса на транспорте. Новое транспортное строительство на Урале отличалось сложностью природно-климатических условий и потребовало применения новейших строительных технологий и техники. В заключение сделан вывод об успешном характере модернизационных процессов на железных дорогах Урала. Уральские железные дороги в 1956–1991 гг. обеспечили транзитные перевозки между западными и восточными районами СССР, обеспечили доступ к нефтяным и газовым месторождениям Западной Сибири.

Ключевые слова:

электрификация, электровоз, тепловоз, вторые пути, автоблокировка, Генеральный план электрификации железных дорог.

Abstract

The article analyzes railway transport upgrade in the Urals in 1956–1991. Peculiarities of upgrade processes in four branches of the material technical base of railroads in the Urals were studied: electrification, introducing new kinds of locomotive traction, building new railway lines and side tracks, introducing automatic locking and electric interlocking of points.

According to its diversified consequences, electrification has surpassed the other trends of scientific and technical progress on transport. New transport construction in the Urals was noted for the complexity of natural and climatic conditions and required the use of advanced construction technologies and machinery. The conclusion is drawn that upgrade processes on Ural railroads were successful. In 1956–1991, the Ural railroads ensured transit carriage between the western and eastern regions of the USSR, provided access to oil and gas fields in Western Siberia.

Key words:

electrification, electric locomotive, diesel-powered locomotive, side tracks, automatic locking, General Plan of electrification of railways.

Михаил Тимофеевич Крючков, д-р ист. наук, профессор; кафедра «Философия и история» Уральского государственного университета путей сообщения; Екатеринбург, Россия. E-mail: MKruchkov@usurt.hist.ru.

Алексей Александрович Конов, канд. ист. наук, доцент; кафедра «Философия и история» Уральского государственного университета путей сообщения; Екатеринбург, Россия. E-mail: drednoute@e1.ru.

Борислав Иванович Мацкевич, главный инженер Свердловской железной дороги (1986–1996 гг.); Пермь, Россия. E-mail: boris-mackevich@rambler.ru.

Mikhail Timofeyevitch Kryuchkov, DSc in History, Professor; Philosophy and History Chair of Ural State University of Railway Transport; Ekaterinburg, Russia. E-mail: MKruchkov@usurt.hist.ru.

Alexey Alexandrovitch Konov, PhD in History, Professor; Philosophy and History Chair of Ural State University of Railway Transport; Ekaterinburg, Russia. E-mail: drednoute@e1.ru.

Bronislav Ivanovitch Matskevitch, Engineer; Sverdlovsk Railways — JSC RZD branch; Ekaterinburg, Russia.

Историческая наука рассматривает модернизацию как всеобъемлющий процесс инновационных мероприятий при переходе от традиционного общества к современному индустриальному и постиндустриальному. Анализируя роль инноваций в истории человечества, историки выделяют аграрную, индустриальную и постиндустриальную (инновационную) стадии модернизации. Каждой из них соответствуют свои институты и культура.

1956–1991 гг. — такой исторический этап развития, в котором все стороны модернизации совпали по времени: новый этап научно-технической революции, выход человечества в космос, переход человечества в постиндустриальное общество. В русле этих процессов оказалась советская Россия. Комплекс современных проблем постсоветской России, связанных с модернизацией всех сторон жизни, отраслей экономики, особенно железнодорожного транспорта, позволяет обратиться к опыту прошлого.

В СССР железнодорожный транспорт всегда имел исключительное значение. Он не только обеспечивал единство и целостность огромной социалистической державы, но и способствовал освоению новых месторождений и перспективных производственных районов, перевозил основную часть потоков массовых грузов и создавал базовые условия жизнедеятельности населения. Таким образом, железнодорожный транспорт в СССР являлся не только объектом, но и субъектом модернизации.

В модернизации железнодорожного транспорта на Урале можно достаточно четко выделить два больших этапа: первый — 1956–1970 гг. — реализация на транспорте Генерального плана электрификации железных дорог (на электрическую тягу стали переводиться не отдельные участки, а целые направления, крупнейшие магистрали), активное транспортное строительство, обновление локомотивного и вагонного парков; вто-

рой — 1970–1980-е гг. — увеличение пропускной и провозной способности железных дорог, улучшение технологии всех производственных процессов, обобщение и внедрение передовых методов труда по совершенствованию технологии работы дорожных предприятий [1].

На первом этапе вступила в силу общесоюзная программа электрификации железных дорог, имевшая целью повышение эффективности всей транспортной системы страны. Интенсивное техническое перевооружение железных дорог Урала позволило многократно поднять их пропускную и провозную способность. Осуществлено комплексное обеспечение электроэнергией всех железнодорожных предприятий, а также прилегающих к железным дорогам районов. В результате нового транспортного строительства началось постепенное формирование новых транспортно-экономических связей Дальнего Востока и Сибири с районами Урала, Казахстана и европейской частью страны.

На втором этапе модернизации железнодорожного транспорта Урала модернизационные импульсы постепенно затухают и теряют свою силу, что проявилось в возникновении целого ряда негативных тенденций: недостаточное внимание правительства к ускорению технического перевооружения железных дорог края; исчерпание железными дорогами уже к середине 1970-х гг. всех технологических резервов пропускной способности; тенденция к значительному снижению объемов и качества работы; перенос центра внимания и капитальных вложений в строительство новых линий на севере Тюменской области в ущерб действующей части магистралей [2].

Основным направлением модернизации железнодорожного транспорта в 1956–1991 гг. стала электрификация железнодорожных линий. Можно выделить следующие предпосылки электрификации железных дорог на Урале.

1. Бурное развитие электроэнергетики страны.

Транспортная электроэнергетика в послевоенные годы прошла путь от ветровых электростанций небольшой мощности и передвижных электростанций до сооружения высоковольтных линий продольного электроснабжения, связанных с крупнейшими энергетическими системами страны.

2. Преимущества электрической и тепловозной тяги над паровозной.

Превосходство электровозов и тепловозов над паровозами состояло в том, что они сокращали численность состава локомотивных бригад, уменьшали объем экипировочных операций на единицу перевозок, экономили время на разгон и замедление поездов, увеличивали межремонтные пробеги, улучшали условия труда [3].

3. Рост интенсивности грузоперевозок по железнодорожным магистралям Урала.

Без электрификации железнодорожного транспорта понадобились бы огромные затраты на новое строительство и расширение существующего технического вооружения (на том же техническом уровне). Без электрификации транспорта потребовалось бы колоссальное количество подвижного состава, рельсов, всякого рода оборудования и материалов, чтобы обеспечить необходимый объем грузо- и пассажироперевозок.

4. Возможность подачи электроэнергии населению прилегающих к железной дороге районов.

Электрификация железных дорог не ограничивалась областью тяги поездов — она была связана с проникновением электроэнергии во все виды производственных процессов на транспорте. Это означало внедрение электропривода в локомотивных и вагонных депо, механизацию погрузочно-разгрузочных работ, механизацию сортировочных горок, развитие электросварки, электрозакалки, применение передвижных электростанций для ремонта пути [3, с. 228].

В 1956 г. Совет Министров СССР принял Генеральный план электрификации железных дорог, предусматривающий в период 1956–1970 гг. электрифицировать 40 тыс. км линий, то есть увеличить протяженность электрифицированных железных дорог в девять раз. Намечалось перевести на электрическую тягу в первую очередь важнейшие грузонапряженные линии, с большими размерами пассажирского движения и пригородные участки в 59 крупнейших промышленных центрах.

Электрификация железных дорог на Урале прошла два этапа.

I этап — 1951–1955 гг. — осуществлен переход от электрификации отдельных наиболее загруженных участков к электрификации наиболее важных направлений большой протяженности с равнинным профилем.

II этап — 1956–1991 гг. — вступила в силу общесоюзная программа электрификации железных дорог, имевшая целью повышение эффективности всей транспортной системы страны: электрическая тяга вводилась в действие на основных грузонапряженных направлениях большой протяженности, связывающих европейскую часть страны с Уралом и Сибирью [4].

Процесс электрификации железных дорог Урала имел ряд характерных особенностей. Во-первых, одновременно с электрификацией линий осуществлялась комплексная техническая реконструкция постоянных устройств железных дорог, повышающая эффективность использования мощных электровозов: удлинялись станционные пути, развивались узлы, устройства связи и СЦБ, проводилась реконструкция локомотивного хозяйства. Во-вторых, ввод новых видов тяги на железных дорогах Урала носил некомплексный характер. На прогрессивные виды тяги переводилась лишь поездная работа. В вывозном, передаточном движении и на маневрах в ряде случаев сохраняли паровую тягу. В-третьих,

необходимо указать на форсированный характер строительно-монтажных работ при электрификации. Требовалось в предельно короткие сроки без ущерба для основных перевозочных работ модернизировать оборудование на целых направлениях дорог, а не на отдельных участках.

Таким образом, процесс электрификации железных дорог Урала осуществлялся самыми высокими на сети железных дорог темпами, что, в первую очередь, было связано с их транзитным значением для восточных и европейских районов СССР. Все строительные работы осуществлялись в тяжелых условиях непрерывного роста грузопотока.

Первой пробой сил уральских электрификаторов по реализации Генерального плана электрификации железных дорог явилась электрификация 85-километрового однопутного участка Свердловск – Дружинино по проекту Уралгипротранса. К работе приступили в 1958 г.; в первых числах октября 1959 г. произвели холодную обкатку линии, а еще через десять дней по ней прошел первый грузовый поезд.

В 1960 г. приступили к электрификации двухпутного хода Балезино – Пермь – Шаля – Свердловск общей протяженностью 620 км. Строительство и монтаж велись как никогда прежде быстро, ибо широко использовались типовые проекты, готовые крупные блоки, промышленные методы. И уже в 1961 г. участок Пермь – Балезино сдан в эксплуатацию.

Электрификация Пермского отделения Свердловской железной дороги позволила не только увеличить пропускную и провозную способность, но значительно повысить производительность труда и снизить себестоимость перевозок. Были увеличены в сравнении с паровозной тягой участки обращения новых локомотивов, переведены на автоматическое действие малодеятельные линейные станции. Улучшение и упрощение структуры предприятий, кооперирование

цехов и производственных подразделений на Пермском отделении коснулось всех хозяйств [5].

Электрификация линии Балезино – Свердловск завершена к концу 1963 г., а два года спустя паровозы полностью ушли с главного хода. Теперь протяженность электрифицированных участков Свердловской дороги приблизилась к 40%, а доля грузооборота, приходящаяся на электрическую тягу, достигала почти 60% [4, с. 225].

Переход на электрическую тягу повлек за собой перестройку системы энергоснабжения уральских магистралей. Многократно возросшее потребление электроэнергии железные дороги уже не могли обеспечить за счет собственных — маломощных и неэкономичных — электростанций, и они ликвидировались, а тяговые подстанции подключались к объединенной уральской энергосистеме. Новая система энергоснабжения была более надежна и экономична. Попутно решался и целый ряд других проблем — от энергопитания производственных участков (депо, мастерских) до электрификации пристанционных поселков и замены керосиновых фонарей электрическими лампочками в системе сигнализации линейных станций и разъездов.

По мере расширения сети электрифицированных линий удлинялись тяговые плечи, устранялись лишние барьеры на пути поездов и тем самым готовились оптимальные условия для применения на дороге более мощных и совершенных локомотивов. В 1950-е гг. электрифицированные линии Свердловской дороги обслуживались в основном первенцами советского электровозостроения ВЛ19 мощностью 2040 л.с. В 1950 г. в депо станции Свердловск-Сортировочный поступили первые образцы электровоза ВЛ22 (4550 л.с.), а в 1960-х гг. электровозы ВЛ22 распространились уже по всей дороге. Вслед за ними появились ВЛ8 (7350 л.с.), а потом и пассажирские электровозы ЧС2 [4, с. 226].

В 1978 г. в депо Свердловск-Сортировочный пришли новые электровазозы — многосекционные ВЛ11 Тбилисского завода. К зиме 1980–1981 г. линию главного хода дороги Балезино — Пермь — Свердловск обслуживали уже только новые локомотивы ВЛ11. На других участках Свердловской дороги успешно работали ВЛ22^м, хорошо показавшие себя на трудных горных маршрутах. Свердловская дорога даже изъявила желание принимать в свой парк электровазозы ВЛ22^м с других дорог, если там они не прижились или были повреждены — здесь их научились приводить в рабочее состояние. В частности, в 1977 г. по указанию МПС в локомотивное депо Пермь-Сортировочная были направлены на пополнение электровазозного парка десять электровазозов ВЛ22^м из локомотивного депо Днепропетровск Юго-Западной железной дороги. Ремонтники депо Пермь-сортировочная круглосуточно трудились, чтобы запустить в эксплуатацию пришедшие с Юго-Западной дороги электровазозы [5, с. 235]. Таким образом было получено и возвращено к жизни до сорока машин.

В 1970–1980-е гг. продолжили переводить на электрическую тягу линии, по которым двигались транзитные эшелоны с Урала на восток страны. Настоящим событием конца 1960-х гг. явилась электрификация 250-километровой линии Смычка — Алапаевск — Егоршино — Богданович, вследствие чего значительно возросла пропускная способность важного грузового направления в обход Свердловского узла. Помимо железнодорожных потребителей получили надежное электроснабжение многие промышленные и сельскохозяйственные предприятия, находившиеся в регионе электрифицированного участка. В частности, с тяговой подстанции Егоршино получил надежное электроснабжение Егоршинский радиозавод, с тяговой подстанции 228-й км — Сухоложский меха-

нический завод и деревообрабатывающий комбинат [6].

Затем была протянута контактная сеть над рядом крупных участков восточного и юго-восточного направлений, уже освоенных тепловозами: Свердловск — Каменск-Уральский (118 км) в 1972 г., Путевка — Богданович (91 км) в 1976 г., Богданович — Тюмень (225 км) в 1980 г. Всего за 1968–1980 гг. на Свердловской дороге электрифицировано более 1000 км линий. Практически все главные направления дороги теперь работали на электрической тяге.

В связи со строительством Рефтинской ГРЭС в 1986–1987 гг. и необходимостью подвоза для нее экибастузского угля из Казахстана был построен и электрифицирован второй путь Богданович — Рефт, а также построенная отдельная электрифицированная ветка Рефт — Углеразгрузочная [6].

Достаточно быстрыми темпами вводилась электрическая тяга на Южно-Уральской железной дороге, так как главный ход дороги являлся составной частью Транссибирской магистрали. Кроме того, рост добычи железной руды, производство офлюсованного агломерата на Бакальских рудниках, а также пуск Саткинского и Новомагнитного заводов требовали значительного увеличения размеров движения поездов на железной дороге. С этой целью в декабре 1954 г. Совет Министров СССР обязал руководство треста «Южуралтрансстрой» и Южно-Уральской дороги закончить электрификацию участка Бакал — Бердяш и тем самым значительно увеличить ее пропускную способность. Все работы были выполнены точно в срок.

В 1957 г. благодаря дружным усилиям коллективов строителей, монтажников и эксплуатационников всё направление Челябинск — Макушино (около 400 км) было электрифицировано в невиданно короткий срок и при высоком качестве работ. В декабре 1960 г. проводились строительные работы по электрифика-

ции на участках Челябинск – Карталы и Магнитогорск – Тобол. В конце 1965 г. электровазсы и тепловозы выполняли 96,9% перевозок против 21,4% в 1955 г. В 1973 г. на Южно-Уральской дороге потушен последний паровоз.

На первых электрифицированных участках Южно-Уральской дороги работали электровазсы грузовой серии ВЛ22^м. В целом, локомотивный парк дороги был представлен тепловозами ТЭЗ Харьковского завода, 2 ТЭ10 В Ворошиловградского (Луганского) завода, ЧМЭЗ постройки завода ЧКД-Прага, ТГМ23 Людиновского завода. Пассажирские перевозки на дороге осуществлялись тепловозами ТЭП60. В 1980-е гг. на электрифицированных линиях Южно-Уральской дороги появились электровазсы ВЛ10, ВЛ60, ВЛ80, способные водить тяжелые грузовые поезда весом в 6 тыс. т со скоростью до 100 км/ч.

Рассмотрим данные по выполнению Генерального плана электрификации железных дорог СССР за период 1956–1990 гг. (по пятилетним планам); таблица 1.

Таблица 1

Выполнение Генерального плана электрификации железнодорожного транспорта СССР в 1956–1990 гг., км [7]

Пятилетка	Годы пятилетнего плана	План	Выполнение
Шестая	1956–1960	8100	8470
Седьмая	1961–1965	15000	11070
Восьмая	1966–1970	10000	9000
Итого	1956–1970	33100	28540
Девятая	1971–1975	6600	5000
Десятая	1976–1980	4500	4600
Одиннадцатая	1981–1985	6400	4675
Двенадцатая	1986–1990	8000	2577
Итого	1956–1990	58600	45392

Таблица 1 показывает, что Генеральный план электрификации железных дорог СССР даже в урезанном виде не был выполнен. Ос-

новные причины: дефицит финансирования и рост сметной стоимости электрификации; неспособность Минэнерго обеспечить своевременный ввод в эксплуатацию генерирующих мощностей и высоковольтных линий 110–220 кВ для питания тяговых подстанций; отрицательное влияние дискуссий о целесообразности электрификации однопутных линий и перевода участков с тепловозной тяги на электрическую.

Таблица 2 показывает, что протяженность электрифицированных линий Свердловской магистрали заметно превышает протяженность линий Южно-Уральской магистрали. Подобную тенденцию можно объяснить двумя причинами: во-первых, существенное место в модернизации Южно-Уральской дороги отводилось тепловозной тяге в связи с форсированным освоением в 1954–1962 гг. целинных земель Северного Казахстана (магистраль была главным связующим звеном с новыми целинными линиями); во-вторых, сложный горный рельеф местности Свердловской дороги больше соответствовал электрической тяге, чем тепловозной. Да и темпы электрификации Южно-Уральской дороги в 1966–1971 гг. оказались намного интенсивнее темпов электрификации Свердловской дороги. Данное обстоятельство связано с тем, что электрификация Южно-Уральской дороги осуществлялась по программе электрификации Транссибирской магистрали, начальным звеном которой она являлась.

В электрификации железных дорог на Урале можно выделить три аспекта: технический, социальный и профессиональный.

1. Технический аспект. Среди достижений, напрямую связанных с использованием электрической тяги, — увеличение скоростей движения поездов всех категорий, повышение экономичности работы железнодорожного транспорта, снижение отрицательного экологического воздействия на окружающую среду.

Таблица 2

**Протяженность электрифицированных линий Свердловской
и Южно-Уральской железных дорог в 1966–1987 гг. [8]**

Дорога	1 января 1966 г.		1 января 1971 г.		1 января 1987 г.	
	км	% к эксплуа- тац. длине	км	% к эксплуа- тац. длине	км	% к эксплуа- тац. длине
Свердловская	2063	43,3	2359	44,1	3638	51,8
Южно-Уральская	1122	22,6	2014	40,5	2845	56,5
Сеть дорог СССР	24902	19	33862	25	50589	34,8

Таблица 3

**Потребление электроэнергии железнодорожным транспортом СССР
в 1955–1981 гг., млрд кВт/ч [8, с. 419–422]**

Показатель	Годы						
	1955	1960	1965	1970	1975	1980	1981
Потребление электроэнергии ж.-д. транспортом, в том числе на тягу поездов	6,0	13,7	26,7	38,0	51,3	58,4	59,9
Выработка электроэнергии собственными электростанциями МПС	1,53	1,39	0,97	0,54	0,42	0,32	0,27
Передано электроэнергии нетранспортным потребителям через распределительные сети и тяговые подстанции МПС	0,70	2,03	5,90	11,7	20,7	24	25,6
В том числе сельскому хозяйству	0,08	0,30	1,15	3,7	6,8	8,7	8,5

В начале 1960-х гг. фактически достигнутый уровень технической скорости грузовых поездов составил 40 км/ч и пассажирских — 50 и более. Только за счет использования электровозов и тепловозов открывалась возможность увеличить скорость поездов не менее чем в два раза. За семь лет (1958–1965 гг.) среднесуточный пробег электровозов возрос на 170 км, тепловозов — на 180 км [9].

Коренным образом изменились техническое оснащение локомотивных депо, существенно повысилось качество производства ремонта. Практически во всех локомотивных депо в 1970-е гг. были созданы поточные линии по ремонту тяговых электродвигателей, букс, роликовых подшипников, внедрены механизированные стойла по ремонту электровозов и тепловозов. Во всех депо были смонтированы моечные установки для мойки деталей и узлов электровозов, появились стенды для сборки колесно-моторных блоков локомотивов [5, с. 186].

2. Социальный аспект. Электрификация коренным образом улучшила работу и быт железнодорожников: к 1967 г. была завершена электрификация всех переездов, промежуточных станций, разъездов, остановочных пунктов и линейно-путевых зданий для проживания железнодорожников на перегонах (таблица 3).

Данные таблицы 3 показывают, что потребление электроэнергии транспортом только за 1960–1980 гг. возросло почти в девять раз, а в 1976 г. оно превысило выработку электроэнергии в стране в довоенном 1940 г. В 1981 г. сельское хозяйство от распределительных сетей железных дорог получало около 10% потребляемой им электроэнергии. В 1981 г. рост электроэнергии, передаваемой районным потребителям, опережал рост потребления энергии на тягу поездов.

3. Профессиональный аспект. Внедрение электрической тяги привело к ликвидации таких профессий, связанных с тяжелыми и вредными

Таблица 4

Численный состав машинистов паровозов, электровозов, тепловозов и паровозных кочегаров на Свердловской железной дороге в 1958–1972 гг., чел. [10]

Профессия	Годы						
	1958	1960	1965	1969	1970	1971	1972
Машинист паровоза	3138	3045	1862	1364	1109	956	664
Машинист электровоза	585	689	1545	1916	1910	2057	2267
Машинист тепловоза	–	328	758	1307	1617	1853	2173
Кочегар паровозный	2031	1907	746	318	202	–	–

условиями труда, как кочегар, промывальщик, котельщик. Появились новые профессии, связанные с обслуживанием устройств электроснабжения и ремонтом электроподвижного состава. Труд железнодорожников стал более квалифицированным, повысился уровень подготовки кадров, резко изменились условия работы в локомотивных депо, превратившихся в предприятия с высокой культурой производства. Резко увеличилась потребность в квалифицированных специалистах: инженерах, техниках, рабочих. Происходившие в эти годы в кадровом потенциале железных дорог Урала изменения наиболее отчетливо видны на примере Свердловской дороги (таблица 4).

Таблица 4 показывает постепенное вытеснение на Свердловской железной дороге профессий машиниста паровоза и паровозного кочегара. За 14 лет количество паровозных машинистов уменьшилось на 2474 чел., паровозные кочегары практически полностью перестают использоваться в производственном процессе уже с 1971 года.

Электрификация потребовала создания серьезной научно-производственной базы из восьми транспортных вузов, в которых началась подготовка инженеров по специальностям «энергоснабжение» и «электрический подвижной состав».

Для дорог Уральского региона квалифицированные кадры готовил созданный в 1956 г. Уральский электромеханический институт инженеров транспорта. На первом этапе своего развития институт имел

всего две специальности: «электрификация железнодорожного транспорта» и «автоматика, телемеханика и связь на железнодорожном транспорте». В 1958 г. на их базе были созданы электромеханический и электротехнический факультеты.

В связи с электрификацией Свердловской железной дороги появилась острая необходимость подготовки специалистов по техническому обслуживанию, ремонту и эксплуатации электровозов в локомотивных депо и средств энергоснабжения дороги. С этой целью в 1956 г. в Пермском железнодорожном техникуме открыты отделения «Электроподвижной состав» и «Энергоснабжение и энергетическое хозяйство железных дорог». В 1970-е гг. подготовку специалистов этих профилей передали Свердловскому (ныне Уральскому) техникуму железнодорожного транспорта. Подготовка техников-паровозников в Пермском железнодорожном техникуме полностью прекращена с 1959 года [11].

В 1970-е гг. руководящий состав Свердловской железной дороги направлялся на переподготовку в Институт повышения квалификации при Московском институте инженеров транспорта. Среди изучавшихся на курсах дисциплин можно отметить следующие: «Основы экономики и управления производством», «Современные устройства и оборудование локомотивных депо», «Техническая электроника», «Передовые методы эксплуатации и ремонта локомотивов и электроподвижного состава». В качестве практических заня-

тий курсанты посещали передовые локомотивные депо Москва-Раменское, Москва-Сортировочная, Люблино, Ленинград-Балтийский, Ленинград-Варшавский, Минск и Киев. Во время таких поездок уральские железнодорожники изучали способы механизации и автоматизации трудоемких процессов при ремонте локомотивов и мотор-вагонных секций, эстетическое оформление цехов и территории депо, высокопроизводительные приемы работы локомотивных бригад и ремонтников.

Нельзя не отметить значимость такого направления модернизации железнодорожного транспорта Урала, как введение тепловозной тяги. В конце 1950-х—начале 1960-х гг. на Свердловской дороге паровозы были заменены тепловозами, прежде всего на Тюменском отделении. На этом отделении сооружение контактной сети, строительство тяговых подстанций и иных объектов энергообеспечения потребовало бы много времени и слишком больших капитальных затрат, которые окупались бы не скоро. К тому же, здесь ощущался явный недостаток электроэнергии. Тепловозы были автономней и практически не уступали электровозам по тяговой силе и среднесуточному пробегу.

К концу 1959 г. на Тюменское отделение поступило 15 тепловозов ТЭЗ, а в следующем году — более 30. В 1960 г. они полностью вытеснили с отделения паровозы.

Переход на тепловозную тягу привел к значительным и многообразным последствиям. Удлинились тяговые плечи. Паровозы могли водить составы из Тюмени на запад только до станции Поклевской (Талицы) — это 111 км, а на восток — до Вагая (144 км). Тепловозы позволили удлинить западное плечо до самого Свердловска (325 км), восточное — до Называевской (423 км). Но переходу на удлинённые тяговые плечи мешали границы между отделениями, поэтому к концу 1960 г. была произ-

ведена структурная реорганизация, коснувшаяся и границ между дорогами. Сначала ликвидировали Камышловское отделение, а принадлежавший прежде ему участок от Богдановича до Талицы передали Тюменскому отделению. Затем по приказу МПС ликвидировали Ишимское отделение Омской дороги, и граница Тюменского отделения Свердловской дорогой была передвинута от Вагая на восток до Называевской. Исчезли ставшие теперь ненужными административные барьеры [4, с. 219–223].

Переход на тепловозную тягу способствовал не только росту грузооборота — он самым благоприятным образом повлиял и на пассажирские перевозки. В самом начале 1964 г. в локомотивное депо Тюмени поступили первые два локомотива ТЭП60, специально предназначенные для пассажирских поездов. У них была более комфортабельная кабина, более удобная для обслуживания компоновка узлов, потолок скорости был поднят до 160 км/ч.

В 1967 г. участки Серов – Ивдель и Сосьва – Серов были переведены с паровой тяги на тепловозную. Маневровая работа тоже осуществлялась тепловозами, паровозы использовались только на хозяйственных работах.

В 1970-х гг. объемы перевозок с каждым годом значительно увеличивались, менялись средства сигнализации и связи, строились новые пути, станции, строился железнодорожный путь на север Тюменской области. В этих условиях тепловоз серии ТЭЗ не обеспечивал пропускной способности Тюменского отделения. Поэтому в марте 1973 г. на смену тепловозам серии ТЭЗ в локомотивное депо Тюмень начали поступать новые, современные тепловозы серии 2ТЭ116. Новые тепловозы были предназначены для работы с тяжелыми поездами на участке Свердловск – Называевская и обеспечения перевозок на участке Тюмень – Сургут. В 1982 г. первые тепловозы

2ТЭ116 начали работать на участке Серов – Ивдель, а позже и на участке Серов – Карпунино [12].

Новые средства тяги намного ускорили движение составов по уральским магистралям. Чтобы направлять и регулировать столь интенсивное движение, нужно было оснастить станции и перегоны дороги современными средствами автоматики и телемеханики, автоблокировкой, диспетчерской централизацией, радиосвязью. Эта работа стала еще одним из главных направлений, по которому шла модернизация дорожно-го хозяйства в описываемые годы.

В 1950-е гг. на железных дорогах Урала начался интенсивный перевод стрелок на электрическую централизацию: к октябрю 1957 г. электрических централизованных стрелок на Свердловской дороге насчитывалось 1254, к 1965 — 2468. В 1960–70-е гг. электрическая централизация стрелок планомерно распространялась на новые станции Свердловской дороги: Свердловск-Сортировочный, Серов-Сортировочный, Синарская, Исеть, Шибаново, Камышлов, Войновка, Ишим, станции Чусовского отделения.

Параллельно с централизацией стрелок на станциях оборудовались полуавтоматической и автоматической блокировкой перегоны. В одном лишь 1963 г. полуавтоматическая блокировка была установлена на участках общей протяженностью 367 км, а всего к середине 1960-х гг. полуавтоматической и автоматической блокировкой было оборудовано уже более 80 % линий Свердловской дороги.

К концу 1980-х гг. на Свердловской дороге централизованные стрелки составляли уже около 90 % всех стрелочных переводов, почти 1100 км было оборудовано автоблокировкой и около 1,5 тыс. км — диспетчерской централизацией [4, с. 229–230].

Наряду с электрификацией огромную роль в модернизации железнодорожного транспорта играет

новое железнодорожное строительство — сооружение новых железнодорожных линий и вторых путей. Основные цели строительства новых железнодорожных линий на Урале:

1) поддержание связи Центра с промышленными районами и обеспечение связи с целинными и залежными землями Южного Урала и Казахстана, Красноярского края, Новосибирской и Омской областей, Оренбуржья;

2) обеспечение транспортной связи промышленных районов страны с железнодорожными узлами и источниками нефтяного сырья, руд и других полезных ископаемых;

3) разгрузка существующих железнодорожных линий края и улучшение пропускных способностей ряда железнодорожных узлов.

Новое железнодорожное строительство на Урале имело свои особенности.

1. Новые железнодорожные линии Урала носили многоцелевой характер: они помогали осваивать малообжитые районы Урала и Сибири, обеспечивали доступ к природным богатствам, служили заселению новых районов, укрепляли социально-экономические связи Урала с другими районами страны.

2. Зоны нового транспортного строительства отличались крайне неблагоприятными природно-климатическими условиями: широким диапазоном изменения температур; большим количеством осадков; переувлажнением грунтов; отсутствием пригодных для железнодорожного строительства грунтов; чрезвычайной сложностью гидрографической сети; таежно-болотистыми условиями, удаленностью от обжитых населенных мест [13].

В 1959 г. началось строительство дороги Ивдель – Обь. Трасса была проложена от Ивделя через лесные массивы на восток к верховьям реки Конда, затем следовала на северо-восток на левый берег реки Обь. Первоначально железная дорога строилась как лесовозная. С помощью

линии намечалось вести разработку огромных лесных массивов, расположенных в бассейнах рек Пелыма, Конды, Малой Сосьвы, Оби. Кроме того, было намечено вывозить сплавную древесину и другие грузы, поступающие по Оби. По мере углубления трассы в нетронутые лесные массивы, ценное экспортное сырье — едва ли не главный в то время источник пополнения валютного фонда страны — стало поступать через северные ворота на Свердловскую магистраль мощным и нарастающим потоком [14].

Совместное наступление на тайгу геологов и железнодорожников привело к блестящим результатам: за короткое время были открыты Березовское, Игримское и ряд других крупных газовых и нефтяных месторождений. Дорога Ивдель — Обь врезалась в самую гущу открываемых в этом районе одно за другим газовых месторождений. Для проходки скважин, обустройства месторождений, прокладки газопроводов понадобилось огромное количество техники и материалов. Вагоны с буровым оборудованием и платформы с трубами большого диаметра пропущались по новым участкам трассы подчас еще до того, как те сдавались в постоянную эксплуатацию.

Основная часть трассы от Першина до Сергинской со строительной длиной 372 км проходила по глухой тайге и пересекалась многими реками и ручьями. В среднем почти на каждом километре новой линии приходилось строить одно искусственное сооружение. Потребовалось возвести и четыре больших моста — через реки Лозьву, Пелым, Куш-Юх-Юган и Крестьянскую.

Также была велика заболоченность трассы. На протяжении около 65 км железную дорогу пришлось прокладывать через топки непроходимые болота, промерзающие зимой на 2–2,5 м. В районе новостройки почти не было наиболее подходящих для земляного полотна крупно-

зернистых песков. Поэтому земляное полотно во многих случаях пришлось отсыпать из мелкозернистого песка и даже худших грунтов. Это привело к тому, что насыпь длительное время оставалась нестабилизированной, за ней приходилось внимательно следить [15].

В 1962 г. первая часть линии — участок Ивдель — Конда — со строительной длиной 218,5 км принята во временную эксплуатацию, а с 1 ноября 1966 г. участок передан в ведение Министерства путей сообщения для постоянной эксплуатации. С начала движения по новой линии ходили разносерийные тепловозы и даже не просто физически изношенные, но уже давно морально устаревшие паровозы «Ов». Отделение временной эксплуатации не могло обеспечить ни тем, ни другим должного ухода. Локомотивное хозяйство оказалось слабым звеном и стало тормозить развитие провозной способности участка. Министерство транспортного строительства выделило для линии-новостройки 40 тепловозов ТЭМ1. Новые тепловозы стали поступать на участок Ивдель — Обь с февраля 1964 г.

На всем пути построили 24 станции, при них — станционные поселки. Счет числу жителей в некоторых из них уже в 1960-е гг. пошел на тысячи. Стала очевидной необходимость в налаживании пассажирского сообщения. В конце 1967 г. продлили маршрут поезда Серов — Ивдель до станции Верхнекондинской (то есть примерно до середины новой трассы), потом до Нягани, а позже пустили поезд дальнего следования Свердловск — Приобье, прочно связавший вновь обживаемые края с «цивилизацией» [4, с. 253].

2 апреля 1967 г. все население станции Сергино присутствовало на церемонии забивки «серебряного костыля». Принятая к эксплуатации линия была передана Серовскому отделению, увеличив протяженность его линий сразу на 370 км.

Замысел протянуть железнодорожную линию Тавда – Сотник через болота к среднему течению таежной реки Конды, к огромным массивам нетронутых лесов ценнейших хвойных пород, возник в начале 1960-х гг. — после того как был накоплен весомый опыт прохождения трасс в экстремальных условиях. 4 ноября 1967 г. трасса вышла к устью очень короткой, но судоходной реки Ах, вытекающей из большого озера Леушинский Туман и всего через два километра впадающей в полноводную Конду. 5 ноября официально открыли движение по трассе.

За шесть лет в сложнейших условиях уложена рельсовая колея со всем ее обустройством, построены 45 мостов (в том числе большой мост через Тавду), 29 водопропускных труб, а также шесть станций, три разъезда, а при них 50 служебных зданий, 100 капитальных жилых домов. Прокладка «трассы мужества» Тавда – Сотник по своей сложности не имела аналогов во всей предшествующей истории железнодорожного строительства на Урале [4, с. 256].

В конце 1963 г. было принято постановление Совета Министров СССР «Об организации подготовительных работ по промышленному освоению открытых нефтяных и газовых месторождений и о дальнейшем развитии геологоразведочных работ в Тюменской области».

11 декабря 1969 г. ЦК КПСС и Совет Министров обязали Министерство путей сообщения и Министерство транспортного строительства обеспечить ввод в действие железнодорожных линий Тюмень – Сургут и Сургут – Нижневартовск – Стрежевое [16].

Выбор трассы Тюмень – Тобольск – Сургут был продиктован следующими обстоятельствами. Во-первых, данный вариант трассы представлялся наиболее экономичным и рациональным, так как трасса при-
мыкала к существующей сети вбли-

зи Тюмени — крупнейшего транспортно-го узла, через который проходил основной поток грузов с Урала и из центра страны. Во-вторых, не вызвала сомнений перспектива промышленного развития Тобольска, расположенного вблизи богатейших нефтяных месторождений. В-третьих, выбранный вариант дороги имел перспективу дальнейшего развития на север: через Уренгой, Игарку в Норильск и на восток — в нефтегазоносные районы Томской и восточной части Тюменской областей.

28 декабря 1977 г. министр путей сообщения подписал приказ о включении новой линии Тюмень – Тобольск – Сургут в состав Свердловской железной дороги.

13 февраля 1980 г. вышло постановление Совета Министров СССР «Об ускоренном развитии Уренгойского газонефтеконденсатного месторождения». Строительство дороги Сургут – Уренгой было объявлено ударной комсомольской стройкой. 10 ноября 1984 г. во временную эксплуатацию была принята железнодорожная линия Коротчаево (Уренгой) – Новый Уренгой. 27 июня 1986 г. открыто рабочее движение поездов по маршруту Новый Уренгой – Озерная протяженностью 214 км. Далее строители потянули линии к Пангодам, Старому Надыму и Ямбургу, что являлось логическим продолжением Сургутского отделения Свердловской железной дороги. Конечная цель — крупнейшее Ямбургское газовое месторождение.

Условия строительства в районах Крайнего Севера оказались еще более суровыми, чем на западе Сибири. Проходя в зоне вечной мерзлоты, железнодорожная линия Ягельная – Ямбург длиной 236 км пересекала пять крупных притоков реки Пур, полсотни речек и ручьев. Район строительства характеризовался суровым континентальным климатом с холодной продолжительной зимой, коротким прохладным летом, недолгими весной и осенью, непродолжи-

тельным безморозным периодом. В этих условиях на линии Ягельная – Ямбург было выполнено более 13 млн м³ земляных работ, возведено 329 искусственных сооружений, включая один большой мост, 35 однопролетных железобетонных мостов и 141 металлическую гофрированную трубу [17].

Однако по решению правительства СССР весной 1989 г. финансирование сооружения всех новых участков на севере Сибири прекращено. Страна, охваченная экономическим и финансовым кризисом, уже прощлась со своим прошлым — советской системой хозяйствования.

Уральский регион и Западная Сибирь в транспортном отношении стали настоящим научным открытием для советских ученых транспорта. Здесь транспортными проектировщиками и строителями накоплен богатейший опыт работы в экстремальных природных условиях, отработано применение новой техники и оборудования, применены новые строительные материалы и технологии (таблица 5).

Таким образом, железнодорожные новостройки Урала стали испытательным полигоном, на кото-

ром прошли проверку все перспективные технологии транспортного строительства. Эти технологии впоследствии нашли самое широкое распространение в транспортном строительстве СССР. При восстановлении железнодорожной станции Свердловск-Сортировочный в 1988–1989 гг. был обретен богатейший опыт организации работ в условиях чрезвычайной ситуации.

Огромное значение для модернизации железнодорожного транспорта на Урале имело строительство вторых путей на наиболее важных транзитных направлениях уральских магистралей. Строительство вторых путей было вызвано исчерпанием резервов пропускной и провозной способностей железных дорог на основных направлениях сети, в том числе и Уральского региона, и увеличением темпов роста перевозок грузов и пассажиров. Вторые пути позволяли увеличить перерабатывающую способность железнодорожных узлов, повысить пропускную способность железнодорожных перегонов, увеличить вывоз продукции с промышленных предприятий.

К 1954 г. для быстрого развития экономики страны требовалось резко увеличить объемы перевозок, особенно

Таблица 5

Инновационные строительные технологии, впервые примененные на железнодорожном транспорте Урала в 1956–1991 гг. [13]

Строительный объект	Годы строительства	Инновационные технологии
Все новостройки Урала	1956–1991	Типовые свайно-эстакадные мосты и металлические гофрированные трубы, ускоряющие строительные работы
Тавда – Сотник	1960–1967	Асбестовый балласт, служивший водоотталкивающим средством, способствуя защите земляного полотна от переувлажнения и деформации
Тюмень – Тобольск – Сургут	1965–1978	Гидромеханизация земляных работ: намыв бунтов песка земляным снарядом со дна озер и рек при сооружении земляного полотна; укрепление откосов земляного полотна гидропосевом
Сургут – Уренгой	1976–1980	Применение геотекстиля — нетканого синтетического материала, используемого для предупреждения деформации земляного полотна

в направлении Сибирь – Урал – Центр через Свердловский узел по железнодорожным линиям Пермь – Свердловск – Тюмень – Омск и Казань – Свердловск – Курган. Эти однопутные линии не могли обеспечить пропуск непрерывно возрастающих грузо- и пассажиропотоков. Возникла необходимость их постепенного превращения в двухпутные электрифицированные магистрали.

В 1969–1972 гг. построены вторые пути на участке Кизел – Соликамск для обеспечения вывоза калийных удобрений, производство которых в девятой пятилетке (1971–1975 гг.) с пуском второго и третьего Березниковских комбинатов резко увеличилось. В 1968–1972 гг. построены вторые пути Дружинино – Свердловск.

В течение 1964–1974 гг. осуществлено строительство вторых путей на наиболее грузонапряженных участках Гороблагодатская – Смычка и Сагра – Свердловск, а на участке Нижний Тагил – Сагра выполнено удлинение путей на станциях и построены две двухпутные вставки на лимитирующих перегонах. В результате Свердловская железная дорога получила свое второе рождение и трансформировалась в технически оснащенную электрифицированную двухпутную линию, обеспечивающую бесперебойную перевозку народно-хозяйственных грузов и располагающую необходимыми резервами провозной способности.

В 1974–1977 гг. построены вторые пути Решеты – Арамилы, которые обеспечили возможность соединения четырех широтных направлений с пропуском транзитного грузопотока в обход Свердловского железнодорожного узла [18].

В 1986–1990 гг. проектировались и строились по проектам Уралгипротранса вторые пути на участках Богданович – Рефт, Левшино – Чусовская, Богданович – Каменск-Уральский, Курган – Колчедан с мостом через реку Исеть, Кокчетав – Пески Целинные – Пресногорьковская –

Утяк, Кызыл-Тау – Кокчетав. Вторые пути на этих направлениях обеспечили дополнительные резервы пропускной и провозной способностей уральских железных дорог и увеличили темпы роста объема перевозок и объема переработки в крупнейших узлах и станциях с сортировочными системами.

Следует отметить, что вторые пути Кокчетав – Пески Целинные – Пресногорьковская – Утяк, Богданович – Рефт построены для обслуживания крупнейшей на Урале Рефтинской ГРЭС (первая очередь запущена в 1972 г.), «сведающая» десятки вагонов экибастузского угля в сутки. С открытием для движения указанных вторых путей угольные маршруты из Казахстана мощным потоком пошли на новую Рефтинскую ГРЭС. На участке Богданович – Рефт для организации ускоренного пропуска поездов была применена диспетчерская централизация.

Таблица 6

Темпы строительства вторых путей на железных дорогах Урала в 1959–1985 гг., км [18, с. 87–99]

Строительство вторых путей	1959–1965 гг.	1966–1975 гг.	1976–1980 гг.	1981–1985 гг.
Построено вторых путей, км	870	620	317,4	286,15

Таблица 6 свидетельствует о постепенном снижении темпов строительства вторых путей на железных дорогах региона, что связано прежде всего с недостаточным финансированием и недостаточным выделением материалов верхнего строения пути. Снижение темпов строительства вторых путей на Урале вели к дефициту пропускных способностей железных дорог.

Модернизационные процессы на железных дорогах Урала сдерживались целым рядом отрицательных факторов, которые постепенно возобладала в середине 1970-х–1980-е гг. и вызвали в материально-техничес-

кой базе железных дорог застойные явления. К таким отрицательным факторам можно отнести: низкие темпы развития основных узлов железных дорог (особенно Свердловского, Пермского, Тюменского, Каменск-Уральского); несвоевременное и неполное выделение капитальных вложений; эксплуатация в грузовом движении более 70% маломощных и тихоходных локомотивов устаревшей серии; недостаточная база для ремонта и подготовки грузовых вагонов под погрузку; ежегодное снижение поставок материалов верхнего строения пути (рельсов, стрелочных переводов, крестовин, шпал, переводных брусев) для оздоровления путевого хозяйства [19].

В этих сложных условиях для удовлетворения транспортных потребностей промышленности и населения Урала потребовалось приложить большие усилия по мобилизации внутренних резервов, повышению трудовой и технологической дисциплины, усилению спроса и ответственности, провести ряд неотложных мер. В результате уже в 1983 г. Свердловская дорога обеспечила выполнение плановых заданий по основному объемным и качественным показателям на относительно высоком уровне. Набранный темп сохранили и в 1984 г. Однако план 1985 г. был выполнен дорогой с большим напряжением.

В 1980–1990 гг. Свердловская железная дорога достигла пика в истории перевозок. Рост грузопотоков значительно сдерживался дефицитом пропускных способностей. Только за период 1981–1990 гг. в хозяйство Свердловской дороги было вложено около двух млрд рублей. Из них более 60% — в объекты производственного назначения, в основном — Севера, в ущерб коренному развитию, техническому переоснащению, модернизации и текущему содержанию технической базы на действующей части дороги. Состояние отраслевых хозяйств дороги находилось

в явной диспропорции с предъявляемыми к ним требованиями [20].

Подведем итоги модернизации железнодорожного транспорта на Урале в 1956–1991 гг.

1. В 1956–1991 гг. электрификация и новое транспортное строительство стали основными, магистральными направлениями модернизации железнодорожного транспорта Урала. Оба направления модернизации послужили мощным механизмом распространения на транспорте целого комплекса инноваций и по своим последствиям превзошли остальные направления развития научно-технического прогресса на железных дорогах края.

2. В середине 1950-х–1991 гг. наибольший объем строительных работ на железнодорожном транспорте СССР так или иначе был связан с железнодорожными коммуникациями Урала. Два основных фактора — Урал как опорная индустриальная база СССР и Урал как транзитное пространство между западными и восточными районами СССР — постоянно требовали укрепления железнодорожных коммуникаций края за счет строительства новых линий и вторых путей.

3. Новое железнодорожное строительство вызывало интенсивные модернизационные процессы на действующей железнодорожной сети, к которой примыкали новые линии. Почти на всех станциях производилось увеличение длины станционных путей, менялась шпальная решетка с рельсами на многих километрах пути, менялись все искусственные сооружения на железобетонные, станции и перегоны оборудовались автоблокировкой и связью.

4. Железные дороги Урала как транзитные пути между западными и восточными районами СССР сыграли роль стратегического плацдарма в освоении и развитии новых промышленных и сельскохозяйственных районов страны: целинных земель Южного Урала и Казахстана, нефтя-

ных месторождений Севера Тюменской области.

5. В рассмотренный период модернизация железнодорожного транспорта на Урале носила некомплексный характер и отличалась определенной неравномерностью охвата модернизационными импульсами раз-

личных структур железнодорожного транспорта. Огромный рывок в развитии электрифицированных линий, интенсивные темпы обновления локомотивного и вагонного парков сочетались с определенным застоем в развитии путевого хозяйства и строительстве вторых путей.

Литература

1. Конов А. А. Транспортная политика императора Александра III и современность // Вестник УрГУПС. 2012. — № 1 (13). — С. 102–117. ISSN 2079-0392.
2. Центр документации общественных организаций Свердловской области. Ф. 4. Оп. 111. Д. 542. Л. 1.
3. Напорко А. Г. Очерки развития железнодорожного транспорта СССР. М. : Трансжелдориздат, 1954. — С. 264–270.
4. Лукьянин В. П. Больше века на службе России. Екатеринбург : СВ-96, 1998. — С. 223–239.
5. Мацкевич Б. И. Жизнь без прикрас. Воспоминания [электронный ресурс]. — Пермь, 2008. — С. 45. (CD-ROM).
6. Коснырев И. В. История Егоршинской дистанции электроснабжения 1960–2000 гг. Екатеринбург: Транспорт, 2002. — С. 12–13.
7. Александр Михайлович Дядьков — жизнь, наука, труд в документах, очерках воспоминаний: информационно-биографическое издание. Екатеринбург : УрГУПС, 2008. — С. 39.
8. Железнодорожный транспорт СССР. 1971–1991 гг.: сб. документов/МПС РФ. М. : Транспорт, 2003. — С. 419–422.
9. Свердловская магистраль (1878–1990 гг.)/Под ред. проф. М. Т. Крючкова. Екатеринбург, 1994. — С. 164–165.
10. Государственный архив Свердловской области. Ф. Р-65. Оп. 13. Д. 169. Л. 81.
11. Обухович Н. Е., Кочев Л. И. Пермскому техникуму железнодорожного транспорта — 125 лет. Пермь, 2006. — С. 66.
12. Люди и годы: 120 лет локомотивному хозяйству Свердловской железной дороги. Екатеринбург: СВ-96, 2000. — С. 195–228.
13. Коротчаев Д. И., Алексеев Е. П. Организация строительства железных дорог на широком фронте (Из опыта строительства железной дороги Тюмень — Сургут): Серия «Строительство и электрификация железных дорог, СЦБ, связь и энергоснабжение». Вып. 5. М. : ВПТИтранстрой, 1981. — 27 с.
14. Дорога к лесным богатствам Северного Урала // Железнодорожный транспорт, 1967. — № 6. — С. 79.
15. Миллер Е. Л., В. Ф. Мудров. Магистраль в тайге // Железнодорожный транспорт, 1968. — № 10. — С. 79–81.
16. Патранова В. В., Цареградская Л. В. Линия нашей судьбы. 25 лет Сургутскому отделению Свердловской железной дороги. Сургут, 2003. — С. 70–71, 77, 185.
17. Марченко А. «Тюменстройпуть» — 50 лет. История строительства линии Тюмень — Сургут // Транспортное строительство. — 1999. — № 6. — С. 6–9.
18. История Уралгипротранса: 1936–2006 гг. Екатеринбург: Циркон, 2006. — С. 59–75.
19. Центр документации общественных организаций Свердловской области. Ф. 4. Оп. 111. Д. 543. Л. 27–35.
20. Колесников Б. И. Развитие Свердловской железной дороги: технико-экономические аспекты: к 120-летию Свердловской железной дороги. Екатеринбург : СВ-96, 1999. — 48 с.

References

1. Konov A. A. Transportnaya politika imperatora Aleksandra III i sovremennost [Transport policy of emperor Alexander III and modernity] // Vestnik UrGUPS, 2012. — № 1 (13). — S. 102–117. ISSN 2079-0392.
2. Centr dokumentatsii obshchestvennykh organizatsiy Sverdlovskoy oblasti [Centre of documentation of public organizations of Sverdlovsk Region]. F. 4. Op. 111. D. 542. L. 1.
3. Naporko A. G. Ocherki razvitiya zheleznodorozhnogo transporta SSSR [Essays on development of USSR railway transport]. M. : Transzheldorizdat, 1954. — S. 264–270.

4. Lukyanin V. P. Bolshe veka na sluzhbe Rossii [Over a century serving Russia]. Ekaterinburg : SV-96, 1998. — S. 223–239.
5. Matskevich B. I. Zhizn bez prikras. Vospominaniya [Life without embroidery. Memoirs] (elektronnyy resurs). — Perm, 2008. — S. 45. (CD-ROM).
6. Kosnyrev I. V. Istoriya Egorshinskoy distantzii elektrosnabzheniya 1960–2000 gg. [History of Egorshinskaya division of electric power supply in 1960–2000]. Ekaterinburg : Transport, 2002. — S. 12–13.
7. Alexander Mikhailovich Dyadkov — zhizn, nauka, trud v dokumentakh, ocherkakh vospominaniy [life, science, labour in documents, essays memoirs]: informatsionno-biograficheskoye izdaniye. Ekaterinburg : UrGUPS, 2008. — S. 39.
8. Zheleznodorozhnyy transport SSSR. 1971–1991 gg [USSR railway transport in 1971–1991]: sb. dokumentov/MPS RF. M.: Transport, 2003. — S. 419–422.
9. Sverdlovskaya magistral (1878–1990 gg.) [Sverdlovskaya main line (1878–1990)]/Pod red. [Ed. by] prof. M. T. Kryuchkova. Ekaterinburg, 1994. — S. 164–165.
10. Gosudarstvennyy arkhiv Sverdlovskoy oblasti [State Archive of Sverdlovsk Region]. F. R-65. Op. 13. D. 169. L. 81.
11. Obukhov N. E., Kochev L. I. Permskomu tekhnikum zheleznodorozhnogo transporta — 125 let [Permsky technical college of railway transport turns 125]. Perm, 2006. — S. 66.
12. Lyudi i gody: 120 let lokomotivnomu khozyaystvu Sverdlovskoy zheleznoy dorogi [People and years: 120th anniversary of locomotive facilities of Sverdlovsk Railways]. Ekaterinburg: SV-96, 2000. — S. 195–228.
13. Korotchayev D. I., Alekseyev E. P. Organizatsiya stroitelstva zheleznykh dorog na shirokom fronte (Iz opyta stroitelstva zheleznoy dorogi Tyumen — Surgut) [Large-scale railroad construction organization (Experience of constructing Tyumen — Surgut railroad)]: Seriya «Stroitelstvo i elektrifikatsiya zheleznykh dorog, SCB, svyaz i energosnabzheniye». Vyp. 5. M.: VPTItransstroy, 1981. — 27 s.
14. Doroga k lesnym bogatstvam Severnogo Urala [Road to forest riches of Northern Urals]// Zheleznodorozhnyy transport, 1967. — № 6. — S. 79.
15. Miller E. L., Mudrov V. F. Magistral v taige [Main line in taiga]//Zheleznodorozhnyy transport, 1968. — № 10. — S. 79–81.
16. Patranova V. V., Tsaregradskaya L. V. Liniya nashey sudby. 25 let Surgutskomu otdeleniyu Sverdlovskoy zheleznoy dorogi [Line of our destiny. 25th anniversary of Surgut department of Sverdlovsk Railways]. Surgut, 2003. — S.70–71, 77, 185.
17. Marchenko A. Tyumensstroyput — 50 let. Istoriya stroitelstva linii Tyumen — Surgut [Tyumensstroyput turns 50. History of constructing Tyumen — Surgut line]//Transportnoye stroitelstvo. — 1999. — № 6. — S. 6–9.
18. Istoriya Uralgiprottransa: 1936–2006 gg. [History of Uralgiprottrans in 1936–2006]. Ekaterinburg: Tsirkon, 2006. — S. 59–75.
19. Tsentr dokumentatsii obshchestvennykh organizatsii Sverdlovskoy oblasti [Centre of documentation of public organizations of Sverdlovsk Region]. F. 4. Op. 111. D. 543. L. 27–35.
20. Kolesnikov B. I. Razvitiye Sverdlovskoy zheleznoy dorogi: tekhniko-ekonomicheskiye aspekty. K 120-letiyu Sverdlovskoy zheleznoy dorogi [Development of Sverdlovsk railway: technical and economic indicators. To 120th anniversary of Sverdlovsk Railways]. Ekaterinburg : SV-96, 1999. — 48 s.

Статья сдана в редакцию 12 июля 2012 года

ОРГАНИЗАЦИЯ ОБРАЗОВАТЕЛЬНОГО ПРОЦЕССА

УДК 658.3.014.1

О. В. Куликова, Н. П. Чувев

Развитие творческих способностей и культуры мышления студентов вуза при изучении математики

UDC 658.3.014.1

O. V. Kulikova, N. P. Chuev

Developing students' creativity and culture of thought during the study of mathematics

Аннотация

Предложена дидактическая модель развития культуры мышления и творческих способностей студентов в процессе изучения вузовского курса математики, раскрывающая поэтапное продвижение обучающихся от целесообразной к целеполагающей деятельности. Основой ее конструирования выступает обобщение закономерностей мыслительных процессов и психологических особенностей интеллектуальной активности.

Обосновывается необходимость при проектировании методической деятельности, направленной на эффективное освоение студентами вузовского курса математики, учитывать выделенные уровни математической подготовки. Отмечается значимость взаимосвязи сознательного и бессознательного в деятельности человека и ее влияние на продуктивность организации исследовательской работы.

Ключевые слова:

творческие способности, культура мышления, целеполагающая деятельность, интеллектуальная активность, математическая подготовка.

Abstract

A didactic model of developing students' culture of thought and creativity during the study of mathematics at universities is proposed, revealing the students' staged progress from expedient activity to definition of goals. The basis of its construction is the generalization of regularities of thought processes and psychological peculiarities of intellectual work.

The need to take into account the distinguished levels of mathematic training during planning of the methodical work aimed at university students' efficient mastering of mathematics is justified. The significance of the interrelation of the conscious and unconscious in human activity and its influence on the efficiency of research work organization is noted.

Key words:

creativity, culture of thought, definition of goals, intellectual work, mathematical training.

Ольга Валентиновна Куликова, канд. пед. наук, доцент; кафедра «Высшая и прикладная математика» Уральского государственного университета путей сообщения. Екатеринбург, Россия. E-mail: kulikova1000@rambler.ru.

Николай Павлович Чувев, канд. физ.-мат. наук, доцент; кафедра «Высшая и прикладная математика» Уральского государственного университета путей сообщения. Екатеринбург, Россия. E-mail: n_chuev@mail.ru.

Olga Valentinovna Kulikova, PhD in Education, Assistant Professor; Higher and Applied Mathematics Chair of Ural State University of Railway Transport. Ekaterinburg, Russia. E-mail: kulikova1000@rambler.ru.

Nikolay Pavlovitch Chuev, PhD in Physics and Mathematics, Assistant Professor; Higher and Applied Mathematics Chair of Ural State University of Railway Transport. Ekaterinburg, Russia. E-mail: n_chuev@mail.ru.

Технологии современного наукоемкого производства предъявляют высокие требования к уровню интеллектуальной деятельности специалистов с высшим техническим и экономическим образованием. Эффективное управление в производственной сфере и разрешение сложных проблемных ситуаций во многом определяются умением результативно находить перспективные способы преодоления затруднений.

Подготовка человека к генерации идей для решения профессиональных задач в технической и экономической сфере опирается на освоение культурно-исторических ценностей фундаментальных естественно-научных дисциплин, среди которых математика занимает одно из ведущих положений. Изучение системы математических знаний, отражающей существенные взаимосвязи объективной реальности в символично-образных представлениях, предоставляет большие возможности для включения студентов в интеллектуальную и творческую деятельность.

В настоящее время исследуются различные аспекты культуры мышления, поэтому это понятие определяется и как мышление по формальным и содержательным (методологическим) правилам [8, с. 8], и как осознание структуры умозаключений, обеспечивающей получение выводов [4, с. 107], и как рациональная организация мыслительной деятельности [6, с. 68]. Представленные определения хорошо дополняют друг друга, потому что построение мыслительной деятельности невозможно без осознания структуры умозаключений, а ее рационализация или целесообразность во многом опирается на применение правил, имеющих теоретическое или эмпирическое обоснование.

В психологии творческие способности рассматриваются или как специфические способности, имеющие различную степень взаимосвязи с ин-

теллектом [3], или как способности к развитию деятельности по инициативе субъекта деятельности [2, с. 128]. Изучение математики в вузе — это сложная умственная работа, выполнение которой требует от студента проявления волевых усилий, поэтому относительно процесса обучения наиболее перспективна концепция, в которой раскрываются закономерности инициативной деятельности обучаемого [2].

Действия личности дифференцируются на два уровня: уровень действия социального индивида (целесообразная деятельность) и уровень творческого действия (целеполагающая деятельность) [2]. Интеллектуальная активность (интегральное свойство умственных способностей) распределяется на три уровня: 1) стимульно-продуктивный, 2) эвристический, 3) креативный. Стимульно-продуктивному уровню соответствует целесообразная деятельность, определяемая воздействием какого-то внешнего фактора, а эвристическому и креативному — целеполагающая деятельность или творческая деятельность, регулируемая глубинными потенциями личности. В психологии рассматриваются два типа мышления — эмпирическое и теоретическое; в этом заключается принципиальное различие между двумя уровнями творческого действия (эвристическим и креативным).

Эвристический уровень интеллектуальной активности, раскрывающий особенности эмпирического мышления, проявляется в процессе решения системы задач и характеризуется тем, что обучающийся через анализ состава и структуры своей деятельности, через сопоставление между собой отдельных задач приходит к открытию внешне оригинальных и остроумных способов решения. Процесс углубленного анализа, вскрывающий существенные закономерности в решении системы задач через исследование единичного объекта путем теоретичес-

кого мышления, наблюдается только на креативном уровне. Выделенные три уровня интеллектуальной активности отражают соответственно познание единичного, особенного и всеобщего [2, с. 121–127].

Переход на продуктивный уровень интеллектуальной активности становится возможным, если обучаемый способен выполнять репродуктивную деятельность [1]. Последовательное движение со стимульно-продуктивного уровня до креативного через эвристический, неизбежно должно начинаться с предшествующего им репродуктивного. Это означает, что в развитии интеллектуальной активности в процессе обучения целесообразно выделять не три, а четыре уровня.

Построение мыслительного процесса представляет собой определенную систему интеллектуальных операций [12], способную к развитию и саморазвитию. Качественное изменение любого открытого системного объекта связано с последовательным переходом с одного уровня на другой, более высокий. В теории развития сложных систем выделяют четыре уровня: 1) диффузная целостность, 2) системная дифференциация, 3) системная интеграция, 4) иерархическая интеграция [11, с. 9]. Развитие культуры мышления в процессе обучения опирается на формирование системы понятий, которую как системный объект можно представить четырехуровневой структурой: 1) диффузно-рассеянное представление о системе понятий, 2) выделение существенных взаимосвязей в системе понятий, 3) обобщение существенных взаимосвязей в системе понятий, 4) моделирование существенных взаимосвязей в системе понятий [6, с. 85–86]. При сопоставлении отмеченных выше четырех уровней развития творческих способностей с соответствующими уровнями культуры мышления раскрываются их методологические взаимосвязи, что позволяет рассматривать

вопрос об их развитии в диалектическом единстве.

Диагностика развития творческих способностей основывается на предположении, что составление студентами интересных и оригинальных задач — это, прежде всего, проявление их интеллектуальной активности, так как критерием творчества в учебной деятельности выступает способность самостоятельного получения субъективно нового знания [2]. Обучающиеся, проявляющие стимульно-продуктивный уровень интеллектуальной активности, не умеют отличать существенные признаки задачи от несущественных признаков, поэтому выделяют не более одного структурного компонента. Задачи, составленные ими, внешне мало отличаются от исходной задачи. Например, может наблюдаться только изменение числовых значений величин. Они могут содержать избыточные данные или, наоборот, недостаточное количество данных. При составлении задач, обратных заданной, встречаются неточности формулировок. Обучающиеся, проявляющие эвристический уровень интеллектуальной активности, стремятся проанализировать содержание задачи для выделения существенных признаков. Они вносят в составленные ими задачи новый качественный объект, их задачи отличаются оригинальностью [2, с. 155–159]. Составление математических задач как прямых, так и обратных относительно исходных данных можно рассматривать не только как метод диагностики творческих способностей, но и как средство их развития.

Заслуживает особого интереса способ по выявлению и развитию творческих способностей студентов, который постоянно применял в своей педагогической деятельности академик П. Л. Капица. Он строил свои задачи неопределенно так, чтобы студенту необходимо было самостоятельно подобрать некоторые подходящие величины [5, с. 248].

Развитие культуры мышления достаточно сложно диагностировать. Она произвольно отражается не только в решении задач, но и в умении осуществлять выбор наиболее рационального метода для ее решения. Она проявляется в построении логической цепочки, раскрывающей движение мысли в суждениях и умозаключениях. Если развитие мышления связано, прежде всего, с формированием понятий, то развитие культуры мышления невозможно представить без понимания логической структуры таких форм мышления, как понятие, суждение и умозаключение.

Основным компонентом в дидактической системе развития культуры мышления и творческих способностей в процессе изучения математики выступает решение задач. В методике обучения математике под термином «задача» понимается требование или вопрос, на который надо найти ответ, опираясь и учитывая те условия, которые в ней указаны [10, с. 6]. Математические задачи, которые входят в вузовскую программу учебного процесса, разделяются на два вида: стандартные и нестандартные. Для решения стандартных задач имеются готовые правила решения, а для нестандартных общих правил нет. Правило в математике можно представить в форме словесного описания, формул, тождеств, теорем или определений. Особенность этих правил заключается в том, что они зафиксированы в свернутом виде, и чтобы их использовать, необходимо «уметь разворачивать их в программы, состоящие из последовательности шагов» [10, с. 43].

Процесс решения стандартной задачи сводится к тому, что необходимо распознать вид задачи, определить общее правило и применить его к данным условиям. Успешность решения зависит от качества запоминания правил и умения их разворачивать. Процесс решения нестандартной задачи включает последова-

тельное применение двух основных операций: 1) сведение (путем преобразования или переформулирования) нестандартной задачи к другой, эквивалентной ей, но уже стандартной задаче, 2) разбиение нестандартной задачи на несколько стандартных задач. Понятие «план решения» рекомендуется воспринимать как идею решения, а не полный перечень всех действий и операций [10, с. 51–52]. В этом способе поиска решения нестандартной задачи раскрывается значимая роль символично-образного представления информации, выступающей ориентировочной основой в рождении идеи решения. Построение разнообразных схем и моделей неразрывно связано как с культурой мышления, так и с творческими способностями человека.

Моделирование процесса обучения математике в вузе, направленного на развитие культуры мышления и творческих способностей на основе обобщения закономерностей теории деятельности, теории решения математических задач и теории развития сложных систем, позволяет нам предложить дидактическую модель, представленную в таблице 1.

Основой развития культуры мышления и творческих способностей студентов вуза первого и второго курсов в рамках изучения дисциплины «Математика» выступает, прежде всего, качество их математической подготовки, полученной в средней школе. Успешность освоения школьной программы зафиксировано в аттестате и сертификате Единого государственного экзамена (ЕГЭ). Качество изучения абитуриентом системы математических понятий оценивается, с одной стороны, по традиционной трехуровневой шкале (удовлетворительно, хорошо и отлично), а с другой, по балльной трехуровневой шкале. Значение границ уровней (низкого, среднего, высокого) определяются методом экспертной оценки по результатам решения заданий ЕГЭ всеми выпускниками школ и меняется в зависи-

мости от содержания экзаменационной работы и успешности ее выполнения. В отчетах, которые ежегодно составляются организаторами ЕГЭ, можно найти полную информацию о характеристиках этих уровней [7].

Традиционная оценка отражает эффективность многолетней учебной деятельности, а балльная оценка выступает показателем выполнения определенной совокупности заданий за ограниченный промежуток времени. Вариант работы ЕГЭ

по математике включает 12 заданий с кратким ответом (часть В) и 6 заданий с развернутым ответом (часть С). Правильное решение заданий из части В оценивается одним баллом. Задания из части С имеют стоимость от 0 до 2 баллов (С1 и С2), от 0 до 3 баллов (С3 и С4) и от 0 до 4 баллов (С5 и С6). Максимальная сумма, которую можно набрать, составляет 30 баллов. Первично набранное количество баллов в дальнейшем переводится в тестовый балл

Таблица 1

Дидактическая модель развития культуры мышления и творческих способностей студентов в процессе изучения вузовского курса математики

Этап учебной деятельности	Компонент	Результат
I. Формирование системы понятий, суждений и умозаключений	<p>Определение математических понятий и теорем</p> <p>Уточнение существенных признаков математических понятий и теорем</p> <p>Классификация связей и отношений математических понятий и теорем</p>	Подготовка к развитию культуры мышления и творческих способностей
II. Применение системы понятий, суждений и умозаключений для решения стандартных задач	<p>Определение состава интеллектуальных операций в решении стандартных математических задач и доказательстве теорем</p> <p>Конструирование системы интеллектуальных операций в решении стандартных математических задач</p> <p>Выделение логической структуры математических понятий</p> <p>Составление тривиальных математических задач по заданной теме</p>	Выделение существенных взаимосвязей в системе математических понятий и достижение стимульно-продуктивного уровня творческих способностей
III. Освоение методов решения нестандартных математических задач	<p>Выдвижение гипотез о составе системы интеллектуальных умений в решении нестандартных математических задач</p> <p>Применение системы интеллектуальных умений в решении нестандартных математических задач</p> <p>Доказательство математических теорем</p> <p>Анализ логической структуры математических понятий</p> <p>Составление оригинальных математических задач по заданной теме</p>	Обобщение существенных взаимосвязей в системе математических понятий и достижение эвристического уровня творческих способностей
IV. Овладение математическими методами исследования теоретических и прикладных задач	<p>Проектирование исследовательской деятельности по применению математических методов для решения прикладных задач</p> <p>Применение математических методов для исследования процессов и явлений окружающей действительности</p> <p>Анализ доказательства математических теорем</p> <p>Исследование логической структуры математических суждений и умозаключений</p> <p>Составление оригинальных математических задач на основе интеграции разных тем</p>	Моделирование существенных взаимосвязей в системе математических понятий и достижение креативного уровня творческих способностей

Таблица 2

Классификация уровней математической подготовки

Уровень	Группа	Характеристика	Показатели
Низкий	A	Диффузно-рассеянное представление о системе математических знаний школьного курса; отсутствие познавательного интереса к изучению математики; большие трудности в освоении вузовского курса математики	Оценка «удовлетворительно» и по алгебре, и по геометрии; результат ЕГЭ до 40 баллов; отрицательное или безразличное отношение к изучению математики в вузе
	B1	Знание основных математических понятий и умение решать простые математические задачи; отсутствие познавательного интереса к изучению математики в вузе; стремление выполнять только строго обязательный минимум заданий	Оценка «хорошо» и по алгебре, и по геометрии или хотя бы по одному из этих предметов; результат ЕГЭ от 40 до 60 баллов; отрицательное или безразличное отношение к изучению математики в вузе
Средний	B2	Знание основных математических понятий и умение решать простые математические задачи; хороший познавательный интерес к изучению математики в вузе; стремление выполнять дополнительные задания	Оценка «хорошо» и по алгебре, и по геометрии или хотя бы по одному из этих предметов; результат ЕГЭ от 40 до 60 баллов; посещение школьных факультативов, участие в математических олимпиадах и конкурсах; положительное отношение к изучению математики в вузе; желание сохранить или повысить уровень освоения математики; проявление интереса к исследовательской работой
	C1	Знание системы математических понятий и умение решать сложные математические задачи; слабый познавательный интерес к изучению математики в вузе; стремление выполнять только строго обязательный минимум заданий	Оценка «отлично» и по алгебре, и по геометрии или хотя бы по одному из этих предметов; результат ЕГЭ более 60 баллов; имеются полностью и частично правильно решенные задания из части С варианта ЕГЭ; безразличное отношение к изучению математики в вузе
Высокий	C2	Знание системы математических понятий и умение решать сложные математические задачи; опыт участия в математических олимпиадах; умение выполнять исследовательские проекты; высокий познавательный интерес к изучению математики в вузе; желание участвовать в олимпиадах; стремление заниматься исследовательской деятельностью	Оценка «отлично» и по алгебре, и по геометрии или хотя бы по одному из этих предметов; результат ЕГЭ более 60 баллов; имеются полностью и частично правильно решенные задания из части С варианта ЕГЭ; посещение школьных факультативов, участие в математических олимпиадах и конкурсах, выполнение исследовательских проектов; положительное отношение к изучению математики в вузе; проявление интереса к исследовательской работой

по специально составленной шкале. Она имеет размах от 0 до 100 и является кусочно-непрерывной. Задания части В предназначены для диагностики низкого и среднего уровней ма-

тематической подготовки. Успешное выполнение больше половины всех заданий части В отражают достижение обучающимся среднего уровня. Задания части С служат инструмен-

тов для определения высокого уровня математической подготовки.

Результаты ЕГЭ и оценки по алгебре и геометрии не раскрывают проявление обучающимся творческой активности и познавательного интереса к математике. Получить дополнительные сведения, необходимые для определения степени готовности к развитию творческих способностей, можно с помощью метода анкетирования. Первокурсникам на первом занятии предлагается сообщить о себе следующую информацию: 1) средний балл аттестата, 2) количество правильно выполненных заданий с кратким ответом (часть В), 3) количество полностью или частично решенных заданий с развернутым ответом (часть С), 4) название факультативных курсов, по которым осуществлялось обучение математике дополнительно, 5) результативность участия в математических олимпиадах и конкурсах разного уровня (школьного, районного, городского, регионального и т.д.), 6) тематику выполненных исследовательских проектов, 7) степень отношения (положительного, безразличного или отрицательного) к изучению математики в вузе, 8) желаемую оценку за освоение вузовского курса математики, 9) интерес к исследовательской работе (имеется или отсутствует).

Многолетний педагогический опыт показывает, что комбинации ответов студентов первого курса, начинающих обучение на технических и экономических направлениях специалитета и бакалавриата УрГУПС, на представленные выше вопросы анкеты распределяются, в общем, на пять групп. Определенные совокупности ответов можно рассматривать как показатели математической подготовки каждой группы, которые характеризуют такие уровни освоения математики как низкий, средний и высокий (таблица 2).

Анализ наблюдений проявлений культуры мышления и творческих способностей студентов показывает,

что их продвижение по этапам дидактической модели (см. таблицу 1) во многом зависит от уровня математической подготовки и имеет динамику, представленную в таблице 3.

Таблица 3

Динамика достижения этапов учебной деятельности

Этап Группа	I	II	III	IV
A	—	—	—	—
B1	+	—	—	—
B2	+	+	+	—
C1	+	+	—	—
C2	+	+	+	+

Вызывают озабоченность студенты из группы А. Пробелы в изучаемом материале, слабая мотивация учебной деятельности и плохо развитый познавательный интерес к предмету или его отсутствие не позволяют им принимать активное участие в коллективной, групповой и самостоятельной учебной работе. Все это делает невозможным развитие у них творческих способностей в рамках курса математики, так как необходимым условием творчества является хорошо сформированный понятийный аппарат. Педагогическая работа с этим контингентом студентов должна носить, прежде всего, воспитательный характер. Необходимо при формировании у них системы математических знаний и умений воспитывать внимание, усидчивость, терпение, трудолюбие. Эти качества личности непременно пригодятся им при изучении других дисциплин. Если у них появится интерес к изучению какой-либо другой предметной сферы, то тогда станет возможным через формирование у них предметной системы знаний и умений подготовить их к развитию творческих способностей в пределах данной дисциплины.

Студенты из групп В1 и С1 не проявляют познавательного интереса к математике и желают свести к минимуму количество задач, кото-

рые необходимо решить, чтобы получить интересующую их оценку. Они не прикладывают усилий для изменения стимульно-продуктивного уровня интеллектуальной активности, который достигли еще в период обучения в школе. Студенты из групп В2 и С2 стремятся выполнять дополнительные задания по математике, увлеченно решают различные математические задачи и с удовольствием участвуют в математических олимпиадах и студенческих научно-практических конференциях. Они под руководством преподавателей выполняют научно-исследовательские работы и демонстрируют стремление к развитию целеполагающей творческой деятельности. Эти студенты обладают хорошо сформированной системой математических знаний и умений, волевыми качествами и трудолюбием. Эффективная организация работы с каждой группой студентов обеспечивается предварительным проектированием специальной системы дидактических заданий.

Организация творческой работы студентов в процессе изучения математики — это сложная педагогическая задача, решение которой невозможно без знания закономерностей научной деятельности. Известный французский ученый А. Пуанкаре, исследуя поиск решения научных задач, писал, что «математическое творчество заключается не в создании новых комбинаций с помощью уже известных математических объектов. Число комбинаций, которые можно найти, было бы бесконечно, и даже самое большое их число не представляло бы ровно никакого интереса. Творчество состоит как раз в том, чтобы не создавать бесполезных комбинаций, а строить такие, которые оказываются полезными; а их ничтожное меньшинство. Тво-

рить — это отличать, выбирать» [9, с. 403]. А. Пуанкаре выделил в творческом процессе чередование периодов сознательной и подсознательной работы мышления и проиллюстрировал это на примерах из собственной жизни. Личные психологические наблюдения над процессами успешного решения математических задач убедили его в том, что бессознательный период работы мышления, который проходит тогда, когда человек отвлекается от решения трудной задачи, имеет первостепенную важность. Именно в этот отрезок времени подсознание автоматически производит перебор различных комбинаций и предоставляет уму только те из них, которые в последующий сознательный период мышления могут оказаться полезными и плодотворными. Эти избранные комбинации представляются сознанию в момент какого-то внезапного просветления, наступающий после периода работы подсознания [9]. При организации методической работы по решению нестандартных математических задач необходимо учитывать закономерности взаимодействия сознания и подсознания с целью управления развитием творческих способностей студентов.

Творческие способности и культура мышления студентов — это взаимосвязанные компоненты личности. Культура мышления выступает основой для проявления творческих способностей в процессе решения нестандартных математических задач, а развитие творческих способностей обогащает культуру мышления. Привлечение студентов к решению нестандартных математических задач и к участию в научно-исследовательской работе — это путь развития их творческих способностей и культуры мышления в диалектическом единстве.

Литература

1. Беспалько В. П. Слагаемые педагогической технологии. М. : Педагогика, 1989. — 192 с. ISBN 5-7155-0099-0.
2. Боговявленская Д. Б. Психология творческих способностей. М. : Академия, 2002. — 320 с. ISBN 5-7695-0888-4.
3. Дружинин В. Н. Психология общих способностей. СПб : Питер, 2002. — 368 с. ISBN 5-314-00121-7.
4. Иванова Т. А. Гуманитаризация общего математического образования: монография. Нижний Новгород : Изд-во НГПУ, 1998. — 206 с. ISBN 5-85219-033-0.
5. Капица П. Л. Эксперимент. Теория. Практика: статьи и выступления. М. : Наука, 1987. — 496 с.
6. Куликова О. В. Культура мышления и критерии развития ее компонентов в учебном процессе вуза: монография. Екатеринбург : УрГУПС, 2010. — 114 с. ISBN 978-5-94614-182-6.
7. Отчеты Федерального института педагогических измерений (ФИПИ). URL: <http://www.fipi.ru> (дата обращения: 25.04.2012).
8. Петров Ю. А. Культура мышления: методологические проблемы научно-педагогической работы. М. : Изд-во МГУ, 1990. — 118 с. ISBN 5-211-01005-1.
9. Пуанкаре А. О науке: Пер. с фр./Под ред. Л. С. Понтрягина. — 2-е изд., стер. — М. : Наука, 1990. — 736 с. ISBN 5-02-014328-6.
10. Фридман Л. М., Турецкий Е. Н. Как научиться решать задачи. М. : Просвещение, 1989. — 192 с. ISBN 5-09-000596-6.
11. Холодная М. А. Психология интеллекта. Парадоксы исследования. — Изд. 2-е, перераб. и доп. СПб : Питер, 2002. — 272 с. ISBN 5-318-00301-X.
12. Шадриков В. Д. Интеллектуальные операции. М. : «Университетская книга», «Логос», 2006. — 108 с. ISBN 5-98704-122-8.

References

1. Bepalko V. P. Slagayemye pedagogicheskoy tekhnologii [Components of pedagogical technology]. M. : Pedagogika, 1989. — 192 s. ISBN 5-7155-0099-0.
2. Bogoyavlenskaya D. B. Psikhologiya tvorcheskikh sposobnostey [Psychology of creative abilities]. M. : Akademiya, 2002. — 320 s. ISBN 5-7695-0888-4.
3. Druzhinin V. N. Psikhologiya obshchikh sposobnostey [Psychology of general abilities]. SPb : Piter, 2002. — 368 s. ISBN 5-314-00121-7.
4. Ivanova T. A. Gumanitarizatsiya obshchego matematicheskogo obrazovaniya: monografiya [Humanitarization of general mathematical education: monograph]. Nizhni Novgorod : Izd-vo NGPU, 1998. — 206 s. ISBN 5-85219-033-0.
5. Kapitsa P. L. Eksperiment. Teoriya. Praktika: statyi i vystupleniya [Experiment. Theory. Practice: articles and speeches]. M. : Nauka, 1987. — 496 s.
6. Kulikova O. V. Kultura myshleniya i kriterii razvitiya ee komponentov v uchebnom protsesse vuza: monografiya [Culture of thought and criteria of development of its components in university teaching process: monograph]. Ekaterinburg : UrGUPS, 2010. — 114 s. ISBN 978-5-94614-182-6.
7. Otchety Federalnogo instituta pedagogicheskikh izmereniy [Reports of Federal Institute of Pedagogic Measurements] (FIPI). URL: <http://www.fipi.ru> (date of calling: 25.04.2012).
8. Petrov Yu. A. Kultura myshleniya: metodologicheskiye problemy nauchno-pedagogicheskoy raboty [Culture of thought: methodological problems of scientific and pedagogic work]. M. : Izd-vo MGU, 1990. — 118 s. ISBN 5-211-01005-1.
9. Puankare A. O nauke [On science]: Transl. from the French./Pod red. [Ed. By] L. S. Pontryagina. — 2-e izd., ster. — M. : Nauka, 1990. — 736 s. ISBN 5-02-014328-6.
10. Fridman L. M., Turetsky E. N. Kak nauchitsya reshat zadachi [Learning to solve problems]. M. : Prosvesheniye, 1989. — 192 s. ISBN 5-09-000596-6.
11. Kholodnaya M. A. Psikhologiya intellekta. Paradoksy issledovaniya. [Psychology of intellect. Paradoxes of research] — Izd. 2-e, pererab. i dop. SPb : Piter, 2002. — 272 s. ISBN 5-318-00301-X.
12. Shadrikov V. D. Intellektualnye operatsii [Intellectual operations]. M. : Universitetskaya kniga, Logos, 2006. — 108 s. ISBN 5-98704-122-8.

Статья сдана в редакцию 14 мая 2012 года

Б. С. Сергеев

Креативность как результат воспитания

UDC 37.01:007

B. S. Sergeyev

Creativity as a result of upbringing

О, сколько нам открытий чудных
Готовят просвещения дух,
И опыт, сын ошибок трудных,
И гений, парадоксов друг,
И случай, бог изобретатель.

А. С. Пушкин

Аннотация

Рассмотрены вопросы изменения и развития креативности личности, которые имеют большое значение для формирования современного инженерно-технического работника в его практической деятельности. Показано, что введение принципиально новой дисциплины в процесс обучения студентов дает возможность создать предпосылки для массовости изобретательской деятельности на производстве, в частности, на сети дорог ОАО «РЖД».

Ключевые слова:

креативность; изобретения; изобретательство; творчество студентов; массовость изобретательства.

Abstract

The paper deals with issues of personal creativity change and development which play a major role in the formation of the contemporary engineers and technicians in their practical activity. It is shown that introduction of a fundamentally new discipline into the students' teaching process allows creating prerequisites for mass scale of inventive activities at production, in particular in the JSC RZD network.

Key words:

creativity; inventions; inventive activity; students' creative work; mass scale of inventive activities.

Творчество — универсальное качество любой личности, которое заложено в нем генетически. Оно существует и развивается в человеке с самого раннего детства; синонимом этому слову служит «фантазия». Нет такого ребенка, который бы тупо смотрел на игрушки и ничего с ними не делал. Мальчики играют, например, машинками, воображая их движение, сборку, разборку и др. Девочки, наряжая куклу, представляют ее, то есть фантазируют, в различных жизненных ситуациях или рассматривают с точки зрения субъективной красоты. Эти примеры — простейшая, но очевидная иллюстрация творчества любого ребенка.

В настоящей работе ставится задача оценки креативности и ее изменения на протяжении сознательного существования личности. Рассматриваются вопросы управления степенью креативности и предложения по ее совершенствованию на при-

Борис Сергеевич Сергеев, д-р техн. наук, профессор; кафедра «Автоматика, телемеханика и связь на железнодорожном транспорте» Уральского государственного университета путей сообщения, Екатеринбург, Россия. E-mail: sergeew@uralmail.com.

Boris Sergeyevitch Sergeyev, DSc in Engineering, Professor; Electric Machinery Chair of Ural State University of Railway Transport; Ekaterinburg, Russia. E-mail: BSergeev@usurt.ru.

мере изобретательской деятельности студентов и выпускников технических учебных заведений [1].

Творчество или креативность невозможно оценить количественно, но качественно и в сравнительном отношении это сделать можно, например, путем введения и последующего анализа некоторой условной функции W . Ее увеличение будет соответствовать возрастанию творческой активности личности, а уменьшение — ее снижению.

При этом практически реализуемо увеличение или уменьшение показателя этой функции, то есть возможно управление креативностью человека. В принципе, это программирование личности, что служит результатом использования в обучении известных методик нейролингвистического программирования (НЛП) и/или бихевиоризма. Эти методики, занесенные в нашу страну из-за рубежа, признаны в настоящее время псевдонаукой.

Однако любая педагогика методологически является рациональным использованием элементов НЛП. Если учитель не применяет их, то это плохой учитель. Великий русский ученый и педагог В. А. Сухомлинский сформулировал принцип НЛП в педагогике: «Школа должна быть школой радости. Только тогда ученики будут учиться так, как позволяют их способности». Если не понимать термин «программирование» в его негативном смысле, то все наши процессы обучения — с детских яслей и садика до вуза и далее — являются программированием личности. Результаты его могут быть как позитивными, так и негативными, что определяется великим множеством факторов: психологических, экономических, политических, социальных и др. Например, деятельность криминальных личностей и организаций также является творчеством, но лежащим вне рамок закона. Наша задача — рассмотреть процесс технического твор-

чества в полезном для общества направлении [2, 3].

Первые попытки анализа процессов творчества предпринимались еще в 300-х годах н. э., когда возникла эвристика (наука о том, как делать открытия и изобретения). В дальнейшем к этой теме обращались многие известные математики, например, Декарт, Лейбниц, Пуанкаре и многие другие. В этом отношении имелось и имеется два противоположных мнения. Первое определяло процессы творчества личности как нечто данное богом, всемирным разумом или др. По второму мнению творчество является результатом развития и воспитания личности. Еще в 1910 г. русский инженер П. К. Энгельмейер сформулировал принцип: «...оказывается, что гениальность вовсе не такой божественный дар... она составляет удел всякого, кто не рожден совсем идиотом». В последующем аналогичную мысль повторяли и другие ученые и даже пытались нормировать и формализовать процессы создания новых технических решений (Г. С. Альтшуллер). Известно высказывание Н. И. Лобачевского: «Люди делаются, а не рождаются умными; рождающиеся, а не делающиеся умными, не суть люди». Одним из подтверждений этому может служить известный биологический, морфологический и другие виды анализа мозга выдающихся ученых или политических деятелей по отношению к «обычным» личностям.

Правда, эти положения не совсем объясняют появление на Земле таких гениев, как Л. да Винчи, А. Эйнштейн, Н. Тесла и др.

Рассмотрим временные процессы изменения креативности человека на протяжении его жизни на примере графика рис. 1, показывающего изменение введенного выше условного показателя W в зависимости от этапов времени деятельности личности t .

Если не рассматривать этапа от времени рождения ребенка до на-

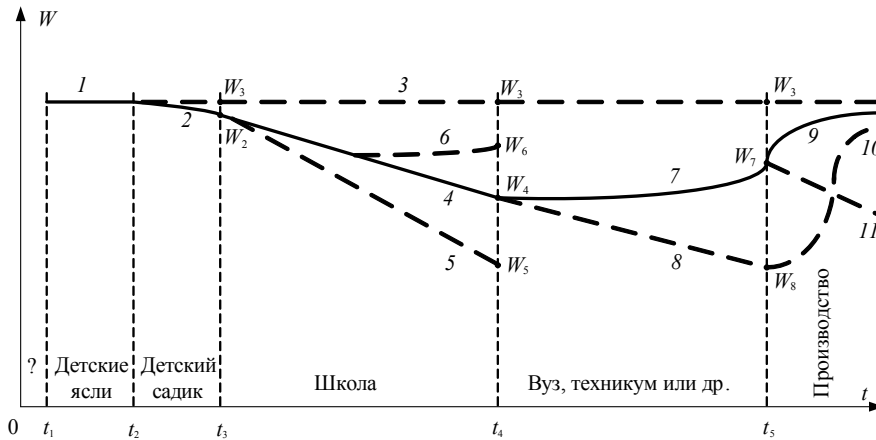


Рис. 1

чала воспитания его в детских яслях, обозначенного как «?» (знак вопроса), то можно принять, что начальный уровень креативности определяется участком 1 графика. Очевидно, что этот этап является разгулом фантазии ребенка, его никто не обучает методам игры с машинками, домиками, куклами и др. Воспитатель просто развивает его мышечные рефлексy, зрение и другие физиологические моменты.

С пяти-шести лет, со старшей группы детского сада, начинается обучение грамоте и началам арифметики. На творческие возможности ребенка накладывается необходимость изучения этих предметов, которая не всегда совпадают с детскими желаниями пофантазировать. Конечно, здесь все зависит от воспитателя, его педагогического таланта, умения применять необходимую методику преподавания. Но это почти всегда наносит определенный психологический удар по креативности ребенка и снижает его показатель W . В соответствии с этим, на показанном этапе времени функция $W = f(t)$ будет соответствовать участку 2 графика.

График 3 функции $W = f(t)$ соответствует идеальному случаю применения методик преподавания на всех этапах жизни личности, которые соответствуют приведенному выше утверждению В. А. Сухомлин-

ского. Аналитически это может быть определено как $\frac{dW}{dt} = 0$.

После поступления в школу происходит объективно неизбежное уменьшение значения функции $W = f(t)$. Это соответствует выражению $\frac{dW}{dt} < 0$. В зависимости от педагогического таланта учителя ее снижение может происходить по различным законам (участки 4, 5 или 6). Ученика заставляют разучивать «ненужную» ему таблицу умножения, сложные правила русского языка и математики и т. д. Это приводит к методам зубрежки, а не к использованию внутренней необходимости изучения того или иного предмета, что и определяет снижение творческой активности. Создание «школы радости» по В. А. Сухомлинскому под силу крайне небольшому количеству педагогов, и это является объективной реальностью нашего общества. Отчетным показателем школы служит количество отличников, а не воспитание креативной личности — будущего гражданина России.

В старших классах школы у учеников может появиться заинтересованность в изучении тех или иных предметов — участок 6 функции $W = f(t)$. Это может быть обусловлено их взрослением и осознанием необ-

ходимости продолжить свое образование. У относительно небольшого количества учеников проявляется увлеченность какой-либо областью знаний, например, физики, что может определять появление среди них в будущем креативных специалистов.

С точки зрения воспитания творческих личностей, успешность функционирования школы может быть оценена как $(W_3 - W_i) \rightarrow 0$, где W_i соответствует реально воспитанной креативности выпускника школы по конкретным изучаемым дисциплинам, которые являются предметом его увлечения. С точки зрения выпускника максимального количества медалистов, показатель W_i должен относиться ко всем дисциплинам. Можно утверждать, что такие выпускники еще не определились с выбором области своей будущей деятельности: техническая, гуманитарная, биологическая и др.

Очевидно, что в процессе обучения возможно и желательно получение результата $\frac{dW}{dt} > 0$, что соответствует увеличению показателя W .

Поступление человека в вуз (техникум или др.) определяет будущую профессиональную деятельность личности и должно устанавливать направление всей его дальнейшей жизни. Однако известно, что определенная часть студентов (до 30–40 % или более) заканчивает вуз лишь с целью получения диплома. Далее подобные ситуации рассматривать не будем, считая это бесполезной нагрузкой для учебных заведений.

К этой же ситуации относится и тот факт, что в подавляющем большинстве учебных заведений зачисление в ряды студентов не определяется отбором абитуриентов по профессиональным качествам получения будущей специальности. В наиболее значительной и наихудшей степени это проявилось при введе-

нии вступительного конкурса по результатам ЕГЭ.

Примем, что студент поступил в вуз с начальной степенью креативности W_4 . Очевидно, что за время обучения возможны показатели как развития, так и деградации креативности, что на рис. 1 показано двумя участками 7 и 8 графиков, соответствующими положительному или отрицательному значениям производной $\frac{dW}{dt}$. Ее знак, как и на этапе обу-

чения в школе, в наиболее значительной степени зависит от преподавателя. Однако преподаватель вуза качественно отличается от учителя в школе.

С одной стороны, это обусловлено тем, что должность преподавателя вуза не носит такого массового характера подготовки, как должность учителя в школе. Происходит отбор среди лучших выпускников вуза, обладающих высокой профессиональностью и заинтересованностью в области своего предмета обучения. Поэтому можно утверждать, что преподаватель вуза по своим педагогическим способностям находится ближе к «школе радости» по В.А. Сухомлинскому. С другой стороны, студент в процессе обучения напрямую осознает необходимость получения новых знаний, которые потребуются ему на протяжении дальнейшей производственной или научно-технической жизни.

Очевидно, что в этом случае значения показателя креативности в точках W_7 или W_8 в значительной степени зависят и от студента. Совместной целью преподавателя и выпускника вуза является выполнение целевой функции $(W_3 - W_i) \rightarrow 0$.

После окончания вуза полученный уровень креативности, например, W_7 , может радикально изменяться как в большую сторону, так и в меньшую (участки 9 и 10 на рис. 1) [4].

Если инженер попадает в производственный коллектив, выполняю-

щий рутинную работу и не занимающийся творческой деятельностью, то он подпадает под соответствующее воздействие коллег. Молодой специалист, не обученный методам критического отношения к старшим товарищам по работе, считает, что подобная деятельность коллектива является идеальной и требуется ей подчиниться. В этом случае его творческая активность может быть отображена участком 11 (рис. 1). Иногда молодой специалист, испытывая творческий дискомфорт, ищет себе другую работу [5].

Другое дело, когда молодой специалист попадает в творческий коллектив, где существует атмосфера необходимости создания новых технических (научно-технических) решений и присутствует дух благожелательной соревновательности [4]. Такая ситуация отображается участками 9 и 10 графика рис. 1. В этом случае происходит соответствующее программирование молодого специалиста и поощрение развивающейся креативности. Не исключаются ситуации, когда молодой специалист, имеющий по результатам выпуска из вуза малый показатель креативности, в результате взаимодействия с коллегами по работе становится настоящим изобретателем или научным работником с большим творческим потенциалом. Подобная ситуация показана на графиках рис. 1 участком 10.

Имеются возможности общеобразовательного повышения показателя креативности студентов, не связанные с профессиональными дисциплинами, изучаемыми в вузе [4–7]. Кроме того, они позволяют воспитать в студенте чувство соревновательности в проявлении творческой активности, анализу и критическому отношению к существующим техническим решениям и методике создания изобретений. Отработанный на протяжении пяти лет курс лекционных и практических занятий «Практические основы создания изобретений» показал его результатив-

ность и заинтересованность студентов в проявлении собственного «Я». Кроме развития креативности, в данном курсе рассматриваются вопросы рационального выполнения НИОКР и психологические аспекты взаимодействия творческой личности с коллективом и руководством.

Одновременно с рассмотренными положительными моментами, введение в учебный процесс новой дисциплины создает предпосылки для дальнейшего распространения полученных студентами знаний. Это поясняется структурной схемой рис. 2.

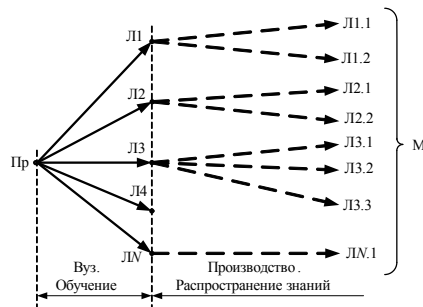


Рис. 2

На рис. 2 в условном виде показано, что преподаватель (Пр) осуществляет передачу данных дисциплины студентам группы, которые являются личностями (Л1, Л2, ..., ЛN), подлежащими соответствующему обучению число которых равно N. В соответствии с теорией бихевиоризма, преподаватель должен создать в студентах стимулы для восприятия информации, разбудить инстинкты своего эго путем внушения ему тезиса: «А я чем хуже?». Это может дать соответствующий результат в творческой деятельности [4]. Как показал опрос, положительное восприятие информации по рассматриваемой дисциплине достигается практически почти у всех студентов обучаемых групп. Однако, по их мнению, количество по настоящему творческих личностей в группе составляет не более 25–35%. Вот эти-то проценты и способны к продолжению научно-технической и изобретательской деятельности.

Полученные студентами знания после окончания вуза могут распространяться на товарищей по работе. Это иллюстрируется схемой рис. 2. Например, выпускник Л1 может развить или создать стимулы к творчеству у нескольких личностей: $L1 \rightarrow (L1.1 + L1.2)$. Аналогично получение результата и для других личностей. Однако, например, личность Л4 не принимает участия в распространении знаний. Это неизбежные издержки и процесса.

Очевидно, что если число выпускников равно N , а количество «приобщенных» к творческой деятельности равно M , то желательным является выполнение неравенства $M > N$. Это будет способствовать массовости творческой деятельности за счет лавинообразного распространения знаний. Даже если это неравенство не выполняется, то при $M > 0$ эффект все равно будет иметь место.

Разумеется, схема на рис. 2 несколько идеализирована. Она не учитывает личностных моментов распространения знаний выпускников вуза ($L1, \dots, L1N$) на товарищей по работе ($L1.1, \dots, L1NM$). Поэтому составной частью изучаемой дисциплины являются психологические вопросы взаимодействия с коллегами по работе и с руководством и необходимости создания комфортных условий творческой соревновательности, которые рассмотрены в [4].

Выводы по структурной схеме имеют важное практическое значение для сети дорог ОАО «РЖД». Они заключаются в следующем.

Сеть железных дорог России чрезвычайно разветвлена и на всех ее участках работает большое число специалистов различных профессий и самого различного уровня технической подготовки. Есть участки дорог, расположенные в непосредственной близости от больших городов и технических центров, а есть и удаленные от них на сотни километров. Отличительна черта россий-

ского человека — его способность и желание к созданию чего-то нового или к совершенствованию имеющегося. Примеров тому множество: это и братья Артамоновы, Черепановы, Левша и т. д. Подобные личности, работающие на сети дорог, находятся в неравных условиях. Работники удаленных участков не могут получить консультации специалистов по вопросам создания и квалифицированной патентно-правовой защиты созданных технических решений. Имеющиеся на сети дорог подразделения ВОИР в подавляющем большинстве случаев не выполняют эти функции. Выпускники вузов имеют практически нулевой уровень знаний в области изобретательской деятельности. Вводимые в некоторых вузах учебные курсы включают в себя лишь изучение нормативных патентно-правовых документов, исключающих изучение и развитие процессов творчества. Однако результаты дорожных и сетевых выставок показывают, что некоторые из экспонатов могут быть соотнесены с уровнем изобретений.

Приход на сеть дорог специалистов, имеющих рассмотренную выше подготовку, позволит сделать шаг к развитию массовости изобретательства в ОАО «РЖД». Изложенное относится не только к эксплуатационному штату железных дорог, но и к отраслевым НИИ и проектным организациям, где вопросы создания конкурентоспособных технических решений являются первоочередными.

Один из вопросов, решенных в Уральском государственном университете путей сообщения совместно с департаментом технической политики ОАО «РЖД» в части распространения знаний в области креативности и патентно-правовых документов, представлен в работах [6, 8]. В частности, создана перспективная система регулирования движением поездов [9, 10].

Литература

1. Сергеев Б. С. Инженер: изобретатель?//Инженер, 2010. № 1. — С. 4–5. ISSN 0868-443X.
2. Сергеев Б. С. Проблемы активизации процессов создания интеллектуальной собственности//Современные наукоемкие технологии//2010, № 12. — С. 80–81. ISSN 1812-7320.
3. Сергеев Б. С. Подготовка инженеров-изобретателей//Современные проблемы науки и образования, 2011. № 1. — С. 45–48. ISSN 1817-6321.
4. Сергеев Б. С. Практические основы создания изобретений; учеб. пособие. Екатеринбург: Изд-во УрГУПС, 2011. — 108 с. ISBN 978-5-94614-183-3.
5. Малыгин Е. А., Сергеев Б. С. Интеллектуальная собственность: опыт преподавания в вузе//Мир транспорта, 2010. № 2. — С. 170–174. ISSN 1992-3252.
6. Наговицын В. С., Сергеев Б. С. Интеллектуальная собственность: взгляд разработчика//Интеллектуальная собственность. Промышленная собственность, 2005. № 8. — С. 54–67. ISSN 0201-7067.
7. Сергеев Б. С., Наговицын В. С. Об оценке интеллектуальной собственности//Транспорт. Наука, техника, управление/Научный информационный сборник ВИНТИ РАН, 2004. № 12. — С. 24–26. ISSN 0236-1914.
8. Сергеев Б. С., Наговицын В. С. Изобретательство и патентование результатов НИ-ОКР//Транспорт Урала, 2004. — № 4. — С. 9–13. ISSN 1815-9400.
9. Тильк И. Г., Ляной В. В., Кривда М. А. Сергеев Б. С. Способ управления движением поездов и система для его осуществления//Вестник УрГУПС, 2009. № 3–4. — С. 143–144. ISSN 2079-0392.
10. Сергеев Б. С. Изобретателями не рождаются — изобретателей готовят//Железнодорожный транспорт, 2012. № 7. С. 67–68. ISSN 0044-4448.

References

1. Sergeyev B. S. Inzhener: izobretatel? [Engineer: inventor?]/Inzhener, 2010. № 1. — S. 4–5. ISSN 0868-443X.
2. Sergeyev B. S. Problemy aktivizatsii protsessov sozdaniya intellektualnoy sobstvennosti [Problems of activating processes of intellectual property creation]/Sovremennye naukoemkiye tekhnologii//2010, № 12. — S. 80–81. ISSN 1812-7320.
3. Sergeyev B. S. Podgotovka inzhenerov-izobretateley [Training inventor engineers]/Sovremennye problemy nauki i obrazovaniya, 2011. № 1. — S. 45–48. ISSN 1817-6321.
4. Sergeyev B. S. Prakticheskiye osnovy sozdaniya izobreteniy [Practical bases of inventing]; ucheb. posobiye. Ekaterinburg: Izd-vo UrGUPS, 2011. — 108 s. ISBN 978-5-94614-183-3.
5. Malygin E. A., Sergeyev B. S. Intellektualnaya sobstvennost: opyt prepodavaniya v vuze [Intellectual property: experience in university teaching]/Mir transporta, 2010. № 2. — S. 170–174. ISSN 1992-3252.
6. Nagovitsyn V. S., Sergeyev B. S. Intellektualnaya sobstvennost: vzglyad razrabotchika [Intellectual property: developer's view]/Intellektualnaya sobstvennost. Promyshlennaya sobstvennost, 2005. № 8. — S. 54–67. ISSN 0201-7067.
7. Nagovitsyn V. S., Sergeyev B. S. Ob otsenke intellektualnoy sobstvennosti [On assessing intellectual property]/Transport. Nauka, tekhnika, upravleniye/Nauchny informatsionny sbornik VINITI RAN, 2004. № 12. — S. 24–26. ISSN 0236-1914.
8. Sergeyev B. S., Nagovitsyn V. S. Izobretatelstvo i patentovaniye rezultatov NIOKR [Inventing and patenting R&D results]/Transport Urala, 2004. — № 4. — S. 9–13. ISSN 1815-9400.
9. Tilk I. G., Lyanoy V. V., Krivda M. A., Sergeyev B. S. Sposob upravleniya dvizheniyem poezdov i sistema dlya ego osuschestvleniya [System for controlling train traffic and system for its implementation]/Vestnik UrGUPS, 2009. № 3–4. — S. 143–144. ISSN 2079-0392.
10. Sergeyev B. S. Izobretateljami ne rozhdajutsja – izobretatelej gotovjat [The inventors are not born, the inventors are trained] //Zheleznodorozhnyj transport, 2012. № 7. S. 67–68. ISSN 0044-4448.

Статья сдана в редакцию 3 июля 2012 года

АСПИРАНТСКАЯ ТЕТРАДЬ

УДК 629.4.063.8

И. М. Пышный

Блок управления для системы гребнесмазывания локомотивов

UDC 629.4.063.8

I. M. Pyshny

Control unit for locomotive crest lubrication system

Аннотация

В статье описывается разработанный блок автоматического управления системой гребнесмазывания бандажей колесных пар локомотивов, реверсирования и автоматического регулирования периодичности времени смазывания гребней колесных пар тепловозов серий ТЭМ2 и ТЭМ18 на железнодорожном транспорте необщего пользования. Разработанный блок позволил устранить недоработки НПП «Фромир», исключить попадание смазки на поверхность катания бандажей колесных пар и увеличить ресурс бандажей до отбочки по минимальной толщине гребня в полтора-два раза.

Ключевые слова:

локомотив, колесная пара, бандаж, автоматическая система, гребнесмазывание, блок управления, разработка.

Abstract

The article describes the developed automatic control unit for the system of crest lubrication of locomotive wheel set rims, reversal and automatic adjustment of the periodicity of lubrication of wheel set crests on diesel-powered locomotive series TEM2 and TEM18 on railway transport of non-public use. The developed unit allowed eliminating the shortcomings of NPP Fromir, avoid lubricant ingress to the tread surface of wheel set rims and increase the rim service life before turning according to the minimum crest thickness 1,5–2 times.

Key words:

locomotive, wheel set, rim, automatic system, crest lubrication, control unit, development.

Игорь Михайлович Пышный, аспирант; кафедра «Электрическая тяга» Уральского государственного университета путей сообщения, Екатеринбург, Россия. E-mail: igorkz45@mail.ru.

Igor Mikhailovich Pyshny, Postgraduate; Electric Traction Chair of Ural State University of Railway Transport; Ekaterinburg, Russia. E-mail: igorkz45@mail.ru.

Для снижения интенсивности изнашивания гребней бандажей разработаны и внедрены на железных дорогах общего пользования методы повышения ресурса колесных пар тягового подвижного состава [1]. В частности, проведены исследования по оценке эффективности лубрикации, внедрения гребне- и рельсосмазывания [1], влияния на величину износа соотношения твердости колес и рельсов [2], разности диаметров бандажей, перекоса колесных пар относительно рамы тележки и оси пути, состояния резиновых элементов поводков буксовых узлов [3], созданы технические средства оперативного контроля состояния ходовых частей подвижного состава и пути [4].

Промышленный железнодорожный транспорт (железнодорожный транспорт необщего пользования) — огромный организм, в настоящее время раздробленный по министерствам и ведомствам. Задача у промышленных предприятий одна: максимум прибыли, доходов от своей деятельности. Однако в стороне остаются вопросы, связанные с работой внутризаводского железнодорожного транспорта, особенно вопросы поддержания в надлежащем состоянии подвижного состава и пути.

В настоящее время в сфере промышленного железнодорожного транспорта остро стоит вопрос о повышении ресурса бандажей и гребней колесных пар тягового подвижного состава [5]. Это связано с ухудшением содержания, невысоким качеством ремонта пути и подвижного состава, несовершенством существующих нормативов, по которым оценивается состояние ходовых частей. Необходимо учитывать, что особенностью эксплуатации промышленного транспорта на путях необщего пользования являются широкий диапазон грузонапряженности путей — от несколько тысяч до 20–25 млн т брутто в год; значительное число стрелочных переводов (в черной метал-

лургии в среднем до 4 на 1 км); наличие большого числа криволинейных участков, в том числе малых радиусов; нагрузка от оси подвижного состава на путь от 200 до 560 кН. Как известно из опубликованных результатов исследований [6, 7], интенсивность бокового износа рельсов и гребней бандажей колесных пар тягового подвижного состава находится в квадратичной зависимости от этих нагрузок. Например, при увеличении нагрузки на ось в среднем со 300 до 400 кН износ возрастает в 2,7 раза. Характерно применение специальных конструкций путей в цехах и на эстакадах, значительная протяженность путей с заглубленным балластным слоем.

Общая протяженность железнодорожных путей необщего пользования шириной колеи 1520 мм к началу 2012 года в России составляла свыше 120 тыс. км. Из них около 50 % рельсы типа 1-а, Р38, Р43, другая половина — рельсы Р50, Р65 и более тяжелые. Более тридцати тысяч предприятий имеют примыкание к железнодорожному транспорту общего пользования. Свыше 15 % общей протяженности железнодорожных путей приходится на предприятия черной металлургии и почти 10 % — на предприятия угольной промышленности.

Условия эксплуатации на путях общего пользования, конечно же, отличаются от эксплуатации на железнодорожном транспорте необщего пользования из-за наличия на последнем большого количества кривых малого радиуса (до 60 м) [8].

Поэтому встала задача разработать способы уменьшения интенсивного износа гребней бандажей колесных пар тепловозов на железнодорожном транспорте необщего пользования. Одним из таких способов является применение различных систем гребне- и рельсосмазывания [9].

Автоматическая система гребнесмазывания предназначена для дозированного нанесения смазочного материала на гребни колесных

пар тепловозов, тем самым уменьшая силы трения гребня бандажа о головку рельса и сопротивление движению, расхода топлива на тягу поездов.

В связи со значительным износом гребней колесных пар в 2008 году на семи тепловозах ТЭМ2 (№№ 175, 421, 530, 975, 972, 1047 и 7271) и ТЭМ18 № 274 собственности ООО «ЛУКойл-Транс» (г. Пермь) были установлены автоматические гребнесмазыватели АГС-8 производства НПП «Фромир» (г. Ростов-на-Дону). В качестве смазочного материала в АГС-8 использовалась смазка ТП-22 (И-20).

При эксплуатации тепловозов ТЭМ2 и ТЭМ18 с системой гребнесмазывания АГС-8 на железнодорожных путях ООО «ЛУКойл-Транс» были выявлены целый ряд недостатков:

- система гребнесмазывания во время стоянки тепловоза и на нулевой позиции контроллера машиниста продолжает работать;

- в момент трогания поезда с места тепловозом реализуются большие тяговые усилия и подача смазки снижает коэффициент сцепления колеса с рельсом.

Предлагаемый НПП «Фромир» контроль за работой гребнесмазывателей в пути следования с записью на скоростемерную ленту для своевременного выявления неисправности не устраняет их основной недостаток — попадание смазки на поверхность катания бандажей колесных пар, что ведет к боксованию. Этим вызвана «боязнь» локомотивных бригад тепловозов ТЭМ2 и ТЭМ18 использовать гребнесмазыватель на железнодорожных путях ООО «ЛУКойл-Транс».

Для улучшения качества работы гребнесмазывателя АГС-8 на тепловозах ТЭМ2 и ТЭМ18, в Уральском государственном университете путей сообщения разработан блок управления, при помощи которого полностью автоматизируется управление системой гребнесмазывания. Это существенно повышает качество смазыва-

ния гребней колесных пар, исключает работу системы гребнесмазывания во время стоянки локомотива и на нулевой позиции контроллера машиниста. Тем самым исключается боксование колесных пар тепловоза как во время трогания так и при движении локомотива с поездом [10].

Блок состоит из двух реле времени ВЛ-50У3, трех промежуточных реле типа ТРПУ-УХЛ3 и тумблера ТВ-1–4. Включение блока производится автоматически. Принцип действия блока заключается в следующем: после постановки рукоятки контроллера машиниста на первую позицию получают питание поездные контакторы, после включения которых получает питание катушка промежуточного реле ПР-1 по цепи — «плюс» аккумуляторной батареи, замкнутый контакт контроллера машиниста, клеммная рейка К-1, от клеммы 1 К-243 через тумблер реостатных испытаний ТРИ, катушка промежуточного реле ПР-1.

Промежуточное реле ПР-1 находится в цепи питания контактора возбуждения генератора КВГ, которым блок автоматического управления гребнесмазыванием отключается при реостатных испытаниях тепловоза. Получив питание, промежуточное реле ПР-1 замыкает свою блокировку и подает питание на катушку промежуточного реле ПР-2 по цепи — «плюсовая» клеммная рейка К-3, замкнутые контакты промежуточного реле ПР-1, размыкающая блокировка реле времени РВ-1 с выдержкой времени на размыкание, катушка промежуточного реле ПР-2.

Одновременно с промежуточным реле ПР-2 получает питание реле времени РВ-1 по цепи — «плюсовая» клеммная рейка К-3, замкнутые контакты промежуточного реле ПР-1, размыкающая блокировка реле времени РВ-2 с выдержкой времени на отключение, катушка реле времени РВ-1. Получив питание, РВ-1 начинает отсчет времени.

Получив питание, промежуточное реле ПР-2 включается, своими

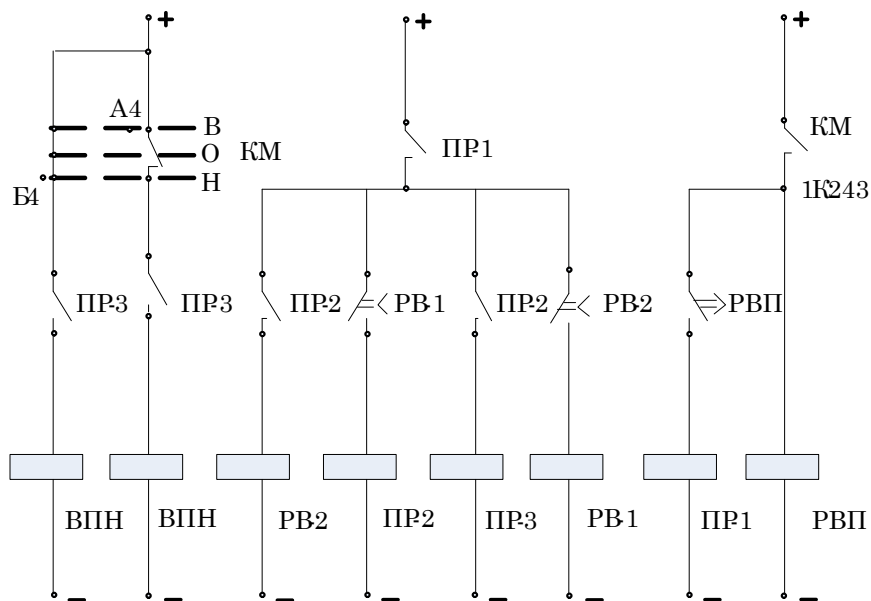


Рис. 1. Электрическая схема реле пуска и блока АГС-8 гребней бандажей колесных пар тепловозов

размыкающими контактами размыкает цепь питания на катушку реле времени РВ-2 и своими замыкающими контактами создает цепь питания на катушку промежуточного реле ПР-3 по цепи — «плюсовая» клеммная рейка КЗ, замкнутые контакты промежуточного реле ПР-1, замкнутые контакты промежуточного реле ПР-2, катушка промежуточного реле ПР-3.

Получив питание, промежуточное реле ПР-3 своими замыкающими контактами создает цепь питания на катушки электропневматических вентилях ЭПВ системы гребнесмазывания, которые разбиты на две группы: первая — при движении локомотива вперед; вторая — при движении локомотива назад. Питание ЭПВ в зависимости от направления движения осуществляется с клемм реверсивного барабана контроллера машиниста А4 (при движении локомотива вперед) и Б4 (при движении локомотива назад) по цепи — «плюсовая» клеммная рейка КЗ, замкнутый контакт реверсора при движении вперед, замыкающие контакты промежуточного реле ПР-3, катушка пневматичес-

кого вентиля при движении вперед (ВПВ), рис. 1.

Получив питание, РВ-1 начинает отсчет времени. Через 20–30 с РВ-1 своими размыкающими контактами размыкает цепь питания на катушку реле ПР-2. Отключившись, ПР-2 своими размыкающими контактами размыкает цепь на катушку ПР-3, которое своими размыкающими контактами размыкает цепь питания на ЭПВ системы гребнесмазывания. Своими нормально замкнутыми контактами ПР-2 создает цепь питания на катушку РВ-2. Получив питание, РВ-2 начинает отсчет времени. Через 10–15 с РВ-2 своей размыкающей блокировкой размыкает цепь питания катушки РВ-1. Отключившись, РВ-1 своими размыкающими контактами с выдержкой времени на размыкание создает цепь питания на катушку промежуточного реле ПР-2. Цикл повторяется (см. рис. 1)

Таким образом, можно регулировать периодичность смазывания гребней бандажей колесных пар тепловоза. При установке контроллера машиниста на нулевую позицию снимается питание с катушки ПР-1,

тем самым система гребнесмазывания АГС-8 отключается.

При производстве маневровой работы машинисту тепловоза часто приходится набирать и сбрасывать позиции контроллера, что негативно может сказаться на работе блока автоматической системы гребнесмазывания. В момент трогания поезда с места локомотивом реализуются большие тяговые усилия и подача смазки несколько снижает коэффициент сцепления колеса с рельсом.

Чтобы обеспечить более устойчивую работу системы гребнесмазывания, специально разработано реле пуска блока автоматического управления АГС-8. Реле пуска выполнено на основе реле времени типа ВЛ-50УЗ.

При постановке рукоятки контроллера машиниста тепловоза на первую позицию получают питание поездные контакторы (см. рис. 1) и с клеммы 1К243 получает питание катушка реле времени РВП. Получив питание, катушка начинает отсчет времени и через 30–40 с своими замыкающими контактами с выдержкой времени на замыкание создает цепь питания для катушки промежуточного реле ПР-1. Получив питание, промежуточное реле ПР-1 включается и производит включение блока АГС-8. Также своими замыкающими контактами промежуточное реле ПР-1 создает цепь питания на сигнальную лампу «Гребнесмазыватель вкл.», расположенную на пульте машиниста, которая сигнализирует о включении блока автоматической системы гребнесмазывания.

При постановке рукоятки контроллера машиниста тепловоза на нулевую позицию теряет питание катушка реле пуска РВП, своим контактом разрывает цепь питания на катушку промежуточного реле ПР-1, которое, в свою очередь, отключает блок автоматической системы гребнесмазывания и через блокировочный контакт подает питание на сигнальную лампу «Гребнесмазыватель выкл.».

Разработанный и установленный на тепловозах ТЭМ2 (175, 421, 530, 975, 972, 1047 и 7271) и ТЭМ18 № 274 блок управления для автоматической системы гребнесмазывания бандажей колесных пар позволил устранить недоработки НПП «Фромир», исключить попадание смазки на поверхность катания бандажей колесных пар. Результаты выполненных расчетов по приведенной выше методике определения 95%-ного ресурса бандажей тепловозов ТЭМ2 и ТЭМ18 до обточки колесных пар в железнодорожном цехе ООО «ЛУКойл-Транс» после внедрения блока управления АГС-8 приведен в таблице 1.

Если до установки на тепловозы ТЭМ2 и ТЭМ18 эффекта от применения автоматической системы гребнесмазывания не выявлено, то после установки самого блока управления и реле пуска АГС-8 ресурс бандажей до обточки по минимальной толщине гребня увеличился от 1,5 до 2 раз.

Таблица 1

Ресурс бандажей колесных пар тепловозов ТЭМ2 и ТЭМ18 с внедренным блоком управления разработанного в УрГУПС, мес.

95%-ный ресурс бандажей до обточки колесных пар	Без блока управления АГС-8	С блоком управления АГС-8
По предельному значению величины износа гребня	42,4	55,5
По предельному значению величины нарастания проката	27,8	42,3

Таким образом, можно сделать вывод, что применение АГС-8 с дополнительной установкой разработанного в УрГУПС блоком управления позволяет увеличить ресурс бандажей до обточки по предельному прокату на 52 % (с 27,8 до 42,3 мес.), а по минимальной толщине гребня — на 31 % (с 42,4 до 55,5 мес.). При этом количество обточек бандажей колесных пар сокращается на 25 %.

Литература

1. Буйносов А. П. Методы повышения ресурса бандажей колесных пар тягового подвижного состава: Дисс. ... на соиск. уч. ст. докт. техн. наук: 05.22.07. Защи. 09.12.2011; Утв. 05.06.2012. Екатеринбург, 2011. 455 с.
2. Буйносов А. П. Применение гребне и рельсосмазывателей для уменьшения износа колес локомотивов//Железнодорожный транспорт, 2001. № 4.— С. 14–16. ISSN 0044-4448.
3. Буйносов А. П. Влияние разности диаметров бандажей на их износ колесных пар тягового подвижного состава//Вестник УрГУПС, 2010. № 3 (7).— С. 64–73. ISSN 2079-0392.
4. Буйносов А. П. Разработка и аппаратная реализация прибора для измерения геометрических параметров бандажей колесных пар//Транспорт Урала, 2010. № 3 (26).— С. 64–68. ISSN 1815-9400.
5. Буйносов А. П., Пышный И. М. Выбор профиля бандажей колесных пар тепловозов исходя из критерия максимального ресурса колесных пар до обточки//Тяжелое машиностроение, 2011. № 4.— С. 5–11. ISSN 0131-1336.
6. Буйносов А. П. Методы повышения ресурса колесных пар тягового подвижного состава: монография.— М.: ГОУ «УМЦ по образованию на железнодорожном транспорте, 2010.— 244 с. ISBN 978-5-9994-0038-3.
7. Буйносов А. П. Основные причины интенсивного износа бандажей колесных пар подвижного состава и методы их устранения.— Екатеринбург: Изд-во УрГУПС, 2009.— 224 с. ISBN 978-5-94614-148-2.
8. Буйносов А. П., Худояров Д. Л., Пышный И. М. Выбор профиля поверхности катания бандажей колесных пар промышленных тепловозов//Транспорт Урала, 2011. № 1 (28).— С. 64–69. ISSN 1815-9400.
9. Буйносов А. П., Пышный И. М. Увеличение срока службы бандажей колесных пар промышленных тепловозов//Омский научный вестник. Сер.: Приборы, машины и технологии, 2011. № 3 (103).— С. 152–156. ISSN 1813-8225.
10. Буйносов А. П., Пышный И. М. Разработан бортовой локомотивный гребнесмазыватель «твердого» типа//Научно-технический вестник Поволжья, 2011. № 3.— С. 92–96. ISSN 2079-5920.

References

1. Buynosov A. P. Metody povysheniya resursa bandazhey kolesnykh par tyagovogo podvizhnogo sostava [Methods to increase operating life of rims of wheel sets of traction equipment]: Diss. ... na soisk. uch. st. doct. tekhn. nauk: 05.22.07. Zashch. 09.12.2011; Utv. 05.06.2012. Ekaterinburg, 2011. 455 s.
2. Buynosov A. P. Primeneniye grebne i relsoszmyvateley dlya umensheniya iznosa koles lokomotivov [Using crest and rail lubricators to reduce locomotive wheel wear]//Zheleznodorozhny transport, 2001. № 4.— S. 14–16. ISSN 0044-4448.
3. Buynosov A. P. Vliyaniye raznosti diametrov bandazhey na ikh iznos kolesnykh par tyagovogo podvizhnogo sostava [Influence of rim diameter difference on wear of wheel sets of traction equipment]//Vestnik UrGUPS, 2010. № 3 (7).— S. 64–73. ISSN 2079-0392.
4. Buynosov A. P. Razrabotka i apparatnaya realizatsiya pribora dlya izmereniye geometricheskikh parametrov bandazhey kolesnykh par [Development and hardware implementation of a wheel set rim geometric parameter meter]//Transport Urala, 2010. № 3 (26).— S. 64–68. ISSN 1815-9400.
5. Buynosov A. P., Pyshnyi I. M. Vybory profilya bandazhey kolesnykh par teplovozov iskhodya iz kriteriya maksimalnogo resursa kolesnykh par do obtochki [Selecting the profile of diesel-powered locomotive wheel set rims based on the criteria of maximum wheel set operating life before turning]//Tyazheloye mashinostroyeniye, 2011. № 4.— S. 5–11. ISSN 0131-1336.
6. Buynosov A. P. Metody povysheniya resursa kolesnykh par tyagovogo podvizhnogo sostava: monografiya [Methods to increase operating life of wheel sets of traction equipment: monograph].— M.: GOU UMC po obrazovaniyu na zheleznodorozhnom transporte, 2010.— 244 s. ISBN 978-5-9994-0038-3.
7. Buynosov A. P. Osnovnye prichiny intensivnogo iznosa bandazhey kolesnykh par podvizhnogo sostava i metody ikh ustraneniya [Basic causes of intensive wear of rolling stock wheel set rims and methods of their elimination].— Ekaterinburg: Izd-vo UrGUPS, 2009.— 224 s. ISBN 978-5-94614-148-2.
8. Buynosov A. P., Khudoyarov D. L., Pyshnyi I. M. Vybory profilya poverkhnosti kataniya bandazhey kolesnykh par promyshlennykh teplovozov [Selecting profile of tread surface of in-

- dustrial diesel-powered locomotive wheel set rims]//Transport Urala, 2011. № 1 (28).— S. 64–69. ISSN 1815-9400.
9. Buynosov A. P., Pyshnyi I. M. Uvelicheniye sroka sluzhby bandazhey kolesnykh par promyshlennykh teplovozov [Increasing service life of industrial diesel-powered locomotive wheel set rims]//Omsky nauchny vestnik. Ser.: Pribory, mashiny i tekhnologii, 2011. № 3 (103).— S. 152–156. ISSN 1813-8225.
 10. Buynosov A. P., Pyshnyi I. M. Razrabotan bortovoy lokomotivny grebnesmazыvatel «tverdogo» tipa [Developed on-board locomotive crest lubricator of solid type]//Nauchno-tekhnicheskyy vestnik Povolzhya, 2011. № 3.— S. 92–96. ISSN 2079-5920.

Статья сдана в редакцию 21 августа 2012 года

Уважаемые коллеги!

Информирую вас о требованиях, предъявляемых к оформлению статей.

При наборе используйте Word-2003 или Word-2007; шрифт (по всему тексту, в том числе в рисунках и таблицах) — тип Times, размер шрифта — 14, межстрочное расстояние — 1,5, абзацный отступ — 1,25 (1,27) см, поля — 2 см; расстановка переносов по всему тексту — автоматическая.

Набор формул: простые формулы и сочетания символов ($x^2 < y^2$; $E = mc^2$; $a^2 + b^2 = c^2$; Q_{i-1} ; Ψ) — только в текстовом режиме, сложные

$$(s^2 = \frac{1}{n-1} \left[\sum_{j=1}^e x_j^2 n_j - \frac{1}{n} \left(\sum_{j=1}^e x_j n_j \right)^2 \right]; \left(\frac{\sigma_a}{[n]} \right)$$

или S_i^m) — только в Equation или Math-Type.

Написание букв: русские (а, б, в, А, Б, В), греческие (Θ, Σ, Ω, Ψ, α, β, δ, ε, λ, π), а также цифры и функции (1, 2, 3; I, II, III; max, lg, sin и т.п.) пишутся только прямо; латинские (a, b, n, A, B, N и т.д.) — только курсивом. Исключение — курсив во вспомогательном тексте (слова «Таблица» и «Рис.», примечания в рисунках и ссылки в тексте на эти примечания).

Оформление текста: левый верхний край — инициалы, фамилия; заголовки — все буквы ПРОПИСНЫЕ, жирные, расположение — по центру набора; таблиц и рисунков: в таблицах размер шрифта — на полтора-два размера меньше, чем в основном тексте (11,5–12), расположение текста в «шапке» таблицы — по центру, в столбцах — по ширине; межстрочное расстояние — 1; слово «Таблица» — курсивное начертание, в правый край таблицы; название таблицы — начертание нормальное (прямое), расположение — по центру таблицы. В рисунках (графи-

ках, диаграммах): размер подрисуночной подписи — 14, расположение — по центру набора, слово «Рис.» — курсив, название рисунка — нормальное начертание, описание рисунка (экспликация) — нормальное начертание, условные обозначения — курсивное начертание, их расшифровка — нормальное. Расположение таблиц и рисунков — строго после ссылки на них.

Кроме того, рисунки обязательно прилагаются к материалу (один рисунок — один файл; формат — *.jpg).

Ссылки на литературу в тексте пишутся в квадратных скобках ([1], [1, 2] или [3–5]); нумерация сквозная. Списки литературы/источников оформляются по ГОСТ 7.0.5–2008.

В конце статьи обязательно ставится дата отсылки материала в редакцию.

Объем статьи — не более 14-ти страниц.

Название файла: Фамилия. Первое слово заголовка. Многоточие. Последнее слово заголовка (Сидоров. Синтез... электроприводом).

К материалу (статье) обязательно прилагаются (отдельным файлом): УДК, сведения об авторе, аннотация, ключевые слова (название файла: УДК 000. Сидоров. Синтез... электроприводом).

Материалы для очередного номера журнала «Вестник УрГУПС» принимаются до 30 числа первого месяца квартала (до 30-го января, 30-го апреля, до 30-го июля, до 30-го октября). Материалы, поступившие в редакцию после 30-го числа, будут опубликованы только в следующем номере.

Успешной работы!

*Л. Барышникова,
литературный и выпускающий
редактор журнала «Вестник УрГУПС»*



ИЗДАТЕЛЬСТВО УрГУПС

Предоставляет весь спектр
редакционно-издательских услуг

ДОПЕЧАТНАЯ ПОДГОТОВКА

- Редактирование текстов любой сложности
- Рецензирование
(с привлечением опытных рецензентов,
имеющих научную степень в соответствующей области науки)
- Корректур
- Дизайн и верстка
- Препресс
(подготовка работы для сдачи в типографию)
- Сдача файлов и контроль прохождения
работы в типографии

ПЕЧАТНЫЕ, ПЕРЕПЛЕТНЫЕ РАБОТЫ

- Оперативная полноцветная, одноцветная
и многоцветная печать на цифровом оборудовании
- Широкоформатная печать на плоттере
- Несколько видов переплета
- Ламинирование

ВСЕГДА В ПРОДАЖЕ

- Научная и учебно-методическая литература,
выпущенная в издательстве УрГУПС.
Каталог литературы можно найти
на сайте университета (www.usurt.ru)
в разделе «Издательская деятельность»

По вопросам приобретения книг
и возможного сотрудничества обращаться:

620034, г. Екатеринбург, ул. Колмогорова, 66, главный учебный корпус, к. Б1-15.

Телефон: (343) 221-24-90

E-mail: AKoltyshev@usurt.ru

Сайт: www.usurt.ru